

# КИНЕТИКА И КАТАЛИЗ





## СОДЕРЖАНИЕ

#### Том 65, Номер 6, 2024

#### ОБЗОРЫ

Оксид алюминия в формировании активных центров кобальтовых катализаторов синтеза Фишера—Тропша. Мини-обзор

Л. В. Синева, Е. Ю. Асалиева, В. З. Мордкович	интеза Фишера	тропша: мини оозор		
	Л. В. Синева, Е	I. Ю. Асалиева, В. З. Мор	дкович	

Склонность к сажеобразованию различных углеводородов при пиролизе за ударными волнами

А. В. Дракон, А. В. Еремин, В. Н. Золотаренко, М. Р. Коршунова, Е. Ю. Михеева 609

595

Антиоксидантная активность 6-амино-5-гидрокси-2,3-диметилпиримидин-4(3H)-она в модельных системах радикально-цепного окисления тетрагидрофурана и метилолеата

Л. Р. Якупова, Р. А. Насибуллина, С. А. Грабовский, Р. Л. Сафиуллин

Кинетические свидетельства механизма гомогенного катализа в окислительной реакции Мицороки—Хека

А. А. Курохтина, Е. В. Ларина, Н. А. Лагода, А. Ф. Шмидт

Влияние модификатора M (M = Ca, Sr, Ba) на селективность катализаторов  $Pd-Cu/Mo/Al_2O_3$  в конверсии этанола в бутанол-1

С. А. Николаев, Р. А. Багдатов, А. В. Чистяков, М. В. Цодиков

Эффективные катализаторы получения пероксида водорода антрахиноновым методом на основе палладий-фосфорных частиц

Л. Б. Белых, Т. А. Корнаухова, Н. И. Скрипов, Е. А. Миленькая, А. А. Мальцев, Ф. К. Шмидт 659

Синтез комплексов никеля(II) с оксадитиоэфирными лигандами и их каталитические свойства в олигомеризации пропилена

Д. С. Суслов, А. В. Сучкова, М. В. Быков, З. Д. Абрамов, М. В. Пахомова, Т. С. Орлов, Т. Н. Бородина, В. И. Смирнов 676

Авторский указатель тома 65, 2024 г. 700

Предметный указатель тома 65, 2024 г. 705

#### **=====** МИНИ-ОБЗОР =

УДК 544.476.2; 544.478-03; 544.478.41

# ОКСИД АЛЮМИНИЯ В ФОРМИРОВАНИИ АКТИВНЫХ ЦЕНТРОВ КОБАЛЬТОВЫХ КАТАЛИЗАТОРОВ СИНТЕЗА ФИШЕРА—ТРОПША

© 2024 г. Л. В. Синева<sup>а, \*</sup>, Е. Ю. Асалиева<sup>а</sup>, В. З. Мордкович<sup>а</sup>

<sup>а</sup>НИЦ Курчатовский институт — ТИСНУМ, ул. Центральная, 7а, Москва, Троицк, 108840 Россия \*e-mail: sinevalv@tisnum.ru

Поступила в редакцию 31.05.2024 г. После доработки 03.09.2024 г. Принята к публикации 18.09.2024 г.

Мини-обзор посвящен роли оксида алюминия, применяемого в качестве носителя и/или связующего, в формировании активных центров кобальтовых катализаторов синтеза Фишера—Тропша. Показаны некоторые особенности физико-химических свойств  $Al_2O_3$ , знание которых может быть полезным при разработке новых катализаторов. Продемонстрированы возможности для улучшения каталитических характеристик за счет оптимизации формы и размера частиц, а также степени восстановления Со при использовании  $Al_2O_3$  в качестве носителя или компонента носителя. Библиография: 75 ссылок.

**Ключевые слова:** синтез Фишера—Тропша, кобальтовые катализаторы, оксид алюминия, гетерогенный катализ, активные центры

**DOI:** 10.31857/S0453881124060016, **EDN:** QKVYOG

#### **ВВЕДЕНИЕ**

Синтез Фишера-Тропша (СФТ), несмотря на свою 100-летнию историю, продолжает оставаться в поле зрения ученых как альтернативный источник углеводородного сырья для производства экологически чистого моторного топлива или других химических веществ [1]. В низкотемпературном СФТ, направленном на производство длинноцепочечных углеводородов используют, как правило, нанесенные кобальтовые катализаторы, которые обычно состоят из кобальта в его металлической форме (Со0), диспергированного в виде небольших наночастиц (до 20 нм) на микропористой/мезопористой поверхности оксидного носителя (чаще всего  $Al_2O_3$ ,  $SiO_2$  или  $TiO_2$ ). Считается, что частицы Со<sup>0</sup> являются основными активными центрами, поскольку они присутствуют до, после и во время СФТ [2-6]. Свежеприготовленные кобальтовые катализаторы СФТ, как правило, представляют собой оксид (реже — соль) кобальта, расположенный на поверхности оксидного носителя. Для получения металлического кобальта необходима процедура активации (или восстановления), которую проводят в потоке водородсодержащего газа. Условия процедуры (температура, длительность, состав и скорость подачи газа-восстановителя) зависят от состава катализатора и технологических особенностей.

СФТ представляет собой поверхностно-катализируемую и структурно-чувствительную реакцию. Его показатели зависят от размера частиц и структуры металла, степени его взаимодействия с носителем, а также степени его восстановления и дисперсности [2–12]. В свою очередь свойства катализатора во многом зависят от носителя, тип и структура которого в значительной степени определяют взаимодействие металлноситель, пористую структуру и активную поверхность, а, следовательно, массообмен на поверхности катализатора, влияя тем самым на его каталитические свойства, такие как активность, селективность и стабильность (рис. 1). Для обеспечения достаточной дисперсности кобальта, как правило, необходимо сильное взаимодействие металл-носитель, в противном случае кристаллиты кобальта могут агрегироваться с образованием крупных частиц и приводить к быстрой дезактивации катализатора. С другой стороны, сильное взаимодействие металл-носитель может приводить к росту температуры восстановления катализатора, препятствуя появлению активных центров Со0.

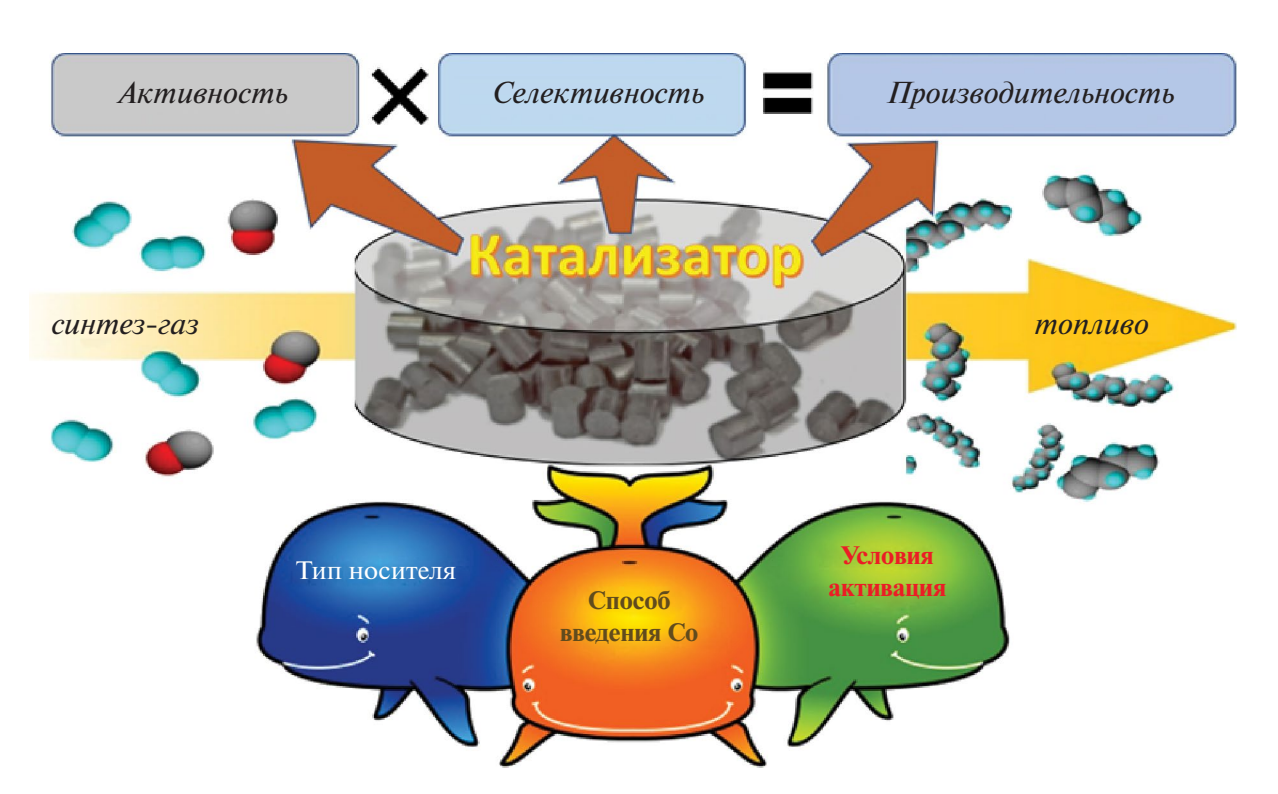
Таким образом, одним из важных направлений для развития СФТ является повышение

активности катализатора за счет увеличения количества активных центров металлического кобальта, стабильных в условиях реакции.

Несмотря на то, что катализаторы на основе оксида алюминия известны давно и, в частности, применяются компанией SASOL в промышленном масштабе более 40 лет, Al<sub>2</sub>O<sub>3</sub> по-прежнему остается интересным объектом для исследования в качестве носителя Со катализаторов СФТ. Такая популярность связана с его низкой стоимостью, хорошей термической стабильностью и механической прочностью. Важным свойством является и его способность хорошо диспергировать активную фазу на своей поверхности. Эта способность обусловлена, в числе прочего, относительно сильным взаимодействием Со-носитель, которое более выражено, чем у  $SiO_2$ , но слабее, чем у  $TiO_2$ .  $Al_2O_3$ может быть получен в различных кристаллических модификациях —  $\gamma$ -Al<sub>2</sub>O<sub>3</sub>,  $\theta$ -Al<sub>2</sub>O<sub>3</sub>,  $\alpha$ -Al<sub>2</sub>O<sub>3</sub> и  $\eta$ -Al<sub>2</sub>O<sub>3</sub>, наиболее востребованным из которых является γ-Al<sub>2</sub>O<sub>3</sub>. Кроме того, оксид алюминия присутствует в качестве связующего во многих гранулированных носителях, например, широко используемый бемит при последующих термических обработках образует оксид алюминия. В таких случаях его содержание в носителе, как правило, составляет не менее 20 мас. %, что не может не оказывать влияния на образование активной фазы при нанесении металла, сопутствующих термических обработках и активации (восстановлении) готового катализатора. Совокупные химические и физические особенности связующего могут влиять на свойства готового катализатора, и их следует учитывать с самого начала разработки формулы катализаторов. Например, в работе [13] показано, что связующее оксид алюминия увеличивает кислотность Льюиса и защищает цеолитную составляющую от деалюминирования во время гидротермальных обработок. А в работе [14] на основании анализа свойств катализатора на основе цеолита Ү, полученного экструзией с псевдобемитом, в сравнении с исходным порошком цеолита и его физической смеси с оксидом алюминия делается вывод об образовании новых активных центров на границе взаимодействия цеолит-связующее.

В общем случае влияние связующего можно подразделить на следующие категории [15]:

- изменение характеристик коксования катализатора;
  - захват ядов;



**Рис. 1.** Схематическое изображение взаимосвязи между свойствами катализатора, того, чем они обеспечиваются, и показателями СФТ.

- перенос химических веществ в активную фазу или из нее;
- изменение теплопередачи/тепловых характеристик;
  - изменение пористости;
  - повышение прочности.

В частности, миграция форм алюминия в гидротермальных условиях описана в работе [16], в которой показано, что связующее — моногидрат α-оксида алюминия —значительно ускоряет крекинг н-гексана, олигомеризацию пропилена, депарафинизацию смазочных материалов и конверсию метанола в углеводороды в присутствии катализатора на основе HZSM-5.

Таким образом, физико-химические свойства  $Al_2O_3$  как носителя или связующего — кристаллическая фаза, морфология, кислотно-основные свойства — будут оказывать влияние на структуру частиц Co, а, следовательно, и на активность и селективность катализатора в  $C\Phi T$ .

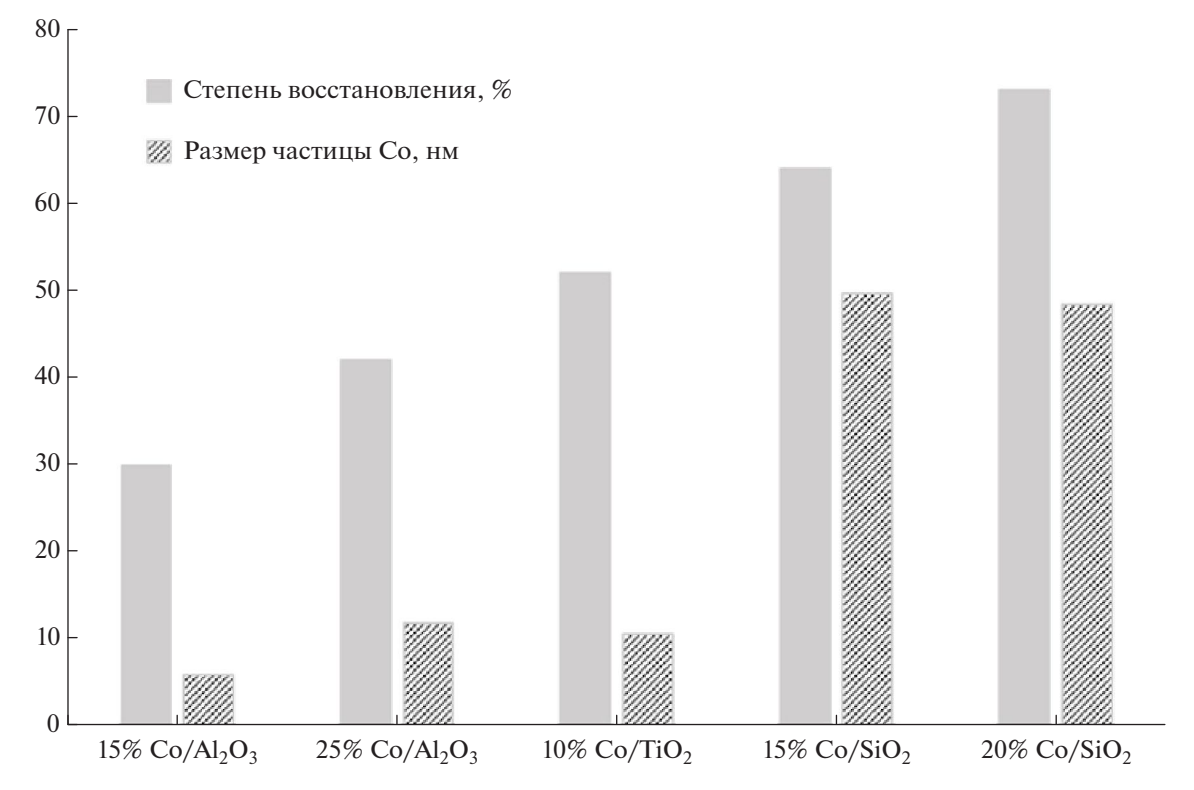
В настоящем обзоре сделана попытка систематизировать данные и выявить особенности, с которыми могут столкнуться исследователи, разрабатывающие новые катализаторы СФТ, со-

держащие  $Al_2O_3$ , а также катализаторы на иных носителях, в которых  $Al_2O_3$  присутствует в качестве связующего.

### ВЛИЯНИЕ НОСИТЕЛЯ НА СВОЙСТВА Со-КАТАЛИЗАТОРОВ СИНТЕЗА ФИШЕРА—ТРОПША

Сравнение свойств катализаторов на основе наиболее популярных носителей Со-катализаторов СФТ позволит обосновать наш интерес именно к оксиду алюминия.

В первую очередь свойства носителя во многом определяют количество активных центров, образующихся во время обработки в восстановительной среде — восстановления или активации. Однако нельзя пренебречь и влиянием условий восстановления (активации), от которых зависит компромисс между дисперсией кобальта и процентным содержанием восстановленных частиц оксида кобальта. Например, частицы кобальта на поверхности  $SiO_2$  характеризуются большими размерами кластеров, что обеспечивает высокую степень восстановления уже при  $350^{\circ}$ C, тогда как на поверхности  $Al_2O_3$  образуются кластеры меньшего размера, которые относительно легко



**Рис. 2.** Зависимость степени восстановления и размера частиц Co от его содержания и типа носителя (диаграммы построены по данным работы [8]).

взаимодействуют с носителем, что препятствует лостижению высокой степени восстановления при этой температуре [8]. Авторы также показали, что степень восстановления прокаленных катализаторов, наблюдаемая после обработки при 350°С в смеси H<sub>2</sub>: Ar = 1:2 в течение 10 ч увеличивалась в ряду 15% Co/Al<sub>2</sub>O<sub>3</sub> < 25% Co/Al<sub>2</sub>O<sub>3</sub> <  $< 10\% \text{ Co/TiO}_2 < 15\% \text{ Co/SiO}_2 < 20\% \text{ Co/SiO}_2$ , Te есть, на первый взгляд, зависела только от типа носителя и содержания Со. Однако размер частиц Со возрастал практически в такой же последовательности: 15%  $Co/Al_2O_3 < 25\% Co/Al_2O_3$ , 10% Co/TiO<sub>2</sub> < 15% Co/SiO<sub>2</sub>, 20% Co/SiO<sub>2</sub> (рис. 2), что, тем не менее, не отменяет влияние природы носителя и количества Со, поскольку размер частиц кобальта зависит и от первого, и от второго.

В работе [17] методом TPR-XANES/EXAFS, позволяющим исследовать одновременно несколько образцов в одинаковых условиях, были изучены 5 катализаторов (4 на основе  $Al_2O_3$  и 1 на основе  $SiO_2$ ) и  $Co_3O_4$  как образец сравнения. Было установлено, что ключевым фактором, определяющим степень взаимодействия и скорость восстановления оксидов кобальта, является тип носителя. Так, на поверхности SiO<sub>2</sub>, слабо взаимодействующего с кобальтом, образуются крупные кристаллиты Со, что приводит к невысокой удельной поверхности активного металла при обработке водородом. Поэтому, несмотря на относительно низкую степень восстановления, удельная поверхность металлического кобальта в катализаторе 15% Со/АІ<sub>2</sub>О<sub>3</sub> после 10-часовой восстановительной обработки была выше, чем в катализаторе 20% Co/SiO<sub>2</sub>.

В работе [18] с помощью физико-химических методов (ТЭМ, сорбция азота и рентгеновская дифракция) была исследована серия промотированных кобальтовых катализаторов СФТ, нанесенных на  $Al_2O_3$ ,  $SiO_2$  и  $TiO_2$ . Показано, что объем и структура пор носителя существенно влияют на размер и форму частиц кобальта. На крупнопористых носителях  $\gamma$ -Al<sub>2</sub>O<sub>3</sub> и TiO<sub>2</sub> (объем пор 38-43 нм) Со<sub>3</sub>О<sub>4</sub> находился в виде частиц со средним размером 33 и 22 нм соответственно, а на поверхности мелкопористого SiO<sub>2</sub> (объем пор 6.8 нм) образовывал частицы среднего размера 17 нм. Катализатор на основе  $Al_2O_3$  был наименее активным в СФТ, что авторы объяснили более сильным взаимодействием металлноситель.

Авторы [19] на основании результатов тестирования кобальтовых катализаторов на основе  $\gamma$ -Al<sub>2</sub>O<sub>3</sub>,  $\alpha$ -Al<sub>2</sub>O<sub>3</sub> и TiO<sub>2</sub> в CФТ (2 МПа, 210°C,

8 ч) сделали вывод, что селективность образования углеводородов  $C_{5+}$  в значительной степени зависит не только от активности Со-центра, но и от морфологии и размера кристаллитов Со, в конечном счете — от материала носителя. Несмотря на то, что общей связи между размером частиц Со и селективностью катализатора не обнаружено, наблюдались корреляции между этими характеристиками, индивидуальные для каждого материала носителя, наименее представительные выраженные для  $\gamma$ -Al<sub>2</sub>O<sub>3</sub>.

В работе [20] сравнивали показатели СФТ  $(2 M\Pi a, 210^{\circ}C, H_{2}/CO = 2)$ , полученные в присутствии пропиточных катализаторов на основе  $TiO_2$ ,  $SiO_2$  и  $Al_2O_3$ , содержащих 15% Co, в зависимости от степени взаимодействия между активной фазой и носителем в условиях восстановительной обработки. Так, катализатор на основе SiO<sub>2</sub> характеризовался наиболее мелкими кристаллитами Со благодаря низкой степени взаимодействия Со-носитель и большой площади поверхности. Более крупные частицы Со формировались при его нанесении на оксид титана, что авторы объяснили малой поверхностью этого носителя, которая способствовала агломерации Со<sub>3</sub>О<sub>4</sub>. Самые крупные кристаллиты Со образовывались на поверхности оксида алюминия, что авторы связали с сильным взаимодействием Со-Аl<sub>2</sub>O<sub>3</sub>. Однако такое объяснение противоречит результатам других работ (например, [8, 17]), в которых убедительно показано, что сильное взаимодействие Со-носитель благоприятствует образованию более мелких кристаллитов активного металла, препятствуя их агрегации.

Авторы [21] изучали изменение степени восстановления Со в катализаторах на основе  $SiO_2$  и  $Al_2O_3$  в течение 16 ч с помощью рентгеновской дифракции и магнитных измерений. Согласно результатам экспериментов, Со, нанесенный на  $SiO_2$ , достигает максимальной степени восстановления (около 100%) в водороде при 500°C через 6 ч после начала восстановления, а Со, нанесенный на  $Al_2O_3$ , восстанавливается до максимальных 80% через 10 ч. Авторы предполагают, что это отличие связано с образованием трудновосстанавливаемого алюмината Со.

В работе [22] изучали влияние различных носителей ( $\gamma$ -Al<sub>2</sub>O<sub>3</sub>, SiO<sub>2</sub> и TiO<sub>2</sub>) на форму, внешний вид и размер частиц кобальта и его восстанавливаемость с применением различных методов, в том числе рентгеновской дифракции, хемосорбции  $H_2$ , температурно-программируемого восстановления и титрования  $O_2$ . Было показано, что раз-

мер частиц Со<sub>3</sub>О<sub>4</sub> и Со<sup>0</sup> и восстанавливаемость возрастали с увеличением среднего диаметра пор носителя.  $Co_3O_4$  на поверхности как  $\gamma$ - $Al_2O_3$ , так и SiO<sub>2</sub> представлял собой кластеры, причем более крупные образовывались на поверхности силикагеля, который характеризовался большим средним диаметром пор. При этом на поверхности ТіО2, несмотря на крупные поры, формировались монокристаллы Со<sub>3</sub>О<sub>4</sub>. Авторы полагают, что размер агломератов Со<sub>3</sub>О<sub>4</sub> увеличивается с ростом диаметра пор до определенного размера, за пределами которого агломерация не происходит. Также авторы установили, что степень восстановления по данным ТПВ и титрования О2 возрастает в ряду  $Al_2O_3 \le SiO_2 \le TiO_2$ . Восстанавливаемость зависит от степени взаимодействия металл—носитель. Однако в работе [8] было показано, что степень взаимодействия металл-носитель снижается в ряду  $\gamma$ -Al<sub>2</sub>O<sub>3</sub> > TiO<sub>2</sub> > SiO<sub>2</sub>. Авторы [22] объясняют такое несовпадение тем, что для TiO2 она сильно зависит от фазы TiO<sub>2</sub>. Так, известно, что для рутила взаимодействие металл-носитель слабее, чем для анатаза, а в работе [22] методом рентгеноструктурного анализа установлено, что используемый TiO<sub>2</sub> представляет собой в основном рутил, что и объясняет несоответствие данных [8] и [22].

Таким образом, очевидно, что носитель играет важную роль для обеспечения необходимых свойств кобальтовых катализаторов СФТ. От него зависит степень восстановления Со, его электронное состояние, размер и распределение его частиц по поверхности носителя, что и определяет качество и количество активных центров. Низкую по сравнению с  $SiO_2$  и  $TiO_2$  активность в СФТ катализаторов на основе Al<sub>2</sub>O<sub>3</sub> большинство исследователей объясняют сильным взаимодействием металл-носитель, приводящим к образованию трудновосстанавливаемых соединений, снижающих степень восстановления. Однако также отмечается, что удельная площадь поверхности металлического кобальта в катализаторе 15% Со/Аl<sub>2</sub>O<sub>3</sub> может быть выше, чем в катализаторе 20% Co/SiO<sub>2</sub>, несмотря на меньшее его содержание. Кроме того, в [19] не обнаружили явной корреляции между размером частиц Со и селективностью катализатора именно в случае использования  $\gamma$ -Al<sub>2</sub>O<sub>3</sub>.

#### АКТИВНЫЕ ЦЕНТРЫ Со-КАТАЛИЗАТОРОВ СФТ

Активная фаза катализаторов СФТ для выполнения своей роли должна содержать металл в 0-валентном состоянии [2, 4, 6, 23]. Металлический Со может существовать в двух кристаллографических фазах: гексагональной плотноупакованной (гпу) и кубической гранецентрированной (гцк). Превращение первой фазы во вторую происходит при 400°C (в случае массивного Со наличие носителя может оказывать влияние на этот процесс) [24]. Если размер частиц Со очень мал, этот переход может осуществляться в более мягких условиях. В работе [25] показано, что фаза гцк предпочтительна. если размер частиц Со менее 20 нм, а гпу — если размер частиц более 40 нм. В пределах этих размеров соотношение фаз Со зависит от ряда причин, в частности (в случае СФТ) от свойств носителя, способа приготовления катализатора, предварительных термических обработок (включая условия активации/восстановления), наличия промоторов [5, 26].

Несмотря на большое количество исследований, остается открытым вопрос, какая фаза Со более активна в СФТ. Многие авторы сообщают, что фаза Со-гпу проявляет большую активность в СФТ [5, 9, 21, 27–32]. В ряде работ такое предпочтение объясняют результатами расчета энергии активации СО [27, 31], которая в случае Согпу заметно ниже (101 кДж/моль), чем в случае Со-гцк (144 кДж/моль). При этом отмечается, что на Со-гпу предпочтительна прямая диссоциация СО, а в случае Со-гцк необходимо промотирующее участие водорода. Исследователи, поддерживающие версию о более высокой активности Согпу, связали увеличение доли фазы Со-гпу при активации по схеме  $H_2$ -CO или  $(H_2 + CO)$ - $H_2$ и активность в СФТ [5, 21, 32 и др.]. Некоторые из них предполагают, что преобразование Со-гцк в Со-гпу происходит через образование Со<sub>2</sub>С (например, [5]).

Поскольку в гетерогенных катализаторах кобальт присутствует в наноструктурированной форме (размер кристаллитов менее 20 нм предпочтителен для успешного протекания СФТ [2, 4]), то, как показано в [25], фаза Со-гцк наиболее выгодна термодинамически. Однако для массивного кобальта общепринято считать термодинамически устойчивой фазу Со-гпу. Это дает основание другой части исследователей утверждать, что именно фаза Со-гцк является источником активных центров в нанесенных кобальтовых катализаторах СФТ [21, 33]. В работе [34] с помощью просвечивающей электронной микроскопии исследовали восстановление частиц  $Co_3O_4$  и CoO *in situ*. Авторы показали, что мелкие частицы обоих оксидов легко восстанавливаются водородом до  $Co^0$ , тогда как крупные частицы  $Co_3O_4$  сначала восстанавливаются до CoO, затем агломерируются и только потом восстанавливаются до металлического Co. Предполагается, что CoO при восстановлении образует Co-гцк благодаря сходному расположению атомов кобальта в этих фазах. Это приводит к мысли о том, что вероятность образования Co-гпу при восстановлении водородом низка.

Действительно, в работе [35] с использованием рентгеновской дифракции *in situ* показано, что катализатор 25% Co-0.1% Pt/Al<sub>2</sub>O<sub>3</sub>, полученный пропиткой водным раствором нитрата Co, после восстановления в чистом водороде содержал 80% металлического Co со структурой гцк и 20% — со структурой гпу.

Авторы [36] с помощью рентгеновской дифракции исследовали восстановление монофазных и нанесенных оксидов кобальта. Было установлено, что монофазный оксид  $Co_3O_4$  в чистом водороде восстанавливается до Co-гпу, а восстановление нанесенного  $Co_3O_4$  протекает через образование CoO до Co-гцк. Авторы также отмечают, что при восстановлении нанесенного оксида кобальта формирование фазы Co-гцк происходит уже при  $260^{\circ}C$ , хотя стабильным при этой температуре считается фаза Co-гпу [24].

Авторы [33] применили теорию активных ансамблей Кобозева к частицам Со со структурой гцк, поскольку она является более стабильной для кристаллитов Со размером менее 20 нм, необходимых для успешного протекания СФТ. Эта теория утверждает, что реакционная способность зависит от наличия определенных комплексов поверхностных атомов — активных центров [37]. На основании проведенных расчетов авторы делают вывод, что поскольку количество активных центров — ступенек, изломов и других дефектов кристаллов — на поверхности частиц Со-гцк зависит от их размера, то активность СФТ будет падать при уменьшении размера частиц Со ниже 8 нм. Это подтверждается многочисленными экспериментальными данными (например, [4, 8, 24]).

В работе [38] подчеркивается важная роль нарушений поверхностной структуры граней кобальта (например, ступеней или иных сбоев в укладке), поскольку именно такие дефекты эффективно катализируют диссоциативную адсорбцию  $H_2$ , причем образовавшиеся поверхностные атомы водорода слабо связаны с такими центрами. По мнению авторов, частицы кобаль-

та имеют объемную гцк-структуру. На поверхности такой частицы преобладают грани (111) и (100), оканчивающиеся ступенчатыми участками, которые являются основным источником атомов водорода во время СФТ. Атомарный водород быстро диффундирует на соседнюю террасу, где он может вступить в одну из реакций, необходимых для превращения СО в длинноцепочечные углеводороды. Авторы [39] также считают способность частиц Со к диссоциативной адсорбции водорода параметром, определяющим их активность в СФТ.

Авторы [40] рассчитали, что на плоской поверхности грани кристаллической решетки Со-гцк термодинамически выгодно образование метана, тогда как наличие ступенчатых участков на грани (111) способствует образованию связи С-С. Это предположение подтверждается авторами [41], расчеты которых показали, что на плоской грани Со(0001) возможен синтез только спиртов и метана, тогда как основными продуктами СФТ в присутствии Со катализаторов являются длинноцепочечные углеводороды. В работе [42] экспериментально исследовали СФТ на отдельных гранях единичного кристалла Со (размером 8 мм), предварительно очищенного плазменным травлением при контролируемом нагреве не выше 350°C. Затем монокристалл помещали в атмосферу смеси Н2 и СО с соотношением 2: 1. Состав продуктов определяли хроматографически. Согласно данным [42], углеводороды с числом атомов С более 3-х были получены только на грани Со(1120), причем вероятность роста цепи составляла всего 0.36.

Во всех вышеупомянутых работах изучали катализаторы в порошкообразном виде, в то время как в промышленности для синтеза Фишера-Тропша используют гранулированные кобальтовые катализаторы, причем для реакторов со стационарным слоем размер гранул составляет 1.5 мм и более. Поэтому для получения информации о характеристиках промышленного катализатора его необходимо не только исследовать в условиях синтеза, но и использовать реальные форму и размеры гранул. Одна из немногочисленных работ в этом направлении посвящена динамической визуализации с помощью компьютерной томографии гранул катализатора  $Co/\gamma$ - $Al_2O_3$  размером 3 мм в условиях активации и синтеза [2]. Авторы наблюдали необычное распределение Со в виде Со<sub>3</sub>О<sub>4</sub> в свежеприготовленной грануле: его концентрация была выше на внешней поверхности гранулы, что отнесли

к нюансам приготовления (методом пропитки с последующим прокаливанием). В процессе восстановления в токе водорода происходило образование СоО, который затем, начиная с 310°C, превращался в Со-гкц. Интересно отметить, что металлический Со присутствовал как на периферии гранулы катализатора, так и в ядре, но в обоих случаях его количество составляло около 60% от общего содержания Со. Авторы делают вывод, что восстановление не вызывает заметного спекания частиц Со, а невосстановившейся СоО представляет собой хорошо диспергированные частицы размером менее 6.5 нм, которые "прилипают" к  $Al_2O_3$ , что затрудняет его восстановление. При подаче смеси СО и Н2 (в соотношении 1 : 2) наблюдалось резкое снижение количества металлического Со почти исключительно на внешней поверхности, в то время как внутренняя часть гранулы оставалась практически незатронутой. Авторы предполагают, что Со-гкц на внешней поверхности окисляется по периферии образца с образованием в основном СоО и небольшого количества  $Co_3O_4$  водой синтеза, особенно влияющей на внешнюю поверхность гранулы.

Очевидно, что металлическая фаза реальных нанесенных катализаторов не представляет собой смесь однофазных частиц, а является структурой, содержащей большое количество дефектов кристаллических решеток металлического Со [43]. Хотя некоторые катализаторы достаточно хорошо восстанавливаются, непосредственное заключение о кристаллографической ориентации Со сделать невозможно из-за присутствия невосстановленного Со и смешанных соединений. Кроме того, можно предположить возникновение новых структур из-за смещения кристаллографической плоскости [21].

Некоторые авторы в качестве активной фазы выделяют карбид кобальта Co<sub>2</sub>C. Однако, что наиболее вероятно, он формируется во время обработки газом, содержащим CO, а не при восстановлении в токе водорода. В большинстве работ делается вывод, что карбид Co активен в образовании кислородсодержащих соединений и/или легких олефинов, которые не являются основными и/или желательными продуктами СФТ в присутствии Co-катализаторов, направленного на получение длинноцепочечных углеводородов [23, 44–46].

Многие исследователи отмечают, что активная поверхность Со-катализаторов СФТ не ограничивается металлической фазой. Так, ав-

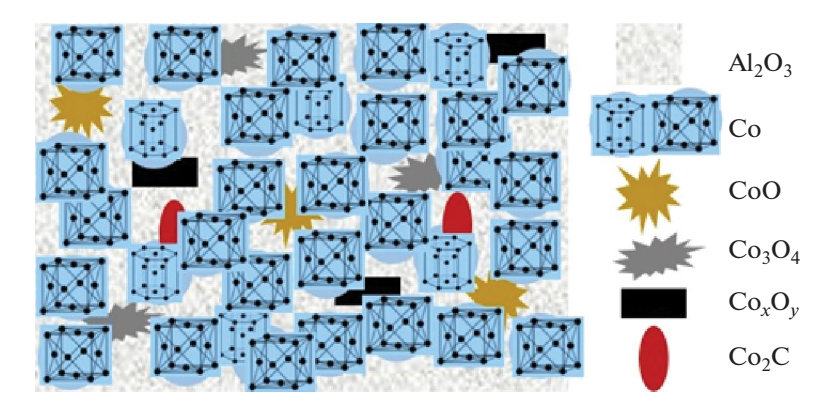
торы [46, 47] доказывают, что активность CoO в нанесенных Co-катализаторах в СФТ сравнима с активностью  $Co^0$ , в частности, энергия диссоциации CO на CoO(200) сопоставима с полученной для гцк Co(111).

Авторы [36] с помощью рентгеновской дифракции *in situ* установили, что процесс восстановления в одинаковых условиях (в токе чистого водорода) нанесенного и модельного  $Co_3O_4$  протекает через различные стадии и приводит к разным продуктам: в первом случае — через образование  $Co_0$  протекает в одну стадию. Это наблюдение объясняется влиянием носителя. Кроме того, для восстановленного нанесенного  $Co_3O_4$  обнаружено, что не весь кобальт переходит в  $Co_0$ , часть его остается в виде  $Co_0$  и соединений  $Co_0$  с носителем.

Наиболее полный анализ активных и неактивных фаз в кобальтовых катализаторах СФТ приведен в обзоре [23]. Авторы подчеркивают сложность этой каталитической системы, поскольку в условиях СФТ сосуществуют несколько фаз, что затрудняет выявление какой-либо конкретной, например, характеризующейся повышенной производительностью. Большинство исследователей полагают, что активной фазой СФТ является металлический кобальт. Однако оксиды и карбиды кобальта, а также граница раздела кобальт—носитель также отмечены как активные фазы.

Еще в 1989 г. в работе [48] было показано, что реакция гидрирования СО в метан на поверхности катализатора  $Co/Al_2O_3$  протекает по двум механизмам, которым соответствуют различные активные центры — металлический Со (центр A), или активный центр на границе радела  $Co-Al_2O_3$  (центр B). А в работе [49] особое внимание было уделено роли поверхностных соединений Со с носителем.

Стоит также отметить работу [50], в которой указана особая роль фазы CoO, а также предложен новый механизм, названный "механизм диссоциации CO на CoO—Co с помощью Н", который объясняет высокую активность и селективность катализатора CoO—Co/SiO<sub>2</sub> в образовании линейных парафинов. Было обнаружено, что на поверхности восстановленного при 430°C катализатора Со-гкц является доминирующей фазой, содержащей Co, а менее 15% Co присутствует в виде фазы гпу, причем катализатор, восстановленный в водороде при 250°C, содержит в основном CoO,



**Рис. 3.** Модель поверхности катализатора  $Co/Al_2O_3$  (представление не претендует на соответствие фактическим распределению и масштабу).

а не  $Co^0$ . Именно этот образец был наиболее активен в реакции CO и  $H_2$ , что позволило автором сделать вывод об активности CoO в реакциях метанирования и образования  $CO_2$ .

Таким образом, Со-катализаторы СФТ, в том числе содержащие  $Al_2O_3$ , представляют собой сложные системы (рис. 3), содержащие как минимум Со и оксидный носитель. Кроме того, в их состав могут входить еще и несколько промоторов. Эти компоненты могут взаимодействовать между собой в процессе приготовления катализатора и его восстановления, оказывая влияние на дисперсность и размер кристаллитов активного металла, степень его взаимодействия с носителем, структуру продуктов этого взаимодействия, модифицируя электронные свойства активной фазы. Все это влияет на поведение катализатора в СФТ, его активность, селективность и производительность.

# ИССЛЕДОВАНИЕ КАТАЛИЗАТОРОВ Со/ $AL_2O_3$ МЕТОДОМ ТЕМПЕРАТУРНО-ПРОГРАММИРУЕМОГО ВОССТАНОВЛЕНИЯ

Температурно-программируемое восстановление (ТПВ) широко используется для характеристики Со-катализаторов СФТ. Как правило, восстановление проводят водородом или его смесью с инертным компонентом. Однако возможно применение газов другого состава. Метод предусматривает непрерывное измерение концентрации водорода в отходящем после восстановления газе. Поскольку скорость подачи газа постоянна, изменение содержания  $H_2$  при определенной температуре будет пропорционально скорости восстановления. Таким образом получают уникальный профиль ТПВ, соответству-

ющий кинетике восстановления, а максимум в таком профиле соответствует наибольшей скорости восстановления. Метод ТПВ позволяет выявить отличия одной каталитической системы на основе Со от другой и оценить вклад составляющих активной фазы в каталитические характеристики.

В работе [51] при изучении восстановления Со<sub>3</sub>О<sub>4</sub>, нанесенного на Со-фольгу, было установлено, что кривая ТПВ характеризуется двумя пиками: низкотемпературным ниже 300°C и высокотемпературным между 300 и 700°C, что согласуются со ступенчатым восстановлением  $Co_3O_4$  → CoO → Co, описанном в [17, 51–52]. В профиле ТПВ катализаторов Со/Аl<sub>2</sub>O<sub>3</sub>, содержащих 15-25 мас. % Со и прокаленных при низкой температуре, обычно наблюдаются острый пик с максимумом при температуре около 350°C и очень широкий пик, простираюшийся до 800°C. Кроме того, на профилях ТПВ часто присутствует очень небольшой пик выше 800°С, отнесенный к восстановлению алюмината кобальта. Отношение площади второго пика к площади первого обычно близко к 3:1. Это позволило сделать предположение, что двухстадийное восстановление происходит через образование СоО в качестве промежуточного оксида, как было получено ранее для Co/SiO<sub>2</sub> [53]. Такая интерпретация означает, что второй этап восстановления сильно зависит от типа носителя, пористости и размера кристаллитов Со.

В работах [36, 54] наблюдали третий пик в диапазоне 530—900°С, который был отнесен к трудновосстанавливаемым соединениям Со с носителем. Влияние таких соединений досконально не изучено, однако существует гипотеза, что  $CoAl_2O_4$  играет важную роль в восстанов-

лении  $Co_3O_4$  [55]. В работе [56] предположили, что  $Co^{3+}$  в  $Co_3O_4$  может постепенно замещаться  $Al^{3+}$  с образованием  $CoAl_2O_4$ , а авторы [57] обнаружили, что  $Co/Al_2O_3$ , несмотря на меньшую степень восстановления, восстанавливается в гораздо более широком интервале температур, чем  $Co/SiO_2$ , и сделали вывод, что это происходит из-за взаимодействия носителя с оксидами кобальта.

Авторы [36] с помощью дифференцирующего растворения Со/у-АІ<sub>2</sub>О<sub>3</sub> после восстановления в чистом водороде установили, что труднорастворимая фаза  $Co_3O_4$  в нем отсутствует, зато есть легкорастворимая, содержащая 86% Со, которая представляет собой СоО. Кроме того, были обнаружены фазы с соотношением Co : Al = 2 и с переменным отношением 0.005-0.02. Первая была отнесена к  $CoAl_2O_4$ , а вторая — к твердому раствору Со в  $Al_2O_3$ . В вышеуказанной работе в профиле ТПВ Со/у-Аl<sub>2</sub>O<sub>3</sub> также присутствовали три пика, причем первый пик отнесен к восстановлению Со<sub>3</sub>О<sub>4</sub> до СоО, а второй и третий к восстановлению СоО, который присутствует в двух состояниях, одно из которых труднее восстанавливается до Со0 из-за взаимодействия с носителем.

Похожая интерпретация профилей ТПВ для катализатора 10% Co/Al<sub>2</sub>O<sub>3</sub>, прокаленного при  $300^{\circ}$ C, предложена в [58]. Согласно результатам этой работы, острый пик при  $\sim$ 320°C обусловлен восстановлением "оксидной поверхностной фазы кобальта, которая не стабилизируется за счет взаимодействия с носителем и, следовательно, легко восстанавливается". Широкий высокотемпературный пик в диапазоне  $380-730^{\circ}$ C отнесен к смешанному оксиду, обозначенному авторами как xCoO  $\cdot y$ Al<sub>2</sub>O<sub>3</sub>. Кроме того, в данном исследовании была получена более высокая степень восстановления катализатора 10% Co/SiO<sub>2</sub> ( $\sim$ 60%) по сравнению с катализатором 10% Co/Al<sub>2</sub>O<sub>3</sub> ( $\sim$ 50%).

В работе [55] предложен пятиступенчатый механизм восстановления, который учитывает восстановление и аморфного, и кристаллического  $Co_3O_4$  и взаимодействие CoO, образующегося как промежуточное соединение, с носителем  $Al_2O_3$ . Показано, что высокая степень кристалличности существенно увеличивает трудность восстановления  $Co_3O_4$ . Авторы предложили механизм формирования фазы  $CoAl_2O_4$  во время восстановления CoO до  $Co^0$ . Образование Co-Al-шпинели во время активации Co-катализатора наблюдали также в [56], предпола-

гая, как и в работе [57], что  $Co^{3+}$  в  $Co_3O_4$  может постепенно замещаться  $Al^{3+}$ . Хотя последствия присутствия  $CoAl_2O_4$  досконально не изучены, некоторые исследователи склоняются к тому, что он играет важную роль в процессе восстановления  $Co_3O_4$  [55].

Таким образом, хотя изучение Со<sub>3</sub>О<sub>4</sub>, нанесенного на оксид алюминия, методом ТПВ было проведено во многих работах, в литературе существуют разные интерпретации почти идентичных профилей ТПВ. Это может быть связано с различиями в количестве и источниках кобальта, способах приготовления, в том числе с разными условиями температурных обработок, и, конечно, условиями восстановления (активации), такими как температура, восстановитель, скорость и длительность подачи газа-восстановителя. Некоторые особенности, наблюдаемые во время восстановления таких катализаторов, чаще всего объясняют сильным взаимодействием между частицами оксида кобальта с оксидом алюминия. Как правило, оно приводит к образованию двойного соединения, гомогенного или неоднородного твердого раствора, структуры ядро-оболочка и т.д. Все эти случаи принято относить к сильному взаимодействию.

Особенности, наблюдаемые при ТПВ катализаторов  $Co/Al_2O_3$ , могут позволить обосновать отличия в показателях СФТ, полученных в их присутствии.

## ВЛИЯНИЕ СВОЙСТВ $AL_2O_3$ НА ПОКАЗАТЕЛИ СФТ

В работе [59] было исследовано 13 катализаторов, полученных пропиткой водными растворами носителей у-Аl<sub>2</sub>O<sub>3</sub> с различной пористостостью и количеством примеси натрия (20–113 ррт) и содержащих 20 мас. % Со и 0.5 мас. % Re. Разные размеры пор носителя (6-27 нм) позволили авторам варьировать размер частиц Со от 10 до 15 нм (по данным хемосорбции водорода): мелкие частицы образовывались в узких порах, а крупные частицы — в широких. Катализаторы тестировали в виде порошка (53-90 мкм), разбавленного карбидом кремния, в реакторе с неподвижным слоем катализатора. Перед синтезом образцы восстанавливали водородом при 0.1 МПа и 350°C в течение 16 ч. СФТ проводили при 2 МПа и 210°C из синтез-газа с соотношением  $H_2$ : CO = 2.1 в течение 26 или 104 ч. Скорость синтез-газа варьировали, чтобы обеспечить 50%-ную конверсию СО. Показано, что

степень восстановления Со возрастала с 55-60 до 70-71% с увеличением размера пор носителя с 6 до 27 нм и размера частиц Со с 10 до 15 нм. Обнаружена корреляция между селективностью образования углеводородов С<sub>5+</sub> и размером частиц кобальта: чем крупнее последние, тем выше селективность, которая достигала 84% при диаметре частиц Со 15 нм. Увеличение доли примеси Na в носителе приводило к снижению активности катализатора. Полученные результаты были уточнены в работе [60], в которой изучали корреляцию между селективностью образования метана, олефинов и углеводородов С<sub>5+</sub> и размером частиц Со в диапазоне 2-14 нм, нанесенных на  $\delta$ - и  $\theta$ -Al<sub>2</sub>O<sub>3</sub>. Показано, что селективность образования углеводородов С5+ повышалась с ростом размера частиц Со до 8-9 нм, достигая максимальных 84-86%, а затем снижалась до 82-83%, которые, вероятно, уже не зависели от фазы оксида алюминия и размера пор. В работе [61] также было показано, что каталитические свойства Со-катализаторов СФТ существенно зависят от размера частиц активного компонента в диапазоне < 9 нм. Интересно отметить, что в [62] наблюдали меньшую склонность к спеканию крупных частиц Со (>20 нм), нанесенных на  $Al_2O_3$ , во время СФТ в сларри-реакторе по сравнению с мелкими. Причем чем крупнее частицы Со, тем меньше потери в активности катализатора за первые 200 ч работы в СФТ: для образцов с размером частиц Со 5 нм они составляли 80%, а 19 нм — 25%.

В работе [63] было исследовано 18 разновидностей Al<sub>2</sub>O<sub>3</sub>, отличающихся пористой структурой и кристаллической фазой, полученных из гиббсита и бемита при прокаливании в разных условиях. Интересно, что симбатное увеличение размера пор и кристаллитов Со, наблюдаемое в [59], соблюдалась только при использовании бемита в качестве источника Al<sub>2</sub>O<sub>3</sub>. В этом случае степень восстановления Со (H<sub>2</sub>, 400°C, 6 ч) довольно равномерно возрастала с 54 до 64% при повышении температуры прокаливания бемита с 600 до 1050°C, при этом удельная площадь поверхности носителя снижалась, а Со — увеличивалась (с 0.4 до  $1 \text{ m}^2/\text{г}$ ). Такой же характер зависимости отмечался и для активности катализаторов на основе бемита в СФТ (1 МПа, 230°C,  $H_2$ : CO = 2, сларри-реактор): конверсия CO росла с 22-27% при прокаливании бемита при 600-800°C до 54-61% при прокаливании бемита при 1000-1050°C, а селективность образования углеводородов  $C_{5+}-c$  78-84 до 89% соответственно. При этом степень восстановления Со не зависела от температуры прокаливания гиббсита в диапазоне  $600-900^{\circ}$ С, составляя  $\sim 60\%$ , и увеличивалась до 97% при прокаливании гиббсита при  $1000^{\circ}$ С. Наибольшая удельная поверхность Со ( $\sim 1 \text{ м}^2/\text{г}$ ) наблюдалась при прокаливании исходного гиббсита при  $800-900^{\circ}$ С, а наибольшая конверсия СО ( $\sim 40\%$ ) — при  $850-900^{\circ}$ С. То есть высокая степень восстановления (97%) не способствовала высокой активности катализаторов Со/ $Al_2O_3$ . Авторы сделали вывод, что основными характеристиками катализатора, от которых зависят его свойства в СФТ, являются размер пор носителя и удельная площадь поверхности Со.

В работе [64] также изучали влияние размера частиц кобальта на показатели СФТ с использованием специально синтезированных частиц оксида кобальта размером 4.8-17.5 нм (кислородное титрование и поглощение водорода). Предварительно полученные частицы Со наносили на у- $Al_2O_3$  (5 мас. %). Показано, что степень восстановления Со возрастала с 34 до 59% при увеличении размера его частиц от 4.8 до 17.5 нм, однако количество поглощенного Н2 при этом уменьшалось. Катализатор с размером частиц кобальта 9.3 нм был самым активным и одним из наиболее селективных в СФТ: конверсия СО в его присутствии составляла 27.7%, а селективность образования углеводородов  $C_{5+}$  — 74.7%. Кроме того, скорость деактивации катализаторов снижалась с увеличением размера частиц Со, как и по данным работы [62].

Таким образом, оксид алюминия выполняет первую из обязательных функций носителя определяет распределение активного металла, его дисперсность и размер частиц. Очевидно, что немаловажная роль в этом принадлежит взаимодействию металл-носитель, которое зависит от химической активности поверхности носителя. В работе [65] было установлено, что в зависимости от реакционной способности Al<sub>2</sub>O<sub>3</sub> структура поверхности и химический состав 10%-ных Со-катализаторов существенно изменяются: при слабом взаимодействии металла с носителем преобладающей поверхностной фазой была Со<sub>3</sub>О<sub>4</sub>, а с увеличением реакционной активности носителя на поверхности катализатора обнаруживались СоО и СоАІ2О4. Реакционную способность носителей оценивали по количеству групп =Al-OH на их поверхности: чем их больше, тем сильнее степень взаимодействия Со с носителем и ниже восстанавливаемость активного металла.

Авторы [66] полагают, что низкая концентрация поверхностных гидроксильных групп

способствует более высокой дисперсии Со на катализаторе, содержащем Al<sub>2</sub>O<sub>3</sub>, поскольку ОН-группы могут выступать в качестве мест образования Co-Al-шпинели [67]. Количество ОН-групп определяли с помощью термографического анализа по потере массы в диапазоне 130-1100°С. С авторами работы [67] согласны авторы работы [68], которые перед нанесением 12% кобальта подвергали оксид алюминия обработке при 270°C в присутствии 10%-ного раствора аммиака, нитрата аммония, уксусной кислоты или этанола. Наибольшее влияние на пористую систему Al<sub>2</sub>O<sub>3</sub> оказала обработка аммиаком: она привела к снижению удельной поверхности со 167 до 28 м $^2$ /г и объема пор с 0.81 до 0.12 см $^3$ /г, однако при этом возросла доля пор с размером более 50 нм. Обработка нитратом аммония способствовала росту доли мелких пор (<10 нм), а уксусной кислотой — небольшому увеличению количества и мелких, и крупных пор. Рентгенофазовый анализ показал, что и щелочная, и кислотная обработки приводили к образованию у-AlOOH, причем в случае водного раствора аммиака полностью исчезала фаза γ-Al<sub>2</sub>O<sub>3</sub>. Степень восстановления Со, определенная методами ТПВ и кислородного титрования, понижалась с 33.1 до 12.5% при обработке носителя уксусной кислотой и повышалась до 51.6 и 44.2% при обработке нитратом аммония и аммиаком соответственно. Авторы делают вывод, что в первом случае степень взаимодействия Со с носителем увеличилась, а в двух других — снизилась. Размер кристаллитов Со<sub>3</sub>О<sub>4</sub>, определенный из уравнения Шеррера, и дисперсность частиц Со, рассчитанная по данным поглощения водорода и хемосорбции кислорода, изменялись не столь значительно: наименьшие кристаллиты (11 нм) с наибольшей дисперсностью (14.9%) наблюдались на поверхности носителя, обработанного кислотой, тогда как соединения аммиака практически не повлияли на размер кристаллитов (14-15 нм против 14 нм в случае необработанного Al<sub>2</sub>O<sub>3</sub>), однако способствовали снижению дисперсности (с 12.5 до 10.5–10.7%). Наименее активным в СФТ был катализатор, носитель которого был обработан кислотой, — конверсия СО в его присутствии составила 12.6%, причем в этом случае наблюдался наибольшая селективность образования метана (34.3%), CO<sub>2</sub> (15.3%) и кислородсодержащих соединений (29%). Наибольшей активностью характеризовались катализаторы на основе Al<sub>2</sub>O<sub>3</sub>, обработанного нитратом аммония и аммиаком, — конверсия СО в их присутствии составила 61-62%. Кроме того,

в последнем случае селективность образования углеводородов  $C_{5+}$  была наибольшей (68%), а метана — наименьшей (19%). Авторы объяснили полученные результаты высокой степенью восстановления Со (44—52%), нанесенного на обработанные нитратом аммония и аммиаком носители, и большим количеством СО, адсорбированного в мостиковой форме, на их поверхности, поскольку именно она способствует активному протеканию СФТ.

Таким образом, несмотря на отличия в критериях определения активности и подходах к ее измерению в работах [59-66], можно сделать вывод, что химическая активность поверхности оксида алюминия, используемого в качестве носителя или связующего, является основным его свойством, определяющим каталитическое поведение Со-катализаторов в СФТ. Химическая активность определяется свойствами соединения-предшественника оксида алюминия [63] и может регулироваться с помощью, например, щелочной обработки [66]. От нее зависит, в конечном счете, размер частиц Со, а следовательно, и каталитические показатели: чем частицы Со крупнее, тем выше селективность образования углеводородов С<sub>5+</sub> [59] и срок жизни катализатора [62, 64]. Сравнительный анализ полученных в этих работах данных позволяет определить оптимальный размер частиц Со (8-9 нм), превышение которого нежелательно с точки зрения активности и селективности катализатора в СФТ.

Следует также отметить, что  $Al_2O_3$  нельзя назвать полностью инертным в условиях СФТ: кроме взаимодействия с Со и его оксидами он может адсорбировать СО [69-71], а в ряде публикаций отмечается его активность в реакции водяного газа (например, в [72]). Следует еще раз подчеркнуть, что поверхностный состав каталитической системы Со/Аl<sub>2</sub>O<sub>3</sub> сложен и лишь в редких случаях включает только Со<sup>0</sup> в качестве активного центра [5, 48-50] (рис. 3). Однако, несмотря на очевидность того, что каталитическая активность Со сильно зависит от свойств Al<sub>2</sub>O<sub>3</sub>, однозначное понимание их взаимосвязи еще не достигнуто, и это может препятствовать извлечению наиболее полной выгоды для создания новых каталитических систем на основе Со и  $Al_2O_3$ .

### **ЗАКЛЮЧЕНИЕ**

Таким образом, анализ литературных данных позволил выявить некоторые особенности физико-химических свойств  $Al_2O_3$ , знание кото-

рых может быть полезным при разработке новых катализаторов СФТ. В обзоре продемонстрированы возможности для улучшения каталитических характеристик за счет оптимизации формы и размера частиц и степени восстановления Со при использовании в качестве носителя или его компонента  $Al_2O_3$ . Из вышеизложенного можно выделить несколько особых свойств оксида алюминия, которые необходимо учитывать при создании новых катализаторов СФТ:

- сильное взаимодействие металл—носитель, способствующее не только диспергированию Со на поверхности носителя, но и дающее возможность управлять размером частиц активного металла, а, следовательно, и количеством активных центров, в том числе и за счет простой химической обработки исходного оксида алюминия; при этом  $Al_2O_3$  обеспечивает высокую удельную поверхность восстановленного кобальта при относительно низком его содержании;
- $Al_2O_3$  может быть получен в различных кристаллических модификациях  $\gamma$ - $Al_2O_3$ ,  $\theta$ - $Al_2O_3$ ,  $\alpha$ - $Al_2O_3$  и  $\eta$ - $Al_2O_3$ , что также может позволить управлять количеством и качеством активных центров;
- управление типом кристаллической решетки кобальта (гцк или гпу) с учетом роли нарушений поверхностной укладки на гранях является важным фактором контроля активности и селективности;
- восстановление катализаторов  $\text{Co/Al}_2\text{O}_3$  в токе водорода не вызывает заметного спекания частиц Co.

В ряде работ утверждается, что негативной особенностью Со-катализаторов на основе  $Al_2O_3$  является образование трудновосстанавливаемых соединений, в частности, алюмината Со, однако бесспорные доказательства их отрицательного влияния на СФТ отсутствуют. Наоборот, одно из популярных направлений в разработке новых катализаторов основано на использовании в качестве добавки, стабилизирующей  $Al_2O_3$ , именно шпинели  $CoAl_2O_4$  (например, [73—75]).

#### КОНФЛИКТ ИНТЕРЕСОВ

Авторы заявляют об отсутствии конфликта интересов, требующего раскрытия в данной статье.

#### ФИНАНСИРОВАНИЕ

Данная работа финансировалась за счет средств бюджета учреждения. Никаких допол-

нительных грантов на проведение или руководство данным конкретным исследованием получено не было.

#### СПИСОК ЛИТЕРАТУРЫ

- Cheng K., Kang J., King D.L., Subramanian V., Zhou C., Zhang Q., Wang Y. // Adv. Catal.-2017. V. 60. P. 125. DOI: 10.1016/bs.acat.2017.09.003
- Senecal P., Jacques S.D.M., Michiell M.D., Kimber S.A.J., Vamvakeros A., Odarchenko Y., Lezcano-Gonzalez I., Paterson J., Ferguson E., Beale A.M. // ACS Catal. 2017. V. 7. № 4. P. 2284.
- 3. Tsakoumis N.E., Voronov A., Ronning M., van Beek W., Borg O., Rytter E., Holmen A. // J. Catal. 2012. V. 291. P. 138.
- 4. *Fischer N., Clapham B., Feltes T., Claeys M.* // ACS Catal. 2015. V. 5. № 1. P. 113.
- Sadeqzadeh M., Karaca H., Safonova O.V., Fongarland P., Chambrey S., Roussel P., Griboval-Constant A., Lacroix M., Curulla-Ferré D., Luck F., Khodakov A.Y. // Catal. Today. 2011. V. 164. P. 62.
- 6. Cats K.H., Gonzalez-Jimenez I. D., Liu Y., Nelson J., van Campen D., Meirer F., van der Eerden A.M.J., de Groot F.M.F., Andrews J.C., Weckhuysen B.M. // Chem. Commun. 2013. V. 49. № 41. P. 4622.
- 7. *Shiba N.C., Liu X., Mao H., Qian X., Hildebrandt D., Yao Y.* // Fuel. 2022 V. 320. Art. 123939.
- 8. *Jacobs G., Das T.K., Zhang Y., Li J., Racoillet G., Davis B.H.* // Appl. Catal. A: Gen. 2002. V. 233. P. 263.
- 9. Chen W., Lin T., Dai Y., An Y., Yu F., Zhong L., Li S., Sun Y. // Catal. Today. 2018. V. 311. P. 8.
- 10. Yang N., Bent S. F. // J. Catal. 2017. V. 351. P. 49.
- 11. *Cheng Q., Liu Y., Lyu S., Tian Y., Ma Q., Li X.* // Chin. J. Chem. Eng. 2021. V. 35. P. 220.
- 12. *Munirathinam R., Minh D.P., Nzihou A.* // Ind. Eng. Chem. Res. 2018. V. 57. № 48 P. 16137.
- 13. Nikolopoulos N., Wickramasinghe A., Whiting G.T., Weckhuysen B.M. // Catal. Sci. Technol. 2023. V. 13. № 3. P. 862.
- 14. Lakiss L., Gilson J.-P., Valtchev V., Mintova S., Vicente A., Vimont A., Bedard R., Abdo S., Bricker J. // Micropor. Mesopor. Mater. 2020. V. 299. Art. 110114.
- 15. *Hargreaves J.S.J.*, *Munnoch A.L.* // Catal. Sci. Technol. 2013. V. 3. P. 1165.
- Shihabi D.S., Garwood W.E., Chu P., Miale J. N., Lago R.M., Chu C.T.-W., Chang C. D. // J. Catal. 1985. V. 93. P. 471.
- 17. Jacobs G., Ji Y., Davis B.H., Cronauer D., Kropf A.J., Marshall C.L. // Appl. Catal. A: Gen. 2007. V. 333. P. 177.
- Shiba N.C., Liu X., Yao Y. // Reactions. 2023. V. 4. P. 420.

- 19. Lögdberg S., Yang J., Lualdi M., Walmsley J.C., Järås S., Boutonnet M., Blekkan E.A., Rytter E., Holmen A. // J. Catal. A: Gen. 2017. V. 352. P. 515.
- 20. *Shiba N.C.*, *Liu X.*, *Hildebrandt D.*, *Yao Y.* // Reactions. 2021. V. 2. P. 258.
- Braconnier L., Landrivon E., Clémençon I., Legens C., Diehl F., Schuurman Y. // Catal. Today. 2013. V. 215. P. 18.
- 22. Storsæter S., Tøtdal B., Walmsley J.C., Tanem B.S., Holmen A. // J. Catal. 2005. V. 236. № 1. P. 139.
- 23. *ten Have I.C., Weckhuysen B.M.* // Chem. Catal. 2021. V. 1. № 2. P. 339.
- 24. *Liu J.-X.*, *Wang P.*, *Xu W.*, *Hensen E.J.M.* // Engineering. 2017. V. 3. № 4. P. 467.
- 25. *Kitakami O., Sato H., Shimada Y., Sato F., Tana-ka M.* // Phys. Rev. B. 1997. V. 56. № 21. P. 13849.
- 26. *Fischer N.*, *van Steen E.*, *Claeys M.* // Catal. Today. 2011. V. 171. № 1. P. 174.
- Lyu S., Wang L., Zhang J., Liu C., Sun J., Peng B., Wang Y., Rappé K.G., Zhang Y., Li J., Nie L. // ACS Catal. 2018. V. 8. P. 7787.
- 28. Liu Y., Chen C., Hou B., Jia L., Wang J., Ma Z., Wang Q., Li D. // Mol. Catal. 2023. V. 544. Art. 113184.
- 29. *Gnanamani M.K., Jacobs G., Shafer W.D., Davis B.H.* // Catal. Today. 2013. V. 215. P. 13.
- Du H., Jiang M., Zhu H., Huang C., Zhao Z., Dong W., Lu W., Liu T., Zhang Z.C., Ding Y. // Fuel. 2021. V. 292. Art. 1202443.
- 31. *Liu J.*, *Su H.*, *Sun D.*, *Zhang B.*, *Li W.* // J. Am. Chem. Soc. 2013. V. 135. № 44. P. 16284.
- 32. *Patanou E., Tsakoumis N.E., Myrstad R., Blek-kan E.A.* // Appl. Catal. A: Gen. 2018. V. 549. P. 280.
- 33. *van Helden P., Ciobîcă I.M., Coetzer R.L.J.* // Catal. Today. 2016. V. 261. P. 48.
- 34. *Ma C., Yun Y., Zhang T., Suo H., Yan L., Shen X., Li Y., Yang Y. //* ChemCatChem. 2021. V. 13. P. 4350.
- 35. Karaca H., Safonova O.V., Chambrey S., Fongarland P., Roussel P., Griboval-Constant A., Lacroix M., Khoda-kov A.Y. // J. Catal. 2011. V. 277. № 1. P. 14.
- 36. Булавченко О.А., Черепанова С.В. Малахов В.В., Довлитова Л.С. Ищенко А.В., Цыбуля С.В. // Кинетика и катализ. 2009. Т. 50. № 2. С. 205.
- 37. Кобозев Н. И. // Ж. физ. химии. 1939. Т. 13. С. 1.
- 38. Weststrate C.J., Mahmoodinia M., Farstad M.H., Svenum I.-H., Strømsheim M.D., Niemantsverdriet J.W., Venvik H.J. // Catal. Today. 2020. V. 342. P. 124.
- 39. Tuxen A., Carenco S., Chintapalli M., Chuang C.-H., Escudero C., Pach E., Jiang P., Borondics F., Beberwyck B., Alivisatos A.P., Thornton G., Pong W.-F., Guo J., Perez R., Besenbacher F., Salmeron M. // J. Am. Chem. Soc. 2013. V. 135. № 6. P. 2273.
- 40. *Chen C., Wang Q., Wang G., Hou B., Jia L., Li D. //* J. Phys. Chem. C. 2016. V. 120. № 17. P. 9132.

- Liu S., Li Y.-W., Wang J., Jiao H. // Catal. Sci. Technol. 2016. V. 6. P. 8336.
- 42. *Geerlings J.J.C., Zonnevylle M.C., de Groot C.P.M.* // Surf. Sci. 1991. V. 241. № 3. P. 315.
- Ducreux O., Rebours B., Lynch J., Roy-Auberger M., Bazin D. // Oil Gas Sci. Technol. — Rev. IFP. 2009. V. 64. № 1. P. 49.
- 44. Gnanamani M.K., Jacobs G., Graham U.M., Ribeiro M.C., Noronha F.B., Shafer W.D., Davis B.H. // Catal. Today. 2016. V. 261. P. 40.
- 45. Pei Y.P., Liu J.X., Zhao Y.H., Ding Y.J., Liu T., Dong W. Da, Zhu H.J., Su H.Y., Yan L., Li J.L. // ACS Catal. 2015. V. 5. P. 3620.
- 46. *Qi Z.*, *Chen L.*, *Zhang S.*, *Su J.*, *Somorjai G.A.* // Appl. Catal. A: Gen. 2020. V. 602, P. 117701.
- 47. Fang X., Liu B., Cao K., Yang P., Zhao Q., Jiang F., Xu Y., Chen R., Liu X. // ACS Catal. 2020. V. 10. № 4. P. 2799.
- 48. *Lee W.H.*, *Bartholomew C.H.* // J. Catal. 1989. V. 120. № 1. P. 256.
- 49. Lapidus A., Krylova A., Rathousky J., Zukal A., Jancalkova M. // Appl. Catal. A: Gen. 1992. V. 80. № 1. P. 1.
- 50. Shiba N.C., Yao Y., Forbes R.P., Okoye-Chine C.G., Liu X., Hildebrandt D. // Fuel Proc. Technol. 2021. V. 216. Art. 106781.
- Sexton B.A., Hughes A.E., Turney T.W. // J. Catal. 1986. V. 97. P. 390.
- 52. Cherepanova S.V., Koemets E.G., Gerasimov E.Yu., Simentsova I.I., Bulavchenko O.A. // Materials. 2023. V. 16. P. 6216.
- 53. Khodakov A.Y., Lynch J., Bazin D., Rebours B., Zanier N., Moisson B., Chaumette P. // J. Catal. 1997. V. 168 P. 16.
- Puskas I., Fleisch T.H., Full P.R., Kaduk J.A., Marshall C.L., Meyers B.L. // Appl. Catal. A: Gen. 2006. V. 311. P. 146.
- Li C., Wong L., Tang L., Scarlett N.V.Y., Chiang K., Patel J., Burke N., Sage V. // Appl. Catal. A: Gen. 2017.
   V. 537. P. 1.
- Chu W., Chernavskii P.A., Gengembre L., Pankina G.A., Fongarland P., Khodakov A.Y. // J. Catal. 2007. V. 252. № 2. P. 215.
- 57. Jacobs G., Ma W., Gao P., Todic B., Bhatelia T., Bukur D.B., Davis B.H. // Catal. Today. 2013. V. 214. P. 100.
- 58. Lapidus A., Krylova A., Kazanskii V., Borovkov V., Zaitsev A., Rathousky J., Zukal A., Jancalkova M. // Appl. Catal. A: Gen. 1991. V. 73. № 1. P. 65.
- Borg Ø., Eri S., Blekkan E.A., Storsæter S., Wigum H., Rytter E., Holmen A. // J. Catal. 2007. V. 248. № 1. P. 89.
- Rane S., Borg Ø., Rytter E., Holmen A. // Appl. Catal.
   Gen. 2012. V. 437. P. 10.
- 61. *Хасин А.А., Юрьева Т.М., Пармон В.Н.* // Доклады Академии наук. 1999. Т. 367. № 3. С. 367.

- 62. Clarkson J., Ellis P.R., Humble R., Kelly G.J., McKenna M., West J. // Appl. Catal. A: Gen. 2018. V. 550. P 28
- 63. *Shimura K., Miyazawa T., Hanaoka T., Hirata S. //* J. Mol. Catal. A: Chem. 2014. V. 394. P. 22.
- 64. *Park J.-Y., Lee Y.-J., Karandikar P.R., Jun K.-W., Ha K.-S., Park H.-G.* // Appl. Catal. A: Gen. 2012. V. 411–412. P. 15.
- 65. *Ji L., Lin J., Zeng H.C.* // J. Phys. Chem. B. 2000. V. 104. № 8. P. 1783.
- 66. Rahmati M., Huang B., Mortensen M.K., Keyvan-loo K., Fletcher T.H., Woodfield B.F., Hecker W.C., Argyle M.D. // J. Catal. 2018. V. 359. P. 92.
- 67. *Bolt P.H., Habraken F.H.P.M., Geus J.W.* // J. Solid State Chem. 1998. V. 135. № 1. P. 59.
- 68. *Zhang J., Chen J., Ren J., Sun Y.* // Appl. Catal. A: Gen. 2003 V. 243. № 1. P. 121.

- 69. Paredes-Nunez A., Lorito D., Guilhaume N., Mirodatos C., Schuurman Y., Meunier F.C. // Catal. Today. 2015. V. 242. P. 178.
- 70. *Szanyi J., Kwak J.H.* // Phys. Chem. Chem. Phys. 2014. V. 16. P. 15117.
- 71. *Shopska M.G., Shtereva I.Z., Kolev H.G., Tenchev K.K., Todorova S.Z., Kadinov G.B.* // Croat. Chem. Acta. 2020. V. 93. № 2. P. 121.
- 72. Weilach C., Spiel C., Föttinger K., Rupprechter G. // Surf. Sci. 2011. V. 605. № 15–16. P. 1503.
- 73. Liu Y., Jia L., Hou B., Sun D., Li D. // Appl. Catal. A: Gen. 2017. V. 530. P. 30.
- 74. *Wang J., Wang J., Huang X., Chen C., Ma Z., Jia L., Hou B., Li D.* // Int. J. Hydrogen Energy. 2018. V. 43. № 29. P. 13122.
- 75. *Fratalocchi L., Visconti C.G, Lietti L.* // Appl. Catal. A: Gen. 2020. V. 595. Art. 117514.

## Alumina in Active Center Formation of Cobalt Catalysts for Fischer—Tropsch Synthesis

L. V. Sineva<sup>1</sup>, \*, E. Yu. Asalieva<sup>1</sup>, and V. Z. Mordkovich<sup>1</sup>

aNRC "KURCHATOV INSTITUTE" — TISNCM, Tsentralnaya st., 7a, Moscow, Troistk, 108840 Russia
\*e-mail: sinevalv@tisnum.ru

A mini-review is devoted to the role of alumina as a support or a binder in cobalt catalysts for Fischer—Tropsch synthesis, in particular the role in the formation of active centers. Some peculiarities of the physicochemical properties of alumina have been identified, which may be useful in the development of new catalysts. The possibilities for improving catalytic properties by optimizing the shape and size of particles, as well as the degree of reduction of Co when using alumina as a support or a support component are demonstrated. Bibliography: 75 references

Keywords: Fischer—Tropsch synthesis, cobalt catalysts, aluminum oxide, heterogeneous catalysis, active centers

#### **FUNDING**

This work was supported by ongoing institutional funding. No additional grants to carry out or direct this particular research were obtained.

УДК 53.044, 544.43

# СКЛОННОСТЬ К САЖЕОБРАЗОВАНИЮ РАЗЛИЧНЫХ УГЛЕВОДОРОДОВ ПРИ ПИРОЛИЗЕ ЗА УДАРНЫМИ ВОЛНАМИ

© 2024 г. А. В. Дракон<sup>а</sup>, А. В. Еремин<sup>а</sup>, В. Н. Золотаренко<sup>а, b</sup>, М. Р. Коршунова<sup>а, \*</sup>, Е. Ю. Михеева<sup>а</sup>

\*e-mail: mr.korshunova.95@gmail.com

Поступила в редакцию 03.09.2024 г. После доработки 02.12.2024 г. Принята к публикации 26.12.2024 г.

Экспериментально изучено сажеобразование при пиролизе смесей линейных и циклических углеводородов с различным количеством С-С-связей: метана  $CH_4$ , ацетилена  $C_2H_2$ , этилена  $C_2H_4$ , бензола  $C_6H_6$ , метанола  $CH_3OH$ , *н*-бутанола  $C_2H_5OH$ , этанола  $C_4H_9OH$ , диметилового эфира  $CH_3OCH_3$ , диэтилового эфира  $C_2H_5OC_2H_5$ , диметокисметана  $CH_3OCH_2OCH_3$ , фурана  $C_4H_4O$  и тетрагидрофурана С<sub>4</sub>H<sub>8</sub>O. Исследования проведены в условиях ударно-трубного пиролиза за отраженными ударными волнами (ОУВ) в диапазонах температур  $T_{\text{ОУВ}} = 1330 - 2500 \text{ K}$  и давлений  $P_{\text{ОУВ}} = 2.9 - 7.7$  бар в смесях, разбавленных аргоном. Для диагностики сажеобразования применяли методы лазерной экстинкции и лазерно-индуцированной инкандесценции. Получены температурные зависимости выхода сажи и размера образующихся углеродных наночастиц, а также измерены периоды индукции появления конденсированной фазы углерода и значения эффективной энергии активации начальных реакций пиролиза смесей выбранных углеводородов. Помимо этого, с помощью анализа отобранных образцов сажи на просвечивающем электронном микроскопе, определены размеры и структура углеродных наночастиц, образующихся при пиролизе смесей ацетилена  $C_2H_2$ , этилена  $C_2H_4$  и фурана  $C_4H_4O$ . С использованием современных кинетических механизмов выполнено моделирование пиролиза смесей исследованных веществ. В случае метана  $CH_4$ , этилена  $C_7H_4$ , фурана  $C_4H_4O$  и тетрагидрофурана C<sub>4</sub>H<sub>8</sub>O выход сажи и рассчитанное значение эффективной энергии активации начальных реакций пиролиза хорошо согласуются с экспериментальными данными. В случае пиролиза ацетилена С<sub>2</sub>Н<sub>2</sub> и бензола С<sub>6</sub>H<sub>6</sub> кинетическое моделирование сильно недооценивает выход сажи. Рассчитанное значение эффективной энергии активации при пиролизе бензола не согласуется с полученным экспериментально значением. Этот факт может свидетельствовать о неполноте рассматриваемого механизма сажеобразования, а именно отсутствии полиинового пути в механизме сажеобразования.

**Ключевые слова:** ударная труба, пиролиз, сажеобразование, углеродные наночастицы, лазерная экстинкция, кинетическое моделирование

**DOI:** 10.31857/S0453881124060021, **EDN:** QKPASS

#### 1. ВВЕДЕНИЕ

Несмотря на растущую долю возобновляемой энергетики, ископаемые углеводородные

Сокращения и обозначения: ДМЭ — диметиловый эфир; ДММ — диметоксиметан; ДЭЭ — диэтиловый эфир; ЛИИ — лазерно-индуцированная инкандесценция; ОУВ — отраженная ударная волна; ПУВ — падающая ударная волна; ПЭМ — просвечивающая электронная микроскопия;  $P_{\rm OУB}$  — давление за отраженной ударной волной; ТГФ — тетрагидрофуран; ПАУ — полициклический ароматический углеводород;  $T_{\rm Bыч}$  — температура, вычисленная при помощи кинетического моделирования на момент времени расчета t, равного 0.75 и 1.5 мс;  $T_{\rm OУB}$  — температура за отраженной ударной волной.

топлива являются первичным источником 80% энергии во всем мире. При использовании ископаемых видов топлив возникают проблемы загрязнения окружающей среды и изменения климата. В связи с этим одной из актуальных задач, связанных с изучением горения углеводородов, является исследование механизмов образования углеродных наночастиц (сажи). Известно, что частицы сажи, выбрасываемые в атмосферу, оказывают серьезное негативное воздействие на окружающую среду и здоровье человека [1, 2]. В частности, мелкие частицы диаметром менее 2.5 микрометров (РМ2.5), могут проникать в лег-

кие человека и вызывать различные проблемы дыхательной и сердечно-сосудистой систем [3]. Кроме того, образование углеродных наночастиц снижает эффективность и надежность работы различных двигательных устройств.

В работах [4-7] было изучено сажеобразование в условиях горения метана СН4, ацетилена  $C_2H_2$ , этилена  $C_2H_4$  и бензола  $C_6H_6$ , а в работах [8-10] - в условиях их пиролиза. Анализ литературных данных показывает, что сажеобразование при пиролизе и горении различных углеводородов сильно зависит от условий проведения экспериментов: типа реактора, температуры, степени разбавления, стехиометрии, соотношения С/Н, химической структуры молекулы топлива. Ряд исследований [11, 12] указывает на следующую тенденцию к сажеобразованию среди различных химических групп топлив: алканы < алкены < алкины < ароматические углеводороды. Так, среди топлив с одинаковым количеством атомов углерода, но разной химической структурой, большей склонностью к сажеобразованию обладают вещества с двойной или тройной связью. Согласно этой тенденции ацетилен (как первый в ряду алкинов) имеет наибольшую склонность к сажеобразованию среди таких линейных углеводородов, как этилен (алкен), н-гексан и метан (алканы). Бензол как циклический углеводород характеризуется самой высокой склонностью к формированию углеродных наночастиц по сравнению с ацетиленом и этиленом [10]. В работе [13] отмечается, что сажеобразование при горении циклопентана  $C_5H_{10}$  (циклический углеводород, кольцо которого состоит из 5 атомов углерода) выше, чем при горении циклического циклогексана С<sub>6</sub>H<sub>12</sub>.

Как решить проблему растущего спроса на топливо, так и снизить потенциал негативного воздействия продуктов сгорания углеводородов могут биотоплива. К ним относят вещества, произведенные из разнообразной биомассы, в том числе отходов. Особый интерес среди биотоплив представляют кислородсодержащие вещества, поскольку присутствие в них кислорода может интенсифицировать процессы окисления и тем самым снизить сажеобразование. Склонность топлива к сажеобразованию определяется его структурой, наличием связей С-С и относительной долей кислорода в молекуле [14]. Присутствие кислорода в топливе влияет не только на общее количество выхода сажи, но и на процессы ее формирования и окисления. Например, в работах [15, 16] при горении этилена и смеси

бензола с ацетиленом методами масс-спектрометрии были зарегистрированы окисленные ПАУ, которые могут участвовать в процессах формирования углеродных наночастиц. Исследования морфологии и размеров углеродных наночастиц, образующихся при горении обогащенных кислородом топлив, демонстрируют разнообразные и отчасти противоречивые результаты. В работах [17, 18] отмечается, что при горении топливных смесей, обогашенных кислородом, формируются углеродные наночастицы меньшего размера. В [19] отмечается, что среди топлив с одинаковой долей кислорода в молекуле влияние структуры молекулы на морфологию частиц может быть разным. Авторы [20] показали, что присутствие кислородсодержащих добавок (спиртов, линейных эфиров и тетрагидрофурана) не оказывает существенного эффекта на размеры углеродных наночастиц в условиях пиролиза этилена несмотря на увеличение концентрации углерода в смесях с добавками.

Представляют интерес исследования сажеобразования с участием биотоплив не только как топливных добавок, но и как самостоятельного топлива. В качестве биотоплив рассматриваются различные группы химических веществ: спирты, линейные и циклические эфиры, карбонаты и кетоны.

Среди биоспиртов наибольшее распространение получил этанол [21]. В работе [22] показано, что при пиролизе этанола сажи образуется в два раза меньше, чем при пиролизе ацетилена. Другими перпективными биоспиртами считаются метанол и н-бутанол. Авторы [23] сопоставляли результаты исследований сажеобразования в предварительно перемешанном пламени н-бутанола и бутана С<sub>4</sub>Н<sub>10</sub>. Было выявлено, что при одинаковом соотношении С/О объемная доля сажи была выше при горении бутанола. В работе [24] при изучении ламинарных пламен н-бутанола и H-гептана  $C_7H_{16}$  было обнаружено, что при окислении н-бутанола формируется относительно меньше сажи, размер углеродных наночастиц меньше, а "зрелая" сажа более графитизированная. В [25] исследовали продукты пиролиза метанола, этанола и бутанола. Показано, что при пиролизе метанола не образовывалось бензольное кольцо, а ацетилена и этилена среди продуктов пиролиза существенно меньше, чем при пиролизе этанола и бутанола. Помимо этого, по результатам измерений [25] при пиролизе бутанола зафиксировано наибольшее количество углеводородов  $C_3$ – $C_4$ , из чего можно сделать вывод, что бутанол обладает наибольшей склонностью к сажеобразованию по сравнению с метанолом и этанолом.

Другая перспективная группа биотоплив – линейные эфиры. Среди них наиболее популярная и исследованная добавка — это диметиловый эфир (ДМЭ). В работе [26] продемонстрировано, что при горении ДМЭ в условиях ламинарного диффузионного пламени с увеличением доли кислорода до определенной "критической" точки может наблюдаться увеличение сажеобразования. В работах [27, 28] показано, что основные продукты пиролиза ДМЭ – это СН₄ и СО, а более крупных углеводородов (ацетилена или этилена) либо вовсе не обнаружено, либо их количество крайне мало, что является причиной низкой склонности ДМЭ к сажеобразованию. Диэтиловый эфир (ДЭЭ) и диметоксиметан (ДММ) – представители простых эфиров и рассматриваются как перспективные биотоплива [29]. Результаты ряда исследований [30, 31] свидетельствуют, что добавление к дизельному топливу ДЭЭ может быть целесообразнее, чем добавление бутанола, и ДЭЭ эффективнее снижает выбросы СО, и сажи, а в некоторых режимах и NO<sub>r</sub>. Изучая горение ДММ в диффузионном пламени, авторы [32] обнаружили, что выбросов СО<sub>г</sub> образуется столько же, как при горении пропана С<sub>3</sub>Н<sub>8</sub>, однако предшественников образования сажи (этилена и ацетилена) меньше.

В качестве альтернативных биотоплив рассматриваются, помимо простых линейных, также и циклические эфиры (фуран  $C_4H_4O$  и его производные). В работе [33] разбавление этиленового диффузионного пламени на 30% фураном и его производными привело к значительному увеличению образования ПАУ и углеродных наночастиц. В [34] было показано, что добавка тетрагидрофурана (ТГФ) приводит к снижению образования углеродных наночастиц, но увеличивает выход  $NO_x$ . В условиях ударно-трубного эксперимента добавки фурана и тетрагидрофурана существенно увеличили сажеобразование при пиролизе этилена [20, 35] и уменьшили его при пиролизе бензола [36].

Целью настоящей работы было исследование относительной склонности к сажеобразованию различных углеводородов, включая биотоплива: метанол, этанол, бутанол, диметиловый эфир, диэтиловый эфир, диметоксиметан, фуран и тетрагидрофуран в условиях пиролиза в ударной трубе. Полученные результаты могут быть полезны как с точки зрения систематизации дан-

ных о сажеобразовании, так и использоваться для валидации и уточнения кинетических механизмов.

#### 2. ЭКСПЕРИМЕНТАЛЬНАЯ ЧАСТЬ

#### 2.1. Ударная труба и исследуемые смеси

Эксперименты осуществляли на ударной трубе стандартной конструкции диафрагменного типа за отраженными ударными волнами (ОУВ). Параметры за ОУВ определяли на основе измерений скорости падающей ударной волны (ПУВ) с помощью пьезоэлектрических датчиков давления 113B26 ("PCB Piezotronics", США). Вычисления параметров за ОУВ проводили в приближении одномерной газодинамической теории нереагирующих потоков. Исследовательское сечение ударной трубы оснащено четырьмя окнами из Са F<sub>2</sub> диаметром 6 мм для реализации оптических методов диагностики. Метод лазерной экстинкции применяли для измерения выхода сажи и периодов индукции появления конденсированной фазы, а метод лазерно-индуцированной инкандесценции – для определения размеров образующихся углеродных наночастиц. Более детально методы диагностики будут описаны в разделах 2.2 и 2.3.

Для исследования выбраны углеводороды, представляющие линейные и циклические молекулы с разными типами связи между атомами углерода: метан  $CH_4$ , ацетилен  $C_2H_2$ , этилен  $C_2H_4$  и бензол  $C_6H_6$ . В качестве биотоплив — метиловый  $CH_3OH$ , этиловый  $C_2H_5OH$  и бутиловый  $C_4H_9OH$  спирты; линейные эфиры — диметиловый  $CH_3OCH_3$ , диэтиловый  $C_2H_5OC_2H_5$  эфиры и диметоксиметан  $CH_3OCH_2OCH_3$ ; циклические эфиры — фуран  $C_4H_4O$  и тетрагидрофуран  $C_4H_8O$ . В табл. 1 приведены составы исследованных газовых смесей и параметры проведенных экспериментов:  $T_{OyB}$  — температура за OyB,  $P_{OyB}$  — давление за OyB, [C] — концентрация атомов углерода.

По оценкам работы [37], выход сажи в бензоле может достигать около 80—90% даже при давлении меньше 2 бар. Выход сажи в других углеводородах может быть ниже более чем на порядок. Поэтому, если выполнять эксперименты с одинаковым количеством атомов углерода во всех смесях, будет наблюдаться либо очень маленькая величина поглощения в одних углеводородах, либо насыщение сигнала экстинкции в других. Кроме того, необходимо учитывать особенности проведения эксперимента в удар-

Таблина 1	Составы исследо	ванных смесей и па	паметпы экспе	пиментов
таолица т.	Составы исследо	ванных смесси и на	рамстры экспс	римсніов

Обозначение смеси	Состав смеси	$P_{ m OYB}$ , бар	$T_{\mathrm{OYB}}$ , K	[C], моль/м <sup>3</sup>
Смесь 1	5% СН <sub>4</sub> в Аг	5.8-7.7	1980-2410	1.4-2.2
Смесь 2	3% С <sub>2</sub> Н <sub>2</sub> в Аг	3.6-4.6	1670-2230	1.2-1.9
Смесь 3	5% С <sub>2</sub> Н <sub>4</sub> в Аг	2.4-3.6	2031-2497	1.4-2.2
Смесь 4	0.25% С <sub>6</sub> Н <sub>6</sub> в Ar	4.3-5.7	1330-1790	0.3-0.8
Смесь 5	2.5% С <sub>2</sub> H <sub>5</sub> OС <sub>2</sub> H <sub>5</sub> в Ar	2.9-3.5	2054-2380	1.6-2.0
Смесь 6	2.5% С <sub>4</sub> H <sub>8</sub> O в Ar	3.0-3.6	1936-2200	2.6-2.8
Смесь 7	1% С <sub>4</sub> Н <sub>4</sub> О в Ar	3.0-4.6	1631-2042	0.9-1.5
Смесь 8	5% CH <sub>3</sub> OCH <sub>3</sub> B Ar	2.9-3.6	1940-2340	1.5-2.2
Смесь 9	3.5% CH <sub>3</sub> OCH <sub>2</sub> OCH <sub>3</sub> B Ar	2.9-3.5	1845-2340	1.9-2.2
Смесь 10	1% CH <sub>3</sub> OH в Ar	3.5-4.2	1860-2295	0.2-0.3
Смесь 11	3% С <sub>2</sub> Н <sub>5</sub> ОН в Ar	3.4-4.8	1740-2205	1.1-2
Смесь 12	1% С <sub>4</sub> Н <sub>9</sub> ОН в Ar	3.6-4.0	1950-2185	0.9-1

Примечание.  $P_{\text{ОУВ}}$  — давление за ОУВ,  $T_{\text{ОУВ}}$  — температура за ОУВ, [C] — концентрация атомов углерода.

ной трубе: при увеличении доли молекулярных соединений в смеси условия в течение эксперимента начинают существенно отличаться от приближения одномерного газодинамического реактора. Так, в частности, в случае метана пришлось ограничиться 5% его мольной доли в смеси и повысить давление, чтобы получить минимальные сигналы поглощения на 633 нм. В связи с этими обстоятельствами было принято решение выбрать разное количество атомов углерода в исходных смесях различных углеводородов.

#### 2.2. Лазерная экстинкция

С помощью метода лазерной экстинкции были измерены выход сажи и периоды индукции появления конденсированной фазы. Излучение He—Ne лазера ("Lumentium (JDSU)", США) (длина волны — 633 нм) проходило через исследовательское сечение ударной трубы и регистрировалось на фотодиоде PDA10A-EC ("Thorlabs", США) изолированном интерференционным узким светофильтром для отрезания сигнала теплового излучения от образующихся сажевых наночастиц (рис. 1).

При помощи метода лазерной экстинкции были получены величины выхода сажи и периоды индукции появление конденсированной фазы углерода. Ослабление зондирующего излучения

связано с объемной долей образующихся частиц  $f_V$  при помощи закона Ламберта—Бугера—Бэра (1):

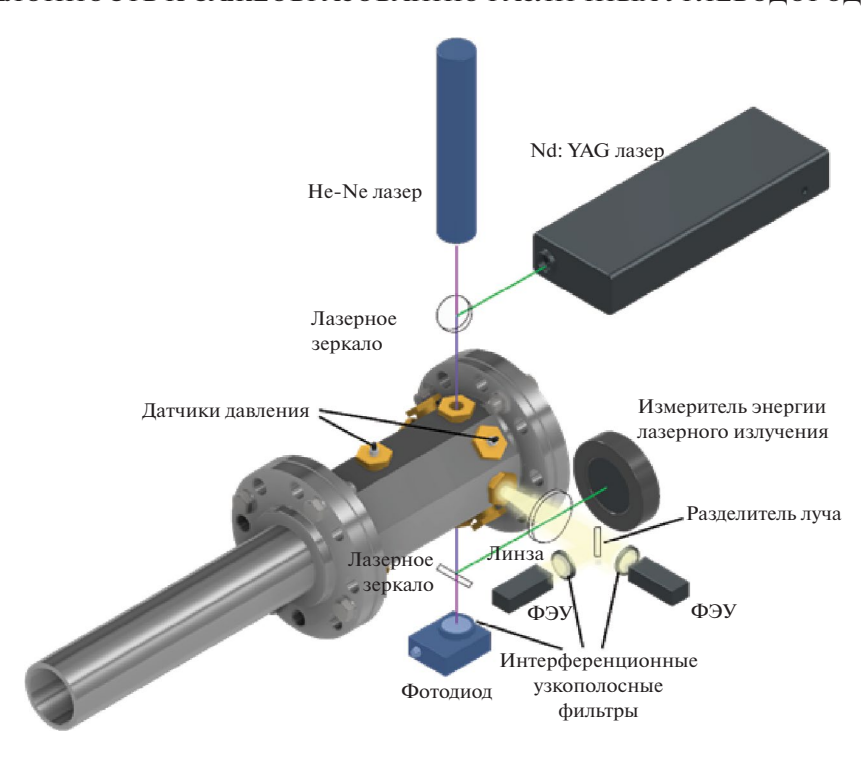
$$\frac{I_0}{I_t} = \exp(l f_V k_{\text{\tiny 9KCT}}(E(m), \lambda)), \qquad (1)$$

где  $I_0, I_t$  –интенсивность излучения, падающего и прошедшего через среду соответственно; l – длина оптического пути, равная внутреннему диаметру ударной трубы (50 мм);  $k_{\rm экст}$  – коэффициент экстинкции, зависящий от  $\lambda$  – длины волны зондирующего излучения, E(m) – функции коэффициента преломления углеродных наночастиц. В приближении Рэлея, когда размер углеродных наночастиц d много меньше длины волны зондирующего излучения  $\lambda$  ( $d \ll \lambda$ ), слагаемым, отвечающим за рассеяние, можно пренебречь.

Объемная доля образующихся углеродных наночастиц может быть связана с более наглядной для интерпретации величиной выхода сажи *SY*, отражающей количество атомов углерода, перешедших в конденсированную фазу, к общему количеству углерода в системе. Выход сажи связан с объемной долей как:

$$SY = f_V \frac{\rho}{[C]M},\tag{2}$$

где  $\rho$  — плотность углеродных наночастиц, [C] — концентрация атомов углерода в смеси, M — молярная масса углерода. Функция коэффициента преломления углеродных наночастиц E(m) зави-

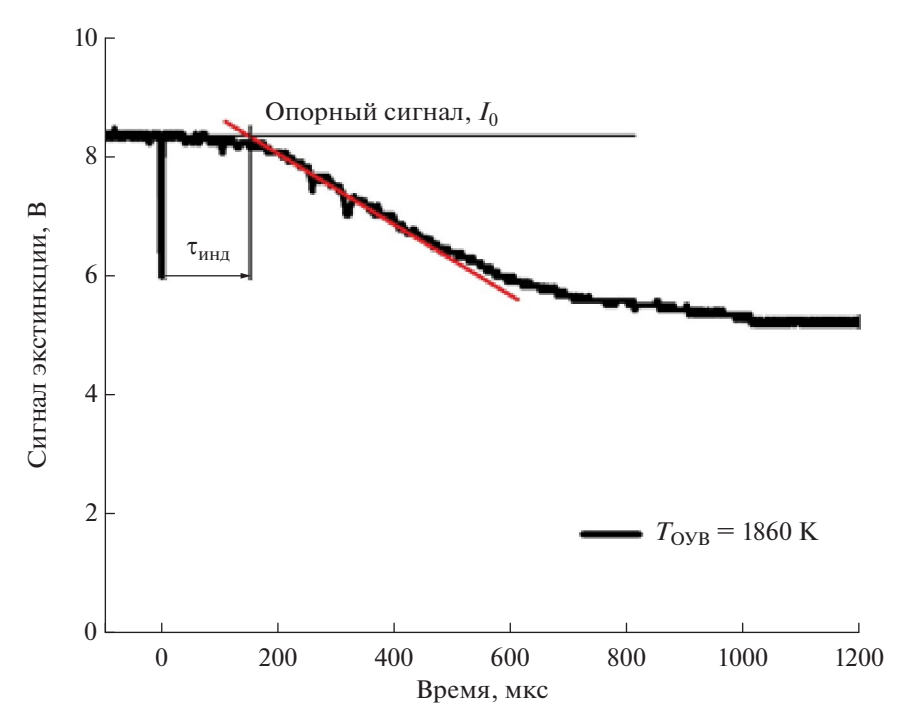


**Рис. 1.** Схема оптической диагностики. Голубые элементы относятся к методу лазерной экстинкции, а темно-серые — к методу ЛИИ.

сит от внутреннего строения частиц, их размера и часто неизвестна. При пиролизе смесей с различной концентрацией углерода и различной структурой исходной молекулы углеводорода она

может сильно варьироваться, поэтому результаты представлены в виде величины  $SY \times E(m)$ .

Регистрируя временной профиль лазерной экстинкции (рис. 2), можно определить задержку по-



**Рис. 2.** Временной профиль лазерной экстинкции на 633 нм и методика определения периода индукции появления конденсированной фазы в смеси бензола (смесь 4).

явления сигнала и образования наночастиц сажи и таким образом измерить периоды индукции появления конденсированной фазы углерода [8]. Строя температурную зависимость периодов индукции в координатах Аррениуса, можно вычислить эффективную энергию активации начальных реакций пиролиза исследованных смесей (более подробно методика будет описана в разделе 3.3).

#### 2.3. Лазерно-индуцированная инкандесценция

Для *in situ* измерений размеров образующихся сажевых наночастиц был реализован метод лазерно-индуцированной инкандесценции (ЛИИ) [38], схема его реализации представлена на рис. 1.

Метод ЛИИ заключается в импульсном нагреве наночастиц и регистрации их теплового излучения в ходе процессов нагрева и последующего охлаждения. Для нагрева наночастиц использовали Nd:YAG лазер LQ129 ("Solar laser systems", Беларусь) на длине волны 1064 нм, длительность импульса составляла 12 нс. Плотность энергии лазерного излучения не превышала 0.1 Дж/см<sup>2</sup> для исключения испарения наночастиц, при котором осложняется интерпретация ЛИИ-сигналов. Контроль плотности энергии лазера осуществляли при помощи измерителя энергии лазерного излучения ES145C ("Thorlabs", США). Сигналы инкандесценции регистрировали с помощью двух фотоэлектронных умножителей H6780-20 ("Hamamatsu", Япония), имеющих временное разрешение 0.78 нс, с использованием узкополосных оптических фильтров с центрами пропускания на 450 и 670 нм. Данные длины волн соответствуют наибольшей интенсивности излучения углеродных наночастиц при их характерной максимальной температуре ≈ 4000–4500 К и исключают пересечение с линиями Свана димеров С2. Измерения ЛИИ были синхронизированы с датчиком давления, находящимся в исследовательском сечении, при помощи генератора импульсов и задержек BNC575 ("Berkeley Nucleonics Corp", США). Измерения осуществляли через 1.5 мс после прихода ОУВ в исследовательское сечение. Чтобы определить размер частиц, экспериментальные сигналы инканденсценции сопоставляли с расчетными сигналами, полученными на основе решения системы уравнений законов сохранения энергии и массы для сферической углеродной наночастицы. Подробно модель описана в работе [38]. В отличие от параметров, принятых в [39], в настоящей работе для обработки сигналов ЛИИ коэффициент аккомодации тепловой энергии

на поверхности наночастиц был принят равным 0.44 в соответствии с расчетами [39], а функция коэффициента преломления углеродных наночастиц E(m) = 0.35-0.44 в соответствии с измерениями [40]. Предполагалось, что распределение частиц по размерам описывается логнормальной функцией распределения. В связи с неоднозначностью значений оптических и термодинамических свойств углеродных наночастиц, входящих в систему решаемых уравнений, погрешность измерений размеров углеродных частиц по оценкам [38] составила от -34% до +27%.

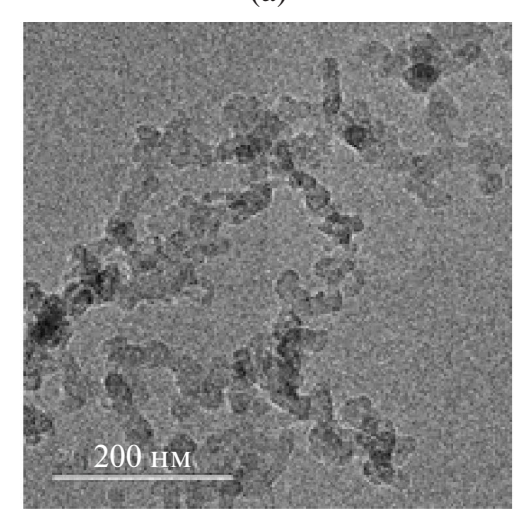
#### 2.4. Просвечивающая электронная микроскопия

Помимо in situ измерения размеров углеродных наночастиц проводили отбор образцов для их исследования на просвечивающем электронном микроскопе (ПЭМ) ("FEI Osiris", США), полученные снимки высокого разрешения приведены на рис. 3. После их обработки в программе ImageJ [41] определяли характерный размер углеродных наночастиц, строили гистограммы распределения углеродных наночастиц по размерам. Путем применения к микрофотографиям преобразования Фурье и последующей фильтрации с использованием кольцевых масок с размерами 0.335 нм (расстояние между графитовыми плоскостями) и 0.7 нм (при которых силы Ван-дер-Ваальса между слоями можно считать незначительными) были получены скелетонизированные изображения (рис. 3в). В результате их обработки определено среднее межплоскостное расстояние между графеновыми плоскостями, отражающее степень графитизации сажи. Более подробно методология описана в работе [40]. Отметим, что отбор сажевых частиц производили после экспериментов, температурные условия которых соответствовали максимальному выходу сажи.

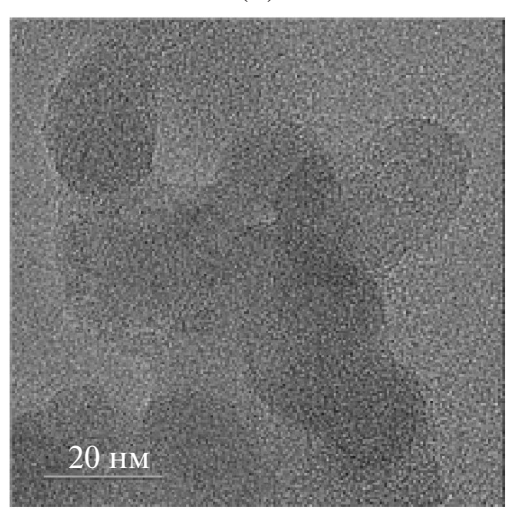
#### 2.5. Кинетическое моделирование

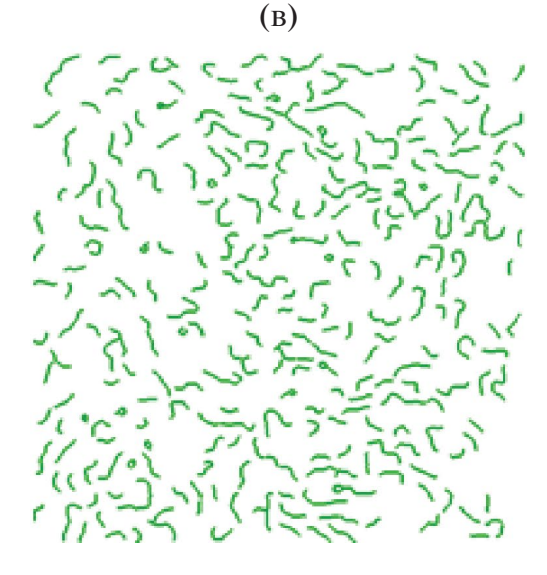
Моделирование проводили в программе OpenSMOKE++ [42], в качестве реактора был выбран реактор постоянного объема, а в качестве кинетического механизма, включающего сажеобразование — модель CRECK [43]. Для описания экспериментов с биотопливами в кинетическую схему были добавлены блоки реакций их пиролиза из работ [44—47]. Для решения системы уравнений баланса фракций частиц, численно описывающей процессы коагуляции, в данной модели применяется дискретный секционный подход. В рамках такого подхода крупные углеводородные соединения разделяются по массе на 25 псевдо-

(a)



**(б)** 





**Рис. 3.** Микрофотографии углеродных наночастиц разного разрешения (а, б) и преобразованное в скелетонизированную структуру сажевой наночастицы изображение (в).

классов (BIN $_{i=1-25}$ ). BIN $_{1}$ -BIN $_{4}$  трактуются как крупные газофазные ПАУ, BIN $_{5}$  — наименьшая твердая углеродная псевдочастица с характерным размером около 2 нм. BIN $_{5}$ -BIN $_{12}$  — отдельные (одиночные) сферические частицы размером до 10.1 нм. Такие частицы коалесцируют между собой с образованием одиночной (или нескольких) более крупной частицы. BIN $_{13}$ -BIN $_{25}$  представляют собой агрегат частиц BIN $_{12}$ , то есть фрактал из некоторого (от 2 до 256) частиц BIN $_{12}$ . Для анализа температурных зависимостей расчетного выхода сажи  $Y^*$  применяли соотношение:

$$Y^* = \frac{\sum_{i=5}^{25} X_{\text{BIN}_i} \times C_{\text{BIN}_i}}{X_c \times C_0} \,, \tag{3}$$

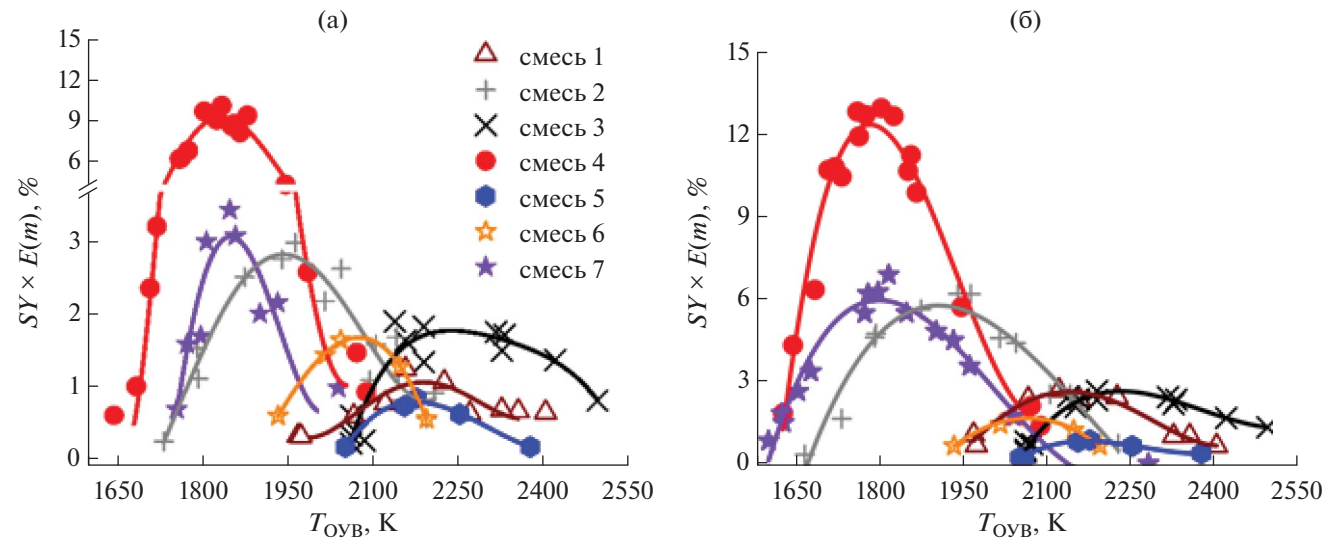
где  $X_{{\rm BIN}_i}$  — мольная доля  ${\rm BIN}_i$ -ого компонента;  $C_{{\rm BIN}_i}$  — количество атомов углерода  ${\rm BIN}_i$ -ого компонента;  $X_{\rm c}$  — мольная доля углеводорода в исходной смеси;  $C_0$  — количество атомов углерода в молекуле исходного углеводорода в смеси. Величина расчетного выхода сажи отражает соотношение между углеродом, перешедшем в конденсированную фазу, к общему количеству углерода в системе.

#### 3. РЕЗУЛЬТАТЫ И ИХ ОБСУЖДЕНИЕ

#### 3.1. Измерения выхода сажи

По результатам измерений лазерной экстинкции на длине волны 633 нм были получены температурные зависимости выхода сажи, образующейся при пиролизе исследованных смесей за ОУВ, на момент времени t, равный 0.75 и 1.5 мс. На рис. 4 представлены зависимости, построенные от температуры за отраженной ударной волной  $T_{\rm OYB}$ .

Температуры, соответствующие максимуму выхода сажи, отличаются для разных углеводородов. Это может быть связано с тем фактом, что при пиролизе выбранных углеводородов имеет место понижение температуры реагирующей газовой среды, связанное с теплопоглощением на распад исходного топлива [9, 10], причем в разных реагирующих смесях величина данного эффекта разная. В связи с вышесказанным имеет смысл представлять полученные зависимости выхода сажи от температуры не за отраженной ударной волной, а от вычисленной при помощи кинетического моделирования температуры реагирующей газовой смеси ( $T_{\rm выч}$ ) на момент времени измерений. Хорошее согласие между измеренным экспериментально и рассчитанным значениями температуры реагирующей газовой смеси было показано в работе [20].

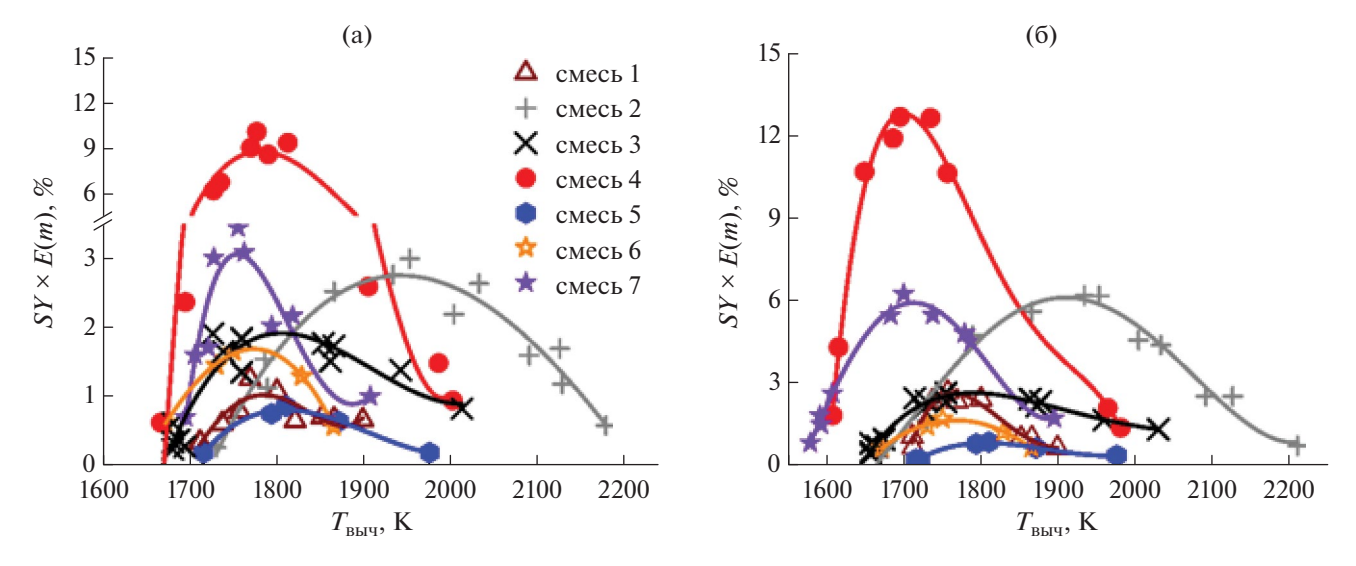


**Рис. 4.** Зависимости выхода сажи при пиролизе углеводородов от температуры за ОУВ в момент времени t, равный 0.75 (а) и 1.5 мс (б): смесь 1 — метан + аргон, смесь 2 — ацетилен + аргон, смесь 3 — этилен + аргон, смесь 4 — бензол + аргон, смесь 5 — диэтиловый эфир + аргон, смесь 6 — тетрагидрофуран + аргон, смесь 7 — фуран + аргон. Точки — эксперимент, кривые — аппроксимация.

На рис. 5 приведены полученные зависимости выхода сажи от вычисленной температуры  $T_{\rm выч}$  на момент времени t, равный 0.75 (рис. 5а) и 1.5 мс (рис. 5б).

Можно отметить, что в таком представлении максимум выхода сажи приходится на примерно одинаковую температуру 1750—1800 К для всех рассматриваемых углеводородов за исключением ацетилена (смесь 2). Наибольшее количество углеродных наночастиц в условиях проведенных

экспериментов образуется при пиролизе бензола, несколько меньше — при пиролизе ацетилена и фурана. В смеси, содержащей 1% фурана, величина выхода сажи сопоставима с таковой для смеси с 3% ацетилена и примерно в два раза выше, чем в случае пиролиза 5% этилена и 5% метана. При пиролизе 5% метана и 5% этилена количество формирующейся сажи на более поздних стадиях сажеобразования одинаковое. При пиролизе смесей, содержащих тетрагидрофуран и диэтиловый эфир, также зарегистриро-

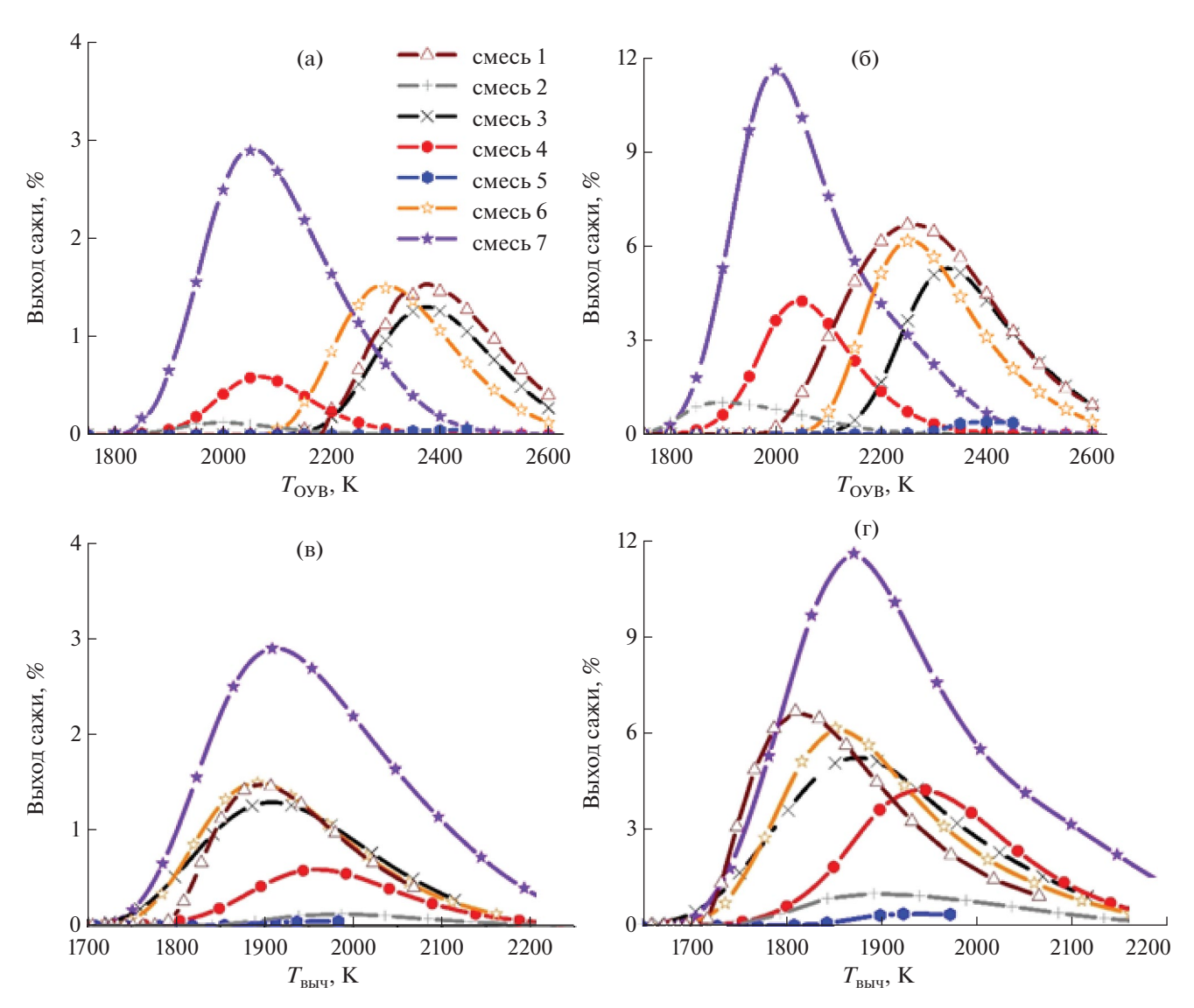


**Рис. 5.** Зависимости выхода сажи при пиролизе углеводородов от вычисленной температуры в момент времени t, равный 0.75 (а) и 1.5 мс (б): смесь 1 — метан + аргон, смесь 2 — ацетилен + аргон, смесь 3 — этилен + аргон, смесь 4 — бензол + аргон, смесь 5 — диэтиловый эфир + аргон, смесь 6 — тетрагидрофуран, смесь 7 — фуран + аргон. Точки — эксперимент, кривые — аппроксимация.

вано сажеобразование. При пиролизе тетрагидрофурана выход сажи не превышает значения такового при пиролизе этилена, а при пиролизе диэтилового эфира углеродных наночастиц образуется еще меньше. При пиролизе смесей метанола, этанола и *н*-бутанола, диметилового эфира и диметоксиметана с аргоном не было зарегистрировано сигналов экстинкции. Это говорит о том, что указанные представители биотоплив наименее склонны к сажеобразованию среди выбранных углеводородов в условиях проведенных экспериментов.

Анализируя температурные зависимости выхода сажи, полученные для разных моментов

времени (рис. 5а и 5б), можно отметить, что в случае сажеобразования при пиролизе бензола, тетрагидрофурана и диэтилового эфира величина выхода сажи меняется незначительно, тогда как в случае пиролиза метана, ацетилена, этилена и фурана увеличивается в ~2 раза. Данный факт свидетельствует о том, что при пиролизе бензола, тетрагидрофурана и диэтилового эфира сажеобразование протекает быстрее относительно других исследованных углеводородов. Среди изученных углеводородов ацетилен характеризуется наиболее широким температурным интервалом сажеобразования.



**Рис. 6.** Зависимости расчетного выхода сажи при пиролизе различных углеводородов от начальной температуры расчета  $T_0$ , соответствующей температуре за ОУВ (а, б), и вычисленной температуры  $T_{\rm Bыч}$  (в, г) для моментов времени t, равных 0.75 (а, в) и 1.5 мс (б, г): смесь 1 — метан + аргон, смесь 2 — ацетилен + аргон, смесь 3 — этилен + аргон, смесь 4 — бензол + аргон, смесь 5 — диэтиловый эфир + аргон, смесь 6 — тетрагидрофуран + аргон, смесь 7 — фуран + аргон . Точки — эксперимент, кривые — аппроксимация.

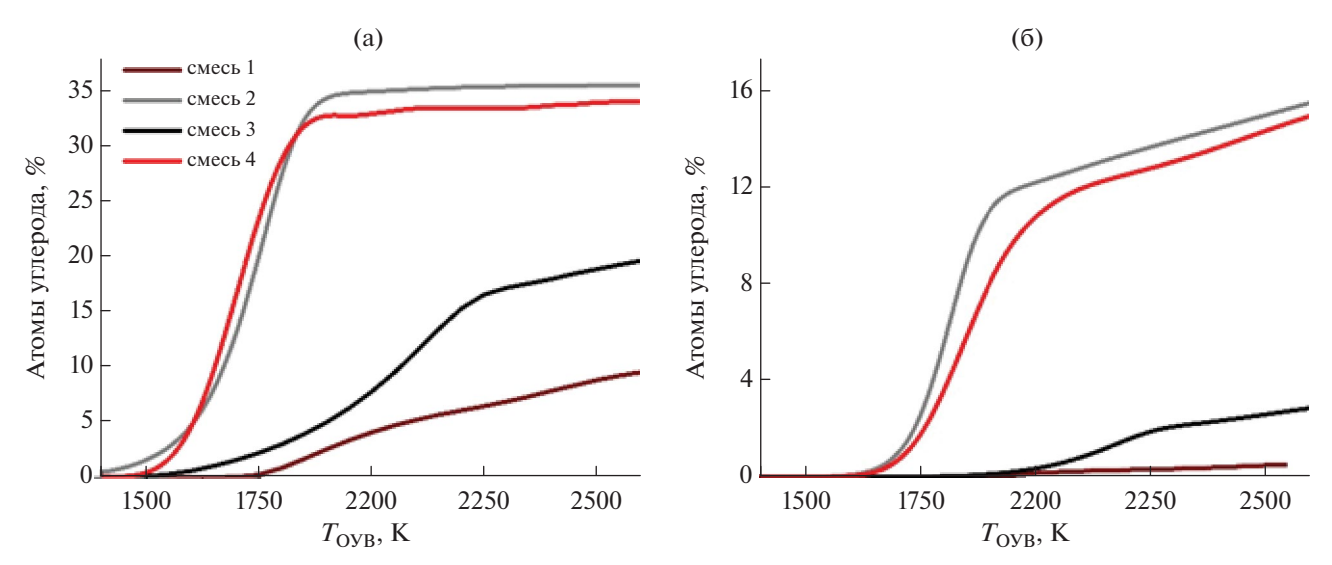
Выявленные тенденции к сажеобразованию выбранных углеводородов, представляющих биотоплива, можно связать со структурой молекул:

- высокий выход сажи при пиролизе фурана относительно других исследованных углеводородов, вероятно, объясняется его циклической структурой;
- для тетрагидрофурана, имеющего циклическую структуру, меньшая склонность к сажеобразованию связана с отсутствием двойных связей С—С и большей долей кислорода в молекуле относительно других исследованных углеводородов циклической структуры;
- в случае диэтилового эфира представителя простых эфиров, в составе которых есть С—С-связи, наличие кислорода в молекуле способствует формированию СО и удалению некого количества углерода, участвующего в сажеобразовании, что может объяснять меньший выход сажи при пиролизе диэтилового эфира;
- для диметилового эфира и диметоксиметана, представителей простых эфиров, отсутствие сажеобразования, помимо формирования СО, может быть связано с отсутствием С–С-связей и относительно высокой долей кислорода в молекулах;
- для группы спиртов метанола, этанола и н-бутанола — отсутствие сажеобразования может объясняться формированием радикала ОН, который способствует снижению сажеобразования за счет окисления молекул-предшествен-

ников сажевых частиц, а также активным потреблением Н в процессах разложения спиртов, что приводит к замедлению роста сажи через механизм HACA ("hydrogen abstraction acetylene addition") [48].

На рис. 6 представлены полученные по результатам кинетического моделирования температурные зависимости расчетного выхода сажи при пиролизе выбранных углеводородов, построенные от начальной температуры расчета  $T_0$ , соответствующей температуре за ОУВ (рис. ба и бб), и вычисленной температуры  $T_{\text{выч}}$  (рис. 6в и 6г) для моментов времени t, равных 0.75 (рис. 6а и 6в) и 1.5 мс (рис. 6б и 6г). Эта величина коррелирует с выходом сажи, измеренным экспериментально, но не учитывает зависимость оптических свойств частиц от их размера и структуры. Результаты моделирования сажеобразования при пиролизе смесей, содержащих ацетилен и бензол, не согласуются с экспериментальными данными: расчет сильно недооценивает количество углерода в конденсированной фазе для этих смесей по сравнению с другими. С увеличением времени t с 0.75 по 1.5 мс расчетный выход сажи при пиролизе всех рассматриваемых углеводородов существенно повышается, что не соответствует полученным экспериментальным данным.

Основной механизм формирования углеродных наночастиц в механизме CRECK протекает через реакции роста молекул полициклических ароматических углеводородов (ПАУ) и поверхностного роста посредством, преимущественно,



**Рис. 7.** Рассчитанные зависимости выхода диацетилена  $C_4H_2$  (а) и триацетилена  $C_6H_2$  (б) от начальной температуры в момент времени t=1 мс: смесь 1- метан + аргон, смесь 2- ацетилен + аргон, смесь 3- этилен + аргон, смесь 4- бензол + аргон.

механизма НАСА [49]. Расчет мольных долей  $C_4H_2$  и  $C_6H_2$  для смесей бензола и ацетилена показывает, что до 50% углерода смеси может запасаться в этих соединениях (рис. 7). Исходя из этого можно сделать вывод, что возможная причина несоответствия расчета с экспериментальными данными для смесей бензола и ацетилена связана с неполнотой механизма сажеобразования кинетической схемы: в частности, механизма с участием полииновых молекул, предложенного в [50] и развитого в [10, 51].

#### 3.2. Измерение размера образующихся углеродных наночастиц

В настоящей работе при помощи метода ЛИИ были получены температурные зависимости размера сажевых частиц, образующихся при пиролизе смесей ацетилена, этилена и фурана с аргоном, от температуры за ОУВ (рис. 8а) и от вычисленной температуры, т.е. с учетом падения температуры реагирующей смеси из-за теплопоглощения на распад углеводородов (рис. 8б).

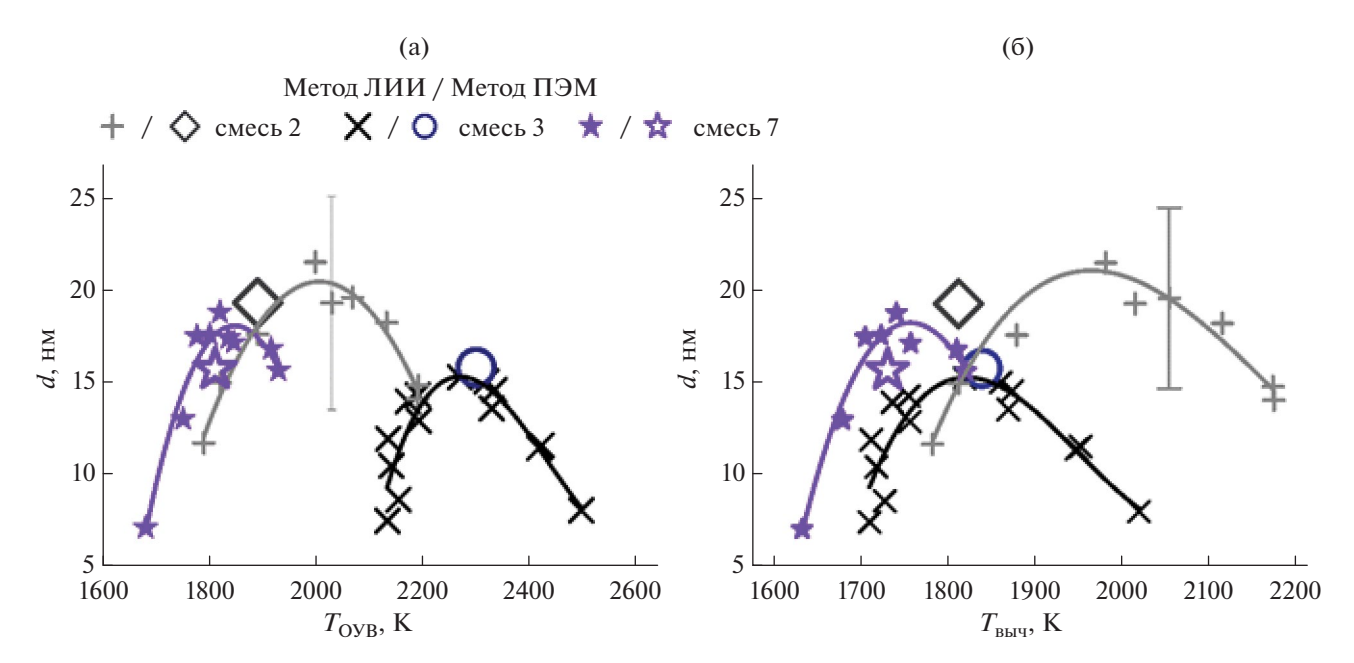
Размеры частиц, определенные методом ЛИИ, находятся в диапазоне 7—21 нм. Средний размер частиц, полученный при обработке микроснимков ПЭМ, составляет 19, 15 и 16 нм для смесей, содержащих ацетилен, этилен и фуран соответственно, что хорошо согласуется с результатами измерений ЛИИ. Как следует из рис. 8, кривая зависимости размера образующихся углеродных

наночастиц имеет колоколообразную форму, как и температурная зависимость выхода сажи.

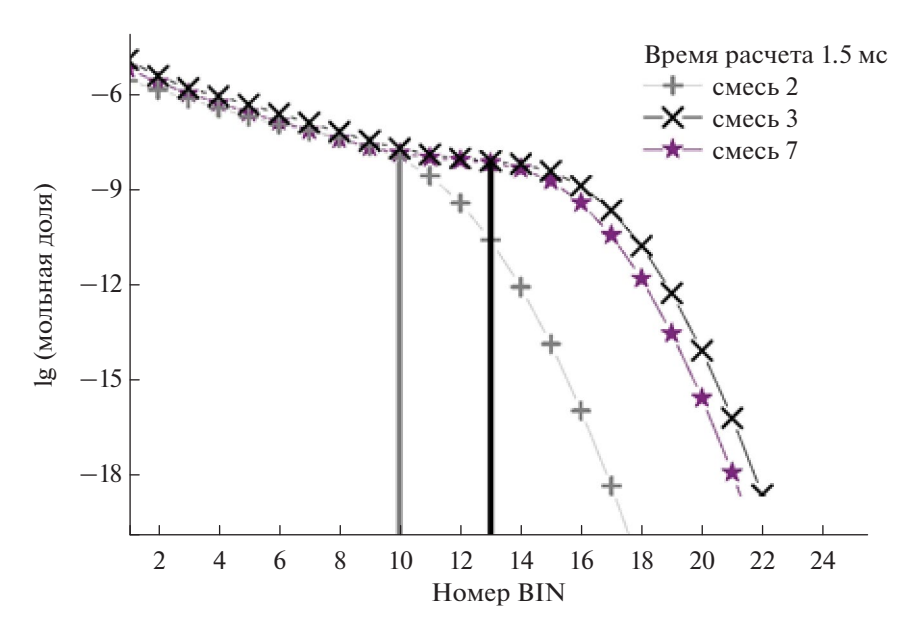
Наблюдаемые различия в размерах образующихся углеродных наночастиц при пиролизе смесей, содержащих этилен и ацетилен, согласуются с результатами измерений объемной доли. Данные для смесей фурана и ацетилена также коррелируют с результатами измерений экстинкции с учетом степени погрешности метода ЛИИ.

С помощью численного моделирования было получено распределение мольных долей различных ВІN. Результаты вычислений при температурах, соответствующих максимальному расчетному выходу сажи, показаны на рис. 9. Так, для смеси этилена начальная температура расчета составила 2300 K, для смеси фурана — 2000 K, а для смеси ацетилена — 1900 K.

Зависимость на рис. 9 не имеет локальных минимумов и максимумов, как это обычно наблюдается для зависимостей, полученных для пламен [43]. Недооценка скорости реакций коалесценции и агрегации может сглаживать локальный минимум и недооценивать локальный максимум, что приводит к недооценке среднего размера частиц [43]. В настоящей работе средний размер определяли в точке перегиба кривой. Согласно результатам моделирования, на момент времени 1.5 мс для смеси, содержащей ацетилен, рассчитанный размер частиц сажи со-



**Рис. 8.** Зависимости размера углеродных наночастиц, образовавшихся при пиролизе смесей с аргоном 3% С $_2$ Н $_2$  (смесь 2), 5% С $_2$ Н $_4$  (смесь 3) и 1% С $_4$ Н $_4$ О (смесь 7) от  $T_{\rm OYB}$  (а) и  $T_{\rm BMY}$  (б), полученные методом ЛИИ в момент времени 1.5 мс и методом ПЭМ.



**Рис. 9.** Расчетные зависимости мольной доли различных BIN в смесях, содержащих ацетилен (смесь 2), этилен (смесь 3) и фуран (смесь 7) на момент времени 1.5 мс.

ответствует BIN<sub>10</sub>, которому в модели присвоен размер 6.4 нм. Для смесей этилена и фурана с аргоном средний размер частиц соответствует BIN<sub>13</sub>, представляющему в модели агрегат двух частиц диаметром 13 нм. Полученные расчетные данные для этилена и фурана согласуются с результатами экспериментальных измерений с использованием методов ЛИИ и ПЭМ. Рассчитанный размер наночастиц для смеси, содержащей ацетилен, значительно ниже экспериментального значения, как и расчетный выход сажи (раздел 3.1).

При помощи микрофотографий ПЭМ была проанализирована внутренняя структура отобранных образцов сажевых наночастиц. Расстояние между графеновыми плоскостями для частиц со средним размером 19 нм, образовавшихся при пиролизе ацетилена, составляет 0.39 нм, а для частиц со средним размером 15 нм, сформировавшихся при пиролизе этилена -0.47 нм, что хорошо согласуется с результатами работы [40]. Для частиц со средним размером 16 нм, образовавшихся при пиролизе фурана, измеренное межплоскостное расстояние между графеновыми плоскостями равно 0.45 нм. Результаты анализа микрофотографий свидетельствуют о том, что присутствие кислорода не оказывает влияния на степень графитизации сажи: расстояния между графеновыми плоскостями для наночастиц, образовавшихся при пиролизе этилена и фурана, отличаются в пределе погрешности. При пиролизе ацетилена степень

графитизации частиц выше и близка к межплоскостному расстоянию в графите (0.335 нм). Это может быть связано с тем, что при пиролизе этилена и фурана образуется больше алифатических соединений. Они встраиваются в графеновые плоскости, замедляя их рост, и тем самым способствуют меньшей степени графитизации сажи по сравнению с пиролизом ацетилена [52].

## 3.3. Периоды индукции появления конденсированной фазы углерода

При помощи метода, который иллюстрирует рис. 2, по временным профилям экстинкции были определены периоды индукции появления конденсированной фазы углерода. Из температурной зависимости периодов индукции в координатах Аррениуса по углу наклона кривой с использованием уравнения (4) можно определить эффективную энергию активации начальных реакций пиролиза  $E_{\rm эфф}$  исследуемой смеси [8]:

$$\frac{1}{\tau_{_{\text{ИНЛ}}}} = A \exp\left(-\frac{E_{9 \phi \phi}}{RT}\right) \times [C]^{-n}, \tag{4}$$

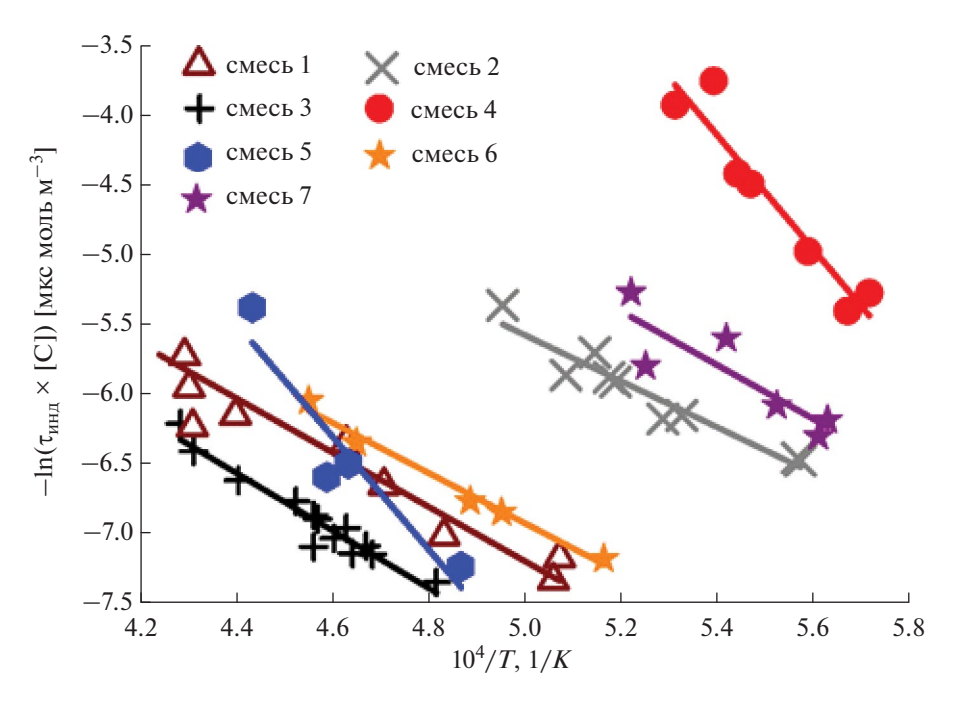
где  $\tau_{\text{инд}}$  — период индукции появления конденсированной фазы; A — предэкспотенциальный множитель;  $E_{\text{эфф}}$  — эффективная энергия начальных реакций пиролиза; R — универсальная газовая постоянная; T — температура; [C] — концентрация атомов углерода в смеси, n — показатель степени, отражающий зависимость периодов индукции от концентрации углерода. Величина периодов индукции сажеобразования,

как и эффективная энергия активации начальных реакций пиролиза, является интегральной характеристикой процесса, поэтому ее зависимость от концентрации углерода неоднозначна. Для разных углеводородов эта зависимость может быть разной [53]. Однако среди всей совокупности химических реакций пиролиза углеводорода до появления конденсированной фазы лимитирующей стадией процесса сажеобразования часто являются первичные реакции пиролиза исходной молекулы. Последующие реакции рекомбинации обладают меньшей энергией активации и протекают с более высокими скоростями. Поэтому в настоящей работе для оценки эффективной энергии активации начальных реакций пиролиза принят простейший случай пропорциональности периода индукции появления конденсированной фазы углерода его концентрации (n = 1), предложенный в работе [53].

На рис. 10 показаны температурные зависимости нормированных периодов индукции появления конденсированной фазы углерода  $\tau_{\text{инд}}$  в координатах Аррениуса  $\ln(\tau_{\text{инд}}[C]) \approx 1/T$ . По экспериментальным точкам проведены аппроксимирующие кривые. Используя зависимость (4), можно определить эффективную энергию активаций начальных реакций пиролиза исследованных смесей. Найденные значения приведены

в табл. 2. При пиролизе смесей, содержащих диэтиловый эфир и бензол, значения  $E_{\rm эфф}$  наиболее отличаются от таковых для остальных углеводородов.

При помощи численного моделирования были получены временные профили расчетного выхода сажи при разных температурах. Выход сажи вычисляли по формуле (3), основываясь на суммировании компонент с BIN<sub>5</sub> до BIN<sub>25</sub>. По этим профилям, основываясь на методологии, указанной на рис. 2, были определены расчетные периоды индукции появления конденсированной фазы. Пример профилей приведен на рис. 11. Измеренные расчетные значения тинд сильно превышают экспериментальные, что свидетельствует о сильном разногласии между расчетными данными и экспериментом, поскольку наименьшая твердая частица в кинетической модели BIN<sub>5</sub> представлена размером 2 нм, в то время как в эксперименте поглощение сигнала экстинкции принадлежит более крупным частицам сажи. Возможной причиной такого несоответствия может являться как неполный механизм сажеобразования, так и кинетические пути образования зародышей сажи. Например, путь формирования наименьшей твердой частицы BIN<sub>5</sub> в модели записан через химические реакции взаимодействия BIN<sub>2-4</sub>, в то время как



**Рис. 10.** Зависимости периода индукции появления конденсированной фазы углерода от температуры за ОУВ в координатах Аррениуса: смесь 1- метан + аргон, смесь 2- ацетилен + аргон, смесь 3- этилен + аргон, смесь 4- бензол, смесь 5- диэтиловый эфир + аргон, смесь 6- тетрагидрофуран + аргон, смесь 7- фуран + аргон. Точки - эксперимент, кривые - аппроксимация.

**Таблица 2.** Значения эффективной энергии активации начальных реакций пиролиза  $E_{\rm эфф}$ , полученные по экспериментальным данным и результатам кинетического моделирования

Обозначение смеси	Состав смеси	$E_{ m 9 d \phi}$ , кДж/моль		
		эксперимент	кинетическое моделирование	
Смесь 1	5% СН <sub>4</sub> в Аг	$155 \pm 30$	$132.1 \pm 2$	
Смесь 2	3% С <sub>2</sub> Н <sub>2</sub> в Аг	$154 \pm 15$	$124.1 \pm 11$	
Смесь 3	5% С <sub>2</sub> Н <sub>4</sub> в Аг	161 ± 10	$162.7 \pm 5$	
Смесь 4	0.25% С <sub>6</sub> Н <sub>6</sub> в Аг	$330 \pm 18$	$121.5 \pm 2$	
Смесь 5	2.5% C <sub>2</sub> H <sub>5</sub> OC <sub>2</sub> H <sub>5</sub> в Ar	$354 \pm 14$	_*	
Смесь 6	2.5% С <sub>4</sub> H <sub>8</sub> O в Ar	$145 \pm 10$	$147.1 \pm 13$	
Смесь 7	1% С <sub>4</sub> Н <sub>4</sub> О в Ar	$158 \pm 15$	$119.7 \pm 5$	

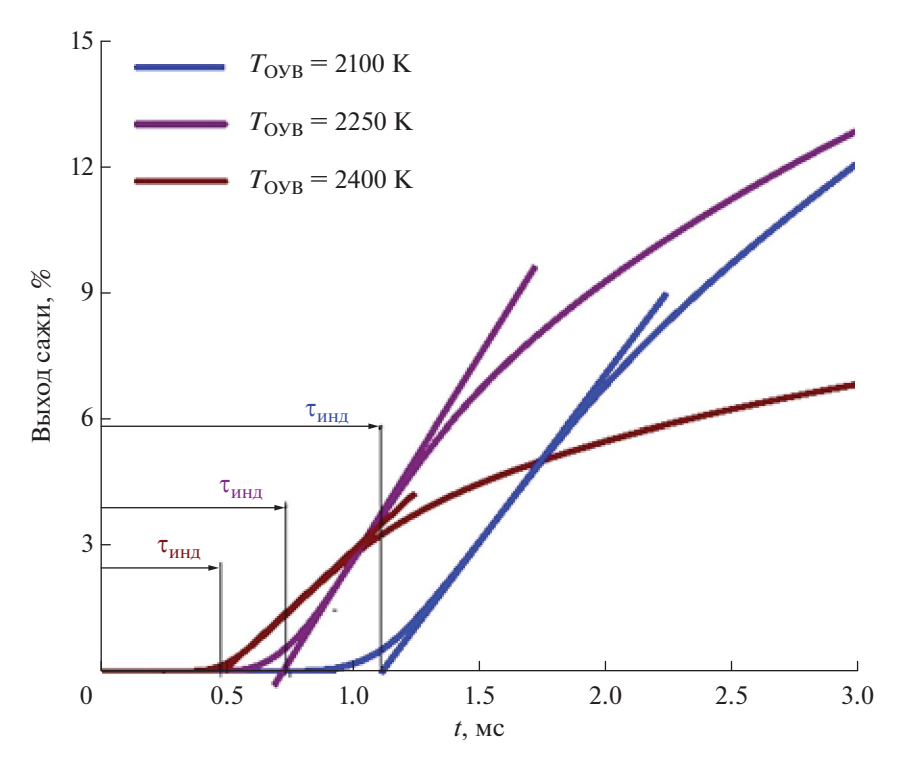
<sup>\*</sup>См. пояснения в тексте.

некоторые экспериментальные работы показывают, что зародышами образования конденсированной фазы углерода могут быть частицы меньшего размера и массы [4, 54].

Однако значения эффективной энергии активации, полученные с использованием расчетной кривой периодов индукции, согласуются со значениями, определенными по экспериментальным данным, с погрешностью  $\pm 20\%$  (за исключением бензола, табл. 2).

Стоит заметить, что для смеси, содержащей диэтиловый эфир, не удалось определить рас-

четное значение  $E_{\rm эфф}$ . Это может быть связано с тем, что данное вещество отсутствует в оригинальной схеме CRECK, и реакции его первичного пиролиза, а также термодинамические параметры были добавлены в кинетическую схему из работы [53]. По-видимому, для исходных продуктов разложения диэтилового эфира недостаточно данных о полиномиальных зависимостях теплоемкости в области высоких температур. Этот факт не позволил провести численное моделирование в диапазоне температур выше 2350 K.



**Рис. 11.** Временные зависимости расчетного выхода сажи при различных температурах за ОУВ для смеси, содержащей метан (смесь 1).

Поскольку для смесей, содержащих ацетилен и бензол, данные кинетического моделирования в наибольшей степени не согласуются с экспериментальными (для обоих углеводородов занижен выход сажи, для бензола разнятся значения эффективной энергии активации), имеет смысл проанализировать при помощи кинетического моделирования первичные каналы распада этих веществ и соотнести найденные значения  $E_{
m add}$ с начальными реакциями пиролиза углеводородов. В реакциях, перечисленных ниже, величина эффективной энергии активации соответствует таковой в модели CRECK, а диапазон значений соответствует данным NIST (National Institute of Standards and Technology), если в механизме записана обратная реакция.

I. Начальным реакция пиролиза ацетилена соответствуют следующие реакции:

$$C_2H_2+H=C_2H+H_2$$
 (93 – 116 кДж/моль), (I.I) 
$$C_2H_2+C_2H=C_4H_2+H \ (0\ кДж/моль),$$
 
$$2C_2H_2=C_4H_4 \ (155\ кДж/моль), \qquad (I.II)$$
 
$$C_4H_4=C_4H_2+H_2 \ (276\ кДж/моль),$$
 
$$C_4H_4+C_2H_2=C_6H_6 \ (125.5\ кДж/моль), \qquad (I.II.I)$$

 $C_4H_4 + H = C_4H_3 + H_2 (50.2 кДж/моль)$ 

$$C_2H_2(+M) + H = C_2H_3(+M)(12.5 \text{ кДж/моль}), (I.III)$$

$$2C_2H_2 = C_4H_2 + H_2(285 \text{ кДж/моль}),$$
 (I.IV)

$$2C_2H_2 = C_4H_3 + H(338кДж/моль).$$
 (I.V)

Энергия активации реакций (I.I) и (I.II) согласуется с полученными экспериментально значениями, что отражает их лимитирующую роль в процессах сажеобразования.

Поскольку кинетический механизм недооценивает выход сажи при пиролизе ацетилена, имеет смысл рассмотреть дальнейшие химические реакции. Так,  $C_4H_4$  в основном расходуется на образование  $C_4H_2$  и  $C_4H_3$ , в то время как скорость реакции формирования бензольного кольца с участием  $C_4H_4$  (I.II.I) на порядки ниже (рис. 12).

 $C_4H_2$  участвует в реакциях:

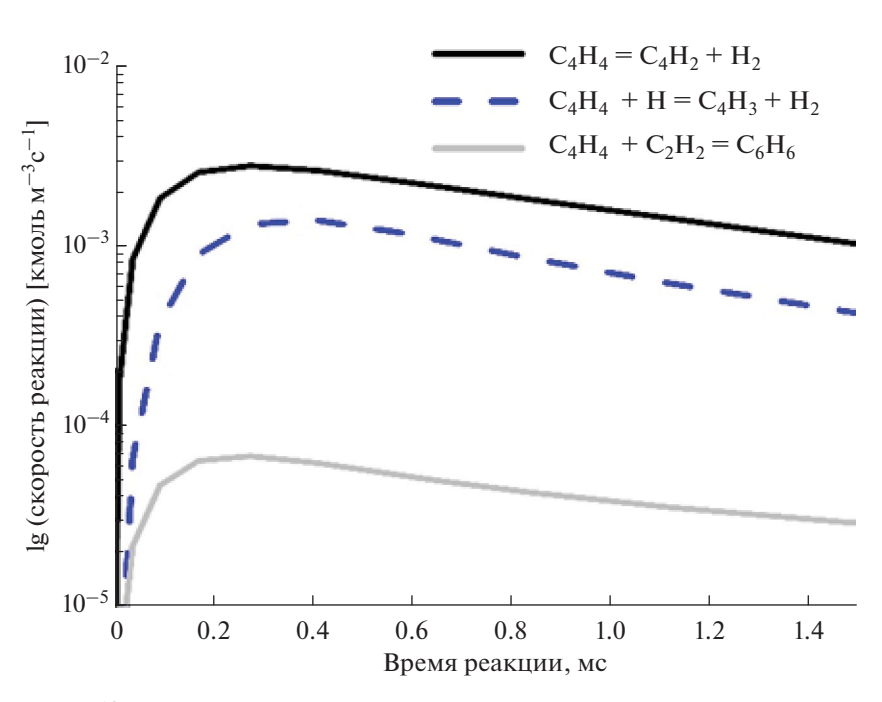
$$2C_4H_2 = C_2H_2 + C_6H_2$$
 (226 кДж/моль), (I.I.I)

$$2C_4H_2 = C_8H_2 + H_2(184 кДж/моль),$$
 (I.I.II)

$$C_4H_2 + C_2H = C_6H_2 + H(21кДж/моль).$$
 (I.I.III)

Канал реакции (I.III) ведет к образованию  $C_4H_5$ , а он, в свою очередь, — к каналу формирования бензола через канал реакций вида:

$$C_4H_x + C_2H_x$$
.



**Рис. 12.** Скорости реакций расходования  $C_4H_4$  при пиролизе ацетилена.

Таким образом, основные каналы пиролиза ацетилена приводят к активному формированию молекул полиинов. Их дальнейшая трансформация или участие в механизмах роста сажи в модели CRECK не предусмотрены. Это может объяснить наблюдаемое занижение расчетного выхода сажи при пиролизе ацетилена (рис. 6).

II. Основным каналом пиролиза бензола является реакция наработки фенильного радикала:

$$C_6H_6 + H = C_6H_5 + H_2(62кДж/моль),$$
 (II.I)

В соответствии с ROP-анализом (rate of production), несмотря на высокое значение энергий активаций, основными реакциями расходования фенильного радикала являются:

$$C_6H_5 + M = LC_6H_5 + M(280 кДж/моль),$$
 (II.I.I)

$$C_6H_5 = H + C_2H_2 + C_4H_2$$
 (322 кДж/моль), (II.I.II)

$$C_6H_5(+M) =$$
= H + C<sub>6</sub>H<sub>4</sub>(+M)(322 кДж/моль). (II.I.III)

Более медленные каналы — реакции фенильного радикала с образованием ПАУ (рис. 13):

$$C_6H_5 + C_6H_6 = H + C_{12}H_{10}$$
 (32 кДж/моль), (II.I.IV)

$$C_6H_5 + C_2H_2 =$$

$$= C_6H_5C_2H + H(32 кДж/моль),$$
(II.I.V)

$$C_6H_5C_2H + C_2H_2 =$$
, (II.I.V.I)  
=  $C_{10}H_8 (104.6 \text{ кДж/моль})$ 

$$C_6H_5 + C_4H_2 = C_{10}H_7 (21 кДж/моль), (II.I.VI)$$

$$2C_6H_5 = C_{12}H_{10}$$
 (138 кДж/моль). (II.I.VII)

Полученное значение эффективной энергии активации по результатам кинетического моделирования времен индукции составляет 121 кДж/моль и согласуется с величинами энергии активации реакций (II.I.V.I) и (II.I.VII).

Экспериментально найденное значение эффективной энергии активации составляет  $330 \pm 18 \text{ кДж/моль}$ , что согласуется с величинами энергии активации реакций (II.I.I)—(II.I.III).

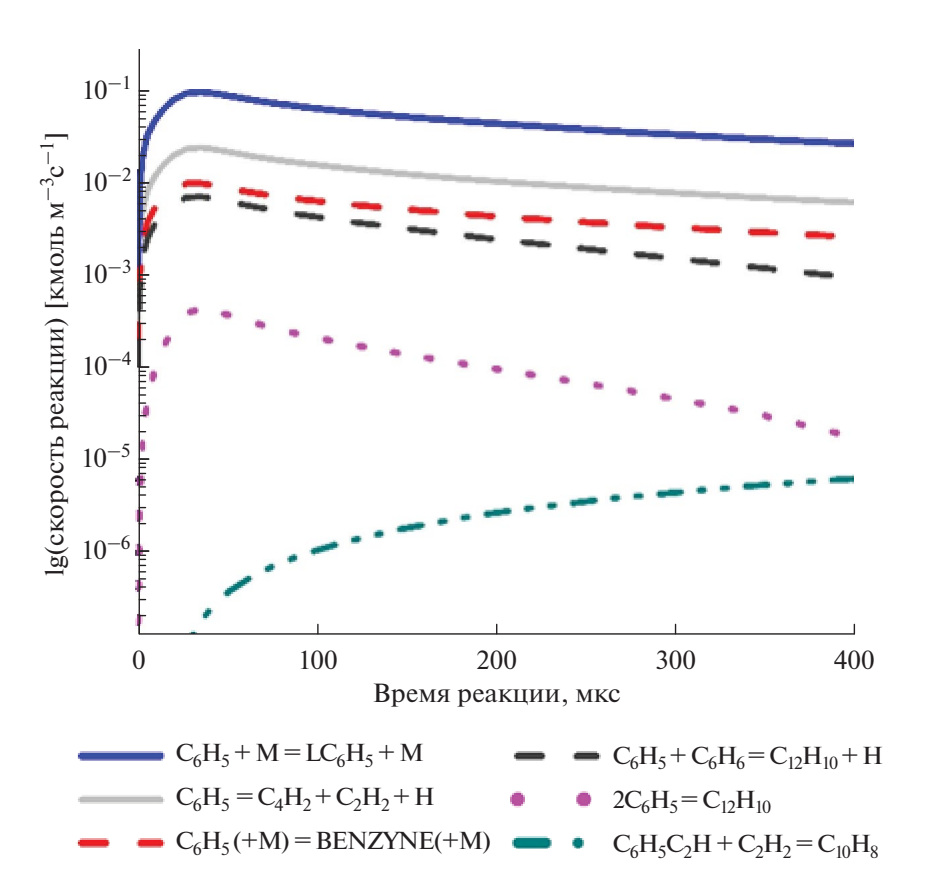


Рис. 13. Скорости реакций расходования фенильного радикала при пиролизе бензола.

Продукты реакций (II.I.I)—(II.I.III) приводят к образованию полиинов в результате следующих превращений:

$$LC_6H_5 = 2C_2H_2 + C_2H,$$

$$LC_6H_5 = C_6H_4 + H,$$

$$C_6H_4 + C_2H = C_6H_3 + C_2H_2,$$

$$C_6H_3 = C_6H_2 + H,$$

$$C_6H_4 = C_2H_2 + C_4H_2,$$

$$2C_4H_2 = C_2H_2 + C_6H_2,$$

$$C_2H + C_4H_2 = H + C_6H_2.$$

Расхождение между расчетными и экспериментальными значениями указывает на отсутствие учета полиинового пути в механизме CRECK и может объяснить причину недооценки выхода сажи при пиролизе бензола (рис. 6).

#### 3.4. Склонность к сажеобразованию

На основании полученных данных был проведен анализ процессов сажеобразования при пиролизе различных углеводородов, базирующийся на измерениях выхода сажи и размеров образующихся углеродных наночастиц. Выявлено, что наибольшей склонностью к сажеобразованию обладает бензол, а углеводороды, представляющие различные химические классы биотоплив, обладают меньшей склонностью. Обобщенная схема относительной склонности к сажеобразованию исследованных углеводородов представлена на рис. 14.

Величина выхода наночастиц сажи при пиролизе смеси, содержащей фуран, представляющий класс кислородсодержащих биотоплив, в условиях проведенных экспериментов сопставима с таковой для смеси ацетилена и превышает выход сажи для смесей этилена и метана. При пиролизе тетрагидрофурана количество образующейся сажи сопоставимо с ее количеством, формирующимся при пиролизе этилена

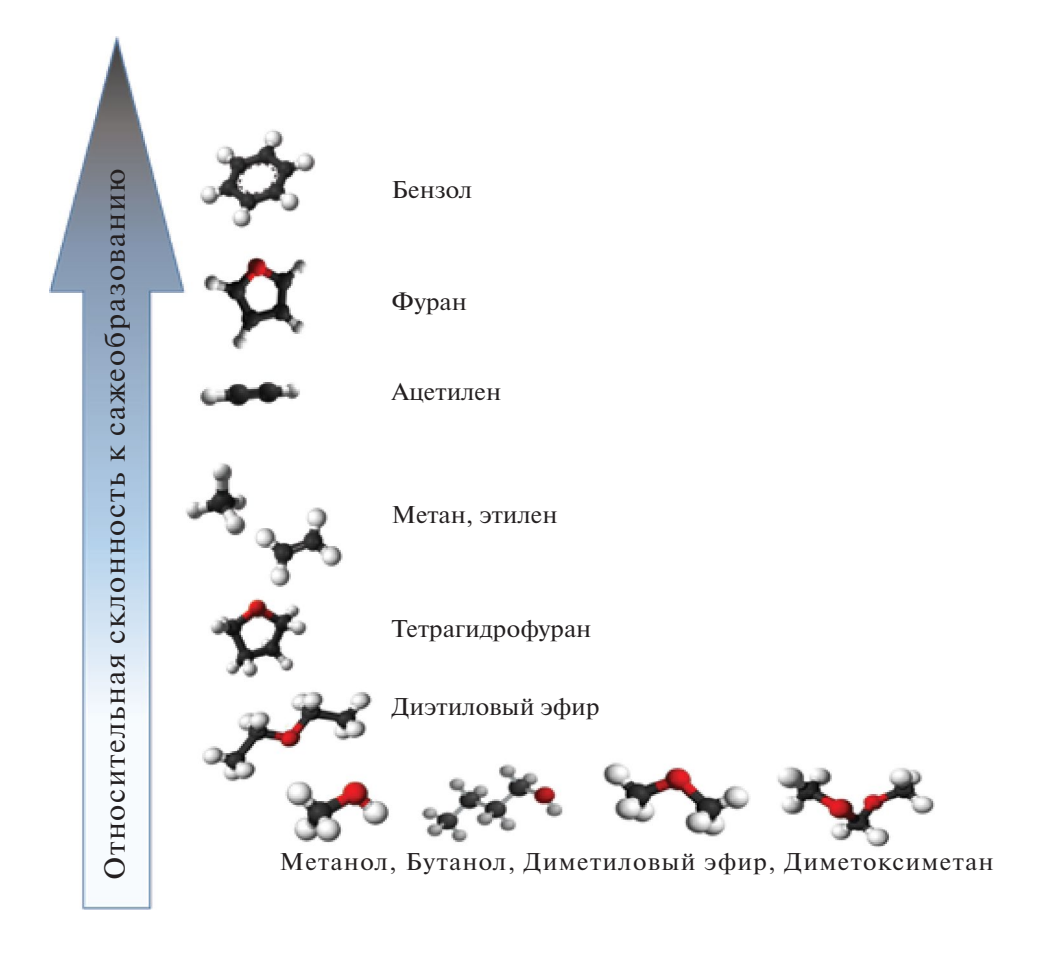


Рис. 14. Относительная склонность к сажеобразованию исследованных углеводородов.

и метана. Среди исследованных углеводородов наименьшее сажеобразование было зарегистрировано при пиролизе диэтилового эфира, представляющего класс биотоплив. При пиролизе метанола, бутанола, диметилового эфира и диметоксиметана сажи не образовывалось вовсе. Полученный результат можно объяснить химической структурой молекул и содержанием в них кислорода. Так, биотоплива, в молекулах которых отсутствуют связи С-С, не склонны к сажеобразованию. При пиролизе бутанола и этанола, в молекулах которых есть С-С-связь, также не зарегистрировано сажеобразования. Этот факт может быть связан с образованием радикала ОН, который участвует в окислении частиц-прекурсоров сажи, тем самым подавляя сажеобразование. Другая возможная причина – активное потребление Н в процессах пиролиза спиртов, что приводит к сокращению роста сажи посредством механизма НАСА. При пиролизе диэтилового эфира, имеющего С-С-связь, в смеси которого концентрация углерода была такой же. как в смеси этилена, выход сажи был меньше ввиду образования СО и удаления из цепочки сажеобразования некого количества углерода. Циклическая структура молекул фурана и бензола, по-видимому, служит причиной относительно высокой доли формирующейся сажи при их пиролизе.

#### 4. ЗАКЛЮЧЕНИЕ

В настоящей работе было проведено экспериментальное и численное исследование процессов сажеобразования при пиролизе различных углеводородов, представляющих в том числе и биотоплива. Полученные температурные зависимости выхода сажи и размеров образующихся углеродных наночастиц позволили оценить склонность к сажеобразованию исследованных биотоплив. Показано, что среди выбранных веществ наибольшей склонностью к сажеобразованию обладают вещества циклической структуры, наименьшей — спирты и линейные эфиры без С—С-связей. Присутствие кислорода в биотопливе не оказывает влияния на размер и структуру образующихся углеродных наночастиц.

Сравнение экспериментальных данных с результатами кинетического моделирования показало, что кинетическая модель CRECK недооценивает сажеобразование при пиролизе бензола и ацетилена. Анализ периодов индукции появления конденсированной фазы углерода дал возможность определить значения эффек-

тивной энергии активации начальных реакций пиролиза исследованных смесей. Сопоставление полученных значений с кинетическими путями реакций пиролиза данных углеводородов в используемых расчетных моделях позволило установить, что занижение выхода сажи в случае пиролиза ацетилена и бензола может быть обусловлено отсутствием полиинового пути роста сажи в рассматриваемой кинетической модели.

#### ФИНАНСИРОВАНИЕ

Работа выполнена при финансовой поддержке проекта РНФ 23-19-00407.

#### КОНФЛИКТ ИНТЕРЕСОВ

Авторы заявляют об отсутствии конфликта интересов, требующего раскрытия в данной работе.

#### СПИСОК ЛИТЕРАТУРЫ

- 1. Bond T.C., Doherty S.J., Fahey D.W., Forster P.M., Berntsen T., DeAngelo B.J., Flanner M.G., Ghan S., Kärcher B., Koch D., Kinne S., Kondo Y., Quinn P.K., Sarofim M.C., Schultz M.G., Schulz M., Venkataraman C., Zhang H., Zhang S., Bellouin N., Guttikunda S.K., Hopke P.K, Jacobson M.Z., Kaiser J.W., Klimont Z., Lohmann U., Schwarz J.P., Shindell D., Storelvmo T., Warren S.G., Zender C.S. // J. Geophys. Res. Atmos. 2013. V. 118. P. 5380.
- 2. *Niranjan R., Thakur A.K.* // Front. Immunol. 2017. V. 8. P. 763.
- 3. *Schwartz J., Laden F., Zanobetti A.* // Environ. Health Perspect. 2002. V. 110. P. 1025.
- 4. Schulz F., Commodo M., Kaiser K., De Falco G., Minutolo P., Meyer G., D'Anna A., Gross L. // Proc. Combust. Inst. 2019. V. 37. P. 885.
- 5. *Liu W., Zhai J., Lin B., Lin H., Han D.* // Front. Energy. 2020. V. 14. P. 18.
- 6. Mannazhi M., Torok S., Gao J., Bengtsson P.-E. // Proc. Combust. Inst. 2021. V. 38. P. 1217.
- 7. Drakon A.V., Eremin A.V., Gurentsov E.V., Mikheyeva E., Kolotushkin R. // Appl. Phys. B. 2021. V. 127. P. 81.
- 8. Bauerle St., Karasevich Y., Slavov St., Tanke D., Tappe M., Thienel Th., Wagner H.Gg. // Symp. (Int.) Combust. 1994. V. 25. P. 627.
- 9. *Ishii K., Ohashi N., Teraji A., Kubo M.* / Proc. of the 22<sup>nd</sup> International Colloquium on the Dynamics of Explosions and Reactive Systems (ICDERS), Minsk-Belarus, July 27–31, 2009. Paper 184.
- Agafonov G.L., Bilera I.V., Vlasov P.A., Zhiltsova I.V., Kolbanovskii Y.A., Smirnov, V.N., Tereza A.M. // Kinet. Catal. 2016. V. 57. P. 557.

- Olson D.B., Pickens J.C., Gill R.J. // Combust. Flame 1985. V. 62. P. 43.
- Lemaire R., Le Corre G., Nakouri M. // Fuel. 2021.
   V. 302. Art. 121104.
- McEnally C.S., Pfefferle L.D. // Environ. Sci. Technol. 2011. V. 45. P. 2498.
- 14. Barrientos E.J., Lapuerta M., Boehman A.L. // Combust. Flame. 2013. V. 160. P. 1484.
- 15. Johansson K.O., Dillstrom T., Monti M., Gabaly F., Campbell M.F., Schrader P.E., Popolan-Vaida D.M., Richards-Henderson N.K., Wilson K.R., Violi A., Michelsen H.A. // PNAS USA. 2016. V. 113. P. 8374.
- Liu P., Chen B., Zepeng L., Bennet A., Sioud S., Sarathy S.M., Roberts W.L. // Combust. Flame. 2019. V. 209. P. 441.
- 17. Savic N., Rahman M.M., Miljevic B., Saathoff H., Naumann K.H., Leisner T., Riches J., Gupta B., Motta N., Ristovski Z.D // Carbon. 2016. V. 104. P. 179.
- 18. Verma P., Pickering E., Jafari M., Guo Yi., Stevanovic S., Fernando J., Golberg D., Broooks P., Brown R., Ristovski Z. // Combust. Flame. 2019. V. 205. P. 206.
- 19. Verma P., Jafari M., Ashrafur Rahman S.M., Pickering E., Stevanovic S., Dowell A., Brown R., Ristovski Z. // Fuel. 2020. V. 259. P. 116167.
- 20. Nativel D., Peukert S., Herzler J., Drakon A., Korshunova M., Mikheyeva E., Eremin A., Fikri M., Schulz C. // Proc. Combust. Inst. 2023. V. 39. P. 1099.
- 21. *Thangavelu S.K.*, *Ahmed A.S.*, *Ani F.N.* // Renew. Sustain. Energy Rev. 2016. V. 56. P. 820.
- 22. *Esarte C., Peg M., Ruiz M. P., Millera A., Bilbao R., Alzueta M.U.* // Ind. Eng. Chem. Res. 2011. V. 50. P. 4412.
- 23. *Camacho J., Lieb S., Wang H.* // Proc. Combust. Inst. 2013. V. 34. P. 1853.
- 24. Li Zh., Qiu L., Cheng X., Li Y., Wu H. // Fuel 2018. V. 211. P. 517
- 25. Khan A., Hellier P., Ladommatos N., Almaleki A. // J. Anal. Appl. Pyrolysis. 2024. V. 177. P. 106346.
- 26. Cepeda F., Di Liddo L., Serwin M., Karatas A.E., Dworkin S.B. // Proc. Combust. Inst. 2023. V. 39. P. 1997.
- 27. *Hidaka Y., Sato K., Yamane M.* // Combust. Flame 2000. V. 123. P. 1.
- 28. *Jeon M.-K.*, *Kim N.I.* // Math. Model. Nat. Phenom. 2018. V. 13. P. 56.
- Doan Q.B., Nguyen X.P., Pham V.V., Dong T.M. H., Pham M.T., Le T.S. // Int. J. Renew. Energy Dev. 2022. V. 11. P. 255.
- 30. *Paul A., Bose P.K., Panua R., Debroy D.* // J. Energy Inst. 2015. V. 88. P. 1.
- 31. *Ibrahim A.* // Eng. Sci. Technol. Int. J. 2018. V. 21. P. 1024.
- 32. *Sinha A., Thomson M.J.* // Combust. Flame 2004. V. 136. P. 548.

- 33. Sirignano M., Conturso M. and D'Anna A. // Proc. Combust. Inst. 2015. V. 35. P. 525.
- 34. Wu Ya., Zhang X., Zhang Zh., Wang X., Geng Zh., Jin Ch., Liu H., Yao M. // Fuel. 2020. V. 271. P. 117633.
- 35. Drakon A.V., Eremin A.V., Korshunova M.R. and Mikheyeva E.Yu. // Combust. Explos. Shock Waves 2022. V. 58. P. 430.
- 36. Nativel D., Herzel J., Kryzwdziak S., Peukert S., Fikri M., Shultz C. // Combust. Flame 2022. V. 243. Art. 111985.
- 37. *Eremin A., Gurentsov E., Mikheyeva E. //* Combust. Flame 2015. V. 162. P. 207.
- 38. *Eremin A., Gurentsov E., Popova E., Priemchenko K. //* Appl. Phys. B. 2011. V. 104. P. 285.
- Daun K.J. // Int. J. Heat Mass Transf. 2009. V. 52. P. 5081.
- 40. Gurentsov E.V., Drakon A.V., Eremin A.V., Kolotush-kin R.N., Mikheyeva E.Yu. // High Temp. 2022. V. 60. P. 335.
- 41. Schneider C., Rasband W., Eliceiri K. // Nat. Methods. 2012. V. 9. P. 671.
- 42. *Cuoci A., Frassoldati A., Faravelli T., Ranzi E.* // Comput. Phys. Commun. 2015. V. 192. P. 237.
- 43. Saggese C., Ferrario S., Camacho J., Cuoci A., Frassoldati A., Ranzi E., Wang H., Faravelli T. // Combust. Flame. 2015. V. 162. P. 3356.
- 44. Yasunaga K., Gillespie F., Simmie J.M., Curran H.J., Kuraguchi Y., Hoshikawa H., Yamane M., Hidaka Y. // J. Phys. Chem. A. 2010. V. 114. P. 9098.
- 45. Marrodan L., Royo E., Millera A., Bilbao R., Alzueta M.U. // Energy Fuels. 2015. V. 29. P. 3507.
- 46. Pelucchi M., Cavallotti C., Ranzi E., Frassoldati A., Faravelli T. // Energy Fuels. 2016. V. 30. P. 8665.
- 47. Tran L., Verdicchio M., Monge F., Martin R., Bounaceeur R., Sirjean B., Glaude P.-A., Alzueta M., Battin-Leclerc F. // Combust. Flame. 2015. V. 162. P. 1899.
- 48. *Alexiou A.*, *Williams A.* // Combust. Flame. 1996. V. 104. P. 51.
- Frenklach M., Wang H. // Proc. Combust. Inst. 1991.
   V. 23. P. 1559.
- Krestinin A.V. // Symp. (Int.) Combust. 1998. V. 27.
   P. 1557.
- 51. *Vlasov P.A.*, *Warnatz J.* // Proc. Combust. Inst. 2002. V. 29. P. 2335.
- 52. Gurentsov E.V., Drakon A.V., Eremin A.V., Kolotush-kin R.N., Mikheyeva E.Yu. // High Temp. 2022. V. 60. P. 335.
- 53. Eremin A.V. // PECS. 2012. V. 38. P. 1.
- 54. Commodo M., Kaiser K., de Falco G., Minutolo P., Schulz F., d'Anna A., Gross L. // Combust. Flame. 2019. V. 205. P. 154.

# Soot Formation Tendency of Various Hydrocarbons During Pyrolysis Behind Shock Waves

# A. V. Drakon<sup>1</sup>, A. V. Eremin<sup>1</sup>, V. N. Zolotarenko<sup>1, 2</sup>, M. R. Korshunova<sup>1, \*</sup>, and E. Yu. Mikheyeva<sup>1</sup>

<sup>1</sup>Joint Institute for High Temperatures RAS, Izhorskaya, 13, bldg. 2, Moscow, 125412 Russia <sup>2</sup>Moscow Institute of Physics and Technology, Institutskiy Pereulok, 9, Dolgoprudny, 141701 Russia \*e-mail: mr.korshunova.95@gmail.com

In this work, an experimental study of soot formation during pyrolysis of linear and cyclic hydrocarbons with different bond types between carbon atoms was carried out. Methane  $CH_4$ , acetylene  $C_2H_2$ , ethylene  $C_2H_4$  and benzene  $C_6H_6$ ; methyl, ethyl and butyl alcohols  $CH_3OH$ ,  $C_2H_5OH$ ,  $C_4H_9OH$ ; linear esters dimethyl, diethyl and dimethoxymethane  $CH_3OCH_3$ ,  $C_2H_5OC_2H_5$ ,  $CH_3OCH_2OCH_3$ ; cyclic esters furan and tetrahydrofuran  $C_4H_4O$ ,  $C_4H_8O$  pyrolysis have been investigated. The laser extinction method was used to measure the soot volume fraction, and the laser induced incandescence method was used for in situ nanoparticle size measurements. The temperature dependences of the soot volume fraction and particles sizes, as well as the induction times of carbon nanoparticles inception and the effective activation energy values of the initial pyrolysis stage of selected hydrocarbons were obtained. The structure of carbon nanoparticles formed during acetylene C<sub>2</sub>H<sub>2</sub>, ethylene C<sub>2</sub>H<sub>4</sub> and furan C<sub>4</sub>H<sub>4</sub>O pyrolysis was analyzed using microphotographs obtained on a transmission electron microscope. A kinetic modeling of soot formation during studied hydrocarbons pyrolysis has been carried out. In the case of methane CH<sub>4</sub>, ethylene C<sub>2</sub>H<sub>4</sub>, furan C<sub>4</sub>H<sub>4</sub>O and tetrahydrofuran C<sub>4</sub>H<sub>8</sub>O the soot yield and the calculated effective activation energies of the initial pyrolysis reactions correlate with experimental data. In the case of acetylene  $C_2H_2$  and benzene  $C_6H_6$  pyrolysis, kinetic modeling greatly underestimates the soot yield. For benzene, the calculated effective activation energy value of the initial pyrolysis reactions does not agree with the experimental data. This fact may be related to the lack of polygne path of soot growth in the considered kinetic mechanism that is especially important in case of acetylene and benzene pyrolysis. This hypothesis is justified by comparing the effective activation energy of the initial reactions during benzene pyrolysis obtained using experimental and calculated data.

**Keywords:** shock tube, hydrocarbon pyrolysis, soot formation, carbon nanoparticles, laser extinction, kinetic modeling

# **FUNDING**

The work was carried out with the financial support of the RSF project 23-19-00407.

VIIK 544.421:542.978:547.724:547.371:547.854.4

# АНТИОКСИДАНТНАЯ АКТИВНОСТЬ 6-АМИНО-5-ГИДРОКСИ-2,3-ДИМЕТИЛПИРИМИДИН-4(3*H*)-ОНА В МОДЕЛЬНЫХ СИСТЕМАХ РАДИКАЛЬНО-ЦЕПНОГО ОКИСЛЕНИЯ ТЕТРАГИЛРОФУРАНА И МЕТИЛОЛЕАТА

© 2024 г. Л. Р. Якупова<sup>а, \*</sup>, Р. А. Насибуллина<sup>а</sup>, С. А. Грабовский<sup>а</sup>, Р. Л. Сафиуллин<sup>а</sup>

<sup>а</sup>Уфимский Институт химии — обособленное структурное подразделение ФГБУН УФИЦ РАН, просп. Октября, 69, Уфа, Республика Башкортостан, 450054 Россия

\*e-mail: stargar@inbox.ru

Поступила в редакцию 25.06.2024 г. После доработки 18.12.2024 г. Принята к публикации 23.12.2024 г.

В двух модельных радикально-цепных реакциях при температуре 309 К исследован на антиоксидантную активность 6-амино-5-гидрокси-2,3-диметилпиримидин-4(3H)-он (ОДМАУ). Константы скорости взаимодействия ОДМАУ с пероксильными радикалами тетрагидрофурана и метилолеата ( $k_7$ ) равны (3.8  $\pm$  0.5)  $\times$  10<sup>5</sup> и (5.0  $\pm$  0.8)  $\times$  10<sup>4</sup> л моль<sup>-1</sup> с<sup>-1</sup> соответственно. Стехиометрический коэффициент ингибирования  $f \approx 1$  в среде тетрагидрофурана и метилолеата свидетельствует о том, что на одной молекуле ингибитора гибнет один радикал. Предположено, что в ходе ингибированного радикально-цепного окисления тетрагидрофурана и метилолеата обрыв цепи происходит по реакции пероксильного радикала с ОДМАУ. Образующиеся из ингибитора радикалы гибнут по реакции друг с другом.

**Ключевые слова:** радикально-цепное окисление, тетрагидрофуран, метилолеат, пероксильные радикалы, 6-амино-5-гидрокси-2,3-диметилпиримидин-4(3*H*)-он, константа скорости реакции, индукционный период, стехиометрический коэффициент ингибирования

DOI: 10.31857/S0453881124060034, EDN: QKLZNK

# **ВВЕДЕНИЕ**

Производные пиримидина обладают разнообразными видами биологической активности, поэтому представляют интерес для органической и медицинской химии. В первом случае они могут быть использованы для синтеза новых гетероциклических соединений. В медицине пиримидиновые производные применяются

Сокращения и обозначения:  $k_{\rm i}$  — константа скорости инициирования;  $k_{\rm 1}$  и  $k_{\rm 2}$  — константы скорости продолжения цепи;  $k_{\rm 6}$  — константа скорости обрыва цепи окисления по реакции рекомбинации пероксильных радикалов;  $k_{\rm 7}$  — константа скорости ингибирования;  $w_{\rm i}$  — скорость инициирования; w — начальная скорость окисления субстрата; F — эффективность ингибирования;  $\tau$  — индукционный период; f — стехиометрический коэффициент ингибирования;  $\Gamma \Phi$  — тетрагидрофуран,  $\Gamma \Phi$  — метилолеат;  $\Gamma \Phi$  — окисляемый субстрат (тетрагидрофуран, метилолеат);  $\Gamma \Phi$  — алкильный и пероксильный радикалы, образующиеся из тетрагидрофурана и метилолеата;  $\Gamma \Phi$  — 2,2'-азо-*бис*-изобутиронитрил;  $\Gamma \Phi$  — аскорбиновая кислота (витамин  $\Gamma$ );  $\Gamma \Phi$  —  $\Gamma$ 

в качестве противовоспалительных, антитоксических, антигипоксических средств [1-3]. Предположительно, фармакологическая активность этой группы соединений обусловлена наличием у них антирадикального свойства. Антиоксидантная активность урацила зависит от строения соединения. Было показано, что в результате введения метильных заместителей в 1 и 3 положения пиримидинового цикла 5-аминоурацила увеличивается константа скорости реакции соединения с пероксильным радикалом 1,4-диоксана [4]. Значительно возрастает антиоксидантная активность у 6-амино-5-гидрокси-2.3-диметилпиримидин-4(3H)-она — при окислении стирола в среде хлорбензола найдена константа скорости ингибирования, составляющая  $2.5 \times 10^6$  л моль<sup>-1</sup> c<sup>-1</sup> (310 K) [5]. Реакционная способность антиоксиданта зависит от среды, в которой изучается процесс ингибированного окисления [6, 7]. В связи с этим в настоящей работе измерена константа скорости ингибирования для 6-амино-5-гидрокси-2,3-диметилпиримидин-4(3H)-она в среде тетрагидрофурана и метилолеата.

## ЭКСПЕРИМЕНТАЛЬНАЯ ЧАСТЬ

Тетрагидрофуран (ТГФ, "Х.Ч."), аскорбиновую кислоту (АscH) фирмы ООО "Компонент Реактив" очишали, как описано в работах [8–10]. 6-Амино-5-гидрокси-2,3-диметилпиримидин-4(3H)-он (ОДМАУ) синтезирован по методике [5].

6-Амино-5-гидрокси-2,3-диметилпиримидин-4(3H)-он

Метиловый эфир олеиновой кислоты (метилолеат, MO) фирмы Alfa Aesar очищали трехкратной перегонкой в вакууме в атмосфере аргона. Хлорбензол (XБ), инициатор 2,2'-азо-бис-изобутиронитрил (АИБН) и воду очищали по стандартным методикам [11].

Окисление тетрагидрофурана кислородом воздуха осуществляли при температуре 309 К. Кинетические опыты проводили в стеклянном реакторе, в который загружали тетрагидрофуран, перемешивали, насыщая кислородом воздуха, и затем добавляли раствор инициатора АИБН в тетрагидрофуране. Измеряли скорость окисления и вносили ОДМАУ в виде раствора в тетрагидрофуране. За поглощением кислорода следили с помощью универсальной манометрической дифференциальной установки [12]. Скорость поглощения кислорода в жидкой фазе находили по методике, описанной в работе [13]. Объем газовой фазы составлял 25.3 мл, объем реакционной смеси — 7.5 мл. Концентрацию кислорода в жидкой фазе вычисляли с учетом коэффициента Генри для 1,4-диоксана (6.28  $\times$  10<sup>-3</sup> моль л<sup>-1</sup> атм<sup>-1</sup> [14]).

Ингибированное ОДМАУ окисление метилолеата проводили аналогичным образом. Ингибитор вводили в виде раствора в 1,4-диоксане, окисление которого в условиях нашего эксперимента не протекает. Коэффициент Генри для метилолеата принимали равным  $11.2 \times 10^{-3}$  моль л<sup>-1</sup> атм<sup>-1</sup>, как для метилацетата [14].

В качестве инициатора окисления использовали 2,2'-азо-*бис*-изобутиронитрил (АИБН). Скорость инициирования для АИБН рассчитывали по формуле:  $w_i = k_i [AИБH]$ , где  $k_i$  – константа скорости инициирования, [АИБН] концентрация инициатора. Константа скорости инициирования для АИБН в тетрагидрофуране равна  $\lg k_i = 13.9 - 120.4/\theta$  [c<sup>-1</sup>], (где  $\theta = 2.303 \times$  $\times$  10<sup>-3</sup>RT Дж/моль) [9]. В среде ТГФ при 309 К  $k_i = 3.6 \times 10^{-7} \text{ c}^{-1}$ . Константу скорости инициирования для АИБН в метилолеате при 309 К измеряли методом ингибиторов с использованием  $\alpha$ -токоферола. Найдено  $k_i = (3.0 \pm 0.5) \times 10^{-7} \,\mathrm{c}^{-1}$ .

# РЕЗУЛЬТАТЫ И ИХ ОБСУЖДЕНИЕ

Радикально-цепное окисление тетрагидрофурана

Радикально-цепное окисление тетрагидрофурана, инициированное АИБН, протекает по схеме 1 [9, 15]:

AИБH 
$$\stackrel{k_i}{\longrightarrow}$$
 r'  $\stackrel{\text{RH}}{\longrightarrow}$  R', (i)

$$R' + O_2$$
  $RO_2'$ , (I)

$$R' + O_2 \qquad \xrightarrow{k_1} \qquad RO_2, \qquad (I)$$

$$RO_2' + RH \qquad \xrightarrow{k_2} \qquad ROOH + R', \qquad (II)$$

$$RO_2' + RO_2' \qquad \xrightarrow{k_6} \qquad P_C \qquad (VI)$$

$$RO_2 + RO_2 \xrightarrow{k_6} P_6.$$
 (VI)

Схема 1. Механизм жидкофазного радикально-цепного окисления тетрагидрофурана.

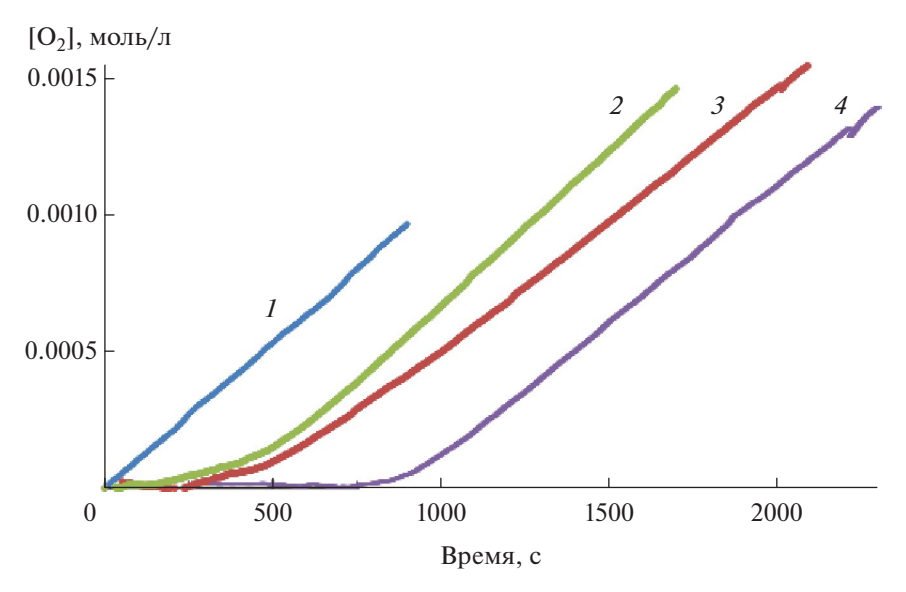
Введение в окисляющийся тетрагидрофуран ОДМАУ приводит к снижению скорости окисления (рис. 1, табл. 1). Для количественной оценки эффективности ингибирования (F) изучали зависимость начальной скорости окисления субстрата (w) – тетрагидрофурана – от концентрации ОДМАУ (рис. 2) и обрабатывали ее в координатах уравнения (1) [16]:

$$F = w_0(w)^{-1} - w(w_0)^{-1} = fk_7[\text{InH}](2k_6w_i)^{-0.5}, (1)$$

где  $2k_6$  – константа скорости обрыва цепи окисления по реакции рекомбинации пероксильных радикалов тетрагидрофурана ( $2k_6 =$  $= 7.53 \times 10^7$  л моль $^{-1}$  c $^{-1}$  [15]).

Удовлетворительная линейная зависимость параметра F от [InH] (рис. 2) позволяет рассчитать эффективную константу скорости реакции соединения ОДМАУ с пероксильным радикалом тетрагидрофурана. В результате получено  $fk_7 = (2.8 \pm 0.2) \times 10^5$  л моль-1 с-1.

Длительность индукционного периода (т) находили графическим методом как точку пересечения двух касательных: к начальной ско-



**Рис. 1.** Типичные кинетические зависимости поглощения кислорода в ходе окисления ТГФ: без добавления ингибитора (I); [ОДМАУ] =  $1.2 \times 10^{-5}$  моль/л (I); [AscH] =  $1.2 \times 10^{-5}$  моль/л (I); [ОДМАУ] =  $1.2 \times 10^{-5}$  моль/л, [AscH] =  $1.2 \times 10^{-5}$  моль/л (I). Условия реакции: [ТГФ] =  $1.2 \times 10^{-5}$  моль/л, I0 моль I1 сI1, I3 моль I2 моль/л (I3).

рости поглощения кислорода и к кинетической кривой поглощения кислорода после прекращения ингибирования. Результаты приведены в табл. 1. Стехиометрический коэффициент ингибирования (f) рассчитывали с помощью уравнения (2):

$$\tau = f[\ln H]/w_i. \tag{2}$$

Из тангенса угла наклона зависимости параметра ( $\tau \times w_i$ ) от [InH] следует, что стехиометрический коэффициент ингибирования составляет  $1.05 \pm 0.08$ .

Константу скорости ингибирования  $(k_7)$  находили из каждой кинетической кривой по уравнению (3) [16]:

$$\Delta[O_2] = -k_2(k_7)^{-1}[RH] \times \ln(1 - t/\tau),$$
 (3)

где  $\Delta[O_2]$  — количество поглощенного кислорода. При расчете использовали  $k_2 = 6.0$  л моль $^{-1}$  с $^{-1}$  [9].

Результаты представлены в табл. 1. Среднее значение  $k_7 = (3.8 \pm 0.5) \times 10^5$  л моль $^{-1}$  с $^{-1}$ .

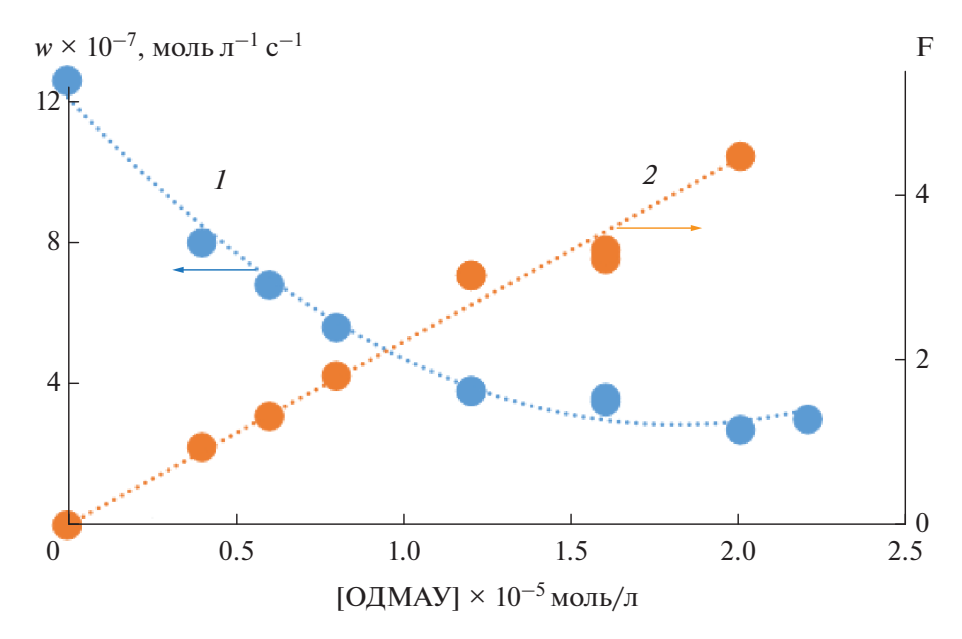
## Радикально-цепное окисление метилолеата

Радикально-цепное окисление метилолеата, инициированное АИБН, протекает по схеме 1 [11, 17]. В присутствии ОДМАУ скорости окисления снижается (табл. 2, рис. 3). Эффективную константу скорости ингибирования  $fk_7$  находили, преобразуя зависимость начальной скорости окисления метилолеата (w) от концентрации ОДМАУ в координатах уравнения (1) [16].

**Таблица 1.** Зависимость скорости окисления тетрагидрофурана и длительности индукционного периода от начальной концентрации ОДМАУ\*

[ОДМАУ] × 10-5, моль/л	$w \times 10^{-7}$ , моль л $^{-1}$ с $^{-1}$	τ, c	$k_7 \times 10^5$ , л моль $^{-1}$ с $^{-1}$
0	12.6	0	-
0.4	8.0	218	3.6
0.6	6.8	339	4.2
0.8	5.6	335	4.2
1.2	3.8	510	3.3
1.6	3.6	760	4.1
1.6	3.5	822	3.3
2.0	2.7	1104	3.0

<sup>\*</sup>Условия реакции: [ТГ $\Phi$ ] = 12.4 моль/л,  $w_i$  = 2.1 × 10<sup>-8</sup> моль л<sup>-1</sup> с<sup>-1</sup>, 309 K.



**Рис. 2.** Зависимость начальной скорости окисления тетрагидрофурана от концентрации соединения ОДМАУ (*I*) и ее преобразование (*2*) в координатах уравнения (1). Условия реакции:  $[\Gamma\Gamma\Phi] = 12.4$  моль/л,  $w_i = 2.1 \times 10^{-8}$  моль  $\pi^{-1}$  с<sup>-1</sup>, 309 K.

**Таблица 2.** Зависимость скорости окисления метилолеата и длительности индукционного периода от начальной концентрации ОДМАУ\*

[ОДМАУ] × 10-5, моль/л	$w \times 10^{-7}$ , моль л <sup>-1</sup> с <sup>-1</sup>	τ, c	$k_7 \times 10^4$ , л моль $^{-1}$ с $^{-1}$
0	8.3	0	_
1.1	2.2	260	4.4
3.3	1.2	769	4.4
4.4	1.1	1159	4.7
6.7	0.5	2109	6.1

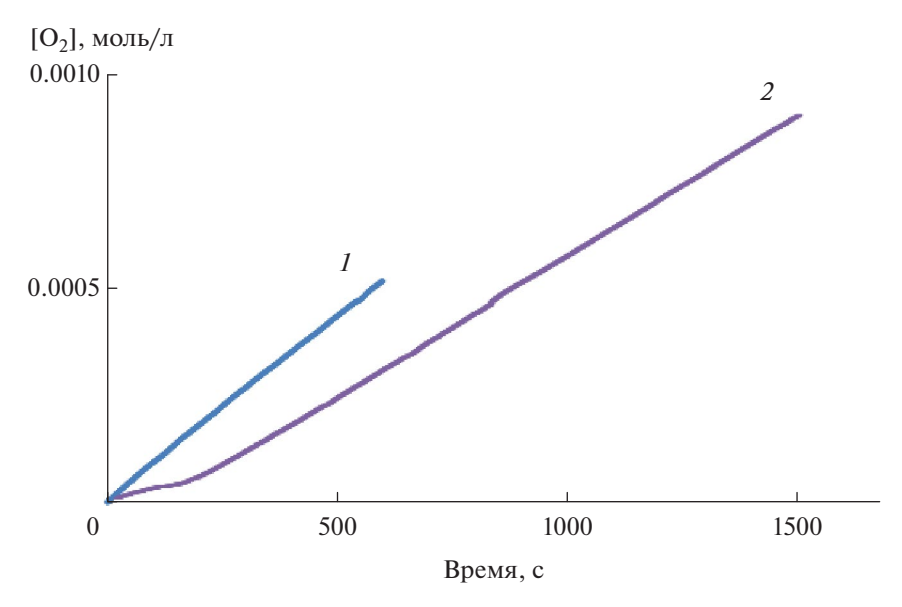
<sup>\*</sup>Условия реакции: [MO] = 1.3 моль/л,  $w_i = 4.0 \times 10^{-8}$  моль л<sup>-1</sup> с<sup>-1</sup>, 309 К.

Найдено, что  $fk_7 = (4.3 \pm 0.7) \times 10^4$  л моль $^{-1}$  с $^{-1}$ . Константу скорости ингибирования  $(k_7)$  определяли из каждой кинетической кривой при помощи уравнения (3) [16]. При расчете использовали  $k_2 = 2.5$  л моль $^{-1}$  с $^{-1}$ ,  $2k_6 = 10^6$  л моль $^{-1}$  с $^{-1}$  [11, 17]. Результаты приведены в табл. 2. Среднее значение  $k_7 = (5.0 \pm 0.8) \times 10^4$  л моль $^{-1}$  с $^{-1}$ , стехиометрический коэффициент ингибирования, найденный из зависимости ( $\tau \times w_i$ ) от [InH], составляет  $1.2 \pm 0.1$ .

# Обсуждение результатов

Полученные результаты свидетельствуют о том, что константа скорости реакции ОДМАУ с пероксильным радикалом тетрагидрофурана на порядок ниже константы скорости реакции этого ингибитора с пероксильным радикалом стирола, измеренной в растворе хлорбензола [5]. Различие в поведении исследуемого соединения

может быть связано с возникновением межмолекулярных водородных связей между реакционноспособной ОН-группой урацила и полярной молекулой тетрагидрофурана. Ранее было показано, что способность пероксильного радикала стирола отрывать атом H от молекулы InH снижается в 5-10 раз при переходе из раствора хлорбензола к раствору ацетонитрила [6]. Происходит это за счет образования водородной связи между молекулой ацетонитрила и О-Н-группой антиоксиданта. Блокирующее действие полярного растворителя характерно для реакций с участием связи О-Н [18]. В нашей системе тетрагидрофуран является как источником пероксильных радикалов, так и полярной средой, образующей водородную связь с О-Н-группой урацила. Это приводит к снижению на порядок константы скорости реакции ОДМАУ с пероксильным радикалом  $T\Gamma\Phi$  ( $k_7$ ) по сравнению с константой



**Рис. 3.** Типичные кинетические зависимости поглощения кислорода в ходе окисления метилолеата: без добавления ингибитора (I); [ОДМАУ] =  $1.1 \times 10^{-5}$  моль/л (2). Условия реакции: [MO] = 1.3 моль/л,  $w_i = 4 \times 10^{-8}$  моль  $\pi^{-1}$  с $^{-1}$ , 309 K.

скорости реакции ОДМАУ с пероксильным радикалом стирола в среде хлорбензола [5].

В радикально-цепном окислении метилолеата (МО) участвуют пероксильные радикалы, склонные к образованию внутримолекулярного комплекса. Это понижает его реакционную способность [19]. К тому же энергия диссоциации О—Н-связи в гидропероксиде тетрагидрофурана составляет 367.7 кДж/моль [7], а в соединении (СН<sub>3</sub>(СН<sub>2</sub>)<sub>2</sub>СН=СНСН(ООН)СН<sub>2</sub>СН<sub>3</sub>), которое является аналогом гидропероксида метилолеата, D(O-H) = 356.6 кДж/моль [19]. В результате наблюдается снижение константы скорости реакции пероксильного радикала МО с ОДМАУ по сравнению с константой скорости реакции этого соединения с пероксильным радикалом  $T\Gamma\Phi$ .

Найденные величины стехиометрического коэффициента ингибирования для ОДМАУ в системе радикально цепного окисления тетрагидрофурана и метилолеата свидетельствуют о том, что на одной молекуле ингибитора гибнет один радикал.

Значение параметра f зависит от соотношения скоростей следующих реакций [18]:

$$RO_2 \cdot + InH \rightarrow In \cdot + ROOH,$$
 (VI)

$$RO_2 \cdot + In \cdot \rightarrow InOOR,$$
 (VII)

$$In \cdot + In \cdot \rightarrow Monekyлярные продукты. (VIII)$$

Если протекают реакции (VI) и (VII), стехиометрический коэффициент ингибирования равен 2, а в случае гибели образующихся из ингибитора радикалов по реакции (VIII) f = 1 [18]. Так, для реак-

ции пероксильных радикалов стирола с ОДМАУ в среде хлорбензола найдено f=2 [5]. Константа скорости реакции пероксильного радикала стирола в хлорбензоле  $k_7=2.5\times 10^6$  л моль $^{-1}$  с $^{-1}$  [5]. Пероксильный радикал стирола высоко реакционноспособный, растворитель не препятствует реакции его с ингибитором. Следовательно, преимущество за реакцией (VII). В условиях нашего эксперимента пероксильные радикалы тетрагидрофурана и метилолеата заметно менее реакционноспособны: значения  $k_7$  составляют  $(3.8\pm0.5)\times 10^5$  и  $(5.0\pm0.8)\times 10^4$  л моль $^{-1}$  с $^{-1}$  соответственно. Следовательно, можно предположить, что образующиеся из ингибитора радикалы гибнут преимущественно по реакции (VIII).

Помимо замедления скорости реакции пероксильного радикала за счет взаимодействия с растворителем существенное влияние на механизм процесса может также оказывать присутствие кислоты [8, 20]. В связи с этим было проведено радикально-цепное окисление ТГФ, ингибированное ОДМАУ и аскорбиновой кислотой ([AscH] =  $(0.4 \div 13.0) \times 10^{-5}$  моль/л). Как известно, АscH обладает свойством регенерировать радикал, образующийся из ингибитора [21, 22]. Заметного влияния кислоты на константу скорости ингибирования и стехиометрический коэффициент ингибирования не обнаружено (рис. 1, табл. 3). Константа скорости ингибирования  $(k_7)$ , найденная из каждой кинетической кривой при помощи уравнения (3), составляет (4.5  $\pm$  1.0)  $\times$  $\times$  10<sup>5</sup> л моль $^{-1}$  с $^{-1}$ . Полученное значение удовлетворительно согласуется с константой скоро-

**Таблица 3.** Зависимость скорости окисления тетрагидрофурана и длительности индукционного периода от начальной концентрации аскорбиновой кислоты\*

[AscH] × 10-5, моль/л	$w \times 10^{-7}$ , моль л <sup>-1</sup> с <sup>-1</sup>	τ, c	$k_7 \times 10^5$ , л моль $^{-1}$ с $^{-1}$	f**
0	5.6	335	4.2	0.8
0.8	1.8	880	5.8	1.1
2.6	1.4	1540	3.3	0.9
6.5	0.4	2740	3.4	0.8
13.0	0.7	3810	4.2	0.6

<sup>\*</sup>Условия реакции:  $[T\Gamma\Phi] = 12$  моль/л,  $[OДMAY] = 7.9 \times 10^{-6}$  моль/л,  $w_i = 2.1 \times 10^{-8}$  моль л<sup>-1</sup> с<sup>-1</sup>, 309 К.

сти реакции ОДМАУ с пероксильным радикалом тетрагидрофурана ( $(3.8 \pm 0.5) \times 10^5$  л моль $^{-1}$  с $^{-1}$ ), полученной в отсутствие аскорбиновой кислоты. С увеличением концентрации аскорбиновой кислоты стехиометрический коэффициент ингибирования снижается (табл. 3). Это связано с тем, что становится существенным вклад окисления радикала, образующегося из аскорбиновой кислоты. В результате появляются радикалы, участвующие в продолжении цепи [8]. Таким образом, антиоксидантные свойства ОДМАУ преимущественно зависят от водородных связей его с тетрагидрофураном.

# **ЗАКЛЮЧЕНИЕ**

Измерены константы  $k_7$  скорости реакции 6-амино-5-гидрокси-2,3-диметилпиримидин-4(3H)-она с пероксильными радикалами тетрагидрофурана и метилолеата, их значения составили  $(3.8 \pm 0.5) \times 10^5$  и  $(5.0 \pm 0.8) \times 10^4$  л моль $^{-1}$  с $^{-1}$ соответственно. Установлено, что способность соединения отдавать атом водорода зависит от среды. В полярной среде образуется водородная связь между О-Н-группой урацила и молекулой растворителя. Это приводит к замедлению скорости реакции его с радикалом. Предположено, что уменьшение константы скорости реакции 6-амино-5-гидрокси-2,3-диметилпиримидин-4(3H)-она с пероксильными радикалами метилолеата обязано образованию внутримолекулярного комплекса радикала. Вследствие снижения реакционной способности 6-амино-5-гидрокси-2,3-диметилпиримидин-4(3H)-она образующиеся из ингибитора радикалы гибнут преимущественно по реакции друг с другом, а значение стехиометрического коэффициента ингибирования уменьшается до 1.

## ФИНАНСИРОВАНИЕ

Работа выполнена в соответствии с планом научно-исследовательских работ УфИХ УФИЦ

РАН по теме "Реакционная способность молекул, содержащих активный кислород в процессах окисления органических соединений", рег. № НИОКТР 122031400201-0.

#### КОНФЛИКТ ИНТЕРЕСОВ

Авторы заявляют об отсутствии конфликта интересов, требующего раскрытия в данной статье.

## СПИСОК ЛИТЕРАТУРЫ

- Мышкин В.А., Бакиров А.Б. Оксиметилурацил. (Очерки экспериментальной фармакологии). Уфа: ДАР, 2001. 218 с. (Myshkin, V.A., Bakirov A.B., Oksimetiluratsil (Ocherki eksperimental'noi farmakologii) Ufa: Dar, 2001, 218 p.)
- 2. 2700687 C1 RU, 2019. (Patent RU 2700687 C1, 2019.)
- 3. Патент 2 786 403 C2 RU, 2022. Patent RU 2 786 403 C2, 2022.)
- 4. *Насибуллина Р.А., Якупова Л.Р., Сафиуллин Р.Л.* // Кинетика и катализ. 2016. Т. 57. № 6. С. 767. (Nasibullina, R.A., Yakupova, L.R., Safiullin, R.L., *Kinet. Catal.*, 2016, vol. 57, no. 6, p. 758. https://link.springer.com/article/10.1134/S0023158416060100)
- Grabovskiy S.A., Grabovskaya Y.S., Antipin A.V., Kabalnova N.N. // Mendeleev Commun. 2019. T. 29. № 4.
   C. 414. https://doi.org/10.1016/j.mencom.2019.07.019 (Grabovskiy, S.A., Grabovskaya, Y.S., Antipin, A.V., Kabalnova, N.N., Mendeleev Commun., 2019, vol. 29, no. 4, p. 414. https://doi.org/10.1016/j.mencom.2019.07.019)
- Amorati R., Zotova Ju., Baschieri A., Valgimigli L. // J. Org. Chem. 2015. № 80. C. 10651. https://doi. org/10.1021/acs.joc.5b01772 (Amorati, R., Zotova, Ju., Baschieri, A., Valgimigli, L., J. Org. Chem., 2015, vol. 80(21), p. 10651. https://doi.org/10.1021/ acs.joc.5b01772)
- 7. Денисов Е.Т., Денисова Т.Г. // Нефтехимия. 2004. T. 44. № 4. C. 278. https://elibrary.ru/item.as-p?id=13463110 (Denisov, E.T., Denisova, T.G., Pet-rol. Chem., 2004, vol. 44, no. 4, p. 250. https://elibrary.ru/item.asp?id=13463110)

<sup>\*\*</sup>Находили по сумме концентраций ОДМАУ и аскорбиновой кислоты.

- 8. Якупова Л.Р., Мигранов А.Р., Насибуллина Р.А., Сафиуллин Р.Л. // Кинетика и катализ. 2023. Т. 64. № 6. С. 730. (Yakupova, L.R., Migranov, A.R., Nasibullina, R.A., Safiullin, R.L., Kinet. Catal., 2023, vol. 64, no. 6, p. 759. DOI: 10.1134/S0023158423060198)
- 9. Якупова Л.Р., Насибуллина Р.А., Сафиуллин Р.Л. // Кинетика и катализ. 2023. Т. 64. № 2. С. 173. (Yakupova, L.R., Nasibullina, R.A., Safiullin, R.L., Kinet. Catal., 2023, vol. 64, no. 2, p. 154. https://doi.org/10.1134/S0023158423020106)
- 10. Якупова Л.Р., Насибуллина Р.А., Мигранов А.Р., Гимадиева А.Р., Хазимуллина Ю.З., Сафиуллин Р.Л. // Кинетика и катализ. 2024. Т. 65. № 5. С. (Yakupova, L.R., Nasibullina, R.A., Migranov, A.R., Gimadieva, A.R., Khazimullina, Yu.Z., Safiullin, R.L., Kinet. Catal., 2024, vol. 65, no. 5, in print.)
- 11. Семикашева О.В., Насибуллина Р.А., Якупова Л.Р., Сафиуллин Р.Л. // Кинетика и катализ. 2021. Т. 62. № 5. С. 527. (Semikasheva, O.V., Nasibullina, R.A., Yakupova, L.R., Safiullin, R.L., Kinet. Catal., 2021, 62, no. 5, p. 573. https://doi.org/10.1134/S0023158421050098)
- 12. Якупова Л.Р., Проскуряков С.Г., Зарипов Р.Н., Рамеев Ш.Р., Сафиуллин Р.Л. // Бутлеров. сообщ. 2011. Т. 28. № 19. С. 71. https://elibrary.ru/item.asp?id=17649137 (Yakupova, L.R., Proskuryakov, S.G., Zaripov, R.N., Rameev, Sh.R., Safiullin, R.L., Butlerov. soobshch., 2011, vol. 28, no. 19, p. 71.)
- 13. *Зарипов Р.Н., Сафиуллин Р.Л., Рамеев Ш.Р., Ахунов И.Р., Комиссаров В.Д.* // Кинетика и катализ. 1990. Т. 31. № 5. С. 1086. (Zaripov, R.N., Safiullin, R.L., Rameev, Sh.R., Akhunov, I.R., Komissarov, V.D., *Kinet. Catal.*, 1991, vol. 31, no. 5, p. 952.)
- Denisov E.T., Afanas'ev I.B. Oxidation and Antioxdants in Organic Chemistry and Biology. Boca Raton: FL: CRC Press, Taylor and Francis Group, 2005.
   p. (Denisov, E.T., Afanas'ev, I.B., Oxidation and Antioxdants in Organic Chemistry and Biology. Boca Raton: FL: CRC Press, Taylor and Francis Group, 2005. 981 p.)

- Amorati R., Baschieri A., Morroni G., Gambino R., Valgimigli L. // Chem. Eur. J. 2016. V. 22. № 23. P. 7924.
   (Amorati, R., Baschieri, A., Morroni, G., Gambino, R., Valgimigli, L., Chem. Eur. J., 2016. vol. 22, no. 23, p. 7924. https://doi.org/10.1002/chem.201504492)
- 16. Денисов Е.Т., Азатян В.В. Ингибирование цепных реакций. Черноголовка: Изд-во РАН, 1997. 266 с. (Denisov, E.T., Azatyan, V.V., *Inhibition of chain reactions*. Chernogolovka: Publishing house of the Russian Academy of Sciences, 1997, 266 p.)
- 17. *Якупова Л.Р., Сафиуллин Р.Л. //* Кинетика и катализ. 2011. Т. 52. № 6. С. 806. (Yakupova, L.R., Safiullin, R.L., *Kinet. Catal.*, 2011, vol. 52, no. 6, p. 785. https://doi.org/10.1134/S002315841106022X)
- 18. Денисов Е.Т., Денисова Т.Г. // Успехи химии. 2009. T. 78. № 11. C. 1129. (Denisov, E.T., Denisova, T.G., Russ. Chem. Rev., 2009, vol. 78(11) p. 1047. https://doi.org/10.1070/RC2009v078n11ABEH004084)
- 19. *Сахаутдинова Р.А., Гимадиева А.Р., Якупова Р.Л., Борисов И.М., Сафиуллин Р.Л.* // Кинетика и катализ. 2015. Т. 56. № 2. С. 139. (Sakhautdinova, R.A., Gimadieva, A.R., Yakupova, L.R., Borisov, I.M., Safiullin, R.L., *Kinet. Catal.*, 2015, vol. 56, no. 2, p. 125. https://doi.org/10.1134/S0023158415010115)
- Valgimigli L., Pratt A. Antioxidants in Chemistry and Biology. Encycl. Radic. Chem. Biol. Mater. John Wiley & Sons, Ltd. 2012. P. 1623. (Valgimigli, L., Pratt, A., Antioxidants in Chemistry and Biology. Encycl. Radic. Chem. Biol. Mater. John Wiley & Sons, Ltd., 2012, vol. 3, P. 1623. https://doi.org/10.1002/9781119953678. rad055)
- 21. *Niki E., Saito T., Kawakami A., Kamiya Y. //* J. Biol. Chem. 1984. T. 259. № 7. P. 4177.
- 22. *Amorati R.*, *Pedulli G.F.*, *Valgimigli L.* // Org. Biomol. Chem. 2011. V. 9. № 10. P. 3792. (Amorati, R., Pedulli, G.F., Valgimigli, L., *Org. Biomol. Chem.*, 2011, vol. 9, no. 10, p. 3792. https://doi.org/10.1039/C1O-B05334E)

# Antioxidant Activity of 6-Amino-5-hydroxy-2,3-dimethylpyrimidine-4(3*H*)-one in Model Systems of Radical Chain Oxidation of Tetrahydrofuran and Methyloleate

L. R. Yakupova<sup>1, \*</sup>, R. A. Nasibullina<sup>1</sup>, S. A. Grabovsky<sup>1</sup>, and R. L. Safiullin<sup>1</sup>

<sup>a</sup>Ufa Institute of Chemistry, Ufa Federal Research Center RAS, prosp. Oktyabrya, 69, Ufa, Bashkortostan, 450054 Russia \*e-mail: stargar@inbox.ru

The antioxidant activity of 6-amino-5-hydroxy-2,3-dimethylpyrimidin-4(3H)-one (ODMAU) was measured in two model radical chain reactions at a temperature of 309 K. The rate constants of the interaction of ODMAU with peroxyl radicals of tetrahydrofuran and methyl oleate ( $k_7$ ) are equal to: (3.8±0.5) × 10<sup>5</sup> and (5.0±0.8) × 10<sup>4</sup> L mol<sup>-1</sup> s<sup>-1</sup>, respectively. The stoichiometric inhibition coefficient  $f \approx 1$  in the medium of tetrahydrofuran and methyl oleate indicates that one inhibitor molecule trap one radical. It is assumed that during the inhibited radical-chain oxidation of tetrahydrofuran and methyl oleate, chain termination occurs through the reaction of the peroxyl radical with ODMAU. The radicals formed from the inhibitor are consumed by reaction with each other.

**Keywords:** radical chain oxidation, tetrahydrofuran, methyl oleate, peroxyl radicals, 6-amino-5-hydroxy-2,3-dimethylpyrimidin-4(3*H*)-one, reaction rate constant, induction period, stoichiometric inhibition coefficient

#### **FUNDING**

The work was carried out in accordance with the plan of scientific research work of the Ufa Institute of Chemistry, Ufa Federal Research Center, Russian Academy of Sciences, Ufa, Bashkortostan, Russia, on the subject "Reactivity of molecules containing reactive oxygen in processes of oxidation of organic compounds", reg. no. NIOKTR 122031400201-0.

УЛК 547:546.98:541.128

# КИНЕТИЧЕСКИЕ СВИДЕТЕЛЬСТВА МЕХАНИЗМА ГОМОГЕННОГО КАТАЛИЗА В ОКИСЛИТЕЛЬНОЙ РЕАКЦИИ МИЦОРОКИ—ХЕКА

© 2024 г. А. А. Курохтина<sup>а</sup>, Е. В. Ларина<sup>а</sup>, Н. А. Лагода<sup>а</sup>, А. Ф. Шмидт<sup>а</sup>, \*

аФГБОУ ВО Иркутский государственный университет, химический факультет, ул. К. Маркса, 1, Иркутск, 664033 Россия

\*e-mail: aschmidt@chem.isu.ru

Поступила в редакцию 18.11.2024 г. После доработки 26.12.2024 г. Принята к публикации 28.12.2024 г.

В работе представлены результаты исследования закономерностей дифференциальной селективности окислительной реакции Мицороки—Хека в условиях конкуренции пары алкенов или пары арилборных кислот. Продемонстрировано, что величина загрузки и природа (растворимый в условиях реакции или нерастворимый нанесенный на гетерогенную подложку) палладиевого предшественника катализатора не оказывает влияния на величину дифференциальной селективности по продуктам конкурирующих реакций. Такой результат указывает на сохранение неизменной природы каталитически активных частиц при использовании различных типов предшественника катализатора и изменении его загрузки в реакционную систему. В соответствии с общепринятыми представлениями о взаимных превращениях растворенных и твердых форм палладия в условиях реакций кросс-сочетания, такими частицами являются истинно растворенные молекулярные комплексы палладия.

**Ключевые слова:** гомогенный катализ, окислительная реакция Мицороки—Хека, механизм, палладий, конкурирующие реакции

DOI: 10.31857/S0453881124060049, EDN: QKLGDV

# **ВВЕДЕНИЕ**

Мицороки-Хека, Реакция В оригинальном варианте представляющая собой сочетание арил- или винилгалогенидов с алкенами с образованием новой С-С-связи [1], благодаря многолетним интенсивным исследованиям получила развитие в виде множества модификаций, существенно расширяющих набор вовлекаемых в реакцию типов арилирующих реагентов в сравнении с первоначальным вариантом [2-4]. Одной из таких модификаций является так называемая окислительная реакция Мицороки-Хека между арилборными кислотами и алкенами [5-8], принципиальное отличие которой от реакции с использованием арилгалогенидов – необходимость окисления Pd(0), образующегося в результате восстановительного элиминирования продукта реакции – дизамещенного алкена – для регенерации каталитически активного Pd(+2), активирующего молекулу арилборной кислоты в стадии трансметаллирования после каждого каталитического цикла [7-11]. Как и для классической реакции с арилгалогенидами, окислительная реакция Мицороки–Хека с арилборными кислотами, несмотря на значительные успехи в развитии ее синтетического потенциала [5, 7, 9, 12, 13], характеризуется рядом нерешенных фундаментальных проблем, одна из которых открытый вопрос о протекании реакции в растворе по механизму гомогенного катализа или на поверхности гетерогенных частиц палладия, используемых в качестве предшественника катализатора или формирующихся *in situ* в результате агломерации растворенных молекулярных комплексов [6, 14–16]. В качестве инструмента для различения механизмов гомогенного и гетерогенного катализа окислительной реакции Мицороки-Хека в настоящей работе нами был применен апробированный ранее на родственных реакциях кросс-сочетания подход по анализу закономерностей дифференциальной селективности конкурентных реакций при направленном варьировании условий проведения процесса [17–21].

# ЭКСПЕРИМЕНТАЛЬНАЯ ЧАСТЬ

Все эксперименты проводили в атмосфере кислорода. Отбираемые пробы реакционной

смеси анализировали на газожидкостном хроматографе Кристалл 5000.2 ("Хроматэк", Россия, ДИП, колонка НР-5 15 м) с программированным нагревом от 110 до 250°С. Значения текущих концентраций веществ-участников реакции находили методом внутреннего стандарта (нафталин) с применением факторов отклика, определяемых по аутентичным образцам. Материальный баланс реакции рассчитывали в каждой пробе реакционной смеси с учетом количества израсходовавшихся субстратов и образовавшихся в результате реакции продуктов. Отклонения материального баланса от теоретического значения не превышали 5%.

Для оценки воспроизводимости каждый эксперимент выполняли 2 раза. Математическую обработку кинетических данных и построение фазовых траекторий осуществляли с помощью средств программы Microsoft Excel 2007 [22].

# Приготовление катализаторов

Нанесенный палладиевый катализатор на углеродном носителе Pd/C ("Сибунит" [23]) с размером гранул 0.16-0.25 мм и содержанием Pd 4 мас. % готовили методом пропитки из  $Pd(OAc)_2$  с последующей термообработкой и восстановлением муравьиной кислотой по методике, описанной в [19].

Нанесенный палладиевый катализатор на окиси алюминия  $Pd/Al_2O_3$  с содержанием палладия 4 мас. % получали с использованием  $Al_2O_3$ , предварительно обработанного раствором  $0.1\ N\ HNO_3$  с последующей осушкой на воздухе в течение 3 ч при  $160^{\circ}$ С и еще 3 ч при  $400^{\circ}$ С. Процедура нанесения палладия методом пропитки была аналогичной процедуре для Pd/C без восстановления нанесенного палладия муравьиной кислотой.

Нанесенный палладиевый катализатор на силикагеле  $Pd/SiO_2$  с содержанием палладия 2.3 мас. % Pd готовили с использованием  $SiO_2$ , модифицированного 3-хлорпропилтриметоксисиланом и N-этилимидазолом по методике, описанной в [19]. В качестве наносимого активного компонента применяли хлорид палладия(II) без последующего восстановления.

# Каталитические эксперименты

В окислительной реакции Мицороки—Хека в условиях конкуренции пары алкенов конкурирующие стирол и *н*-бутилакрилат (по 1.25 ммоль каждого) и нафталин в качестве внутреннего

стандарта для хроматографии (0.5 ммоль) растворяли при комнатной температуре в 5 мл N, N-диметилформамида (ДМ $\Phi$ A). Полученный раствор продували кислородом и вводили с помощью шприца в предварительно заполненный кислородом стеклянный реактор с отростком, снабженный резиновой мембраной, магнитным мешальником и присоединенным к стеклянному отростку реактора латексным шариком, заполненным кислородом. В реактор предварительно вносили 4-толилборную кислоту (5 ммоль), ацетат натрия (3.25 ммоль) в качестве основания, NBu<sub>4</sub>Br (0.8 или 1.6 ммоль) и палладиевый предшественник катализатора (0.01-0.08 ммоль). Реакцию начинали, помещая реактор в предварительно нагретую до 80°C масляную баню при перемешивании (480 об/мин).

В окислительной реакции Мицороки-Хека в условиях конкуренции пары арилборных кислот стирол (5 ммоль) и нафталин в качестве внутреннего стандарта для хроматографии (0.5 ммоль) растворяли при комнатной температуре в 5 мл ДМФА. Полученный раствор продували кислородом и вводили с помощью шприца в предварительно заполненный кислородом стеклянный реактор с отростком, снабженный резиновой мембраной, магнитным мешальником и присоединенным к стеклянному отростку реактора латексным шариком, заполненным кислородом. В реактор предварительно вносили конкурирующие фенилборную и 4-ацетилфенилборную кислоты (по 0.25 ммоль каждой), ацетат натрия (3.25 ммоль) в качестве основания, NBu<sub>4</sub>Br (0.8 ммоль) и палладиевый предшественник катализатора (0.01-0.08 ммоль). Реакцию начинали, помещая реактор в предварительно нагретую до 80°C масляную баню при перемешивании (480 об/мин).

Пробы реакционной смеси периодически отбирали из реактора с помощью шприца с металлической иглой. Для хроматографического анализа 100 мкл пробы реакционного раствора экстрагировали 100 мкл смеси толуол/вода (1/1). Продолжительность реакции составляла 5—7 ч (в случае применения растворимых предшественников катализатора) и 48 ч (в случае применения нанесенных гетерогенных предшественников катализатора).

В качестве палладиевых предшественников катализатора использовали:  $PdCl_2$ ,  $PdBr_2$ ,  $Pd(OAc)_2$ , Pd/C,  $Pd/Al_2O_3$ ,  $Pd/SiO_2$ .

# РЕЗУЛЬТАТЫ И ИХ ОБСУЖДЕНИЕ

Вопрос об участии истинно растворенных соединений палладия или гетерогенных (наноразмерных и более грубодисперсных) частиц металла в качестве активного катализатора образования продуктов в реакциях кросс-сочетания в течение многих лет не имеет олнозначного ответа [24–26]. Основной причиной противоположных выводов, формулируемых разными исследовательскими группами, являются процессы взаимных превращений между потенциально активными растворимыми и твердыми формами палладия, протекающие вне зависимости от природы вводимого в реакционные системы предшественника катализатора (растворимый в условиях реакции или нерастворимый гетерогенный). Эти превращения реализуются в полной мере и в окислительной реакции Мицороки-Хека (схема 1).

В последние годы широкое распространение получила концепция так называемого коктейля катализаторов [27, 28], предполагающая наличие адаптивной способности каталитических систем, одновременно содержащих несколько различных типов потенциально активных частиц катализатора, к изменению их вкладов в суммарную величину конверсии субстратов в зависимости от условий реакции. В силу высокой чувствительности процессов взаимопревращения соединений палладия, находящихся в растворенном и твердом виде, к природе сочетающихся субстратов, а также условиям проведения процесса [24, 25], сформулировать универсальный вывод о природе соединений, ответственных за каталитическую активность в реакциях кросс-сочетания, не представляется возможным. На наш взгляд, именно с этой особенностью связаны противоречивые результаты большого количества исследований, направленных на различение механизмов гомогенного и гетерогенного катализа, основой подавляющего большинства которых являются те или иные варианты тестирования реакции на гомогенность-гетерогенность (удаление твердой фазы катализатора, применение селективных каталитических ядов и т.д.) [29, 30]. В ситуации нестационарности концентраций активных и неактивных форм катализатора вследствие их взаимных превращений, а также зависимости относительных количеств различных форм палладия от применяемых условий конкретной реакции, результаты таких тестов нельзя рассматривать как однозначные [26, 28, 31-33]. Таким образом, с одной стороны, достоверный вывод о природе активного катализатора, обеспечивающего основной вклад в каталитическое превращение субстрата, может быть сделан только в некотором диапазоне условий. С другой стороны, для получения однозначных результатов методы исследования природы катализатора не должны зависеть от меняющейся в ходе реакции концентрации каталитически активных и неактивных форм.

В качестве простого и доступного метода, на результаты которого не влияет концентрация активного катализатора, нами было предложено использовать измерения величины дифференциальной селективности (ДС) реакции с помощью построения так называемых фазовых траекторий [17, 34], представляющих собой зависимости концентраций продуктов двух конкурирующих реакций друг от друга. Наклон фазовой траектории в любой ее точке равен от-

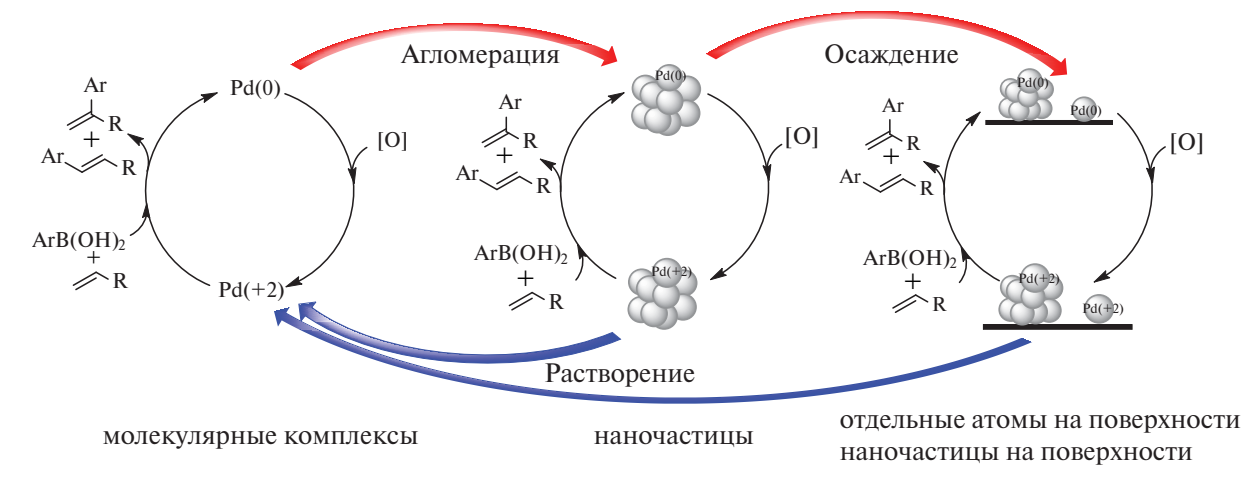


Схема 1. Взаимные превращения растворенных и твердых форм палладия в условиях окислительной реакции Мицороки-Хека.

ношению скоростей конкурирующих реакций, которое однозначно связано с величиной ДС в ее общепринятом понимании (отношение скорости расходования реагента в данный продукт к общей скорости расходования реагента в данный момент времени) и поэтому может использоваться как характеризующая ДС величина [17, 34]. Таким образом, совпадающие фазовые траектории, получаемые при варьировании условий проведения процесса, указывают на сохранение неизменной величины ДС, а следовательно, и природы активного катализатора, в то время как различие фазовых траекторий — это однозначное свидетельство изменения ДС и смены природы активных частии.

В ситуации сосуществования нескольких потенциально активных форм катализатора (схема 1) в серии экспериментов, целью которых является сравнительный анализ величин ДС на предмет ее чувствительности к определенным параметрам, варьирование параметров должно быть построено таким образом, чтобы изменению подвергалась только одна из нескольких форм катализатора, в то время как остальные формы (их состав и строение) оставались постоянными. В этом случае вывод об участии формы, изменяющейся при варьировании условий реакции, в качестве каталитически активной или, напротив, не участвующей в катализе, сформулированный на основании различия или, соответственно, совпадения фазовых траекторий, будет корректным. В ходе многолетних исследований накоплен значительный массив экспериментальных данных о закономерностях взаимопревращений различных форм палладия в условиях реакций кросс-сочетания [24-26, 28, 30, 35]. Базируясь на этих данных, можно уверенно утверждать, что в качестве параметра, удовлетворяющего описанному критерию, можно рассматривать эксперименты с набором различных предшественников катализатора, обладающих различной способностью к растворению в условиях исследуемой реакции, а также с варьированием их загрузки в реакционную систему. Для катализа окислительной реакции Мицороки-Хека в настоящей работе нами используются так называемые "безлигандные" условия реакции, которые подразумевают отсутствие в реакционных системах (в том числе в составе применяемых палладиевых предшественников катализатора) сильных донорных органических лигандов (фосфинов, аминов, карбенов и т.п.). В такой ситуации состав истинно растворенных частиц (молекулярных комплексов Pd(0)

и Pd(+2)), стабилизированных анионами основания и галогенной соли, входящих в состав используемой каталитической системы, а также нейтральными молекулами координирующего растворителя [16, 24, 35–37]), в экспериментах с варьированием природы и загрузки предшественника катализатора остается постоянным. В то же время процесс образования наноразмерных и впоследствии более грубодисперсных частиц металлического палладия путем агломерации растворенных палладиевых частиц, реализующийся как при применении растворенных предшественников катализатора, так и в случае предшественников, нанесенных на гетерогенные носители вследствие растворения, как минимум, части палладия, является нелинейным с точки зрения химической кинетики [38-40]. Следовательно, различное количество палладия в растворе вследствие варьирования загрузки предшественника в реакционную систему или различной способности к растворению набора разных предшественников приведет к изменению размера и/или формы образующихся гетерогенных частиц. Соответственно, в ситуации каталитической активности таких частиц величина ДС в таких экспериментах будет различной.

Для различения гипотез образования продуктов окислительной реакции Мицороки-Хека по механизмам гомогенного или гетерогенного катализа закономерности ДС оценивались нами в условиях конкурентной реакции. Поскольку исследуемая реакция представляет собой сочетание двух различных по природе субстратов – алкена и арилборной кислоты – изучение закономерностей ДС с целью различения механизмов гомогенного и гетерогенного катализа может проводиться в условиях создания так называемой искусственной многомаршрутности путем использования пары конкурирующих алкенов или пары конкурирующих арилборных кислот. Независимая оценка величин ДС, определяемых в двух различных узлах сопряжения конкурентной реакции [41], повышает достоверность формулируемых выводов, что является принципиально важным в сложных каталитических процессах с нестационарной концентрацией активного катализатора.

Исследование закономерностей ДС окислительной реакции Мицороки—Хека в условиях конкуренции стирола и *н*-бутилакрилата и при применении 4-толилборной кислоты в качестве общего реагента (схема 2а) было проведено при использовании растворимых (PdCl<sub>2</sub>, Pd(OAc)<sub>2</sub>)

и нанесенных на гетерогенные подложки нерастворимых  $(Pd/C, Pd/Al_2O_3)$  палладиевых предшественников катализатора. Как следует из полученных данных, фазовые траектории, построенные в координатах суммарных концентраций региоизомерных продуктов превращения каждого из конкурирующих алкенов, не изменялись в присутствии всех перечисленных предшественников катализатора (рис. 1). Такой результат указывает на неизменность величины ДС по конкурирующим алкенам и, следовательно, одинаковую природу каталитически активных соединений во всех экспериментах серии. В соответствии с приведенными выше рассуждениями о характере превращений растворенных и твердых форм палладия в условиях реакций кросс-сочетания, в качестве таких активных соединений выступают истинно растворенные молекулярные комплексы палладия. Отметим, что сформулированный вывод будет справедливым и в случае каталитической активности малоядерных кластеров палладия типа  $[Pd(0)/Pd(+2)]_n$ , также являющихся истинно растворенными

частицами с потенциальной каталитической активностью (схема 1) и представляющих собой переходную форму от мономолекулярных комплексов палладия к наноразмерным частицам [25, 42], поскольку, как и для мономолекулярных комплексов палладия, их состав при варьировании природы предшественника в "безлигандных" условиях не изменяется. Как минимум, полученный результат позволяет уверенно исключить из рассмотрения гипотезу протекания реакции на поверхности палладия, находящегося на гетерогенной подложке, которая в принципе отсутствует в экспериментах с использованием растворимых солей палладия в качестве предшественников катализатора, ДС в присутствии которых при этом совпадает с ДС в присутствии Pd/C или Pd/Al<sub>2</sub>O<sub>3</sub>.

Необходимо отметить, что в отличие от ситуации, когда фазовые траектории не совпадают при варьировании условий реакции, совпадение фазовых траекторий, помимо истинной неизменности ДС вследствие сохранения природы активных частиц катализатора, может быть об-

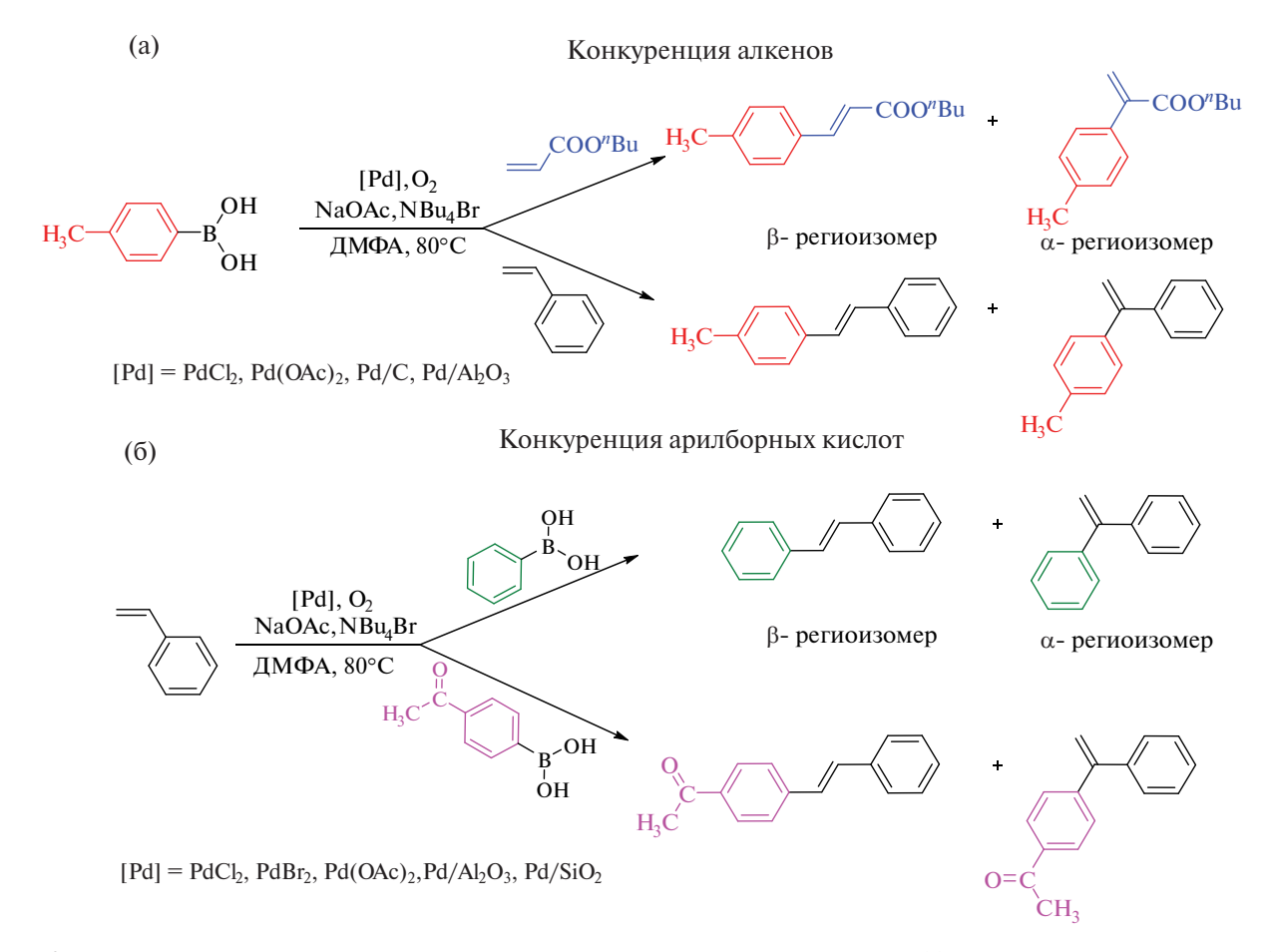
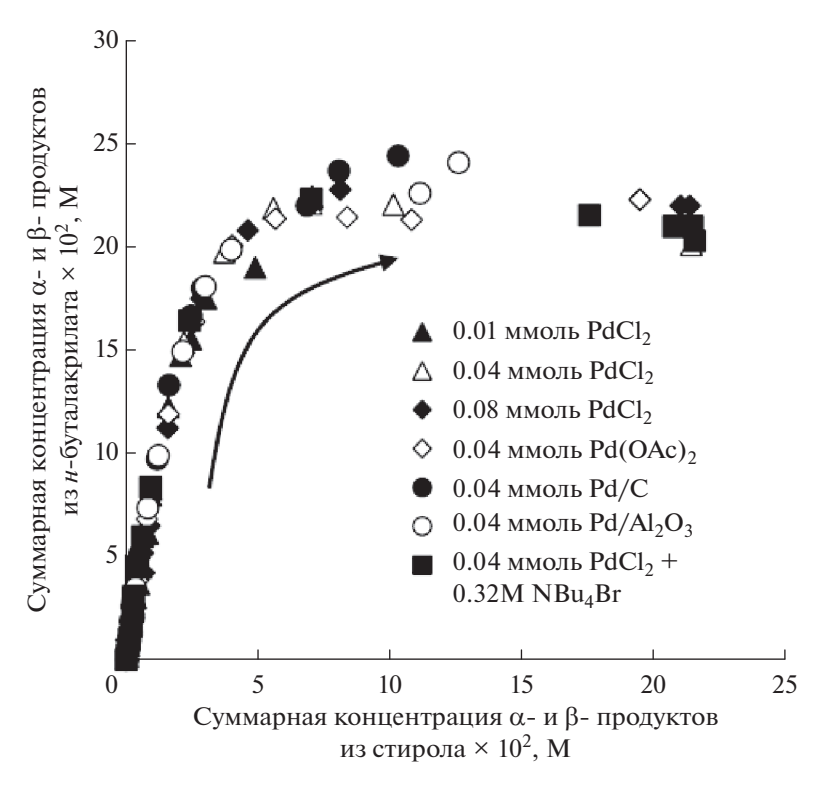


Схема 2. Окислительная реакция Мицороки-Хека в условиях конкуренции пары алкенов (а) или пары арилборных кислот (б).



**Рис. 1.** Фазовые траектории окислительной реакции Мицороки—Хека, построенные в координатах суммарных концентраций продуктов превращения конкурирующих стирола и n-бутилакрилата в реакции с 4-толилборной кислотой (схема 2a), полученные в экспериментах с варьированием природы и загрузки палладиевого предшественника катализатора. Условия реакции: [стирол] = [n-бутилакрилат] = 0.25 M; [4-толилборная кислота] = 1 M; [NaOAc] = 0.65 M;  $[NBu_4Br] = 0.16$  M, если не указано иное; стрелкой показано направление развития реакции во времени.

условлено низкой чувствительностью ДС к изменению условий в совокупности с недостаточной точностью экспериментальных измерений концентраций веществ-участников реакции, используемых для построения фазовых траекторий [17]. В такой ситуации желательным является варьирование как можно большего числа параметров, способных повлиять на состояние активного катализатора и, следовательно, величину ДС. Для этого нами были проведены дополнительные эксперименты с различной загрузкой растворимого предшественника катализатора (PdCl<sub>2</sub>). Совпадение полученных фазовых траекторий в этих экспериментах между собой, а также с набором фазовых траекторий экспериментов с различными типами предшественников катализатора (рис. 1) подтверждает гипотезу о неизменной природе активных частиц, которыми в таком случае являются истинно растворенные соединения палладия. Дополнительным свидетельством протекания катализа в растворе с участием молекулярных комплексов палладия является и совпадение величины ДС окислительной реакции Мицороки-Хека по продуктам превращения конкурирующих

алкенов при варьировании количества  $NBu_4Br$ , используемого в качестве добавки к каталитической системе. Известно, что галогенные соли тетраалкиламмония, с одной стороны, облегчают процесс растворения палладия с поверхности крупных гетерогенных частиц, изменяя их размеры, с другой — стабилизируют образующиеся в процессе растворения/агломерации наноразмерные частицы палладия [35]. Сохранение величины ДС реакции при варьировании концентрации  $NBu_4Br$  согласуется с протеканием катализа в фазе раствора с участием молекулярных комплексов палладия, состав которых в таких экспериментах не изменяется.

Необходимо отметить, что совпадение ДС при варьировании природы и концентрации предшественника катализатора может быть вызвано близкими или незначительными изменениями констант скоростей стадий взаимодействия конкурирующих реагентов с общим интермедиатом, что приводит к примерно постоянной ДС. Способом проверки такого предположения может являться исследование закономерностей ДС в отличающемся узле сопряжения конкурентной реакции, определяемой константами ско-

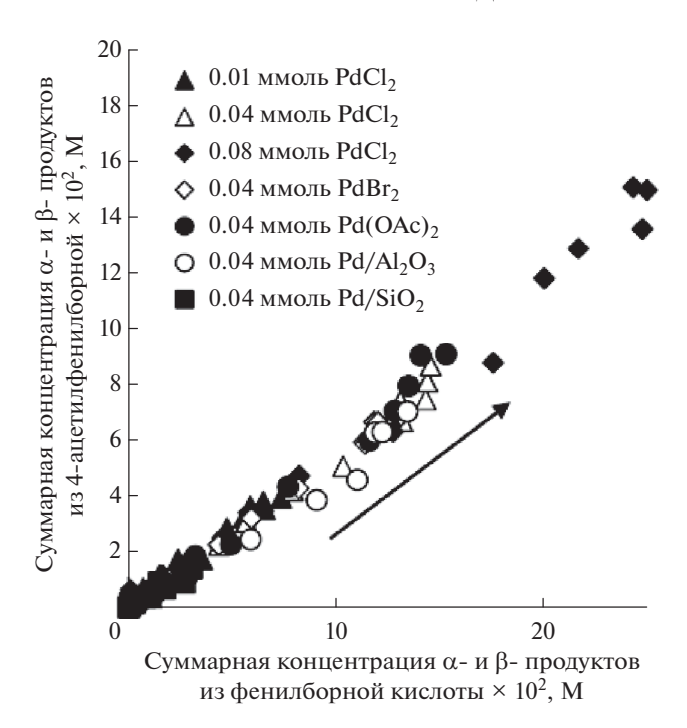


Рис. 2. Фазовые траектории окислительной реакции Мицороки-Хека, построенные в координатах суммарных концентраций продуктов превращения конкурирующих фенилборной и 4-ацетилфенилборной кислот в реакции со стиролом (схема 26), полученные в экспериментах с варырованием природы и загрузки палладиевого предшественника катализатора. Условия реакции: [стирол] = 1 М; [фенилборная кислота] = [4-ацетилфенилборная кислота] = 0.5 М; [NBu<sub>4</sub>Br] = 0.16 М; стрелкой показано направление развития реакции во времени.

ростей других элементарных стадий. Поэтому возможная чувствительность ДС окислительной реакции Мицороки-Хека к варьированию природы и загрузки палладиевого предшественника катализатора была проверена нами и в условиях конкуренции пары арилборных кислот (схема 2б). Закономерности ДС по конкурирующим арилборным кислотам (рис. 2) были аналогичны таковым по конкурирующим алкенам (рис. 1). Фазовые траектории в экспериментах, отличающихся природой палладиевого предшественника катализатора, на примере растворимых (хлорид, бромид и ацетат палладия) и нерастворимых нанесенных на гетерогенную подложку (Pd/SiO<sub>2</sub>) или Pd/Al<sub>2</sub>O<sub>3</sub>) соединений, а также в дополнительных экспериментах с различной загрузкой растворимого PdCl<sub>2</sub> хорошо совпадали между собой. Таким образом, совокупность результатов, полученных в условиях применения "безлигандных" палладиевых каталитических систем, согласуется с предположением об образовании продуктов окислительной реакции Мицороки-Хека в растворе по механизму гомогенного катализа с участием молекулярных комплексов палладия.

# ЗАКЛЮЧЕНИЕ

Полученные в работе экспериментальные данные о совпадении фазовых траекторий окислительной реакции Мицороки-Хека в серии экспериментов с использованием набора палладиевых предшественников катализатора, дающих разные доли истинно растворенного палладия в условиях каталитической реакции, указывают на сохранение неизменной величины ДС конкурентной реакции. При этом варьирование величины загрузки растворимого палладиевого предшественника так же не приводит к изменению вида фазовых траекторий и, соответственно, значения ДС. Наблюдаемые закономерности свидетельствуют об одинаковой природе каталитически активных соединений, формирующихся в реакционной системе во всех перечисленных экспериментах. С учетом многочисленных данных об отсутствии влияния природы (растворимый или нерастворимый) и загрузки предшественника катализатора на состав истинно растворенных молекулярных комплексов и/или малоядерных кластеров палладия в так называемых "безлигандных" условиях, и, напротив, чувствительности размера и формы частиц гетерогенной (в том числе наноразмерной) фазы палладия к указанным факторам вследствие нелинейного процесса их формирования, полученные результаты согласуются с гипотезой протекания катализа окислительной реакции Мицороки-Хека в растворе по механизму истинно гомогенного катализа.

#### ФИНАНСИРОВАНИЕ

Работа выполнена при финансовой поддержке Российского научного фонда (грант № 23-23-00035) с использованием оборудования Центра коллективного пользования аналитическим оборудованием ИГУ (http://ckp-rf.ru/ckp/3264/).

## КОНФЛИКТ ИНТЕРЕСОВ

Авторы заявляют об отсутствии конфликта интересов, требующего раскрытия в данной статье.

#### СПИСОК ЛИТЕРАТУРЫ

1. *Heck R.F., Nolley J.P.* // J. Org. Chem. 1972. V. 37. P. 2320.

- 2. *Zhang X.-S.*, *Han Y.-P.*, *Zhang Y.*, *Liang Y.-M.* // Adv. Synth. Catal. 2023. V. 365. P. 2436.
- 3. *Alisha M., Philip R.M., Anilkumar G.* // J. Organomet. Chem. 2022. V. 959. Art. 122207.
- 4. *Le Bras J.*, *Muzart J.* // Chem. Rev. 2011. V. 111. P. 1170.
- 5. *Cirillo D., Karlsson S., Bjørsvik H.* // Eur. J. Org. Chem. 2021. V. 40. P. 5519.
- 6. Motevalizadeh S.F., Alipour M., Ashori F., Samza-deh-Kermani A., Hamadi H., Ganjali M.R., Aghahosseini H., Ramazani A., Khoobi M., Gholibegloo E. // Appl. Organomet. Chem. 2018. V. 32. P. e4123.
- Odell L.R., Sävmarker J., Lindh J., Nilsson P., Larhed M. Addition Reactions with Formation of Carbon-Carbon Bonds: (V) The Oxidative Heck Reaction / In: Comprehensive Organic Synthesis: Second Edition, Ed. P. Knochel. Elsevier Ltd., 2014. P. 492.
- 8. Karimi B., Behzadnia H., Elhamifar D., Akhavan P.F., Esfahani F.K., Zamani A. // Synthesis. 2010. № 9. P. 1399.
- 9. Lee A.-L. // Org. Biomol. Chem. 2016. V. 14. P. 5357.
- Mi X., Huang M., Guo H., Wu Y. // Tetrahedron. 2013.
   V. 69. P. 5123.
- Zhou C., Larock R.C. // J. Org. Chem. 2006. V. 71. P. 3184.
- 12. Ourailidou M.E., Van Der Meer J.Y., Baas B.J., Jeronimus-Stratingh M., Gottumukkala A.L., Poelarends G.J., Minnaard A.J., Dekker F.J. // ChemBioChem. 2014. V. 15. P. 209.
- 13. *Delcamp J.H., Gormisky P.E., White M.C.* // J. Am. Chem. Soc. 2013. V. 135. P. 8460.
- 14. Han J., Sun X., Wang X., Wang Q., Hou S., Song X., Wei Y., Wang R., Ji W. // Org. Lett. 2020. V. 22. P. 1480.
- 15. Li Y., Sun N., Hao M., Zhang C.L., Li H., Zhu W.Q. // Catal. Lett. 2021. V. 151. P. 764.
- 16. *Silarska E., Trzeciak A.M.* // J. Mol. Catal. A: Chem. 2015. V. 408. P. 1.
- 17. Шмидт А.Ф., Курохтина А.А., Ларина Е.В. // Кинетика и катализ. 2019. Т. 60. № 5. С. 555. (Schmidt A.F., Kurokhtina A.A., Larina E.V. // Kinet. Catal. 2019. V. 60. P. 551.)
- 18. Ларина Е.В., Курохтина А.А., Лагода Н.А., Григорьева Т.А., Шмидт А.Ф. // Кинетика и катализ. 2023. Т. 64. № 4. С. 428. (Larina E.V., Kurokhtina A.A., Lagoda N.A., Grigoryeva T.A., Schmidt A.F. // Kinet. Catal. 2023. V. 64. P. 431.)
- 19. Шмидт А.Ф., Курохтина А.А., Ларина Е.В., Лагода Н.А., Явсин Д.А., Гуревич С.А., Зеликман В.М., Кротова И.Н., Ростовщикова Т.Н., Тарханова И.Г. // Кинетика и Катализ. Т. 64. № 1. С. 39. (Schmidt A.F., Kurokhtina A.A., Larina E.V., Lagoda N.A., Yavsin D.A., Gurevich S.A., Zelikman V.M., Krotova I.N., Rostovshchikova T.N., Tarkhanova I.G. // Kinet. Catal. 2023. V. 64. № 1. P. 32.)
- 20. Schmidt A.F., Kurokhtina A.A., Larina E.V., Lago-da N.A. // Organometallics. 2024. V. 43. P. 1879.

- 21. Lagoda N.A., Larina E.V., Vidyaeva E.V., Kurokhtina A.A., Schmidt A.F. // Org. Proc. Res. Dev. 2021. V. 25. P. 916.
- 22. Excel for Scientists and Engineers: Numerical Methods. 2<sup>nd</sup> Ed. E.J. Billo. John Wiley & Sons, 2007. 480 p.
- 23. *Мироненко Р.М., Бельская О.Б., Лихолобов В.А.* // Российский химический журнал. 2019. Т. 62. № 1—2. С. 141. (*Mironenko R.M., Belskaya O.B., Likholobov V.A.* // Rus. J. Gen. Chem. 2020. V. 90. P. 532.)
- 24. *Biffis A., Centomo P., Del Zotto A., Zecca M.* // Chem. Rev. 2018. V. 118. P. 2249.
- Jeddi N., Scott N.W.J., Fairlamb I.J.S. // ACS Catal. 2022. V. 12. P. 11615.
- 26. Шмидт А.Ф., Курохтина А.А. // Кинетика и катализ. 2012. Т. 53. № 6. С. 760. (Schmidt A.F., Kurokhtina A.A. // Kinet. Catal. 2012. V. 53. Р. 714.)
- 27. Ananikov V.P., Beletskaya I.P. // Organometallics, 2012, 31, 1595.
- Prima D.O., Kulikovskaya N.S., Galushko A.S., Mironenko R.M., Ananikov V.P. // Curr. Opin. Green Sustain. Chem. 2021. V. 31. P. 100502
- 29. *Widegren J.A.*, *Finke R.G.* // J. Mol. Catal. A: Chem. 2003. V. 198. P. 317.
- 30. Crabtree R.H. // Chem. Rev. 2012. V. 112. P. 1536.
- 31. Gorunova O.N., Novitskiy I.M., Grishin Y.K., Gloriozov I.P., Roznyatovsky V.A., Khrustalev V.N., Kochetkov K.A., Dunina V.V. // Organometallics. 2018. V. 37. P. 2842.
- 32. Chernyshev V.M., Astakhov A.V., Chikunov I.E., Tyurin R.V., Eremin D.B., Ranny G.S., Khrustalev V.N., Ananikov V.P. // ACS Catal. 2019. V. 9. P. 2984.
- 33. Chagunda I.C., Fisher T., Schierling M., McIndoe J.S. // Organometallics. 2023. V. 42. P. 2938.
- 34. Schmidt A.F., Kurokhtina A.A., Larina E.V. // Catal. Sci. Technol. 2014. V. 4. P. 3439.
- Köhler K., Kleist W., Pröckl S.S. // Inorg. Chem. 2007.
   V. 46. P. 1876.
- 36. Galushko A.S., Ilyushenkova V.V., Burykina J.V., Shaydullin R.R., Pentsak E.O., Ananikov V.P. // Inorganics. 2023. V. 11. P. 260.
- Gnad C., Abram A., Urstöger A., Weigl F., Schuster M., Köhler K. // ACS Catal. 2020. V. 10. P. 6030.
- 38. *Handwerk D.R., Shipman P.D., Whitehead C.B., Öz-kar S., Finke R.G.* // J. Phys. Chem. C. 2020. V. 124. P. 4852.
- 39. *Finney E.E., Finke R.G.* // J. Coll. Interf. Sci. 2008. V. 317. P. 351.
- Schmidt A.F., Smirnov V.V. // Top. Catal. 2005. V. 32.
   P. 71.
- 41. *Темкин О.Н.* // Кинетика и катализ. 2012. Т. 53. С. 326. (*Temkin O.N.* // Kinet. Catal. 2012. V. 53. P. 313.)
- 42. *Polynski M.V., Ananikov V.P.* // ACS Catal. 2019. V. 9. Art. 3991.

# Kinetic Evidence for Homogeneous Catalysis Mechanism in the Oxidative Mizoroki—Heck Reaction

A. A. Kurokhtina<sup>1</sup>, E. V. Larina<sup>1</sup>, N. A. Lagoda<sup>1</sup>, and A. F. Schmidt<sup>1</sup>, \*

<sup>1</sup>Irkutsk State University, Chemical Department, K. Marx str., 1, Irkutsk, 664003 Russia \*e-mail: aschmidt@chem.isu.ru

The paper presents the results of the study of the differential selectivity patterns in the oxidative Mizoroki—Heck reaction under competition of two alkenes or of two arylboronic acids. It has been demonstrated that the loading and nature (soluble under the reaction conditions or insoluble deposited on a heterogeneous support) of the Pd catalyst precursor does not affect the differential selectivity of the products of competing reactions. The results obtained indicate that the nature of the catalytically active species remains unchanged when the nature and loading of the precursor is varied. In accordance with accepted view about the interconversions of dissolved and solid forms of palladium in cross-coupling reactions, such species are truly dissolved molecular Pd complexes.

Keywords: homogeneous catalysis, oxidative Mizoroki-Heck reaction, mechanism, palladium, competing reactions

#### **FUNDING**

This work was supported by Russian Science Foundation (grant no. 23-23-00035) using the facilities of the joint analytical center at the Irkutsk State University (https://ckp-rf.ru/ckp/3264).

УЛК 544.47

# ВЛИЯНИЕ МОДИФИКАТОРА М (M = Ca, Sr, Ba) НА СЕЛЕКТИВНОСТЬ КАТАЛИЗАТОРОВ $Pd-Cu/Mo/Al_2O_3$ В КОНВЕРСИИ ЭТАНОЛА В БУТАНОЛ-1

© 2024 г. С. А. Николаева, Р. А. Багдатов, \*, А. В. Чистяков, М. В. Цодиков

аФГБОУ ВО Московский государственный университет им. М.В. Ломоносова, Ленинские горы, 1, Москва, 119991 Россия

<sup>b</sup>ФГБУН Институт нефтехимического синтеза им. А.В. Топчиева РАН, Ленинский просп., 29, Москва, 119991 Россия

\*e-mail: bagdatov.ruslan@yandex.ru

Поступила в редакцию 03.06.2024 г. После доработки 28.10.2024 г. Принята к публикации 25.11.2024 г.

С помощью пропитки получены катализаторы  $Pd-Cu/MO/Al_2O_3$  (M=Ca, Sr, Ba; [M]=5 вес. %; [Pd]=0.3 вес. %; [Cu]=0.2 вес. %). Методами просвечивающей электронной микроскопии и рентгеновской фотоэлектронной спектроскопии обнаружено, что осаждение на поверхности  $MO/Al_2O_3$  меди и палладия приводит к формированию высокой плотности активных частиц  $Pd^0-Cu^0$  со средним размером 6 нм. Показано, что при 275°C селективность образования из этанола бутанола-1 изменяется в ряду: 0.2% Cu/0.3%  $Pd/Al_2O_3 << 0.2\%$  Cu/0.3% Pd/5%  $CaO/Al_2O_3 \approx 0.2\%$  Cu/0.3% Pd/5%  $SrO/Al_2O_3 << 0.2\%$  Cu/0.3% Pd/5%  $BaO/Al_2O_3$ , что коррелирует с изменением кислотности катализаторов в том же ряду. На основании кинетических данных установлено, что использование в составе Pd-Cu-катализатора носителя SM  $SrO/Al_2O_3$  позволяет снизить скорость образования побочного диэтилового эфира примерно в  $SrO/Al_2O_3$  при этом сохранить высокую скорость образования бутанола-1.

**Ключевые слова:** Pd, Cu, наночастицы, этанол, бутанол-1, конденсация этанола, модификатор, оксиды щелочно-земельных металлов, селективность

DOI: 10.31857/S0453881124060055, EDN: QKEZHO

# **ВВЕДЕНИЕ**

Перспективный процесс валоризации этанола — его самоконденсация, описываемая общим уравнением:  $2C_2H_5OH \rightarrow C_4H_9OH + H_2O$ . Основным продуктом реакции является бутанол-1, который широко используется в фармацевтической, парфюмерной и нефтехимической промышленности, а также представляет собой перспективную оксигенатную добавку к автомобильным топливам и сырье для получения устойчивого авиационного топлива [1, 2].

В литературе описано примерно 200 катализаторов синтеза бутанола-1 из этанола, которые можно разделить на три группы: металлокомплексные, массивные оксидные и нанесенные системы [3, 4]. Металлокомплексные системы состоят из металлов М (Rh, Ru, Ir, Pt, Pd и Au) с органическими лигандами (фосфин, фентролин, ацетилацетонат и др.) [3, 5–7]. Катализаторы эксплуатируются при 25–150°С в щелочной

среде и позволяют получать бутанол-1 с выходом 20-40%. Массивные оксидные катализаторы ( $Ca_{10}(PO_4)_6(OH)_2$ ,  $Mg_xCeO_y$ , NiMgAlO и др.) применяют в температурном интервале  $250-600^{\circ}$ С, выход бутанола-1 в их присутствии составляет 15-20% [3, 4, 8]. Нанесенные катализаторы ( $M^0$ /носитель, M=Pd, Pt, Ni; Cu, носитель =  $Al_2O_3$ ,  $TiO_2$ ,  $ZrO_2$ ,  $Mg_yAlO_x$  и др.) используются при  $200-300^{\circ}$ С, выход бутанола-1 варьируется от 20 до 30% [3, 9]. Считается, что наибольшим потенциалом промышленного внедрения обладают нанесенные системы [3].

Механизм конверсии этанола в бутанол-1 на катализаторах  $M^0$ /носитель состоит из трех стадий: дегидрирование этанола в этаналь на центрах  $M^0$ , конденсация этаналя в 2-бут-2-еналь на кислотных центрах оксидного носителя и гидрирование 2-бут-2-еналя в бутанол-1 на центрах  $M^0$  [3]. В качестве побочных продуктов могут образовываться эфиры, кетоны, альдегиды,

метан, CO<sub>2</sub>, CO, продукты крекинга, дегидрирования и олигомеризации интермедиатов целевой реакции. Наличие побочных продуктов часто приводит к химическому отравлению нанесенных катализаторов [3, 10] и создает проблемы для разработки новых технологий конверсии этанола в бутанол-1.

Использование биметаллического катализатора 0.2% Cu/0.3% Pd/Al<sub>2</sub>O<sub>3</sub> позволяет проводить конверсию этанола в бутанол-1 с высокой активностью [11–13], равной 1.7 моль<sub>бутанола</sub> ч $^{-1}$  г<sub>кат</sub> $^{-1}$ при 275°C, что в 2-60 раз выше, чем у известных катализаторов сравнения:  $Pd/Al_2O_3$ ;  $Ni/Al_2O_3$ ;  $Pt/Al_2O_3$ ;  $Rh/Al_2O_3$ ;  $Cu/Al_2O_3$  и др. При этом отмечается стабильность работы Pd-Cu-катализатора, не изменяющаяся минимум в течение 100 ч тестирования. Причины высокой эффективности катализатора рассмотрены в работах [12–14]. Основными продуктами конверсии этанола на 0.2% Cu/0.3% Pd/Al<sub>2</sub>O<sub>3</sub> являются бутанол-1 и этоксиэтан с начальными скоростями образования 0.6 и 0.2 моль  $n^{-1}$  ч $^{-1}$ . Из приведенных данных видно, что, несмотря на значительную активность и стабильность катализатора 0.2% Cu/0.3 %Pd/Al<sub>2</sub>O<sub>3</sub>, его селективность по 1-бутанолу не превышает 70%, поэтому актуальной задачей является модификация катализатора с целью увеличения селективности по первичным линейным спиртам.

Rubio-Rueda J. A. и др. [15] установили, что внесение алюминия в структуру MgO за счет повышения числа кислотных центров способствует интенсификации стадии дегидратации, позволяя достичь селективности по бутанолу-1, равной 11.7%. При этом авторы приводят данные только каталитической системы с соотношением Mg : Al = 3 : 1. Формирование катализаторов состава Cu-Mg/Al, с молярным соотношением  $M^{2+}: M^{3+} = 3$  (Cu: Mg = 1:9) способствует росту числа кислотно-основных пар, что оказывает позитивное влияние на основные стадии процесса самоконденсации этанола в бутанол-1. В работе [16] Karel Frolich и др. вносили в оксидную систему Mg-Al (2 : 1) медь и кобальт. Концентрации переходных металлов варьировали в интервале соотношений от 0.05 до 0.73 для Cu : Al и от 0.05 до 0.9 для Co : Al. Авторы обнаружили, что увеличение концентрации металла способствует повышению конверсии этанола, снижая, однако, селективность по бутанолу-1, что вызвано интенсификацией образования побочных продуктов реакции. Ndou и др. [17] установили, что выход бутанола-1 изменяется в ряду: Ca/MgO > Ba/MgO >

 $> K/Al_2O_3 > Na/Al_2O_3 > Ce/MgO > Zr/MgO > Cs/Al_2O_3$ . При этом в зависимости от кислотно-основных свойств оксидного катализатора меняется качественный и количественный состав продуктов. Результаты работ [15—17] свидетельствуют о высокой чувствительности реакции к кислотно-основным характеристикам каталитических систем, поэтому для решения задачи по повышению селективности 0.2% Cu/0.3%  $Pd/Al_2O_3$  предлагается использовать модификацию  $Al_2O_3$  оксидами щелочно-земельных металлов M (M = Ca, Sr, Ba).

Стоит отметить, что катализаторы состава  $Cu/Pd/MO/Al_2O_3$  (где M=Ca, Sr, Ba) ранее не изучались в конверсии этанола в бутанол-1. Нанесенные на смешанные оксиды  $MgO-Al_2O_3$  моно- и биметаллические частицы достаточно хорошо исследованы и описаны в [15, 18–21], поэтому в данной работе мы сосредоточились именно на таких модификаторах, как Ca, Sr, Ba.

Цель настоящей работы — изучение влияния модификации катализатора Pd—Cu/Al<sub>2</sub>O<sub>3</sub> оксидами Ca, Sr, и Ba на его кислотно-основные свойства, активность и селективность в самоконденсации этанола в бутанол-1.

# ЭКСПЕРИМЕНТАЛЬНАЯ ЧАСТЬ

## Носители и катализаторы

Модифицированные носители  $MO/Al_2O_3$  (M=Ca, Sr, Ba; [M]=5 вес. %) получали методом пропитки по влагоемкости. Для этого к 10 г  $Al_2O_3$  (AOK-63-11 (B)", Ангарский завод катализаторов и органического синтеза OAO "A3Ku-OC", 1.0 мм гранулы; фазовый состав — g- $Al_2O_3$ ) добавляли 10 мл водного раствора нитрата соответствующего металла M ( $v(Ca) = 1.3 \times 10^{-2}$  моль,  $v(Sr) = 5.7 \times 10^{-3}$  моль,  $v(Ba) = 3.7 \times 10^{-3}$  моль). После пропитки предшественник  $MO/Al_2O_3$  сущили при  $25^{\circ}C$  в течение 24 ч и прокаливали при  $700^{\circ}C$  в течение 3 ч.

Катализаторы  $Cu/Pd/MO/Al_2O_3$  (0.3 вес. % Pd и 0.2 вес. % Cu) готовили последовательной пропиткой образцов  $MO/Al_2O_3$  (M = Ca, Sr, Ba; [M] = 5 вес. %). Типичный синтез включал пропитку 10 г  $MO/Al_2O_3$  раствором нитрата Pd ( $v(Pd) = 3 \times 10^{-4}$  моль) с последующей сушкой при 25°C в течение 24 ч и прокаливанием при 350°C в течение 1 ч. Далее предшественники пропитывали раствором нитрата Cu ( $v(Cu) = 3 \times 10^{-4}$  моль) с последующей сушкой при 25°C в течение 24 ч и прокаливанием при 350°C в течение 24 ч и прокаливанием при 350°C в течение 2 ч. Перед

тестированием образцы  $Cu/Pd/MO/Al_2O_3$  восстанавливали в токе  $H_2$  при  $200^{\circ}C$  в течение 2 ч.

Методы изучения структуры катализаторов

Кислотно-основные свойства катализаторов определяли методом ТПД аммиака с помощью анализатора хемосорбции УСГА-101 ("Унисит", Россия), программное обеспечение которого состоит из программы управления ANCHEM и программы обработки результатов RESULTS TREATMENT.

Катализатор для анализа подготавливали путем прокаливания в токе гелия (30 мл/мин) в течение 40 мин при температуре 512°С. Затем образец охлаждали (15°С/мин) в токе гелия до 60°С, насыщали аммиаком (скорость газа — 40 мл/мин) при 60°С в течение 45 мин. После этого проводили отдувку слабосвязанного аммиака в токе гелия (30 мл/мин) в течение 1 ч при температуре 102°С. Десорбцию аммиака осуществляли путем подъема температуры со скоростью 7°/мин до 600°С в токе гелия 30 мл/мин. Кислотность по NH<sub>3</sub> (AS) рассчитывали обработкой профилей по известной методике с использованием аппаратного обеспечения прибора [10].

Микрофотографии наночастиц в катализаторах получали с помощью метода просвечивающей электронной микроскопии (ПЭМ) на приборе JEM 2100F/UHR ("JEOL", Япония). Средний размер частиц (*D*) находили обработкой данных по 200—250 частицам. Состав частиц определяли с помощью энергодисперсионного анализа (ЭДА) на приборе JED-2300, входящем в комплектацию JEM 2100F/UHR.

Рентгеновские фотоэлектронные спектры палладия и меди регистрировали на спектрометре Axis Ultra DLD ("Kratos", Великобритания), монохроматическое  $AlK_{\alpha}$ -излучения (1486.6 эВ). Запись спектров производили с применением электронной пушки для компенсации статического заряда на гранулах катализатора. Спектры регистрировали с энергией пропускания анализатора 40 эВ с шагом 0.1 эВ. Для калибровки шкалы энергии использовали Au-фольгу с энергией связывания электронов  $E_{cb}(Au4f_{7/2}) = (83.96 \pm 0.03)$  эВ.

Каталитическая конверсия этанола в бутанол

Каталитические тесты проводили на установке Series 5000 Multiple Reactor System ("Parr Instrument Company", США) при подобранной ранее оптимальной температуре 275°С [11, 12]. В стандартном опыте в реактор помещали 30 мл

этанола и 2-5 г катализатора. Реактор продували Ar, нагревали до 275°C и перемешивали смесь при 1200 об/мин. Спустя 1-5 ч отключали перемешивание и нагрев, вскрывали реактор и проводили отбор проб газовой смеси и жидкой фракции продуктов. Газообразные углеводороды C1-C4 анализировали на хроматографе Кристалл-4000М ("Мета-хром", Россия, ПИД, колонка HP-PLOT); CO, CO<sub>2</sub> и  $H_2$  – на хроматографе Кристалл-4000 (детектор по теплопроводности, колонка СКТ). Состав жидких органических продуктов находили на приборах MSD 6973 ("Agilent Technologies", США, ПИД, колонка HP-5MS) и Automass-150 ("Delsi Nermag", Франция, ПИД, колонка CPSil-5) с EI = 70 эВ. Содержание жидких органических веществ определяли на приборе Varian 3600 ("Varian", США, ПИД, колонка Хроматэк SE-30, внутренний стандарт – н-октан).

Активность катализатора по бутанолу-1 (Аб) рассчитывали при конверсии этанола 5-10% по формуле:

$$A_6 = \nu(C_4H_9OH) \tau^{-1} m^{-1}$$

где  $v(C_4H_9OH)$  — количество образованного в ходе реакции бутанола-1, моль;  $\tau$  — время реакции, ч; m — масса навески катализатора,  $\Gamma$ .

Активность катализатора по этоксиэтану  $(A_3)$  вычисляли при конверсии этанола 5-10% по формуле:

$$A_9 = v(C_4H_{10}O) \tau^{-1} m^{-1},$$

где  $v(C_4H_{10}O)$  — количество образованного в ходе реакции этоксиэтана, моль;  $\tau$  — время реакции, ч; m — масса навески катализатора, г. Относительная погрешность измерения активности составляла  $\pm$  8%.

Параметр относительной селективности S рассчитывали по формуле  $S = A_6/A_9$ . Чем выше параметр S, тем более эффективно работает катализатор.

# РЕЗУЛЬТАТЫ И ИХ ОБСУЖДЕНИЕ

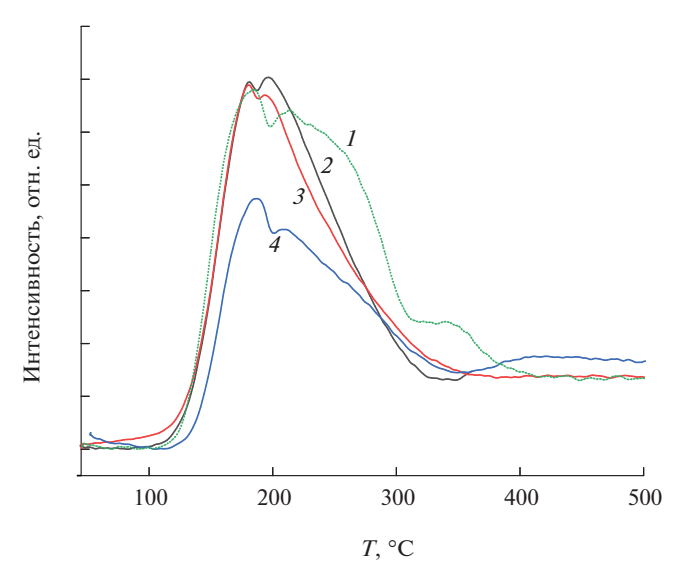
# Структурные измерения

Профили ТПД NH<sub>3</sub> для 0.2% Cu/0.3% Pd/Al<sub>2</sub>O<sub>3</sub> и 0.2% Cu/0.3% Pd/5% MO/Al<sub>2</sub>O<sub>3</sub> (M = Ca, Sr, Ba) показаны на рис. 1, рассчитанные из профилей ТПД-NH<sub>3</sub> значения кислотности катализаторов приведены в табл. 1. Из табл. 1 видно, что кислотность образцов 0.2% Cu/0.3% Pd/5% MO//Al<sub>2</sub>O<sub>3</sub> (M = Ca, Sr, Ba) меньше, чем кислот-

ность 0.2% Cu/0.3% Pd/Al $_2$ O $_3$  на 45-97 мкмоль/г. При этом кислотность катализаторов изменяется в ряду: 0.2% Cu/0.3% Pd/5% CaO//Al $_2$ O $_3$  < 0.2% Cu/0.3% Pd/5% SrO/Al $_2$ O $_3$  < < 0.2% Cu/0.3% Pd/5% BaO/Al $_2$ O $_3$  (табл. 1), что согласуется с усилением основных свойств оксидов-модификаторов при переходе от CaO к BaO.

Микрофотографии ПЭМ и ПЭМ-ВР образпов 0.2% Cu/0.3% Pd/5% MO/Al<sub>2</sub>O<sub>3</sub> (M = Ca, Sr, Ва) представлены на рис. 2а-2е. На микрофотографиях ПЭМ видны черные округлые пятна, которые по данным локального ЭДА идентифицированы как металлсодержащие частицы. С помощью ПЭМ-ЭДА картирования было установлено, что на поверхности модифицированных носителей присутствуют индивидуальные частицы Pd, индивидуальные частицы Cu и биметаллические частицы PdCu. Относительное содержание моно- и биметаллических частиц составляет 20 и 80% соответственно. Данные по содержанию частиц в 0.2% Си/0.3% Рd/5% МО/ /Al<sub>2</sub>O<sub>3</sub> согласуются с результатами анализа ПЭМ--ЭДА катализатора 0.2% Cu/0.3% Pd/Al<sub>2</sub>O<sub>3</sub> [13], в котором металлы были нанесены тем же способом, что и в образцах настоящей работы.

Из микрофотографий ПЭМ-ВР видно, что на поверхности образцов 0.2% Cu/0.3% Pd/5% MO//Al<sub>2</sub>O<sub>3</sub> присутствуют частицы Cu размером  $4\pm1$  нм (рис. 2б). Поверхность частиц Cu содержит грань с межплоскостным расстоянием 2.06 Å, которое близко к таковому в грани Cu(111) металлической меди (JCPDS 04-0836). Индивидуальные частицы Pd имеют размер  $9\pm2$  нм (рис. 2б и 2е). На поверхности Pd-частиц имеются области упорядоченных атомов с межплоскостным расстоянием 2.26 Å, которое близко к таковому в грани Pd(111) нуль-валентного палладия (JCPDS 65-6174). На поверхности биметаллических частиц наблюдаются области



**Рис. 1.** Профили ТПД NH $_3$ образцов 0.2% Cu/0.3% Pd/Al $_2$ O $_3$ ( *I*), 0.2% Cu/0.3% Pd/5% CaO/Al $_2$ O $_3$ ( *2*), 0.2% Cu/0.3% Pd/5% SrO/Al $_2$ O $_3$ ( *3*) и 0.2% Cu/0.3% Pd/5% BaO/Al $_2$ O $_3$ ( *4*).

упорядоченных атомов с межплоскостным расстоянием 2.14 Å (рис. 2б и 2е). Значение 2.14 Å меньше такового в грани Pd(111) на поверхности частиц Pd, но больше, чем межплоскостное расстояние в грани Cu(111) частиц меди. Полученный результат можно объяснить образованием частиц PdCu-сплава [22, 23].

Средний диаметр PdCu-частиц в образцах равен  $6\pm2$  нм (рис. 3a-3в, табл. 1), что согласуется с данными, найденным ранее для катализатора 0.2% Cu/0.3% Pd/Al<sub>2</sub>O<sub>3</sub> в работе [13], и позволяет более корректно сравнивать активности модифицированных и немодифицированных Pd—Cu-систем.

РФЭ-спектры Cu2p и Pd3d образцов 0.2% Cu/0.3% Pd/5%  $MO/Al_2O_3$  (M=Ca, Sr, Ba) приведены на рис. 4а—4в.  $P\Phi$ Э-спектры меди содержат характерный дублет пиков  $Cu2p_{3/2}$  и  $Cu2p_{1/2}$ 

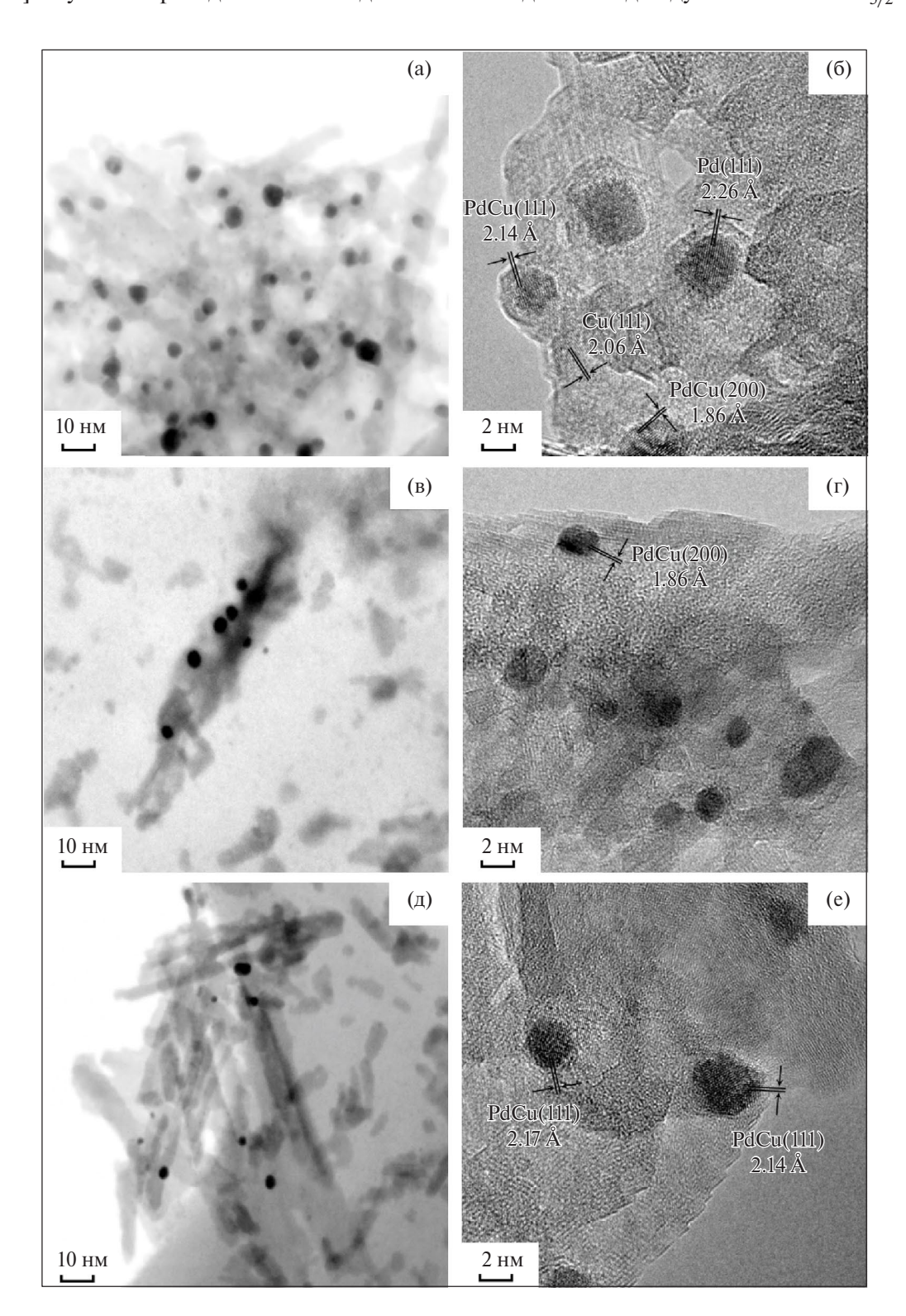
Таблица 1. Данные о структуре и селективности Ро	d—Си-катализаторов
--	--------------------

Образец	D, нм	AS, мкмоль/г	S
0.2% Cu/0.3% Pd/Al <sub>2</sub> O <sub>3</sub> [13]		220	3.3
0.2% Cu/0.3% Pd/5% CaO/Al <sub>2</sub> O <sub>3</sub>		175	37
0.2% Cu/0.3% Pd/5% SrO/Al <sub>2</sub> O <sub>3</sub>	6	165	40
0.2% Cu/0.3% Pd/5% BaO/Al <sub>2</sub> O <sub>3</sub>		123	62

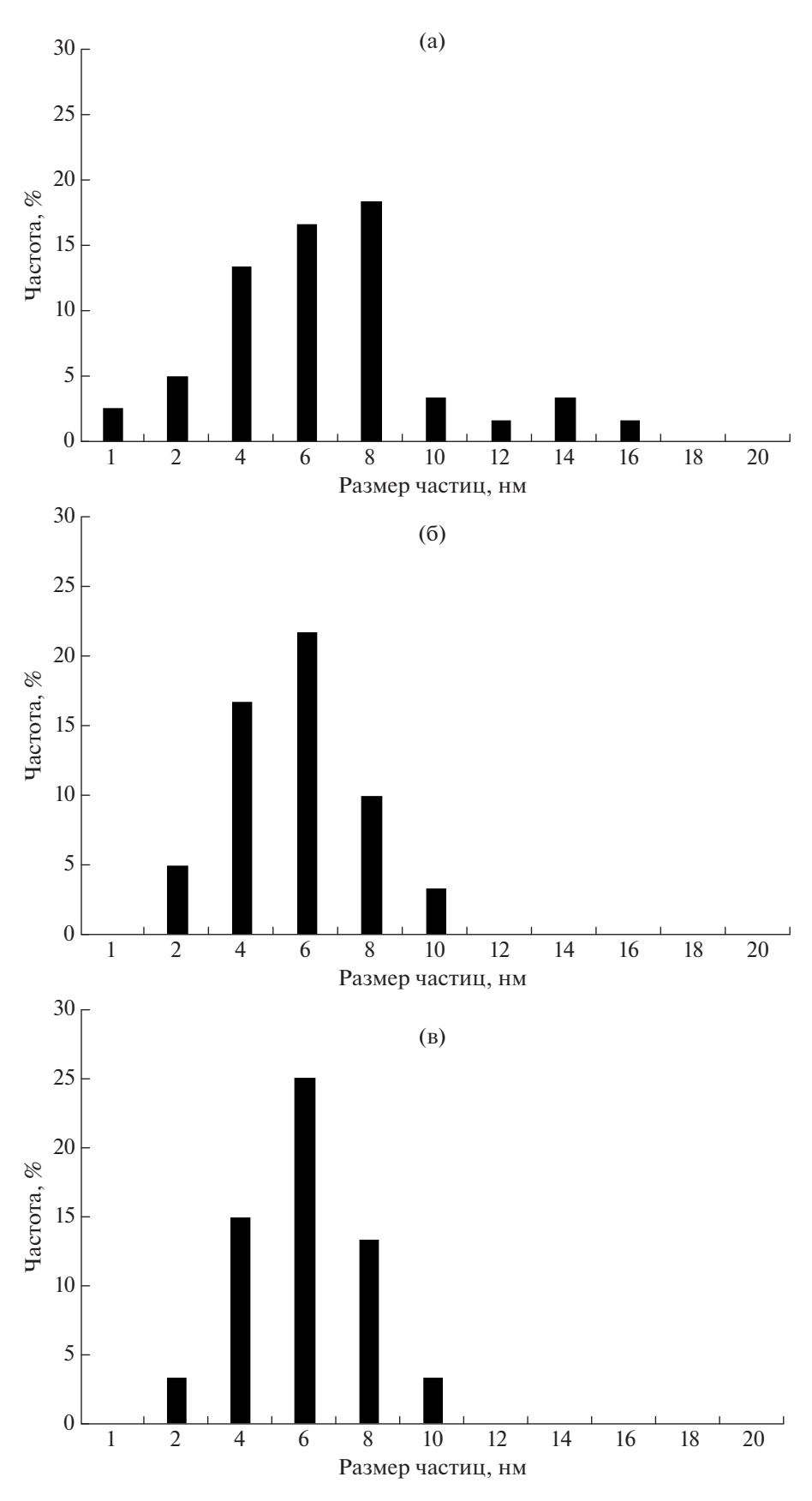
Примечание. D — средний размер нанесенных частиц металлов по данным ПЭМ, AS — кислотность по NH<sub>3</sub>; S — относительная селективность, равная отношению активности по бутанолу-1 к активности по этоксиэтану.

в области 930—960 эВ. Значения  $E_{\rm cB}({\rm Cu}2p_{3/2})$  для всех катализаторов равны 932.8  $\pm$  0.1 эВ, что указывает на присутствие в них соединений Cu(0) и/или Cu(+1) [24]. С учетом приведенных выше данных

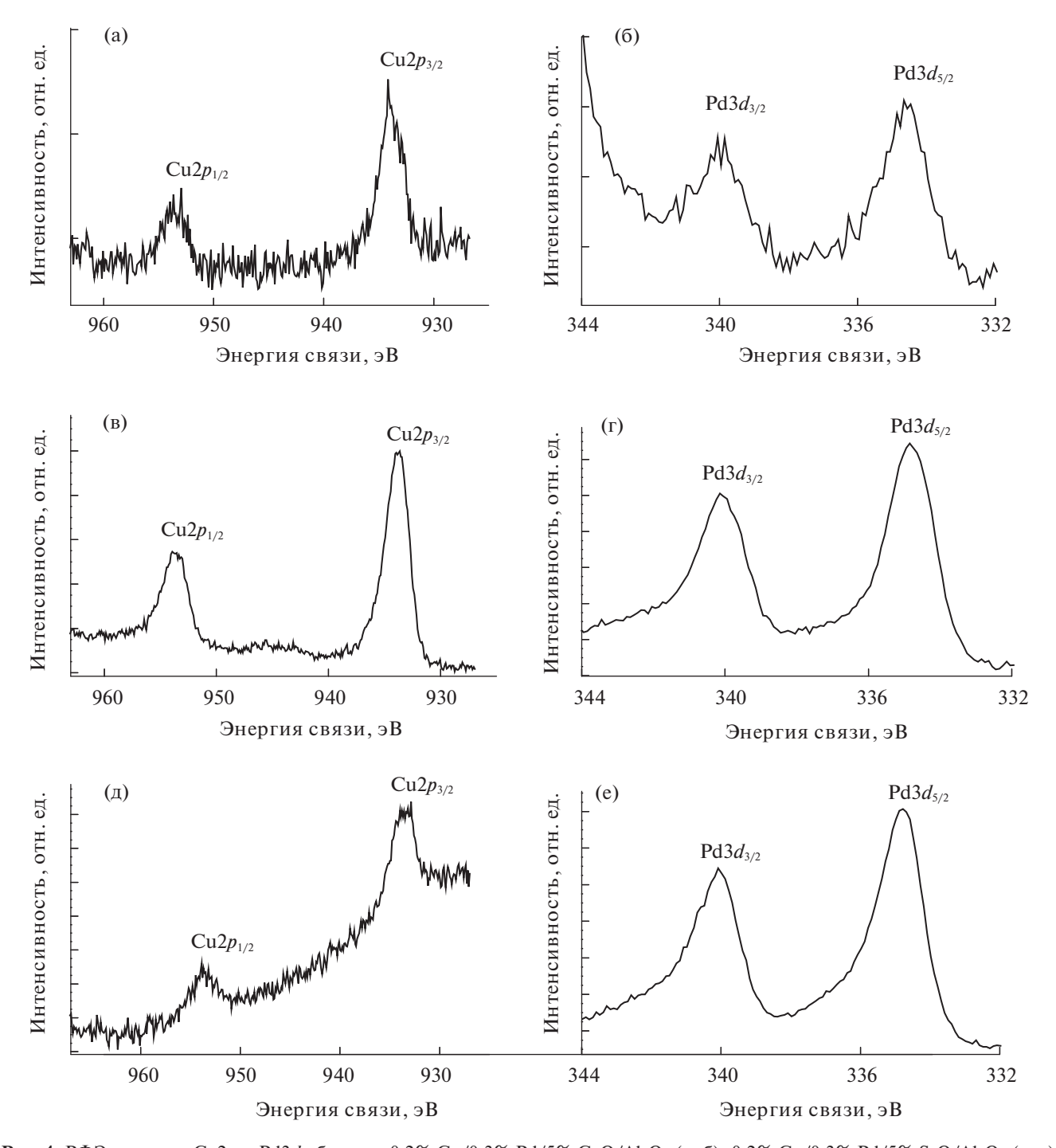
ПЭМ-ВР есть основания полагать, что в большей степени поверхность меди представлена атомами Cu(0). РФЭ-спектры палладия содержат типичный для палладия дублет пиков  $Pd3d_{5/2}$  и  $Pd3d_{3/2}$ .



**Рис. 2.** Микрофотографии ПЭМ и ПЭМ-ВР образцов 0.2% Cu/0.3% Pd/5% CaO/Al $_2$ O $_3$  (a, б), 0.2% Cu/0.3% Pd/5% SrO/Al $_2$ O $_3$  (в, г) и 0.2% Cu/0.3% Pd/5% BaO/Al $_2$ O $_3$  (д, е).



**Рис. 3.** Гистограммы распределения PdCu-частиц по размеру для образцов 0.2% Cu/0.3% Pd/5% CaO/Al $_2$ O $_3$  (a), 0.2% Cu/0.3% Pd/5% SrO/Al $_2$ O $_3$  (б) и 0.2% Cu/0.3% Pd/5% BaO/Al $_2$ O $_3$  (в).



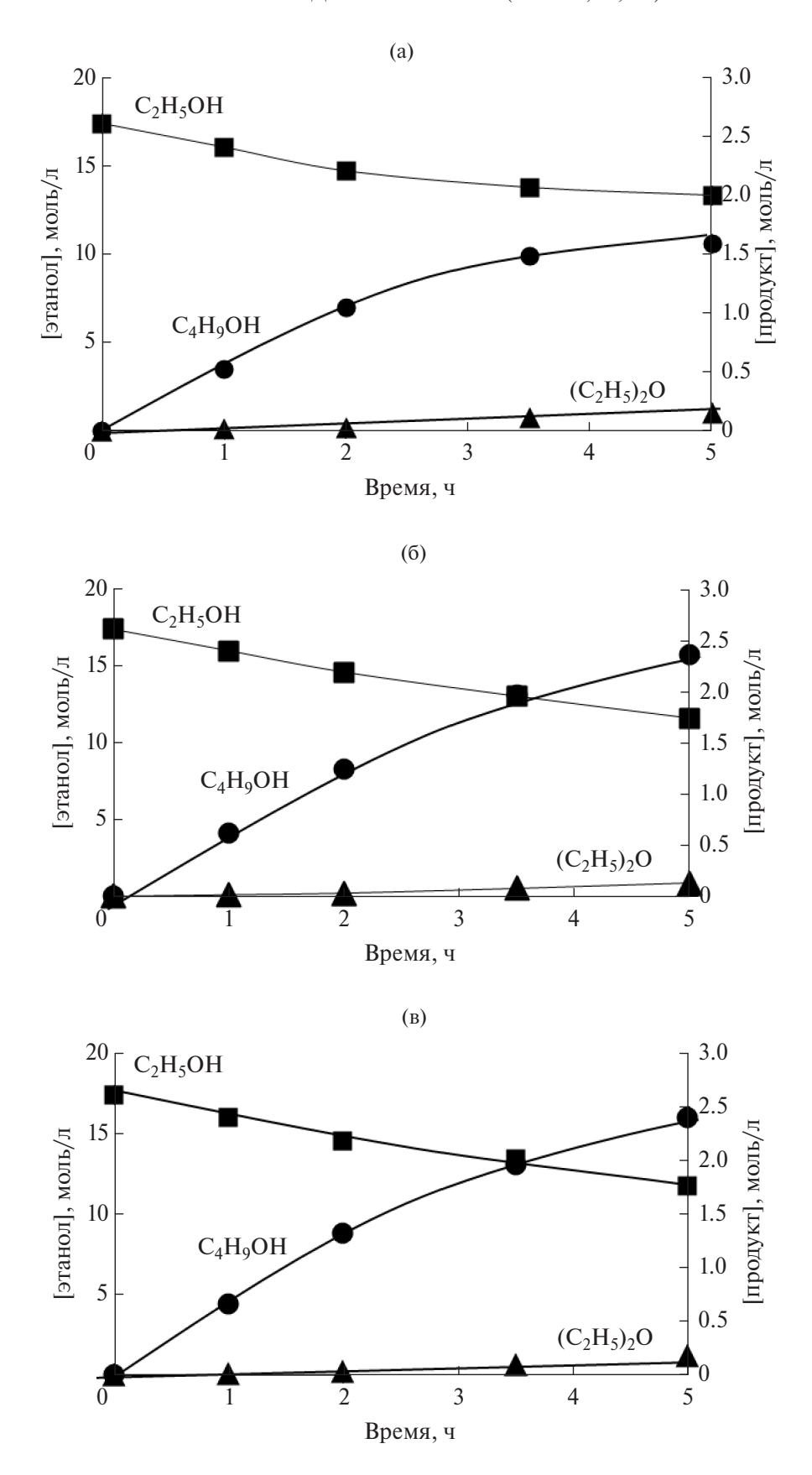
**Рис. 4.** РФЭ-спектры Cu2p и Pd3d образцов 0.2% Cu/0.3% Pd/5%  $CaO/Al_2O_3$  (a, б), 0.2% Cu/0.3% Pd/5%  $SrO/Al_2O_3$  (B, г) и 0.2% Cu/0.3% Pd/5%  $BaO/Al_2O_3$  (д, е).

Значения  $E_{\rm cB}({\rm Pd}3d_{5/2})$  равны 334.9  $\pm$  0.1 эВ, что свидетельствует о присутствии в образцах наночастиц Pd(0) [25—33]. Интересно отметить, что в сравнении со спектрами Cu/Al<sub>2</sub>O<sub>3</sub> и Pd/Al<sub>2</sub>O<sub>3</sub> [11] в спектрах Pd—Cu-катализаторов, приготовленных в настоящей работе, пики Pd3d смещены в сторону меньших энергий, а пики Cu2p — в сторону бо́льших энергий. Такие сдвиги в РФЭ-спек-

трах часто возникают при анализе частиц сплавов, в которых атомы металлов имеют различные значения электроотрицательности [26—29].

## Кинетические измерения

По данным газо-жидкостной хроматографии и хромато-масс-спектрометрии спустя 2 ч реакции содержание бутанола-1 в продуктах реакции



**Рис. 5.** Кинетические кривые расхода этанола и накопления продуктов в присутствии катализаторов 0.2% Cu/0.3% Pd/5% CaO/Al<sub>2</sub>O<sub>3</sub> (a), 0.2% Cu/0.3% Pd/5% SrO/Al<sub>2</sub>O<sub>3</sub> (б) и 0.2% Cu/0.3% Pd/5% BaO/Al<sub>2</sub>O<sub>3</sub> (в).

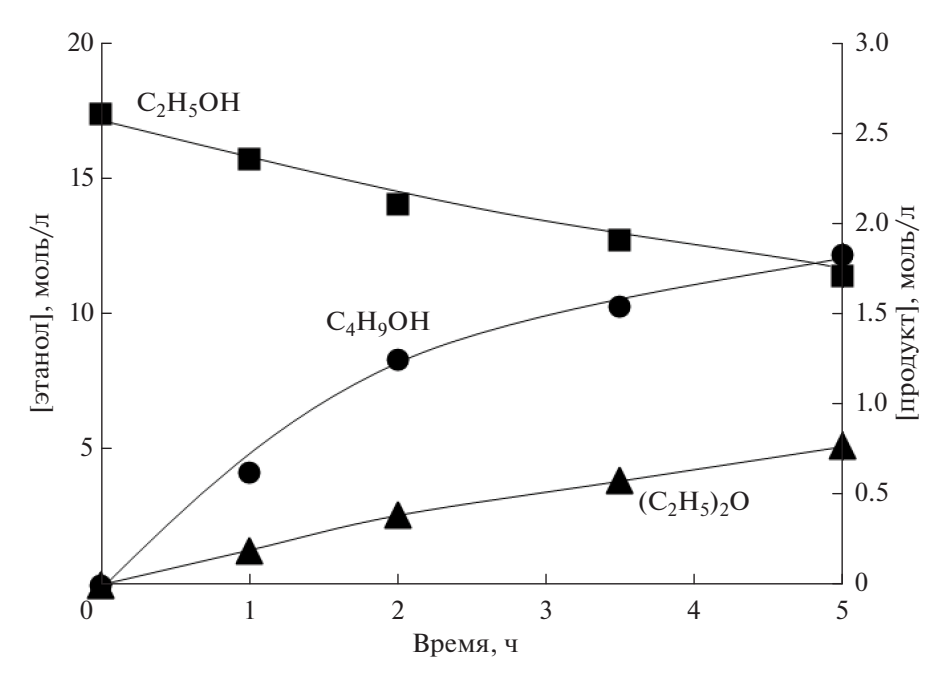


Рис. 6. Кинетические кривые расхода этанола и накопления продуктов в присутствии катализатора 0.2% Cu/0.3% Pd/Al<sub>2</sub>O<sub>3</sub> [13].

в присутствии 0.2% Cu/0.3% Pd/5% MO/Al<sub>2</sub>O<sub>3</sub> (M = Ca, Sr, Ba) составляет 67–77%. В составе жидкой фракции обнаружены этаналь и бутаналь (1.7-3.2%). Эти соединения являются интермедиатами целевого процесса по известному механизму, включающему дегидрирование этанола в этаналь, конденсацию этаналя в 2-бут-2-еналь и гидрирование 2-бут-2-еналя в бутанол-1 [3-4]. В смеси продуктов идентифицированы этоксиэтан (4-5%), а также сложные эфиры (этилацетат, диэтоксиэтан, этоксибутан, этилбутират, бутилацетат и др), разветвленные насыщенные спирты (2-этилбутанол, 2-этилгексанол) и углеводороды C<sub>5+</sub> различного строения (1-1.5%). Количество образующихся газообразных продуктов на порядок меньше, чем количество продуктов в жидкой органической фракции. В составе газов преобладают водород, метан и СО, кроме того, в небольших концентрациях содержатся углеводороды  $C_1 - C_4$  и  $CO_2$ .

Близкие составы реакционной смеси в присутствии Pd—Cu-образцов, приготовленных в настоящей работе и исследованных ранее систем Pd—Cu/Al<sub>2</sub>O<sub>3</sub> [11—13] позволяют сделать вывод о том, что введение основного модификатора М в состав биметаллических образцов не приводит к изменению механизмов образования продуктов. Полученный результат позволяет более корректно оценивать эффективность работы модифицированных и немодифицированных систем.

Кинетические кривые расхода этанола и накопления основных продуктов в присутствии катализаторов 0.2% Cu/0.3% Pd/5% MO/Al<sub>2</sub>O<sub>2</sub> (M = Ca, Sr, Ba) приведены на рис. 5а-5в. Аналогичные зависимости для изученного ранее образца 0.2% Cu/0.3% Pd/Al<sub>2</sub>O<sub>3</sub> [13] показаны на рис. 6. Из рисунков видно, что с течением времени в смеси концентрация этанола снижается, а концентрации бутанола-1 и этоксиэтана растут. Рассчитанная при 2-11% конверсии этанола скорость образования бутанола-1 на образцах 0.2% Си/0.3% Рd/5% МО/  $/Al_2O_3$  равна  $0.6 \pm 0.1$  моль  $\pi^{-1}$  ч $^{-1}$ , что сопоставимо с соответствующим показателем на 0.2% Cu/0.3% Pd/Al<sub>2</sub>O<sub>3</sub> (0.63 моль  $\pi^{-1}$  ч<sup>-1</sup>). Это связано с наличием во всех катализаторах примерно одинакового количества активных центров  $Pd^0-M_xO_v$  целевой реакции. Начальные скорости образования этоксиэтана в присутствии катализаторов 0.2% Cu/0.3% Pd/5% MO/Al<sub>2</sub>O<sub>3</sub> и 0.2% Cu/0.3% Pd/Al<sub>2</sub>O<sub>3</sub> составляют  $0.015 \pm 0.04$ и 0.2 моль  $\pi^{-1}$  ч<sup>-1</sup> соответственно. Полученный результат обусловлен модификацией носителя оксидами CaO, SrO и BaO, что приводит к снижению кислотности катализатора (табл. 1) и резко уменьшает скорость образовании этоксиэтана.

Рассчитанные из кинетических данных параметры селективности S приведены в табл. 1. Из таблицы видно, что S меняется в ряду: 0.2% Cu/0.3% Pd/ $Al_2O_3$  << 0.2% Cu/0.3% Pd/5% CaO/ $Al_2O_3$   $\approx$  0.2% Cu/0.3% Pd/5% SrO/ $Al_2O_3$  <

< 0.2% Cu/0.3% Pd/5% BaO/Al<sub>2</sub>O<sub>3</sub>, что коррелирует с изменением кислотности катализаторов в том же ряду (табл. 1). Из полученной корреляции следует, что наиболее эффективный модификатор Pd—Cu-катализатора — это BaO. Введение его в состав каталитической системы 0.2% Cu/0.3% Pd/Al<sub>2</sub>O<sub>3</sub> позволяет снизить скорость образования этоксиэтана примерно в 20 раз и при этом сохранить относительно высокую скорость образования целевого продукта бутанола-1.

# ЗАКЛЮЧЕНИЕ

Установлено, что модификация  $Al_2O_3$  оксидами щелочно-земельных металлов приводит к изменения кислотности катализаторов в ряду: 0.2% Cu/0.3%  $Pd/Al_2O_3 < 0.2\%$  Cu/0.3% Pd/5%  $CaO/Al_2O_3 < 0.2\%$  Cu/0.3% Pd/5%  $SrO/Al_2O_3 < 0.2\%$  Cu/0.3% Pd/5%  $SrO/Al_2O_3$  < 0.2% Cu/0.3% Pd/5% O0, O0,

Начальная скорость образования бутанола-1 на катализаторе 0.2% Cu/0.3% Pd/5% MO/Al<sub>2</sub>O<sub>3</sub> (M = Ca, Sr, Ba) равна  $0.6\pm0.1$  моль  $\pi^{-1}$  ч<sup>-1</sup>, что сопоставимо с аналогичным показателем для 0.2% Cu/0.3% Pd/Al<sub>2</sub>O<sub>3</sub> и объясняется наличием во всех катализаторах примерно одинакового количества активных центров Pd<sup>0</sup>-M<sub>x</sub>O<sub>y</sub> целевой реакции. Использование в составе Pd-Cu-катализатора модифицированного носителя 5% BaO/Al<sub>2</sub>O<sub>3</sub> позволяет снизить скорость образования этоксиэтана примерно в 20 раз при сохранении высокой скорости образования целевого продукта бутанола-1.

# ФИНАНСИРОВАНИЕ

Исследования выполнены в рамках государственного задания МГУ (номер ЦИТИС АААА--A21-121011590090-7) и Государственного задания ИНХС РАН.

#### БЛАГОДАРНОСТИ

Авторы выражают благодарность сотрудникам Центра коллективного пользования МГУ "Нанохимия и наноматериалы" К.И. Маслакову, С.В. Максимову и С.В. Дворяку за помощь в изучении образцов с использованием оборудования, приобретенного в соответствии с Про-

граммой развития МГУ. Так же авторы благодарят Д.И. Эзжеленко за помощь в обсуждении и оформлении результатов работы.

#### КОНФЛИКТ ИНТЕРЕСОВ

Авторы заявляют об отсутствии конфликта интересов, требующего раскрытия в данной статье.

#### ИНФОРМАЦИЯ О ВКЛАДЕ АВТОРОВ

Николаев С.А. — концептуализация, проведение исследований методами ПЭМ, РФЭС, адсорбции  $N_2$ , обсуждение результатов, подготовка текста статьи.

Чистяков А.В. — проведение каталитических тестов, проведение исследований методам  $T\Pi \mathcal{L}$ - $NH_3$ , обсуждение результатов.

Цодиков М.В. - обсуждение результатов, подготовка текста статьи.

Багдатов Р.А. — синтез катализаторов, обсуждение результатов, подготовка иллюстративных материалов статьи.

# ИНФОРМАЦИЯ ОБ АВТОРАХ

Николаев Сергей Александрович, http://orcid.org/0000-0002-9091-3537

Чистяков Андрей Валерьевич, http://orcid.org/0000-0002-4443-7998

Цодиков Марк Вениаминович, http://orcid.org/0000-0002-8253-2945

Багдатов Руслан Айдынович, http://orcid.org/0000-0002-6069-6148

#### СПИСОК ЛИТЕРАТУРЫ

- 1. *Lee J., Lin K.Y.A.* Bio-Butanol Production on Heterogeneous Catalysts: A Review // J. Taiwan Inst. Chem. Eng. 2024. V. 157. Art. 105421. https://doi.org/10.1016/j.jtice.2024.105421
- 2. *Choi H., Han J., Lee J.* Renewable butanol production via catalytic routes // Int. J. Environ. Res. Public Health. 2021. V. 18. № 22. Art. 11749. https://doi.org/10.3390/ijerph182211749
- 3. Gabriëls D., Hernández W.Y., Sels B., Voort P.V.D., Verberckmoes A. Review of catalytic systems and thermodynamics for the Guerbet condensation reaction and challenges for biomass valorization // Catal. Sci. Technol. 2015. V. 5. P. 3876. https://doi.org/10.1039/C5CY00359H
- 4. *Kozlowski J.T., Davis R.J.* Heterogeneous Catalysts for the Guerbet Coupling of Alcohols // ACS Catal. 2013. V. 3. № 7. P. 1588. https://doi.org/10.1021/cs400292f

- 5. Tseng K.N.T., Lin S., Kampf J.W., Szymczak N.K. Upgrading ethanol to 1-butanol with a homogeneous air-stable ruthenium catalyst // Chem. Commun. 2016. V. 52. № 14. P. 2901. https://doi.org/10.1039/C5CC09913G
- 6. Xie Y., Ben-David Y., Shimon L.J.W., Milstein D. Highly Efficient Process for Production of Biofuel from Ethanol Catalyzed by Ruthenium Pincer Complexes // J. Am. Chem. Soc. 2016. V. 138. № 29. P. 9077. https://doi.org/10.1021/jacs.6b05433
- 7. *Koda K., Matsu-ura T., Obora Y., Ishii Y.* Guerbet Reaction of Ethanol to *n*-Butanol Catalyzed by Iridium Complexes // Chem. Lett. 2009. V. 38. № 8. P. 838. https://doi.org/10.1246/cl.2009.838
- 8. Wang Z., Yin M., Pang J., Li X., Xing Y., Su Y., Liu S., Liu X., Wu P., Zheng M., Zhang T. Active and stable Cu doped NiMgAlO catalysts for upgrading ethanol to *n*-butanol // J. Energy Chem. 2022. V. 72. P. 306. https://doi.org/10.1016/j.jechem.2022.04.049
- 9. *Li S., Han X., An H., Zhao X., Wang Y.* Повышение стабильности Ni/TiO<sub>2</sub>-катализаторов в реакции конденсации этанола Гербе: влияние второго металлического компонента // Кинетика и катализ. 2021. Т. 62. № 5. С. 581. (*Li S., Han X., An H., Zhao X., Wang Y.* Improving the Catalytic Stability of Ni/TiO<sub>2</sub> for Ethanol Guerbet Condensation: Influence of Second Metal Component // Kinet. Catal. 2021. V. 62. № 5. P. 632.) https://doi.org/10.1134/S0023158421050025
- 10. Эзжеленко Д.И., Николаев С.А., Чистяков А.В., Чистякова П.А., Цодиков М.В. Механизм дезактивации палладиевых катализаторов конверсии этанола в бутанол // Нефтехимия. 2021. Т. 61. № 3. С. 405. (*Ezzhelenko D.I., Nikolaev S.A., Chistyakov A.V., Chistyakova P.A., Tsodikov M.V.* Deactivation Mechanism of Palladium Catalysts for Ethanol Conversion to Butanol // Pet. Chem. 2021. V. 61. P. 504.) https://doi.org/10.1134/S0965544121050017
- 11. Николаев С.А., Цодиков М.В., Чистяков А.В., Чистякова П.А., Эзжеленко Д.И., Кротова И.Н. Влияние промотора М (М = Au, Ag, Cu, Ce, Fe, Ni, Co, Zn) на активность Pd-M/Al<sub>2</sub>O<sub>3</sub> катализаторов конверсии этанола в а-спирты // Кинетика и Катализ. 2020. Т. 61. № 6. С. 864. (Nikolaev S.A., Tsodikov M.V., Chistyakov A.V., Chistyakova P.A., Ezzhelenko D.I., Krotova I.N. Effect of promoter M (М = Au, Ag, Cu, Ce, Fe, Ni, Co, Zn) on the activity of Pd-M/Al<sub>2</sub>O<sub>3</sub> catalysts of ethanol conversion into α-alcohols // Kinet. Catal. 2020. V. 61. P. 955.) https://doi.org/10.1134/S0023158420060117
- 12. Nikolaev S.A., Tsodikov M.V., Chistyakov A.V., Chistyakova P.A., Ezzhelenko D.I., Shilina M.I. PdCu nanoalloy supported on alumina: A stable and selective catalyst for the conversion of bioethanol to linear α-alcohols // Catal. Today. 2021. V. 379. P. 50. https://doi.org/10.1016/j.cattod.2020.06.061
- 13. Эзжеленко Д.И. Закономерности каталитического действия моно- и биметаллических Pd-нано-композитов в превращении этанола в бутанол-1.

- Автореферат дисс. ... к. х. н. Москва: МГУ им. М.В. Ломоносова, химический факультет, 2022. С. 27.
- 14. *Мамбетова М.М.*, *Ергазиева Г.Е.*, *Досумов К.* Термоконверсия этанола на оксидах Al<sub>2</sub>O<sub>3</sub> и SiO<sub>2</sub> // Вестник КазНУ. Серия химическая. 2022. Т. 104. № 1. С. 22. (*Mambetova M. M.*, *Yergaziyeva G. E.*, *Dossumov K.* Thermoconversion of ethanol on Al<sub>2</sub>O<sub>3</sub> and SiO<sub>2</sub> oxides // Chem. Bull. Kaz. Nat. Univ. 2022. V. 104. № 1. P. 22.) https://doi.org/10.15328/cb1227
- Rubio-Rueda J.A., Quevedo-Hernandez J.P., López M.B., Galindo J.F., Hincapié-Triviño G. Mg/Al and Cu-Mg/ Al mixed oxides derived from hydrotalcites as catalysts to produce 1-butanol from ethanol // Mol. Catal. 2024. V. 569. Art. 114528. https://doi.org/10.1016/j. mcat.2024.114528
- 16. Frolich1 K., Malina1 J., Hájek1 M., Mück1 J., Kocík J. The utilization of bio-ethanol for production of 1-butanol catalysed by Mg—Al mixed metal oxides enhanced by Cu or Co // Clean Technol. Environ. Policy. 2024. V. 26. № 1. P. 79. https://doi.org/10.1007/s10098-023-02581-5
- Ndou A.S., Plint N., Coville N.J. Dimerisation of ethanol to butanol over solid-base catalysts // Appl. Catal. A: Gen. 2003. V. 251. P. 337. https://doi.org/10.1016/S0926-860X(03)00363-6
- 18. *Marcu I.C., Tanchoux N., Fajula F., Tichit D.* Catalytic conversion of ethanol into butanol over M–Mg–Al mixed oxide catalysts (M = Pd, Ag, Mn, Fe, Cu, Sm, Yb) obtained from LDH precursors // Catal. Lett. 2013. V. 143. P. 23. https://doi.org/10.1007/s10562-012-0935-9
- 19. Mück J., Kocík J., Hájek M., Tišler Z., Frolich K., Kašpárek A. Transition metals promoting Mg-Al mixed oxides for conversion of ethanol to butanol and other valuable products: Reaction pathways // Appl. Catal. A: Gen. 2021. V. 626. Art. 118380. https://doi.org/10.1016/j.apcata.2021.118380
- 20. Perrone O.M., Lobefaro F., Aresta M., Nocito F., Boscolo M., Dibenedetto. A. Butanol synthesis from ethanol over CuMgAl mixed oxides modified with palladium(II) and indium(III) // Fuel Process. Technol. 2018. V. 177. P. 353. https://doi.org/10.1016/j. fuproc.2018.05.006
- 21. *Xiao Y., Zhan N., Li J., Tan Y., Ding Y.* Highly Selective and Stable Cu Catalysts Based on Ni—Al Catalytic Systems for Bioethanol Upgrading to *n*-Butanol // Molecules. 2023. V. 28. № 15. Art. 5683. https://doi.org/10.3390/molecules28155683
- 22. Cai F., Yang L., Shan S., Mott D., Chen B.H., Luo J., Zhong C.J. Preparation of PdCu alloy nanocatalysts for nitrate hydrogenation and carbon monoxide oxidation // Catalysts. 2016. V. 6. P. 96–110. https://doi.org/10.3390/catal6070096
- 23. Nikolaev S.A., Golubina E.V., Shilina M.I. The effect of H<sub>2</sub> treatment at 423–573 K on the structure and synergistic activity of Pd–Cu alloy catalysts for

- low-temperature CO oxidation // Appl. Catal. B: Environ. 2017. V. 208. P. 116. https://doi.org/10.1016/j.apcatb.2017.02.038
- 24. Biesinger M.C., L.W.M. Lau, Gerson A.R., Smart R.St.C. Resolving surface chemical states in XPS analysis of first row transition metals, oxides and hydroxides: Sc, Ti, V, Cu and Zn // Appl. Surf. Sci. 2010. V. 257. P. 887. https://doi.org/10.1016/j.apsusc.2010.07.086
- 25. *Ivanova A.S.*, *Slavinskaya E.M.*, *Gulyaev R.V.*, *Zaikovskii V.I.*, *Stonkus* O.A., *Danilova I.G.*, *Plyasova L.M.*, *Polukhina I.A.*, *Boronin A.I.* Metal—support interactions in Pt/Al<sub>2</sub>O<sub>3</sub> and Pd/Al<sub>2</sub>O<sub>3</sub> catalysts for CO oxidation//Appl. Catal. B: Environ. 2010. V. 97. № 1–2. P. 57. https://doi.org/10.1016/j.apcatb.2010.03.024
- 26. Sengar S.K., Mehta B.R., Govind. Size and alloying induced shift in core and valence bands of Pd-Ag and Pd-Cu nanoparticles // J. Appl. Phys. 2014. V. 115. № 12. P. 124301. https://doi.org/10.1063/1.4869437
- 27. Панафидин М.А., Бухтияров А.В., Клюшин А.Ю., Просвирин И.П., Четырин И.А., Бухтияров В.И. Исследование модельных катализаторов Pd—Cu/ВОПГ и Pd—Ag/ВОПГ в реакциях окисления СО и метанола в субмиллибарном диапазоне давлений // Кинетика и катализ. 2019. Т. 60. № 6. С. 806. (Panafidin M.A., Bukhtiyarov A.V., Klyushin A.Yu., Prosvirin I.P., Chetyrin I.A., Bukhtiyarov V.I. Pd—Cu/HOPG and Pd—Ag/HOPG model catalysts in CO and methanol oxidations at submillibar pressures // Kinet. Catal. 2019. V. 60. № 6. P. 832.) https://doi. org/10.1134/S0023158419060107
- 28. Nikolaev S.A., Tsodikov M.V., Chistyakov A.V., Zharova P.A., Ezzgelenko D.I. The activity of mono- and bimetallic gold catalysts in the conversion of sub- and su-

- percritical ethanol to butanol // J. Catal. 2019. V. 369. P. 501. https://doi.org/10.1016/j.jcat.2018.11.017
- 29. Riittonen T., Toukoniitty E., Madnani D.K., Leino A.R., Kordas K., Szabo M., Sapi A., Arve K., Wärnå J., Mikkola J.-P. One-pot liquid-phase catalytic conversion of ethanol to 1-butanol over aluminium oxide the effect of the active metal on the selectivity // Catalysts. 2012. V. 2. P. 68. https://doi.org/10.3390/catal2010068
- 30. *Di L., Xu W., Zhan Z., Zhang X.* Synthesis of alumina supported Pd—Cu alloy nanoparticles for CO oxidation via a fast and facile method // RSC Adv. 2015. V. 5. P. 71854. https://doi.org/10.1039/C5R-A13813B
- 31. *Cai F, Yang L., Shan S., Mott D., Chen B.H., Luo J., Zhong C.J.* Preparation of PdCu alloy nanocatalysts for nitrate hydrogenation and carbon monoxide oxidation // Catalysts. 2016. V. 6. № 7. P. 96. https://doi.org/10.3390/catal6070096
- 32. Panafidin M.A., Bukhtiyarov A.V., Prosvirin I.P., Zubavichus Y.V., Bukhtiyarov V.I. Adaptivity of depth distribution of two metals in Pd-Ag/HOPG catalyst to external conditions in the course of mild CO oxidation // Surf. Interfaces. 2023. V. 41. Art. 103255. https://doi.org/10.1016/j.surfin.2023.103255
- 33. Panafidin M.A., Bukhtiyarov A.V., Prosvirin I.P., Chetyrin I.A., Klyushin A.Yu., Knop-Gericke A., Smirnova N.S., Markov P.V., Mashkovsky I.S., Zubavichus Y.V., Stakheev A.Yu., Bukhtiyarov V.I. A mild post-synthesis oxidative treatment of Pd-In/HOPG bimetallic catalysts as a tool of their surface structure fine tuning // Appl. Surf. Sci. 2022. V. 571. Art. 151350. https://doi.org/10.1016/j.apsusc.2021.151350

# Effect of Modifier M (M = Ca, Sr, Ba) on $Pd-Cu/Mo/Al_2O_3$ Catalysts Selectivity of in the Ethanol Conversion to 1-Butanol

S. A. Nikolaev<sup>1</sup>, R. A. Bagdatov<sup>2</sup>, \*, A. V. Chistyakov<sup>2</sup>, and M. V. Tsodikov<sup>2</sup>

<sup>1</sup>Lomonosov Moscow State University, 1 Leninskie Gory, Moscow, 119991 Russia <sup>2</sup>Topchiev Institute of Petrochemical Synthesis, Russian Academy of Sciences, 29 Leninsky Prospect, Moscow, 119991 Russia

\*e-mail: bagdatov.ruslan@yandex.ru

Pd-Cu/MO/Al $_2O_3$  catalysts (M = Ca, Sr, Ba; [M] = 5 wt.%; [Pd] = 0.3 wt.%; [Cu] = 0.2 wt.%) were synthesized via impregnation. Transmission electron microscopy and X-ray photoelectron spectroscopy revealed that the deposition of copper and palladium on the MO/ Al $_2O_3$  surface results in the formation of high-density Pd $^0$ -Cu $^0$  active particles with an average size of 6 nm. It was shown that at 275°C, the selectivity of 1-butanol formation from ethanol varies as follows: 0.2% Cu/0.3% Pd/Al $_2O_3$  < 0.2% Cu/0.3% Pd/5% CaO//Al $_2O_3$  < 0.2% Cu/0.3% Pd/5% BaO/Al $_2O_3$ . This trend correlates with changes in the acidity of the catalysts in the same order. Based on kinetic data, it was established that the use of a 5% BaO/ Al $_2O_3$  support in the Pd-Cu catalyst composition allows for a ~20-fold reduction in the rate of formation of the by-product diethyl ether while maintaining a high rate of 1-butanol formation.

**Keywords:** Pd, Cu, nanoparticles, ethanol, 1-butanol, ethanol condensation, modifier, alkaline earth metal oxides, selectivity

# **FUNDING**

The research was carried out within the framework of the state assignment of Moscow State University (number CITIS AAAA-A21-121011590090-7) and the State Program of the TIPS RAS.

УЛК 544.478.13+546.98:546.181.1

# ЭФФЕКТИВНЫЕ КАТАЛИЗАТОРЫ ПОЛУЧЕНИЯ ПЕРОКСИДА ВОДОРОДА АНТРАХИНОНОВЫМ МЕТОДОМ НА ОСНОВЕ ПАЛЛАЛИЙ-ФОСФОРНЫХ ЧАСТИЦ

© 2024 г. Л. Б. Белых<sup>а, \*</sup>, Т. А. Корнаухова<sup>а</sup>, Н. И. Скрипов<sup>а</sup>, Е. А. Миленькая<sup>а</sup>, А. А. Мальцев<sup>а</sup>, Ф. К. Шмилт<sup>а</sup>

аФГБОУ ВО Иркутский государственный университет, ул. К. Маркса, 1, Иркутск, 664003 Россия
\*e-mail: belvkh@chem.isu.ru

Поступила в редакцию 10.06.2024 г. После доработки 10.11.2024 г. Принята к публикации 18.11.2024 г.

Изучены свойства Pd-P-катализаторов, нанесенных на цеолит ZSM-5 в H- и Na-формах, в гидрировании 2-этил-9, 10-антрахинона в мягких условиях. Методами просвечивающей электронной микроскопии и рентгенофазового анализа определен размер и фазовый состав Pd-P-частиц. Установлено промотирующее действие фосфора на дисперсность палладиевых катализаторов и выход  $H_2O_2$ . Рассмотрено влияние декатионированной формы цеолитного носителя на свойства палладиевых катализаторов в гидрировании 2-этил-9, 10-антрахинона. Показано, что нанесение Pd на цеолит Pd увеличивает вклад гидрогенолиза Pd-2-этил-Pd-2-этил-Pd-3 модифицирование фосфором палладиевых катализаторов значительно подавляет оба побочных процесса: насыщение ароматических колец и гидрогенолиз связи Pd-2-этил-Pd-3-10-антрагидрохинона. Pd-4 от Pd-4 от

**Ключевые слова:** пероксид водорода, 2-этил-9,10-антрахинон, гидрирование, палладий, фосфор, РФА. ПЭМ

DOI: 10.31857/S0453881124060063, EDN: QJGPPQ

#### ВВЕДЕНИЕ

Пероксид водорода как "зеленый" окислитель находит широкое применение в различных областях: целлюлозно-бумажной, текстильной, электронной промышленностях, в производстве синтетических моющих средств, оксида пропилена, для обеззараживания сточных вод и др. [1]. Из-за развития отраслей, использующих  $H_2O_2$ ,

Сокращения и обозначения: ПЭМ ВР — просвечивающая электронная микроскопия высокого разрешения; РФА — рентгенофазовый анализ; МС ИСП — масс-спектрометрии с индуктивно связанной плазмой; РФЭС — рентгеновская фотоэлектронная спектроскопия; еАQ — 2-этил-9,10-антрахинон; еАQН $_2$  — 2-этил-9,10-антрагидрохинон; изо-Н $_4$ еАQН $_2$  — 2-этил-1,2,3,4-тетрагидро-9,10-антрагидрохинон; изо-Н $_4$ еАQН $_2$  — 2-этил-1,2,3,4,5,6,7,8-октагидро-9,10-антрагидрохинон; еАN — 2-этил-9(10)-антроны; N,N-диметил-формамид — ДМФА; Pd(acac) $_2$  — fuc-(ацетилацетонат) палладия; TOF — частота оборотов; a — каталитическая активность в расчете на весь палладий; D<sub>ПЭМ</sub> — дисперсность, определенная из данных просвечивающей электронной микроскопии; d<sub>ПЭМ</sub> — среднеповерхностный диаметр частиц.

и перехода на бесхлорные технологии ежегодное потребление Н<sub>2</sub>О<sub>2</sub> возрастает в среднем на 3-4%: от 1 млн тонн в 1970 г. до 6 млн тонн в 2020 г. К настоящему времени разработаны химические, электрохимические, ферментативные или фотокаталитические способы получения пероксида водорода [2]. Среди трех основных промышленных методов синтеза Н<sub>2</sub>О<sub>2</sub> (электрохимический -30 тыс. тонн  $H_2O_2$  в год [2], автоокисление изо-пропанола — ≈77.9 тыс. тонн  $H_2O_2$  в год (РФ) [3] и метод Ридла-Пфлейдерера (или автоокисления антрахинона) [2]), около 98% производимого в мире H<sub>2</sub>O<sub>2</sub> приходится на антрахиноновый способ [4, 5]. Ключевой стадией антрахинонового процесса является селективное гидрирование 2-этил-9,10-антрахинона (eAQ) в 2-этил-9,10-антрагидрохинон (eAQH<sub>2</sub>). Последний легко окисляется кислородом воздуха до Н<sub>2</sub>О<sub>2</sub> с восстановлением исходного субстрата и возвратом рабочего раствора eAQ в колонну синтеза [5]:

$$\begin{array}{c|ccccc}
O & OH & O \\
R & & & \\
H_2 & & & \\
O & OH & O
\end{array}$$

$$\begin{array}{c|ccccccc}
R & & & \\
+ & & \\
O & & & \\
O & & & \\
\end{array}$$

$$\begin{array}{c}C & & \\
+ & \\
O & & \\
\end{array}$$

$$\begin{array}{c}C & & \\
+ & \\
\end{array}$$

$$\begin{array}{c}C & & \\
+ & \\
\end{array}$$

$$\begin{array}{c}C & & \\
+ & \\
\end{array}$$

$$\begin{array}{c}C & & \\
\end{array}$$

$$\begin{array}$$

Однако гидрирование алкилантрахинонов относится к сложным последовательно-параллельным процессам, в которых наряду с восстановлением карбонильной группы eAQ протекают различные побочные реакции, приводящие преимущественно к так называемым "неактивным хинонам" [5, 6]. К первой группе побочных процессов относится насыще-

ние ароматических колец в 2-этил-9,10-антрагидрохиноне с образованием двух изомеров: 2-этил-5,6,7,8-тетрагидро-9,10-антрагидрохинона ( $H_4$ eAQ $H_2$ ) и 2-этил-1,2,3,4-тетрагидро-9,10-антрагидрохинона (изо- $H_4$ eAQ $H_2$ ), последующее гидрирование которых приводит к 2-этил-1,2,3,4,5,6,7,8-октагидро-9,10-антрагидрохинону ( $H_8$ eAQ $H_2$ ):

$$eAQH_2 \rightarrow H_4eAQH_2(u30 - H_4eAQH_2) \rightarrow H_8eAQH_2. \tag{II}$$

Ко второй группе побочных процессов относится гидрогенолиз связи C—OH в  $eAQH_2$  с образованием изомеров: 2-этил-9(10)-антронов (eAN). В результате дальнейшего гидрогенолиза 2-этил-9(10)-антронов в реакционной системе может накапливаться 2-этилантрацен, а при насыщении ароматических колец 2-этил-9(10)-антронов и 2-этилантрацена — 2-этил-5,6,7,8-тетра-

гидро-9-антрон, 2-этил-5,6,7,8-тетрагидро-10-антрон, 2-этил-9,10-ди-гидроантрацен и 2-этил-1,2,3,4-тетрагидроантрацен, 2-этил-1,2,3,4,5,6,7,8-октагидроантрацен соответственно [7]. Среди перечисленных продуктов превращения еAQ только два из них — еAQH2 и  $H_4$ eAQ $H_2$ , так называемые "активные хиноны" — способны окисляться, давая  $H_2O_2$  (уравнения (I), (III)):

Несмотря на столь широкое многообразие возможных побочных соединений, снижающих выход  $H_2O_2$ , из-за различий в скоростях этих реакций в реакционной системе в основном преобладают  $H_4eAQH_2$  (изо- $H_4eAQH_2$ ) и 2-этил-9(10)-антроны. В присутствии немодифицированных Pd-катализаторов константы скоростей реакций  $eAQH_2 \rightarrow H_4eAQH_2$  и  $eAQH_2 \rightarrow H_8eAQH_2$  различаются в 290 раз, а константы скоростей образования антронов обычно в 5—6 раз меньше скоростей превращения  $eAQH_2$  в  $H_4eAQH_2$  (изо- $H_4eAQH_2$ ) [8]. В промышленности для снижения вклада по-

бочных процессов гидрирование eAQ проводят на 60% [5]. Из-за высоких капитальных и эксплуатационных расходов на процесс автоокисления антрахинона текущая рыночная стоимость  $H_2O_2$  не может конкурировать с ценой хлора [9], а метод экономически целесообразен только для крупнотоннажных производств с производительностью установки не менее 40 тонн в год [10]. Поэтому разработка новых или повышение эффективности известных катализаторов гидрирования алкилантрахинонов остается актуальной научной задачей.

К наиболее распространенным катализаторам гидрирования алкилантрахинонов относятся системы на основе палладия и никеля. Никелевые системы - катализаторы первого поколения синтеза Н<sub>2</sub>О<sub>2</sub> антрахиноновым методом - из-за низкой селективности в результате избыточного гидрирования еАО, быстрой дезактивации и пирофорности никеля Ренея практически перестали использовать в промышленных масштабах. Хотя отдельные заводы все еще применяют никель Ренея [5]. В настоящее время наибольшее распространение в антрахиноновом методе синтеза Н<sub>2</sub>О<sub>2</sub> получили системы на основе палладия, в частности, Pd/Al<sub>2</sub>O<sub>3</sub> [11, 12]. Однако и этом случае не удается полностью избежать образования побочных продуктов.

Все более популярной тенденцией повышения эффективности Pd-катализаторов гидрирования алкилантрахинонов становится замена монометаллических систем на биметаллические сплавы (Pd-M, M = Ru [13], Co, Ag и Cu [14]), регулирование дисперсности и формы кристаллитов Pd [15, 16], варьирование кислотности и гидрофобности носителя [12, 17, 18], изменяющие соотношение скоростей побочных процессов. В последние годы все чаще используют р-элементы (P, S) как для модифицирования палладийсодержащих частиц [19—21], так и носителя [22—24].

Ранее на примере коллоидных растворов Pd-P-частиц нами было установлено, что введение фосфора в кристаллическую решетку палладия повышает селективность гидрирования еАО по активным хинонам и, как следствие этого, выход  $H_2O_2$  с 69 до 93-97%, но на порядок уменьшает их каталитическую активность [6]. Модифицирующее действие фосфора на селективность гидрирования eAQ могло быть результатом обогащения поверхности Pd-Р-частиц электронодефицитным палладием [25] и/или структурной неупорядоченностью частиц Pd-Р-катализаторов, влияющей на конфигурацию адсорбированных молекул субстратов и, как следствие, на теплоту адсорбции. Нанесение Pd-Р-частиц на угольный носитель позволило увеличить активность в 5 раз без падения селективности по целевому продукту в результате роста дисперсности катализатора [26]. Однако угольный носитель, являясь относительно инертной подложкой, слабо удерживал Pd-P-частицы на поверхности. Во времени наблюдалась дезактивация катализатора, обусловленная, преимущественно, вымыванием Pd—P-частиц в раствор [27].

Цель настоящей работы заключалась в установлении влияния природы носителя (ZSM-5 в Na- и H-форме) и структурной упорядоченности Pd—P-частиц на свойства катализаторов Pd—nP/NaZSM-5 и Pd—nP/HZSM-5, используемых в виде структурно неупорядоченных твердых растворов фосфора в палладии и кристаллических фосфидов палладия в гидрировании 2-этил-9,10-антрахинона.

# ЭКСПЕРИМЕНТАЛЬНАЯ ЧАСТЬ

# Материалы

Реагенты (ацетилацетон, фосфор), растворители (бензол, N,N-диметилформамид (ДМФА), толуол, октанол-1) предварительно очищали по стандартным методикам [28]. Pd(acac)<sub>2</sub> синтезировали по методике [29], перекристаллизовывали из ацетона.

Белый фосфор непосредственно перед применением механически очищали от поверхностных продуктов окисления и промывали безводным бензолом. Раствор белого фосфора в бензоле готовили и хранили в инертной атмосфере в сосуде типа "палец", конструкция которого предусматривает вакуумирование и заполнение аргоном.

В качестве носителя применяли цеолит NaZSM-5 и его декатионированную форму HZSM-5 (удельная поверхность —  $340~{\rm m}^2/{\rm r}$ , общий объем пор —  $0.19~{\rm cm}^3/{\rm r}$ , объем микропор —  $0.14~{\rm cm}^3/{\rm r}$ , средний диаметр пор —  $2.2~{\rm hm}$ ), который перед получением катализатора предварительно прокаливали в муфеле при  $500^{\circ}{\rm C}$  в течение  $4~{\rm y}$ .

# Примеры проведения экспериментов

**Пример 1 (0.5%Pd/NaZSM-5).** В предварительно вакуумированный и заполненный водородом термостатированный стеклянный сосуд помещали навеску  $Pd(acac)_2$  (0.0144 г, 4.73 ×  $\times$  10<sup>-5</sup> моль) и цеолит NaZSM-5 (1 г), добавляли растворитель – ДМФА (50 мл) – и перемешивали в течение 60 мин при комнатной температуре. Затем восстанавливали Pd(acac), водородом при 80°C и давлении водорода 2 атм в течение 6 ч. Контроль осуществляли методом УФ-спектроскопии по полосе поглощения 330 нм  $(\varepsilon_{330} = 10600 \text{ л моль}^{-1} \text{ см}^{-1})$ . После охлаждения реакционной системы до комнатной температуры образец катализатора отделяли декантацией в атмосфере аргона, промывали бензолом и высушивали 3 ч при 60°C/2 Торр. Выход составил

0.9358 г. Элементный анализ, мас. %: Pd - 0.37. Условное обозначение: **0.5%Pd/NaZSM-5**. Аналогичным образом получали катализаторы с содержанием Pd, равным 1 и 3 мас. %. Условное обозначение **1%Pd/NaZSM-5** и **3%Pd/NaZSM-5** соответственно. Выход образца 1%Pd/NaZSM-5 - 0.9745 г. Элементный анализ, мас. %: Pd - 0.9. Выход образца 3%Pd/NaZSM-5 - 0.9974 г. Элементный анализ, мас. %: Pd - 2.5.

**Пример 2 (3%Pd-0.3P/NaZSM-5).** Для приготовления катализатора с начальным отношением P : Pd = 0.3, содержащего 3 мас. % Pd, в предварительно вакуумированный и заполненный водородом термостатированный стеклянный сосуд помещали навеску Pd(acac), (0.0898 г,  $2.95 \times 10^{-4}$  моль) и цеолит NaZSM-5 (1 г), добавляли растворитель — ДМФА (50 мл) — и перемешивали в течение 60 мин при комнатной температуре. В реакционную смесь по каплям добавляли предварительно полученный раствор белого фосфора в бензоле (2 мл,  $0.9 \times 10^{-4}$  моль), наблюдали изменение цвета раствора от желтого до темно-коричневого цвета. Перемешивали в течение 10 мин при комнатной температуре. Затем поднимали температуру до 80°C, создавали давление водорода 2 атм и перемешивали реакционную смесь до полного восстановления Pd(acac), водородом в течение 15 мин. Контроль осуществляли методом УФ-спектроскопии по полосе поглощения 330 нм ( $\varepsilon_{330} = 10600$  л моль $^{-1}$  см $^{-1}$ ). После охлаждения реакционной системы до комнатной температуры образец катализатора отделяли декантацией в атмосфере аргона, промывали бензолом и высушивали 3 ч при 60°C/2 Торр. Выход составил 1.0350 г. Элементный анализ, мас. %: Pd - 2.61, P - 0.28. Условное обозначение: 3%Pd-0.3P/NaZSM-5. Аналогичным образом получали катализаторы с начальным отношением P : Pd = 0.7 и 1.0. Условное обозначение 3%Pd-0.7P/NaZSM-5 и 3%Pd-1.0P/NaZSM-5 соответственно. Выход образца 3% Pd-0.7P/ /NaZSM-5 составил 1.0740 г. Элементный анализ, мас. %: Pd - 2.43, P - 0.56. Выход образца 3% Pd --1.0P/NaZSM-5 равен 0.8848 г. Элементный анализ, мас. %: Pd - 1.73, P - 0.65.

**Пример 3 (1%Pd/HZSM-5).** В предварительно вакуумированный и заполненный водородом термостатированный стеклянный сосуд помещали навеску Pd(acac)<sub>2</sub> (0.0289 г, 9.494 × 10<sup>-5</sup> моль) и цеолит HZSM-5 (1 г), добавляли растворитель — толуол (50 мл) — и перемешивали в течение 60 мин при комнатной температуре. Затем восстанавливали Pd(acac)<sub>2</sub> водородом при 80°C

и давлении водорода 2 атм в течение 15 мин до количественного превращения  $Pd(acac)_2$ . Контроль осуществляли методом  $У\Phi$ -спектроскопии по полосе поглощения 330 нм. После охлаждения реакционной системы до комнатной температуры образец катализатора отделяли декантацией в атмосфере аргона, промывали бензолом и высушивали 3 ч при  $60^{\circ}C/2$  Торр. Выход составил 0.9725 г. Элементный анализ, мас. %: Pd - 0.74. Условное обозначение: 1%Pd/HZSM-5.

Пример 4 (3%Pd-0.3P/HZSM-5). Pd-P-катализаторы на декатионированной форме цеолита ZSM-5 получали в среде толуола, т.к. высокая седиментационная устойчивость Pd-P-частиц в ДМФА затрудняла их нанесение на цеолит HZSM-5. Поэтому в качестве основного растворителя для синтеза катализаторов был выбран толуол. Pd-P-катализаторы в среде толуола получали восстановлением Pd(acac)<sub>2</sub>  $(0.0887 \, \Gamma, \, 2.9134 \times 10^{-4} \, \text{моль})$  водородом в среде толуола (50 мл) в присутствии белого фосфора (P : Pd = 0.3 или 1.0) и цеолита HZSM-5 (1 г). Процесс вели при 80°C и давлении водорода 2 атм в течение 20 мин до количественного превращения Pd(acac)<sub>2</sub> и обесцвечивания раствора. После охлаждения реакционной системы в атмосфере аргона суспензию переносили в трехгорлую колбу. Образец катализатора отделяли декантацией в аргоне, промывали бензолом и высушивали 3 ч при  $60^{\circ}$ C/2 Торр. При P : Pd = 0.3 выход составил 1.0031 г. Элементный анализ, мас. %: Pd - 2.77, P - 0.19. Условное обозначение: 3%Pd-0.3P/HZSM-5. При P : Pd = 1.0 время восстановления -50 мин, выход -0.9385 г. Элементный анализ, мас. %: Pd - 2.83, P - 0.59. Условное обозначение: **3%Pd-1.0P/HZSM-5**.

Пример 5 (гидрирование еАО). В предварительно вакуумированный и заполненный водородом стеклянный термостатированный реактор периодического действия в токе водорода вносили навеску катализатора ( $2 \times 10^{-5}$  моль Pd), смешанный растворитель (октанол-1 (10 мл)-толуол (7 мл)), температуру поднимали до 50°C, шприцом вводили 3 мл толуольного раствора 2-этил-9,10-антрахинона (0.5 г, 2.116 ммоль) и создавали давление водорода 2 атм. Гидрирование проводили при интенсивном перемешивании, исключающем протекание реакции в диффузионной области. Контроль за реакцией осуществляли по поглощению водорода с помощью манометра, а также методами УФ-спектроскопии и газожидкостной хроматографии (ГЖХ), отбирая пробы на анализ после поглощения 1 или 1.2 моль  $H_2$ /моль eAQ.

Скорость гидрирования eAQ до eAQH<sub>2</sub> рассчитывали по углу наклона прямых участков кинетический кривых в диапазоне поглощения водорода 0.1-0.3 моль  $H_2$  на моль субстрата. Расчет частоты оборотов (TOF) проводили по формулам (1)—(3):

$$TOF = \frac{a}{D_{\Pi \ni M}},\tag{1}$$

где a — каталитическая активность в расчете на весь палладий (моль<sub>субстрата</sub> моль<sub>Рдобщий</sub>  $^{-1}$  мин $^{-1}$ ),  $D_{\Pi \ni M}$  — дисперсность, определенная из данных просвечивающей электронной микроскопии.

$$D_{\Pi \ni M} = \frac{6M_{\rm Pd}}{\rho_{\rm Pd} \times d_{\Pi \ni M} \times A_{\rm Pd} \times N_{\rm A}}, \qquad (2)$$

где  $M_{\rm Pd}$  и  $A_{\rm Pd}$  — атомная масса Pd (г/моль) и площадь поверхности атома Pd (м $^2_{\rm Pd}$  поверх.//атом $_{\rm Pd}$  поверх.) соответственно, р — плотность палладия,  $N_{\rm A}$  — число Авогадро,  $d_{\rm \Pi \ni M}$  — среднеповерхностный диаметр частиц.

$$d_{\Pi \ni M} = \frac{\sum_{i} n_{i} d_{i}^{3}}{\sum_{i} n_{i} d_{i}^{2}},$$
(3)

где  $n_i$  — число частиц с диаметром  $d_i$ .

Концентрацию Н2О2 определяли спектрофотометрически. Для этого аликвоту реакционного раствора (2 мл), предварительно отделенного от катализатора через шприцевый фильтр, окисляли кислородом воздуха в течение 30-60 мин до образования раствора лимонно-желтого цвета. Затем добавляли 5 или 10 мл воды и экстрагировали пероксид водорода из органического слоя (2 мл) в воду (5 или 10 мл) при перемешивании. К аликвоте водного раствора  $H_2O_2$  (1 мл) добавляли 0.1 мл насыщенного водного раствора  $TiOSO_4$ . При необходимости раствор  $H_2O_2$  разбавляли водой. Через 1 мин после окрашивания раствора в желтый цвет из-за образования пероксидного комплекса титана определяли концентрацию  $H_2O_2$  методом УФ-спектрофотометрии в кварцевой кювете толщиной 1 см по полосе поглощения 407 нм [30].

$${\rm H_2O_2} + {\rm TiO^{2+}} + {\rm H_2O} = {\rm Ti} \left( {\rm O_2} \right) \! \left( {\rm OH} \right)_2 + 2{\rm H^+}. \ \, ({\rm IV})$$

Состав побочных продуктов превращения 2-этил-9,10-антрахинона анализировали методами ГЖХ и хромато-масс-спектрометрии.

# Методы исследования

ГЖХ-анализ eAQ и побочных продуктов его превращения проводили на хроматографе "Хроматэк-Кристалл 5000" ("Хроматэк", Россия), снабженном капиллярной колонкой длиной 30 м (фаза -5% дифенил 95% диметилполисилфениленсилоксан) и пламенно-ионизационным детектором (ДИП) по методу внутреннего стандарта, используя температурное программирование: 160°C (3 мин); 270°C (20 мин), скорость нагрева — 40°/мин. Параллельно идентификацию интермедиатов и продуктов реакции осуществляли на хромато-масс-спектрометре GCMS-QP2010 Ultra ("Shimadzu", Япония, капиллярная колонка GsBP·5MS длиной 30 м, фаза: поли(5% дифенил 95% диметилполисилфениленсилоксан)). Ионизация происходила электронным ударом, энергия ионизации 70 эВ. Полученные масс-спектры сравнивали с литературными данными (библиотеки сравнения Wiley, NIST, NIST05).

УФ-спектры реакционных растворов на стадии формирования катализатора снимали на спектрофотометре СФ-2000 (Россия) в кварцевых кюветах с толщиной поглощающего слоя 0.1 см. Контроль за превращением  $Pd(acac)_2$  проводили по полосе поглощения 330 нм ( $\epsilon_{330} = 10630$  л моль $^{-1}$  см $^{-1}$ ).

Анализ катализаторов методом масс-спектрометрии с индуктивно связанной плазмой (МС ИСП) выполнен на масс-спектрометре высокого разрешения ELEMENT 2 ("Finnigan MAT", Германия) после предварительного разложения образцов азотной кислотой.

Размер частиц катализатора определяли по ПЭМ-снимкам, полученным на электронном микроскопе Теспаі G2 ("FEI", США) при ускоряющем напряжении 200 кВ. Каплю суспензии катализатора в гексане наносили на науглероженную медную сетку (200 меш) и сушили при комнатной температуре в боксе в инертной атмосфере. Для определения среднего размера Pd—Рчастиц обрабатывали участок, содержащий не менее 200—300 частиц.

Рентгенофазовый анализ образцов выполнен на дифрактометре D8 ADVANCE ("Bruker", Германия), Си-излучение, 40 кВ, 40 мА, Ni-фильтр.

#### РЕЗУЛЬТАТЫ И ИХ ОБСУЖДЕНИЕ

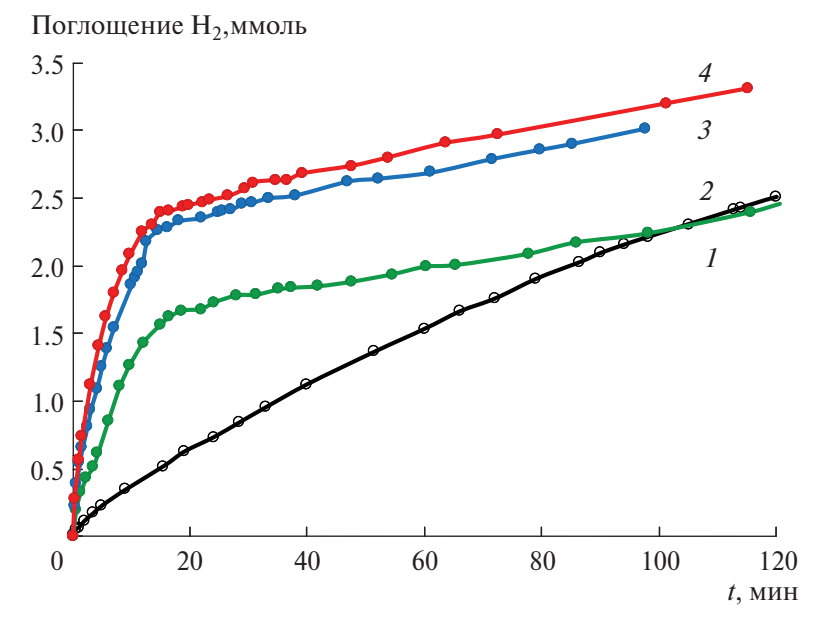
Тестирование свойств Pd—P-катализаторов, нанесенных на цеолит ZSM-5 в Nа- или H-формах при различных отношениях P : Pd, проведено в мягких условиях (T = 50°C,  $P(H_2) = 2$  атм) в смешанном растворителе (октанол-1—толуол) из-за различной растворимости исходного субстрата (eAQ) и целевого продукта реакции (eAQH<sub>2</sub>) в полярных и неполярных средах. Кинетические кривые гидрирования eAQ под действием катализаторов 3%Pd—nP/NaZSM-5 (n = 0.3, 0.7, 1.0) в виде структурно неупорядоченных твердых растворов фосфора в палладии, представлены на рис. 1. Как следует из рис. 1, модифицирование фосфором палладиевых катализаторов изменяет вид кинетических кривых.

На кривой гидрирования 2-этил-9,10-антрахинона под действием катализаторов Pd-nP/NaZSM-5 условно можно выделить два участка (рис. 1, кривые 2-4). Первый (начальный) участок, который характеризуется более высокой скоростью (5.2—7.8 ммоль  $\pi^{-1}$  мин $^{-1}$ ), соответствует преимущественно гидрированию еAQ. По данным ГЖХ, вклад побочных реакций на данном этапе незначителен. На втором участке кинетической кривой, соответствующем преимущественно течению побочных процессов, скорость реакции падает в 11-40 раз (рис. 1, кривые 2-4). С ростом начального отношения P:Pd от 0.3 до 1.0 активность Pd-P-катализа-

торов в гидрировании eAQ возрастает в 3 раза (табл. 1). Аналогичный вид кинетических кривых ранее наблюдался для коллоидных растворов Pd—P-частиц [6]. Следовательно, нанесение Pd—P-частиц на цеолитный носитель не оказывает значительного влияния на их природу.

Иная картина характерна для немодифицированных Pd-катализаторов: в рассматриваемый промежуток времени из-за низкой скорости реакции гидрирования еAQ на кривой отсутствует резкая смена кинетического режима (рис. 1, кривая *I*). В частности, соотношение скоростей реакции на 1-ом и 2-ом участках кривой гидрирования еAQ под действием катализатора 0.5% Pd/NaZSM-5 отличается лишь в 1.5 раза (рис. 1, кривая *I*). По активности в гидрировании еAQ образец 3% Pd—1.0P/NaZSM-5 превосходит катализатор 0.5% Pd/NaZSM-5 в 7.5 раз (табл. 1).

Столь значительное различие в скоростях основного и побочного процессов в ходе гидрирования eAQ в присутствии Pd-nP/NaZSM-5 благоприятно влияет на выход целевого продукта — 2-этил-9,10-антрагидрохинона (eAQH2) и, как следствие этого,  $H_2O_2$  (табл. 1). Согласно уравнению (I), для превращения 2-этил-9,10-антрахинона в 2-этил-9,10-антрагидрохинон необходим 1 моль  $H_2/м$ оль eAQ, но из-за течения побочных реакций гидрирования и гидрогенолиза eAQH2 полная конверсия eAQ обычно наблюдается при большем, чем эквимольном



**Рис. 1.** Кинетические кривые гидрирования eAQ под действием катализаторов 0.5% Pd/NaZSM-5 (*I*) и 3% Pd-nP/NaZSM-5 при n=0.3 (*2*), 0.7 (*3*), 1 (*4*). Условия реакции: T=50°C,  $P(H_2)=2$  атм, v(eAQ)=2.116 ммоль,  $v(Pd)=2\times 10^{-5}$  моль, растворитель — толуол—октанол-1 (10 мл : 10 мл).

№	Катализатор	Выход $H_2O_2$ , %	$a$ , мин $^{-1}$	$TOF$ , мин $^{-1}$
1	0.5%Pd/NaZSM-5	76ª 776	2.5	75
2	3%Pd-0.3P/NaZSM-5	81 <sup>a</sup> 92 <sup>6</sup>	6.5	61
3	3%Pd-0.7P/NaZSM-5	93a 996	12.8	140
4	3%Pd-1.0P/NaZSM-5	99a 98.7 <sup>6</sup>	18.9	185
5	1%Pd/HZSM-5	72ª 62 <sup>6</sup>	44.4	518
6	3%Pd-0.3P/HZSM-5	94a 93.76	21.2	121
7	3%Pd-1.0P/HZSM-5	93a 946	12.6	72
8	3%Pd-0.3P/NaZSM-5*	59 <sup>B</sup>	0.9	_

Таблица 1. Свойства Pd- и Pd-P-катализаторов в получении H<sub>2</sub>O<sub>2</sub> антрахиноновым методом\*

31д

35e

3%Pd-1.0P/NaZSM-5\*

поглощении водорода (рис. 1). Под действием катализаторов 3% Pd-nP/NaZSM-5 после поглощения 1.2 моль  $H_2$ /моль eAQ выход  $H_2$ O $_2$  составляет 92, 99 и 99% при отношении P: Pd = 0.3, 0.7 и 1.0 соответственно (табл. 1). Основными побочными продуктами в реакционной системе являются изомеры  $H_4$ eAQ $H_2$  (изо- $H_4$ eAQ $H_2$ ), а также 2-этил-9(10)-антроны (условное обозначение: антрон 1, антрон 2). При проведении процесса под действием катализатора 3%Pd-1.0P//NaZSM-5 обнаружены только следовые количества антронов (0.3%) в соотношении антрон 1: антрон 2 = 1: 2. Продукты гидрирования ароматического кольца eAQ $H_2$  по данным хромато-масс-спектрометрии вообще отсутствовали.

При уменьшении содержания палладия в катализаторе Pd-1.0P/NaZSM-5 от 3 до 0.5 мас. % активность в гидрировании eAQ практически остается неизменной (16 мин<sup>-1</sup>), в то время как выход  $H_2O_2$  незначительно уменьшается (с 99 до 90%). При этом наряду с антронами в реакционной системе обнаружены и продукты ги-

дрирования ароматического кольца ( $H_4$ eAQ $H_2$ ) в соотношении  $H_4$ eAQ $H_2$ : : изо- $H_4$ eAQ $H_2$  равном 5 (1%Pd-1.0P/NaZSM-5) и 55 (0.5%Pd-1.0P/NaZSM-5) соответственно.

0.6

Выход  $H_2O_2$  в присутствии немодифицированного катализатора 0.5% Pd/NaZSM-5 значительно ниже, чем под действием 3% Pd—nP/NaZSM-5. Он не превышает 77% после поглощения 1.2 моль  $H_2$ /моль eAQ (табл. 1). Увеличение массового содержания палладия в катализаторах Pd/NaZSM-5 от 0.5 до 3% приводит лишь к падению и каталитической активности в гидрировании eAQ (от 2.6 до 1.1 мин $^{-1}$ ), и выхода  $H_2O_2$  (от 76 до 49% соответственно) за один и тот же промежуток времени.

Следует отметить, что в большинстве случаев для немодифицированных палладиевых катализаторов также характерно наличие двух участков на кинетической кривой [7, 31]. Действительно, при изменении условий формирования Pd- и Pd—P-катализаторов, в частности, замены растворителя (ДМФА на толуол) и формы цеолита (NaZSM-5 на HZSM-5), на кинетических

<sup>\*</sup>Условия процесса:  $v_{(Pd)} = 2 \times 10^{-5}$  моль;  $v_{eAQ} = 2.116$  ммоль; растворитель — толуол (10 мл)—октанол-1 (10 мл), T = 50°C,  $P(H_2) = 2$  атм.

a, 6После поглощения 1 и 1.2 моль  $H_2$ (моль eAQ)-1 соответственно.

в, гЧерез 2 и 2.5 ч от начала реакции соответственно.

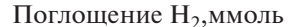
д, еЧерез 3 и 4 ч от начала реакции соответственно.

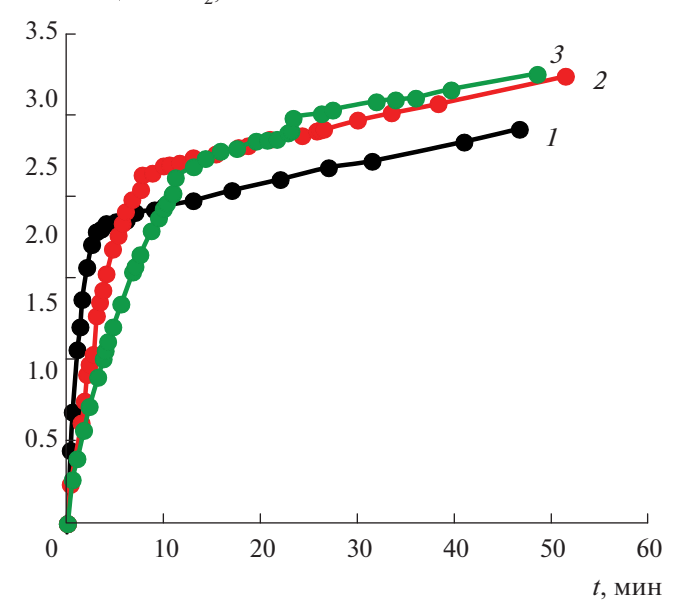
кривых как Pd-P-образцов, так и немодифицированного образца 1%Pd/HZSM-5 имеются два участка, которые резко различаются по скоростям (рис. 2).

В этом случае максимальная скорость гидрирования eAQ на первом участке наблюдается также для немодифицированного катализатора 1%Pd/HZSM-5. По активности в гидрировании eAQ катализаторы, нанесенные на цеолит HZSM-5, располагаются в ряд: 1%Pd/HZSM-5 (44 мин<sup>-1</sup>) > 3%Pd-0.3P/HZSM-5 (21 мин<sup>-1</sup>) > 3%Pd-1.0P/HZSM-5 (13 мин<sup>-1</sup>).

В сравнении с образцом 1%Pd/HZSM-5 все полученные Pd-P-katanu3atoph (Pd-nP/NaZSM-5 и Pd-nP/HZSM-5) менее активны в гидрировании eAQ. Следует отметить, что с ростом отношения P: Pd от 0 до 1 активность в гидрировании eAQ падает, однако выход  $\text{H}_2\text{O}_2$  под действием модифицированных фосфором катализаторов растет в следующем ряду: 1%Pd/HZSM-5 (72%) > 3%Pd-0.3P/HZSM-5 (94%) = 3%Pd-1.0P/HZSM-5 (94%). Т.е. для катализаторов Pd-nP/HZSM-5 (94%). Т.е. для катализаторов Pd-nP/HZSM-5 введение фосфора увеличивает селективность, но при этом происходит 2-3-кратное снижение активности в гидрировании eAQ.

Основными побочными продуктами превращения еАQН2 являются изомеры Н4еАQН2 и антроны, которые на Pd-P-катализаторах образуются в малых (следовых) количествах. При нанесении Pd на цеолит в H-форме возрастает вклад реакции гидрогенолиза еАQН2. Так, при использовании катализатора 1%Pd/HZSM-5 уже после поглощения 1 моль H<sub>2</sub>/моль eAQ, по данным ГЖХ и хромато-масс-спектрометрии, в растворе присутствуют два изомера 2-этил-9(10)-антрона (антрон-1 (3.1%) и антрон-2 (5.9%)) в соотношении 1:2, и два изомера продуктов гидрирования ароматических колец ( $H_4$ eAQ $H_2$  и изо- $H_4$ eAQ $H_2$ ) в соотношении 12.7: 1. При этом среди побочных продуктов (изомеров H<sub>4</sub>eAQH<sub>2</sub> и антронов) при гидрировании eAQ под действием катализатора 1%Pd/HZSM-5 преобладают антроны. Их количество в 3 раза превышает содержание изомеров  $H_4$ е $AQH_2$ . Доля антронов возрастает до 14.9% после поглощения 1.2 моль  $H_2$ /моль eAQ. Это является отличительной чертой катализатора 1%Pd/HZSM-5, т.к. обычно скорость насыщения ароматических колец при использовании немодифицированных палладиевых катализаторов превалирует над скоростью гидрогенолиза связи С-ОН [8]. В то же время введение фосфора в состав палладиевых частиц в значительной





**Рис. 2.** Кинетические кривые гидрирования eAQ под действием катализаторов 1%Pd/HZSM-5 (*I*) и 3%Pd-nP//HZSM-5 при n=0.3 (*2*) и 1.0 (*3*). Условия реакции:  $T=50^{\circ}$ C,  $P(H_2)=2$  атм, v(eAQ)=2.116 ммоль,  $v(Pd)=2\times10^{-5}$  моль, растворитель — толуол—октанол-1 (10 мл: 10 мл).

мере подавляет оба побочных процесса — и гидрогенолиз, и насыщение ароматических колец, увеличивая выход  $H_2O_2$ .

На наш взгляд, причина роста вклада гидрогенолиза при проведении реакции гидрирования еАО под действием образца 1%Pd/HZSM-5 связана с декатионированной формой цеолитного носителя. В отличие от одно- и двухатомных фенолов бензольного ряда, для полициклических конденсированных ароматических соединений различие в термодинамической устойчивости фенольной и диеноновой формы резко уменьшается. В частности, для 9-дигидроксиантрацена термодинамически стабильной становится уже кето-форма антрона [32]. Устойчивость таутомерной кето-формы возрастает при переходе к полиатомным фенолам. Т.е. образующийся в ходе гидрирования eAQH<sub>2</sub> должен присутствовать в виде двух изомеров: в енольной и кето-форме [31]. На таутомерное равновесие в некоторой степени может влиять кислотно-основная среда. Образованию кето-формы благоприятствуют кислая среда [33] (схема 1):

Таутомеризация енольной-формы  $eAQH_2$  в 2-этил-10-гидрокси-9-антрон (2-этилоксоантрон) ( $II \rightarrow III$  на схеме 1) является стадией, предшествующей гидрогенолизу связи C-O в  $eAQH_2$  [33]. Увеличение доли антронов в ходе

гидрирования eAQ под действием катализатора 1%Pd/HZSM-5 логично связать с участием протонов, компенсирующих заряд цеолитного каркаса, в смещении кето-енольного равновесия в сторону кето-формы.

Таким образом, экспериментальные данные однозначно указывают на промотирующее действие фосфора на селективность гидрирования еАО и, как следствие этого, на выход Н<sub>2</sub>О<sub>2</sub> под действием палладиевых катализаторов, нанесенных на цеолит ZSM-5 в Na- и H-форме. Среди рассмотренных образцов наиболее эффективным оказался 3%Pd-0.3P/HZSM-5. По активности в гидрировании eAQ ( $a = 21 \text{ мин}^{-1}$ , S = 94%, T = 50°C,  $P(H_2) = 2$  атм) катализатор 3%Pd-0.3P/HZSM-5 превосходит как образец 0.5%Pd-0.3P/C ( $d = 3.6 \pm 0.9$  HM, a = 7 MUH $^{-1}$ , S = 93%, T = 50°C,  $P(H_2) = 2$  атм) [26], так и ряд литературных аналогов:  $Pd/SiO_2$  ( $a = 12 \text{ мин}^{-1}$ , S = 65%, T = 62°C,  $P(H_2) = 1$  atm) [7], Pd/Al<sub>2</sub>O<sub>3</sub>  $(a = 10 \text{ MUH}^{-1}, S = 80\%, T = 55^{\circ}\text{C}, P(H_2) = 1 \text{ atm})$ [34], Pd/PVP (d < 2 HM, a = 0.12 MUH<sup>-1</sup>, S = 98%, T = 64°C,  $P(H_2) = 2$  атм) [35], не уступая им по выходу Н<sub>2</sub>О<sub>2</sub>.

Причины модифицирующего действия фосфора на свойства катализаторов 3%Pd—nP/NaZSM-5 и 3%Pd—nP/HZSM-5, частицы которых представляют собой твердый раствор фосфора в палладии [36, 37], могут быть различными. Промотирующее действие фосфора на активность катализаторов 3%Pd—nP/NaZSM-5 в гидрировании eAQ, рассчитанной при 50-ной% конверсии субстрата, в сравнении с образцами Pd/NaZSM-5 логич-

но связать с изменением дисперсности образцов. Действительно, по данным ПЭМ [37, 38] среднечисленный размер высококонтрастных частиц уменьшается от  $26.2\pm8.7$  нм (0.5%Pd/NaZSM-5) до  $9.2\pm1.8$  нм (3%Pd-0.3P/NaZSM-5),  $10.5\pm2.4$  нм (3%Pd-0.7P/NaZSM-5) и  $9.6\pm1.9$  нм (3%Pd-1.0P/NaZSM-5) (рис. 3).

С ростом массового содержания палладия в образцах Pd/NaZSM-5 от 0.5 до 3% дисперсность снижается в 2.3 раза. Но даже образец 0.5%Pd/NaZSM-5 значительно уступает Pd—P-катализаторам по дисперсности (табл. 1). Именно этим и обусловлена очень малая активность немодифицированных палладиевых катализаторов 0.5%Pd/NaZSM-5 и 3%Pd/NaZSM-5, нанесенных на цеолит NaZSM-5, в гидрировании eAQ.

Более высокодисперсные системы образуются при формировании Pd-P-катализаторов в среде толуола и при нанесении на цеолит HZSM-5. В этом случае средний размер Pd- и Pd-P-частиц в катализаторах изменяется от  $10.9 \pm 2.9$  нм (1 %Pd/HZSM-5) до  $4.8 \pm 1.6$  нм (3%Pd-0.3P/HZSM-5) и  $5.5 \pm 1.2$  нм (3%Pd-1.0P/HZSM-5) (рис. 4). При этом, несмотря на большую дисперсность Pd-P-образцов, они характеризуются меньшей активностью в гидрировании eAQ (табл. 1).

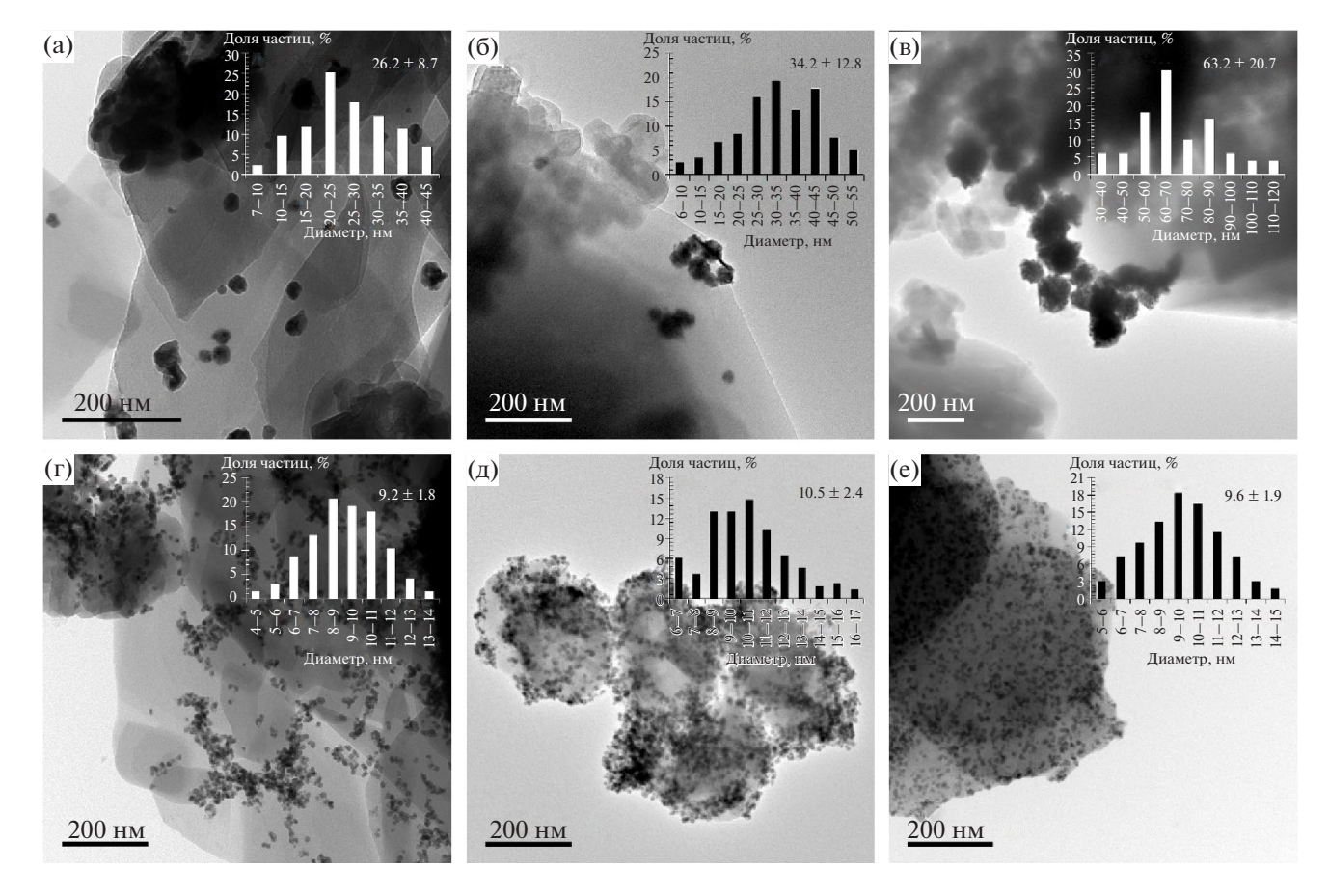
Однако дисперсность не является единственной причиной модифицирующего действия фосфора на свойства палладиевых катализаторов в гидрировании eAQ. Сравнение результатов кинетических экспериментов и данных ПЭМ

**Схема 1.** Схема побочного процесса — гидрогенолиза eAQH<sub>2</sub>.

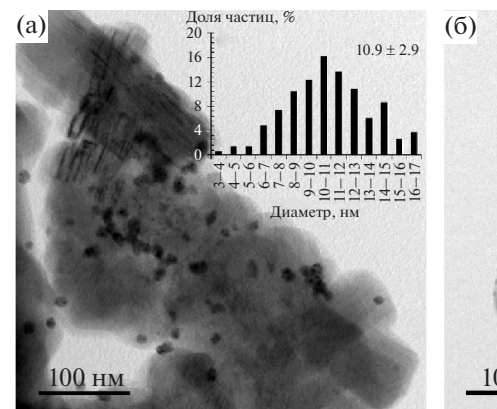
показывает, что размеры частиц катализаторов Pd-nP/NaZSM-5 ( $n=0.3,\ 0.7,\ 1.0$ ) близки между собой, а выходы  $H_2O_2$  в их присутствии отличаются. Также средние диаметры Pd-P- и Pd-частиц в образцах 3%Pd-nP/NaZSM-5 и 1%Pd/HZSM-5 близки, а активность и выход  $H_2O_2$  различны (рис. 3, 4). Следовательно, введение фосфора в состав палладиевых катализаторов влияет и на другие их свойства. Основные характеристики Pd-P-образцов представлены в табл. 2.

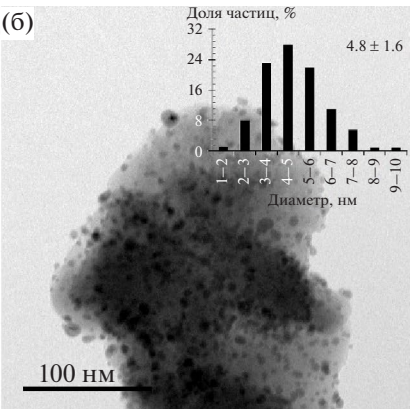
По данным МС ИСП, во всех Pd—Р-катализаторах фосфор действительно присутствует. Экспериментально определенное соотношение P: Pd для образцов Pd—nP/NaZSM-5 близко к исходному, а для образцов Pd—nP/HZSM-5 ниже на 25—30% (табл. 2). Фосфор, входящий в состав палладийсодержащих частиц, наряду с изменением дисперсности, должен оказывать влияние на состояние поверхностного слоя катализаторов. Ранее методом рентгеновской фотоэлектронной спектроскопии (РФЭС) мы показали [21], что на поверхности Pd—P-частиц, нанесенных на цеолит NaZSM-5, преобладают

две химические формы Pd: Pd<sup>0</sup> ( $E_{cB}$ (Pd3 $d_{5/2}$ ) = 335.3-335.4  $\bar{9}$ В) и  $Pd^{\delta+}$  ( $E_{cB}(Pd3d_{5/2})$  = = 336.4-336.6 эВ,  $0 < \delta < 2$ ) (табл. 3). Фосфор на поверхности Pd-Р-частиц представлен только двумя окисленными формами: H<sub>2</sub>PO<sub>3</sub>- $(E_{cB}(P2p_{3/2})$ 133.6 эВ)  $PO_4^{3-}$  ( $E_{cB}(P2p_{3/2})$  = 135.1 эВ). Отсутствие 3%Pd-0.3P/NaZSM-5 поверхности 3%Pd-1.0P/NaZSM-5 фосфора в виде фосфида связано с его небольшой поверхностной концентрацией и легкостью его окисления [21]. Данный вывод был подтвержден переводом образцов 3%Pd-0.3P/NaZSM-5 и 3%Pd-1.0P/NaZSM-5 В кристаллическое состояние путем термостатирования при 400°C в аргоне в течение 4 ч. По данным РФА, прокаленный образец 3%Pd-0.3P/NaZSM-5 (условное обозначение 3%Pd-0.3P/NaZSM-5\*) содержит смесь Pd и фосфидов палладия  $Pd_3P$ ,  $Pd_3P_{0.95}$ ,  $Pd_3P_{0.8}$ и Pd<sub>6</sub>P [21]. После прокаливания образца 3%Pd-1.0P/NaZSM-5 методом РФА идентифицирован кристаллический фосфид Pd<sub>3</sub>P [37].



**Рис. 3.** Снимки ПЭМ образцов 0.5% Pd/NaZSM-5 (a), 1.0% Pd/NaZSM-5 (б), 3.0% Pd/NaZSM-5 (в), 3.0% Pd-0.3P/NaZSM-5 (г), 3.0% Pd-0.7P/NaZSM-5 (д) и 3.0% Pd-1.0P/NaZSM-5 (е).





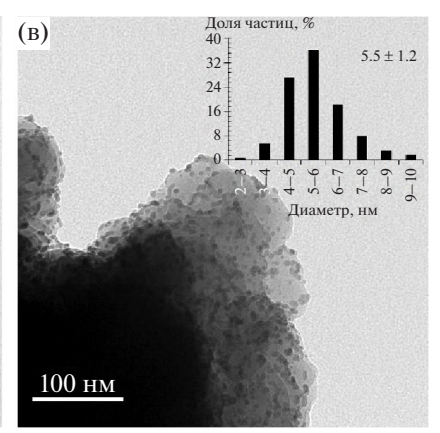


Рис. 4. Снимки ПЭМ образцов 1% Pd/HZSM-5 (a), 3.0%Pd-0.3P/HZSM-5 (б) и 3.0%Pd-1.0P/HZSM-5 (в).

После удаления поверхностных фосфатов/ фосфитов диметиламмония термостатированием образца 3% Pd-0.3P/NaZSM-5 при 400°C методом РФЭС были зафиксированы энергии связи Pd и P, соответствующие фосфидам ( $E_{\rm CB}$ (Pd $3d_{5/2}$ ) = =335.5 эB,  $E_{\rm CB}$ (P2 $p_{3/2}$ ) = 129.5 эB) [21] (табл. 3).

С одной стороны, наличие различных поверхностных химических форм палладия важно как для активации  $H_2$ , так и еAQ. В хемосорбции водорода активнее металлические ансамбли с более высокой электронной плотностью на Pd [39, 40]. В то же время, по мнению авторов [41], электронодефицитные атомы Pd могут выступать в качестве электрофильных центров для адсорбции и активации карбонильной группы еAQ по механизму электрофильной активации С=О. Однако для исследованных прокаленных и непрокаленных образцов 3%Pd—nP/NaZSM-5 отсутствует корреляционная зависимость между соотношением химических форм палладия на поверхности катализаторов и их свойствами

в гидрировании eAQ (табл. 1, 3). В частности, несмотря на близость поверхностных концентраций  $Pd^0$  и  $Pd^{\delta+}$  (0.71 ат.%  $Pd^0$ , 0.16 ат.%  $Pd^{\delta+}$  для 3%Pd-0.3P/NaZSM-5\* и 0.78 ат %  $Pd^0$ , 0.19 ат.%  $Pd^{\delta+}$  для 3%Pd-1.0P/NaZSM-5 [21]), свойства образцов 3%Pd-0.3P/NaZSM-5\* и 3%Pd-1.0P/NaZSM-5\* и 3%Pd-1.0P/NaZSM-5\* и 3%Pd-1.0P/NaZSM-5\* в гидрировании eAQ значительно отличаются. Кроме того, поверхностная концентрация  $Pd^0$  в образце 3%Pd-0.3P/NaZSM-5\* в 2 раза больше, чем в непрокаленном образце 3%Pd-0.3P/NaZSM-5\*, а активность в 7 раз ниже (табл. 1). Резкое снижение активности в гидрировании eAQ наблюдалось и при использовании катализатора 3%Pd-1.0P/NaZSM-5\* (табл. 1).

Столь значительное падение активности при переходе от структурно неупорядоченных твердых растворов фосфора в палладии к кристаллическим фосфидам нельзя объяснить уменьшением дисперсности катализаторов. Средней размер высококонтрастных частиц в образце 3%Pd—1.0P/NaZSM-5 до прокаливания равен

**Таблица 2.** Характеристика Pd- и Pd—P-катализаторов

Катализатор	Массовое содержание Pd и P, % (МС ИСП) Pd P		Массовое содержание Pd, % (AAA)	Отно- шение Р : Pd (эксп.)	$d_{ m a}{}^a$ , нм (ПЭМ)	d <sub>ПЭМ</sub> <sup>6</sup> , нм (ПЭМ)	$D_{\Pi  ightarrow M}^{ m B}, \%$
0.5%Pd/NaZSM-5	0.43	_	0.37	_	$26.2 \pm 8.7$	31.6	3.35
3%Pd-0.3P/NaZSM-5	2.61	2.61 0.28		0.37	$9.2 \pm 1.8$	9.9	10.7
3%Pd-0.7P/NaZSM-5	2.43	0.56	2.53	0.79	$10.5 \pm 2.4$	11.6	9.1
3%Pd-1.0P/NaZSM-5	1.73	0.65	1.64	1.28	$9.6 \pm 1.9$	10.4	10.2
1%Pd/HZSM-5	0.74	_	0.73	_	$10.9 \pm 2.9$	12.3	8.6
3%Pd-0.3P/HZSM-5	2.77	2.77 0.19		0.23	$4.8 \pm 1.6$	6.0	17.5
3%Pd-1.0P/HZSM-5	2.83	2.83 0.59		0.71	$5.5 \pm 1.2$	6.0	17.5

 $<sup>^</sup>ad_a$  — среднеарифметический диаметр;  $^6d_{\Pi ext{OM}}$  — среднеповерхностный диаметр;  $^bD_{\Pi ext{OM}}$  — дисперсность.

**Таблица 3.** Основные данные РФЭС образцов Pd- и Pd-P-катализаторов (по результатам [21])

	Энергия связи, эВ (концентрация, ат. %)									
Катализатор	D 12 /	P2p								
	$Pd3d_{5/2}$	$H_2PO_3^-$	PO <sub>4</sub> 3-	$Pd_xP$						
	335.4 (0.05)									
3%Pd/NaZSM-5	336.3 (0.05)	_	_	_						
	338.2 (0.02)									
	335.4 (0.36)									
3%Pd-0.3P/NaZSM-5	336.6 (0.40)	133.8 (0.35)	135.2 (0.24)	_						
	338.2 (0.09)									
	335.5 (0.71)									
3%Pd-0.3P/NaZSM-5*	336.2 (0.16)	133.8 (0.28)	_	129.5 (0.07)						
	338.1 (0.06)									
	335.4 (0.78)									
3%Pd-1.0P/NaZSM-5	336.6 (0.19)	133.3 (1.3)	134.2 (1.4)	_						
	338.2 (0.13)									

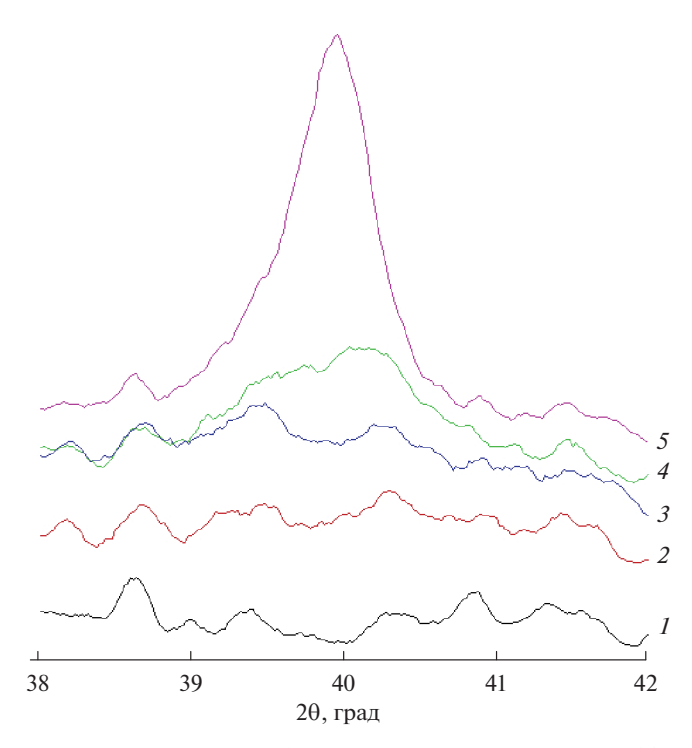
Прочерки означают отсутствие соответствующих форм фосфора.

 $9.6\pm1.9$  нм, а после термостатирования при  $400^{\circ}$ С он составляет  $9.3\pm4.8$  нм. Изменения в среднем размере частиц до и после прокаливания находятся на уровне погрешности их определения.

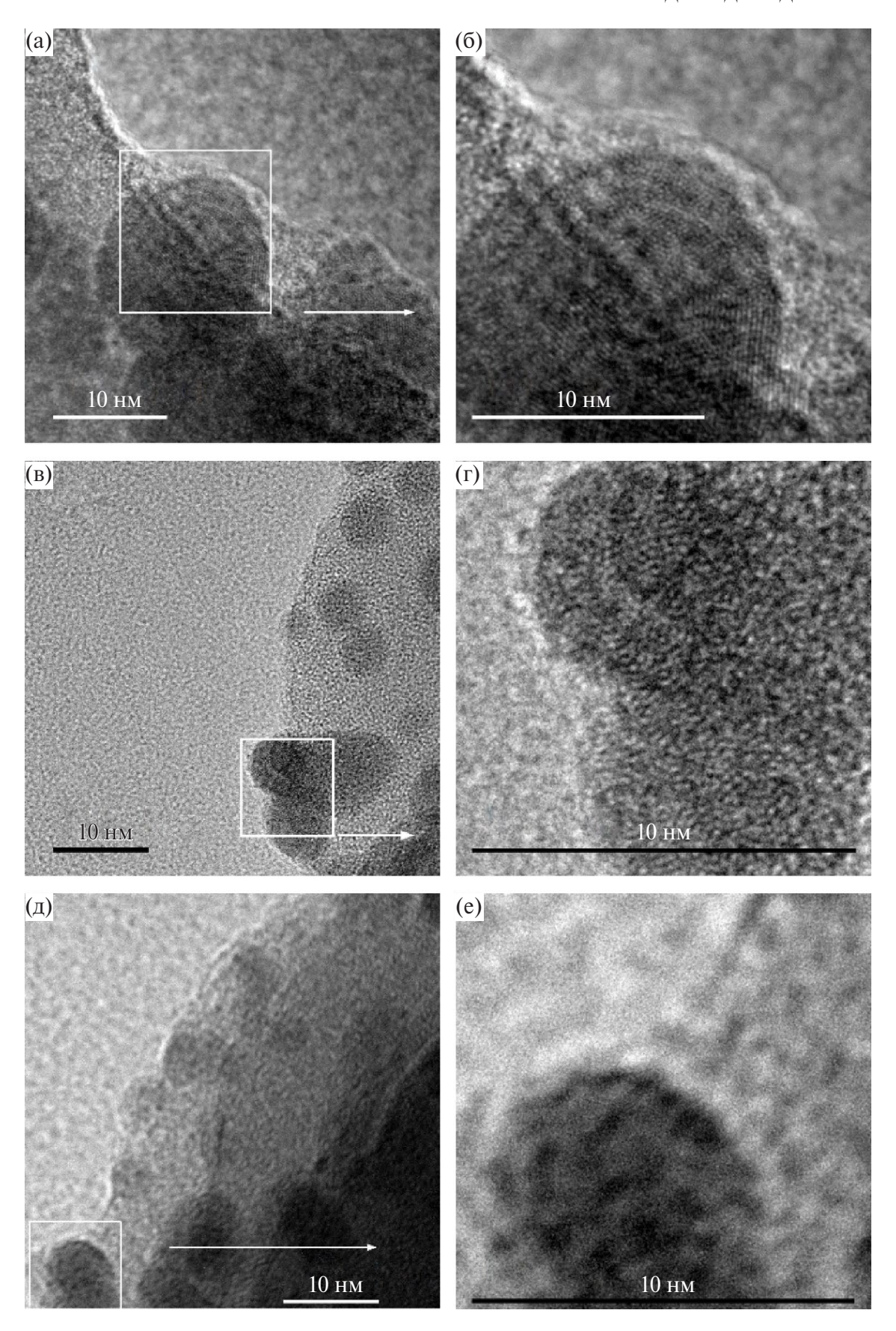
С ростом отношения P: Pd, с одной стороны, возрастает поверхностная концентрация фосфат- и фосфит-ионов в катализаторах Pd-nP/NaZSM-5. С другой стороны, изменяется структурная упорядоченность Pd—P-частиц. В частности, на дифрактограмме катализатора 3%Pd-0.3P/NaZSM-5 кроме рефлексов носителя регистрируется только уширенный пик в области углов отражения  $2\theta$   $35^{\circ}$ – $45^{\circ}$  (рис. 5. дифрактограмма 4). Центр тяжести широкого пика в этой области дифракции  $(2\theta = 40^\circ)$ совпадает как с межплоскостным расстоянием грани Pd(111), так и рефлексами фосфидов, обогащенных палладием. Несмотря на близкое массовое содержание палладия в образцах 3%Pd/NaZSM-5 и 3%Pd-0.3P/NaZSM-5. интенсивность пика в области 20 40° для образца 3%Pd-0.3P/NaZSM-5 меньше, а полуширина больше, чем у 3%Pd/NaZSM-5 (рис. 5, дифрактограммы 4, 5). Для катализаторов 3%Pd-0.7P/NaZSM-5 и 3%Pd-1.0P/NaZSM-5 рефлексы в области углов дифракции 40° вообще не наблюдаются, что указывает на их квазиаморфный характер.

Отсутствие рефлексов Pd в области углов  $2\theta$   $40^{\circ}$  на рентгенограмме образцов 3%Pd-0.7P/NaZSM-5 и 3%Pd-1.0P/NaZSM-5 указывает на то, что периодичность структуры

в Pd—P-частицах распространяется менее чем на 2—3 нм [42]. Т.к. атомный радиус фосфора в фосфидах (0.109 нм) существенно больше, чем углерода (0.071 нм) или азота (0.065 нм), то атом фосфора не вписывается в обычные октаэдрические пустоты, образованные атомами металла с плотной упаковкой. Поэтому с ростом отно-



**Рис. 5.** Узкая область дифрактограмм образцов NaZSM-5 (*I*), 3%Pd-1.0P/NaZSM-5 (*2*), 3%Pd-0.7P/NaZSM-5 (*3*), 3%Pd-0.3P/NaZSM-5 (*4*) и 3%Pd/NaZSM-5 (*5*).



**Рис. 6.** Снимки ПЭМ ВР образцов Pd-1.0P/NaZSM-5 (a-6), Pd-0.3P/HZSM-5 ( $B-\Gamma$ ) и Pd-1.0P/HZSM-5 (д-e).

КИНЕТИКА И КАТАЛИЗ том 65 № 6 2024

шения P: Pd в твердом растворе P в Pd структурная неупорядоченность Pd—P-катализаторов, полученных в мягких условиях, возрастает. По данным  $P\Phi A$ , эффективные в гидрировании eAQ катализаторы 3%Pd—0.3P/HZSM-5 и 3%Pd—1.0P/HZSM-5 также находятся в рентгеноаморфном состоянии. Вывод о квазиаморфном характере образцов, сделанный на основе анализа дифрактограмм, согласуется с данными  $\Pi$ ЭМ BP (рис. 6). Высокий выход  $H_2O_2$  в присутствии аморфных Ni—B- и Ni—Cr—B-сплавов, в отличие от кристаллических никелевых катализаторов, из-за их меньшей, чем у Ni Pehes, активности в гидрировании ароматических колец отмечалось и в работе [43].

С одной стороны, вхождение фосфора в состав частиц палладиевого катализатора уменьшает концентрацию так называемого "неселективного" водорода в приповерхностном слое [44], который благоприятствует протеканию побочных процессов. С другой стороны, рентгеноаморфное состояние Pd-P-образцов может влиять на адсорбционную структуру молекул eAQ и, как следствие этого, на теплоту адсорбции и вклад побочных процессов. Мостиковая адсорбционная структура eAQ, которая включает два σ- и шесть π-взаимодействий между еАО и гранью Pd(111), более устойчива, чем перпендикулярная ориентация молекулы еАО по кислороду С=О-группы [45]. Для насыщения ароматических колец алкилантрахинонов также более благоприятны кристаллиты палладия, содержащие грань Pd(111) [46]. В свою очередь, размер ОКР кристаллитов палладия влияет на соотношение скоростей двух побочных процессов - насыщения ароматического кольца и гидрогенолиза связи С-ОН в eAQH<sub>2</sub> [6, 47]. Мелкие кластеры палладия (1.5-3 нм) в системах циглеровского типа ускоряют преимущественно гидрирование ароматических колец 2-этил-9,10-антрагидрохинона, крупные звездоподобные кристаллиты – 2-этил-9,10-антрагидрохинона. гидрогенолиз

В то же время вхождение фосфора в кристаллическую решетку палладия, как и наличие на поверхности фосфат/фосфит- ионов способствуют разбиению ансамблей палладия. При этом твердые растворы фосфора в палладии содержат более прочносвязанный водород, не выгодный для гидрирования ароматического кольца [48].

Таким образом, уменьшение концентрации "неселективного" водорода при внедрении фосфора в кристаллическую решетку палладия, более прочносвязанный водород в твердых растворах фосфора в палладии и изменение адсорбционной структуры молекулы еАQ могут быть ответственны за модифицирующее действие фосфора на свойства палладиевых катализаторов. Однако, используя только эти данные, сложно объяснить столь резкое падение активности кристаллических фосфидов палладия, в которых также реализуется разбиение ансамблей палладия.

Известно, что восстановление хинонов сильными восстановителями (LiAlH<sub>4</sub>, NaBH<sub>4</sub>, SnCl<sub>2</sub> в сочетании с HCl, Zn в сочетании с CH<sub>3</sub>COOH) протекает в две стадии. На первой стадии одно-электронное восстановление приводит к образованию анион-радикала (семихинона). Присоединение на второй стадии еще одного электрона дает дианион, который в кислой среде превращается в двухатомный фенол (схема 2).

Аналогичный механизм гидрирования eAQ на кластерах  $Pd_6H_2$  на основе квантовохимических исследований предложен в работе [49]. При этом электрон от атома водорода передается не напрямую к электроноакцепторной реакционноспособной группе C=O. Перенос электронной плотности между алкилантрахиноном и  $Pd_6H_2$  происходит по пути: активный водород  $\rightarrow$  атом  $Pd_H \rightarrow$  атом  $C_4 \rightarrow$  карбонильная группа. Т.е. атомы  $Pd_H$  и  $C_4$  действуют как мостик для переноса электронов от активного водорода к карбонильной группе алкилантрахинона. Если механизм гидрирования eAQ под действием Pd-P-катализаторов аналогичен, то резкое падение катали

Схема 2. Схема восстановления хинона сильными восстановителями.

тической активности при переводе структурно неупорядоченных твердых растворов фосфора в палладии в кристаллическое состояние может быть следствием уменьшения их электрической проводимости.

#### **ЗАКЛЮЧЕНИЕ**

Установлено промотирующее действие фосфора на селективность гидрирования еАО и дисперсность образцов 3%Pd-nP/NaZSM-5 и 3% Pd-nP/HZSM-5 ( $n = 0 \div 1.0$ ). Выход  $H_2O_2$ в методе гидрирование/окисление eAQ возрастает от 72-77% (1%Pd/HZSM-5) до 92-99% для Pd—Р-катализаторов. Невысокое значение селективности под действием немодифицированного образца 1%Pd/HZSM-5 обусловлено преимущественно увеличением вклада побочного процесса – образования антронов – в сравнении с насыщением ароматических колец еАQН<sub>2</sub>. Ускорение гидрогенолиза еАОН2 происходит в результате смещения кето-енольного равновесия в кето-форму с участием протонов цеолитного носителя. Несмотря на снижение активности Pd-P-катализаторов в гидрировании еАО в сравнении с немодифицированным 1%Pd/HZSM-5, наиболее эффективный образец 3%Pd-0.3P/HZSM-5 по активности ( $a = 21 \text{ мин}^{-1}$ ) превосходит такие литературные аналоги как  $Pd/SiO_2$ ,  $Pd/Al_2O_3$ , Pd/PVP, не уступая им по выходу  $H_2O_2$  (94%). Модифицирующее действие фосфора на свойства палладиевых катализаторов в гидрировании eAQ обусловлено рядом факторов: повышением дисперсности, изменением поверхностных концентраций фосфат- и фосфит-ионов и формированием рентгеноаморфных структурно неупорядоченных твердых растворов фосфора в палладии.

#### ФИНАНСИРОВАНИЕ

Исследование выполнено в рамках государственного задания в сфере научной деятельности Минобрнауки России (FZZE-2023-0006; соглашение № 075-03-2023-036).

#### БЛАГОДАРНОСТИ

Исследование выполнено с использованием оборудования центра коллективного пользования аналитическим оборудованием ИГУ (http://ckp-rf.ru/ckp/3264/), "Байкальского центра нанотехнологий" ИРНИТУ (электронный микроскоп Теспаі G2) и ЦКП Изотопно-геохимических ис-

следований (масс-спектрометр высокого разрешения ELEMENT 2). Цеолиты NaZSM-5 и HZSM-5 предоставлены к.х.н. Скорниковой С.А.

#### КОНФЛИКТ ИНТЕРЕСОВ

Авторы заявляют об отсутствии конфликта интересов, требующего раскрытия в данной статье.

#### СПИСОК ЛИТЕРАТУРЫ

- 1. *Menegazzo F., Signoretto M., Ghedini E., Strukul G. //* Catalyst. 2019. V. 9. № 3. P. 251.
- 2. *Ranganathan S., Sieber V.* // Catal. 2018. V. 8. № 9. P. 379.
- 3. *Мухортова Л.И., Ефимов Ю.Т., Глушков И.В., Константинова Т.Г.* Химия и технология пероксида водорода: учебное пособие. Чебоксары: Изд-во Чуваш. ун-та, 2020. 104 с.
- 4. Liang J., Wang F., Li W., Zhang J., Guo C.-L. // Mol. Catal. 2022. V. 524. Art. 112264.
- 5. *Campos-Martin J.M.*, *Blanco-Brieva G.*, *Fierro J.L.* // Angew. Chem. Int. Ed. 2006. V. 45. № 42. P. 6962.
- 6. Стеренчук Т.П., Белых Л. Б., Скрипов Н.И., Санжиева С.Б., Гвоздовская К.Л., Шмидт Ф.К. // Кинетика и катализ. 2018. Т. 59. № 3. С. 286. (Sterenchuk T. P., Belykh L. B., Skripov N. I., Sanzhieva S.B., Gvozdovskaya K. L., Schmidt F. K. // Kinetics and Catalysis. 2018. V. 59. No. 5. P. 585.)
- 7. Drelinkiewicz A., Waksmundzka-Gora A. // J. Mol. Catal. A. Chem. 2006. V. 246. P. 167
- Petr J., Kurc L., Belohlav Z., Cervený L. // Chem. Eng. Process. 2004. V. 43. P. 887.
- 9. Priyadarshini P., Ricciardulli T., Adams J.S., Yun Y. S., Flaherty D.W. // J. Catal. 2021. V. 399. P. 24.
- Paunovic V., Ordomsky V.V., Sushkevich V.L., Schouten J.C., Nijhuis T.A. // ChemCatChem. 2015. V. 7. P. 1161.
- 11. Bi R., Wang Q., Miao C., Feng J., Li D. // Catal. Lett. 2019. V. 149. P. 1286.
- 12. *Ingle A.A.*, *Ansari S.Z.*, *Shende D.Z.*, *Wasewar K.L.*, *Pandit A.B.* // Environ. Sci. Pollut. Res. Int. 2022. V. 29. № 57. P. 86468.
- 13. *Zhang J., Gao K., Wang S., Li, W., Han Y.* // RSC Adv. 2017. V. 7. № 11. P. 6447.
- 14. Yuan E., Wu C., Hou X., Dou M., Liu G., Li G., Wang L. // J. Catal. 2017. V. 347. P. 79.
- 15. *Han Y., He Z., Wang S., Li W., Zhang J.* // Catal. Sci. Technol. 2015. V. 5. P. 2630.
- 16. *Ferrin P., Kandoi S., Nilekar A.U., Mavrikakis M.* // Surf. Sci. 2012. V. 606. № 7. P. 679.
- 17. Li W., Wang F., Zhang X., Sun M., Hu J., Zhai Y., Lv G. // Appl. Catal. A: Gen. 2021. V. 619. Art. 118124.
- 18. *Li X, Su H, Ren G, Wang S.* // Appl. Catal. A: Gen. 2016. V. 517. P. 168.

- Liu Y., McCue A.J., Li D. // ACS Catal. 2021. V. 11. P. 9102.
- Belykh L.B., Skripov N.I., Sterenchuk T.P., Kornaukhova T.A., Milenkaya E.A., Schmidt F.K. // Mol. Catal. 2022. V. 528. Art. 112509.
- 21. Белых Л.Б., Скрипов Н.И., Стеренчук Т.П., Акимов В.В., Таусон В.Л., Лихацкий М.Н., Миленькая Е.А., Корнаухова Т.А., Шмидт Ф.К. // Кинетика и катализ. 2023. Т. 64. № 6. С. 749.
- 22. Li D., Su H., Yan H., Yang X., Zhou J., Wang S. // Catal. 2022. V. 12. P. 1156.
- 23. *Li A., Wang Y. H., Ren J., Zhang J. L., Li W., Guo C.L.* // Appl. Catal. A: Gen. 2020. V. 593. Art. 117422.
- 24. Wu Z.-Y., Nan H., Shen S.-C., Chen M.-X., Liang H.-W., Huang C.-Q., Yao T., Chu S.-Q., Li W.-X., Yu S.-H. // CCS Chem. 2022. V. 4. P. 3051.
- 25. Белых Л.Б., Стеренчук Т.П., Скрипов Н.И., Акимов В.В., Таусон В.Л., Романченко А.С., Гвоздовская К.Л., Санжиева С.Б., Шмидт Ф.К. // Кинетика и катализ. 2019. Т. 60. № 6. С. 788. (Belykh L.B., Sterenchuk T.P., Skripov N.I., Akimov V. V., Tauson V. L., Romanchenko A. S., Gvozdovskaya K. L., Sanzhieva S. B., Shmidt F. K. // Kinet. Catal. 2019. V. 60. № 6. P. 805.)
- 26. Belykh L.B., Skripov N.I., Sterenchuk T.P., Akimov V.V., Tauson V.L., Savanovich T.A., Schmidt F.K. // Appl. Catal. A: Gen. 2020. V. 589. Art. 117293.
- 27. Belykh L.B., Skripov N.I., Sterenchuk T.P., Akimov V. V., Tauson V.L., Milenkaya E.A., Schmidt F.K. // Eur. J. Inorg. Chem. 2021. V. 44. P. 4586.
- 28. *Гордон А., Форд Р.* Спутник химика. Москва: Мир, 1976. 572 с. ( *Gordon A.J., Ford R.A.* The Chemist's Companion. New-York: Wiley & Sons, 1972.)
- 29. *Matthews J.C., Nashua N.H., Wood L.L.* USA Patent 3,474,464, 1969.
- 30. Sandri F., Danieli M., Zecca M., Centomo P. // Chem-CatChem. 2021. V. 13. P. 2653.
- 31. Drelinkiewicz A., Waksmundzka-Gora A. // J. Mol. Catal. A: Chem. 2006. V. 246. P. 167.
- 32. *Реутов О.А., Курц А.Л., Бутин К.П.* Органическая химия в 4 частях. Москва: БИНОМ. Лаборатория знаний, 2010. 544 с.
- 33. Drelinkiewicz A., Laitinen R., Kangas R., Pursiainen J. // Appl. Catal. A: Gen. 2005. V. 284. P. 59.

- 34. Kosydar R., Drelinkiewicz A., Lalik E., Gurgul J. // Appl. Catal. A: Gen. 2011. V. 402. P. 121.
- Drelinkiewicz A., Hasik M. // J. Mol. Catal. A: Chem. 2001. V. 177. P. 149.
- 36. *Белых Л.Б.*, *Миленькая Е.А.*, *Скрипов Н.И.*, *Корна-ухова Т.А.*, *Шмидт Ф.К.* // Кинетика и катализ. 2024. В печати.
- 37. Belykh L.B., Skripov N.I., Sterenchuk T.P., Milenkaya E.A., Kornaukhova T.A., Schmidt F.K. // Appl. Catal. A: Gen. 2023. V. 664. Art. 119330.
- 38. Белых Л.Б., Скрипов Н.И., Стеренчук Т.П., Акимов В.В., Таусон В.Л., Лихацкий М.Н., Миленькая Е.А., Корнаухова Т.А., Шмидт Ф.К. // Кинетика и катализ. 2023. Т. 64. № 6. С. 749. ( Belykh L.B., Skripov N.I., Sterenchuk T.P., Akimov V.V., Tauson V.L., Likhatski M.N., Milenkaya E.A., Kornaukhova T.A., Schmidt F.K. // Kinet. Catal. 2023. V. 64. № 6. P. 804.)
- 39. Николаев С.А., Занавескин Л.Н., Смирнов В.В., Аверьянов В.А., Занавескин К.Л. // Успехи химии. 2009. Т. 78. № 3. С. 248. (Nikolaev S.A., Smirnov V.V., Zanaveskin L.N., Zanaveskin, K.L., Averyanov V.A. // Russ. Chem. Rev. 2009. V. 78. № 3. P. 231.)
- 40. Bi R., Wang Q., Miao C., Feng J., Li D. // Catal. Lett. 2019. V. 149. P. 1286.
- 41. Zhang J., Gao K., Wang S., Lia W., Han Y. // RSC Adv. 2017. V. 7. P. 6447.
- Clausen B.S., Topsoe H., Frahm R. // Adv. Catal. 1998.
   V. 42. P. 315.
- 43. Fang J., Chen X., Liu B., Yan S., Qiao M., Li H., He H., Fan K. // J. Catal. 2005. V. 229 P. 97.
- 44. *Stojewski M., Kowalska J., Jurczakowski R.* // J. Phys. Chem. C. 2009. V. 113. № 9. P. 3707.
- 45. Kamachi T., Ogata T., E. Mori, K. Iura, N. Okuda, M. Nagata, K. Yoshizawa // J. Phys. Chem. C. 2015. V. 119. P. 8748.
- 46. Maccarrone M.J., Lederhos C.R., Torres G., Betti C., Coloma-Pascual F., Quiroga M.E., Yori J.C. // Appl. Catal. A: Gen. 2012. V. 90. P. 441.
- 47. Belykh L.B., Skripov N.I., Sterenchuk T.P., Schmidt F.K. // Catal. Commun. 2020. V. 146. Art. 106124.
- 48. Flanagan B.T.B., Biehl G.E., Clewley J.D., Kund-qvist S., Anderson Y. // J.C.S. Faraday I. 1980. V. 76. P. 196
- 49. *Yuan E., Wang L., Zhang X., Feng R., Wu C., Li G.* // ChemPhysChem. 2016. V. 17. P. 3974.

# Effective Catalysts Based on Palladium-Phosphorus Particles for Hydrogen Peroxide Production by the Anthrahquinone Method

L. B. Belykh<sup>1, \*</sup>, T. A. Kornaukhova<sup>1</sup>, N. I. Skripov<sup>1</sup>, E. A. Milenkaya<sup>1</sup>, A. A. Maltsev<sup>1</sup>, and F. K. Schmidt<sup>1</sup>

<sup>a</sup>Irkutsk State University, K. Marx, 1, Irkutsk, 664003 Russia \*e-mail: belykh@chem.isu.ru

The properties of Pd–P catalysts supported on ZSM-5 zeolite in H- and Na-forms in the hydrogenation of 2-ethyl-9,10-anthraquinone under mild conditions were studied. The size and phase composition of Pd–P particles were determined using transmission electron microscopy and X-ray powder diffraction analysis. The promoting effect of phosphorus on the dispersion of palladium catalysts and the yield of  $H_2O_2$  has been established. The influence of the decationized form of the zeolite support on the properties of palladium catalysts in the hydrogenation of 2-ethyl-9,10-anthraquinone was considered. It was shown that the deposition of Pd on HZSM-5 zeolite increases the contribution of 2-ethyl-9,10-anthrahydroquinone hydrogenolysis, reducing the yield of  $H_2O_2$ . Modification of palladium catalysts with phosphorus significantly suppresses both side processes: saturation of aromatic rings and hydrogenolysis of the C–OH bond of 2-ethyl-9,10-anthrahydroquinone. With an increase in the P:Pd ratio from 0 to 1.0, the yield of  $H_2O_2$  increases from 72–77 to 92–99%. The main reasons for the promoting effect of phosphorus are discussed.

Keywords: hydrogen peroxide, 2-ethyl-9,10-anthraquinone, hydrogenation, palladium, phosphorus, XRD, TEM

#### **FUNDING**

The study was supported by the Ministry of Education and Science of Russia under the government contract (topic code: FZZE-2023-0006; agreement no. 075-03-2023-036).

УЛК 547:546.98:541.128

### СИНТЕЗ КОМПЛЕКСОВ НИКЕЛЯ(II) С ОКСАДИТИОЭФИРНЫМИ ЛИГАНДАМИ И ИХ КАТАЛИТИЧЕСКИЕ СВОЙСТВА В ОЛИГОМЕРИЗАЦИИ ПРОПИЛЕНА

© 2024 г. Д. С. Суслов<sup>*a*, *b*, \*, А. В. Сучкова<sup>*b*</sup>, М. В. Быков<sup>*a*, *b*</sup>, 3. Д. Абрамов<sup>*b*</sup>, М. В. Пахомова<sup>*a*, *b*</sup>, Т. С. Орлов<sup>*b*</sup>, Т. Н. Бородина<sup>*c*</sup>, В. И. Смирнов<sup>*c*</sup></sup>

аФГБОУ ВО Иркутский государственный университет, химический факультет, ул. К. Маркса, 1, Иркутск, 664003 Россия

<sup>b</sup>ΦΓБОУ ВО Иркутский государственный университет, НИИ нефте- и углехимического синтеза, ул. К. Маркса, 1, Иркутск, 664003, Россия

 $^{c}$ ФГБУН Иркутский институт химии им. А.Е. Фаворского СО РАН, ул. Фаворского, 1, Иркутск, 664033 Россия

\*e-mail: suslov@chem.isu.ru

Поступила в редакцию 05.08.2024 г. После доработки 22.11.2024 г. Принята к публикации 22.11.2024 г.

Синтезированы комплексы никеля с оксадитиоэфирными лигандами состава [Ni(L)Br<sub>2</sub>] и [Ni(acac)(L)] СF<sub>3</sub>SO<sub>3</sub> (L = R(S(CH<sub>2</sub>)<sub>2</sub>O(CH<sub>2</sub>)<sub>2</sub>S)R, R = Me, Et, n-Pr, i-Pr, n-Bu, i-Bu, бензил, n-гексил). Комплексы изучены методами ЯМР и ИК-спектроскопии, ЭСИ-МС, элементного анализа и квантовой химии в рамках DFT. Обнаружено, что сигналы в спектрах  ${}^{1}H$  ЯМР уширены и смещены вследствие парамагнетизма, обусловленного наличием иона Ni(II). Методом PCA определена кристаллическая структура [Ni(Et(S(CH<sub>2</sub>)<sub>2</sub>O(CH<sub>2</sub>)<sub>2</sub>S)Et)(MeCN)Br<sub>2</sub>] (I). В I координационная сфера никеля характеризуется незначительным искажением октаэдрической геометрии центрального атома, при этом оксадитиоэфирный лиганд координирован тридентатно в меридиональной конфигурации. Установлено, что каталитические системы {[Ni(L)Br<sub>2</sub>] или [Ni(acac)(L)]CF<sub>3</sub>SO<sub>3</sub>}/Al(i-Bu)<sub>2</sub>Cl в присутствии добавок  $H_2$ O в качестве промотора в интервале температур от 15 до 35°C обладают высокой каталитической активностью в олигомеризации пропилена. Показано, что при использовании каталитической системы [Ni(L)Br<sub>2</sub>]/Al(i-Bu)<sub>2</sub>Cl (L = R(S(CH<sub>2</sub>)<sub>2</sub>O(CH<sub>2</sub>)<sub>2</sub>S)R, R = n-Bu) производительность может достигать TON = 365900 моль  $C_3H_6$ /моль Ni (T = 25°C, растворитель = 1,2-дихлорэтан) при TOF = 4840 мин $^{-1}$  и селективности по димерам — 78%. Обсуждены гипотезы маршрутов взаимодействия комплексов [Ni(L)Br<sub>2</sub>] и [Ni(acac)(L)]CF<sub>3</sub>SO<sub>3</sub> с алюминийорганическими соединениями в присутствии добавок воды, приводящие к каталитически активным комплексам.

**Ключевые слова:** никель, тиоэфиры, олигомеризация, пропилен, алюминийорганические соединения **DOI:** 10.31857/S0453881124060075, **EDN:** QIZWUP

#### ВВЕДЕНИЕ

Олигомеризация этилена и  $\alpha$ -олефинов, катализируемая переходными металлами, является важным классом реакций, который исполь-

Сокращения и обозначения: ДМСО — диметилсульфоксид; асас — ацетилацетонат;  $\Gamma$  — гексены;  $\mathcal{L}$  — содержание димеров пропилена в смеси продуктов реакции;  $\mathcal{L}$  — диметилбутены;  $\mathcal{L}$  — метилпентены;  $\mathcal{L}$  — число оборотов катализатора;  $\mathcal{L}$  — частота оборотов;  $\mathcal{L}$  — средняя активность каталитических систем;  $\mathcal{L}$  —  $\mathcal{L}$  — электрораспыление с масс-спектрометрией;  $\mathcal{L}$  — газо-жидкостная хроматография;  $\mathcal{L}$  — хромато-масс-спектрометрия;  $\mathcal{L}$  — рентгеноструктурный анализ;  $\mathcal{L}$  — теория функционала плотности.

зуется в синтезе интермедиатов для химической промышленности. Основные направления их практического применения включают синтезы сомономеров для производства полиолефинов, добавок к моторным топливам, исходных веществ для синтеза ПАВ и пластификаторов [1—7]. После открытия Циглером (Ziegler K.) с сотр. "никель-эффекта" [8, 9] богатая реакционная способность никеля по отношению к ненасыщенными соединениями сделала этот металл чрезвычайно успешным в гомогенно-катализируемой олигомеризации олефинов. В отличие от других катализаторов на основе переходных металлов, таких как титан и хром, никель спосо-

бен олигомеризовать не только этилен, но также пропилен и бутены [4]. Среди гомогенных никелевых катализаторов можно выделить два типа: нейтральные и катионные. Первый тип — однокомпонентные нейтральные арильные комплексы никеля – лежит в основе крупнотоннажного SHOP-процесса олигомеризации этилена [1]. Второй тип катализаторов, представленный комбинацией комплексов никеля(II) и алюминийалкилгалогенидов, реализован в промышленных процессах димеризации этилена, пропилена, бутена-1. Димеризация пропилена внедрена компаниями ВР (Великобритания, каталитическая система: Ni(acac)<sub>2</sub>/AlEt<sub>3-x</sub>Cl<sub>x</sub>/PCy<sub>3</sub>, x = 1, 2, асас – ацетилацетонат [10]), Sumitomo (Япония, каталитическая система: Ni(naph)<sub>2</sub>/PCy<sub>3</sub>/AlEt<sub>3</sub>/ изопрен/CF<sub>3</sub>SO<sub>3</sub>H/1,1,1,3,3,3-гексафторизопропанол, naph — нафтенат [11]) для получения интермедиатов в производстве инсектицидов и ароматизаторов [4], а также французской государственной компанией IFPEN (процесс Dimersol G). Последний промышленный процесс является наиболее крупным из перечисленных и применяются для синтеза высокооктановых добавок к топливу – изогексенов (диматов) [4]. По литературным данным [12–14], как правило, диматы используются после гидрирования или получения из них метиловых эфиров. Однако недавно было показано [15], что в качестве эффективных высокооктановых добавок могут применяться непосредственно изогексены. Каталитические системы процесса Dimersol представлены комплексами Ni(II) в сочетании с AlEtCl<sub>2</sub> [5] (проприоретатные катализаторы, известные под каталожными номерами LC1252 и LC1255 [16], на основании опубликованных данных паспортов безопасности [17] — растворы карбоксилатных комплексов никеля).

В научной литературе описаны многочисленные примеры каталитических систем для низкомолекулярной олигомеризации пропилена, большая часть из которых подробно рассматривается в обзорах [3–5, 18, 19]. Как правило, такие катализаторы представлены двухкомпонентными системами на основе комплексов Ni(II) и алюминийалкилгалгенидов (или метилалюмоксанов). Наиболее известные из них включают системы на основе саленовых [20], салицилальдегидных [21],  $\alpha$ -нитроацетофенонантных [22],  $\beta$ -дикетонатных [23–25],  $\beta$ -дикетиминатных [26],  $\beta$ -дииминовых [27],  $\pi$ -аллильных [24,28] и инденильных [29] комплексов никеля(II), а также галогенидных комплек-

сов, модифицированных α-дииминовыми [30] и фосфорорганическими лигандами [13, 31–33].

Несмотря на то что соединения серы зачастую выступают в роли каталитических ядов, для димеризации пропилена известен пример применения серосодержащих лигандов (β-дитиодикетонатов никеля) с получением высокоактивных каталитических систем [31, 32, 34] (так называемые катализаторы Мастерса). Также в литературе имеются данные об использовании тридентатных лигандов SNS-типа [35—39] и SOS-типа [40] в комплексах хрома для процессов олигомеризации этилена. Исследования соединений никеля с лигандами SOS-типа на сегодняшний день представлены преимущественно работами координационно-химического направления [41–46], каталитические свойства таких соединений практически не изучены. Ранее [47] нами были синтезированы комплексы палладия с оксадитиоэфирными лигандами состава  $[Pd(\mu-L)Cl_2]_2$ ,  $[Pd(acac)(L)]BF_4$  (L =  $R(S(CH_2)_2O(CH_2)_2S)R$ , R = алкил). Также было показано [47], что каталитические системы на основе  $[Pd(\mu-L)Cl_2]_2$ / /Al(i-Bu)<sub>2</sub>Cl и [Pd(acac)(L)]BF<sub>4</sub>/BF<sub>3</sub>·OEt<sub>2</sub> проявляют активность в реакции полимеризации норборнена и характеризуются относительно высокой устойчивостью при повышенной температуре (до 75°C). В настоящей работе мы сообщаем о синтезе серии новых комплексов никеля общей формулы Ni(L)Br<sub>2</sub>, [Ni(acac)(L)]CF<sub>3</sub>SO<sub>3</sub>  $(L = R(S(CH_2)_2O(CH_2)_2S)R, R = Me, Et, n-Pr,$ *i*-Pr, *n*-Bu, *i*-Bu, *н*-гексил, бензил), изучении их спектральных, структурных и каталитических свойств в низкомолекулярной олигомеризации пропилена в сочетании с диизобутилалюминий хлоридом в качестве сокатализатора.

#### ЭКСПЕРИМЕНТАЛЬНАЯ ЧАСТЬ

#### Материалы

Все операции проводили в атмосфере очищенного аргона ("О.С.Ч.", "Арника-Пром-Сервис") или в вакууме с использованием стандартной аппаратуры Шленка. Исходные реагенты получали из коммерчески доступных источников ("Acros Organics", "Sigma-Aldrich", "ABCR" или "Вектон"). Аргон ("Арника-Пром-Сервис") перед использованием очищали пропусканием через колонки, заполненные поглотителем кислорода, оксидом фосфора(V) (ЗАО "Вектон"), КОН (ЗАО "Вектон") и молекулярными ситами 4Å ("Sigma-Aldrich"). Пропилен полимеризационной степени чистоты переливали

с помощью сильфонного шланга (ООО "Флюид Лайн") в предварительно отвакуумированный дабораторный баллон объемом 1 л и использовали без дополнительной очистки. Диэтиловый эфир, н-пентан и н-гексан (ЗАО "Вектон") очищали перегонкой в атмосфере аргона над натрием, хлористый метилен и 1,2-дихлорэтан (ЗАО "Вектон") очищали перегонкой над гидридом кальция. Растворители хранили над цеолитами марки 3Å ("Sigma-Aldrich"), диэтиловый эфир хранили над металлическим натрием при T = 6°C. Диизобутилалюминийхлорид перегоняли при пониженном давлении ( $T_{\text{кип}} = 130$ °C, 5 мм рт. ст.), хранили в ампулах в атмосфере аргона. Для синтеза олигомеров пропилена готовили 1 M раствор  $Al(i-Bu)_2Cl$ в н-гексане, который разливали по ампулам объемом не более 5 мл. Ацетилацетон отделяли от технического ацетилацетона, содержащего примеси, фракционной разгонкой, собирая фракцию с температурой кипения 132°С. Оксадитиоэфирные лиганды были синтезированы по опубликованным методикам [47]. [Ni(acac)<sub>2</sub>(H<sub>2</sub>O)<sub>2</sub>] · H<sub>2</sub>O был синтезирован из NiCl<sub>2</sub> согласно [48], безводный  $Ni(acac)_2$  был получен из  $[Ni(acac)_2(H_2O)_2] \cdot H_2O$ по методу из работы [49], NiBr<sub>2</sub> был обезвожен сушкой в вакууме при нагревании, образцы безводных NiBr<sub>2</sub> и Ni(acac)<sub>2</sub> хранили в ампулах в атмосфере аргона.

#### Синтез комплексов никеля

Дибромо(5-окса-2,8-тианонан-кS,кO,кS)ни**кель(II) (Іb).** К раствору лиганда **Ia** (0.25 мл. 0.279 г, 1.74 ммоль) в 2 мл МеОН добавили навеску NiBr<sub>2</sub> (0.380 г, 1.74 ммоль) и прилили еще 8 мл МеОН. Полученную смесь перемешивали в течение 12 ч при комнатной температуре, после чего упаривали растворитель в вакууме. Полученный порошок желто-коричневого цвета сушили в вакууме (0.4 мм рт. ст.) в течение 7 ч при температуре 50°C с получением соединения **Ib** (0.434 г., 66%). Рассчитано для  $C_6H_{14}Br_2NiOS_2$ : C, 18.73; H, 3.67; S, 16.66. Найдено: C, 18.78; H, 3.63; S, 16.35. ЭСИ-MC (MeCN): m/z 304.90 [M $^+$ -Br]. УФ (MeCN):  $\lambda = 275 \,\text{нм}, \varepsilon = 4260 \,\text{л моль}^{-1} \,\text{см}^{-1}$ . <sup>1</sup>H ЯМР  $(60 M\Gamma II, ДМСО-d_6, 40°С): \delta 3.53 (т, J = 6.5 \Gamma II, 4H,$  $CH_2O$ ), 2.58 (т, перекрывается с ДМСО,  $J = 6.5 \Gamma \mu$ , 4H, CH<sub>2</sub>S), 2.05 (c, 6H, CH<sub>3</sub>S). <sup>13</sup>С{<sup>1</sup>H} ЯМР (15 M $\Gamma$ II, ДMCO-d<sub>6</sub>, 40°C):  $\delta$  70.41 (c, CH<sub>2</sub>O), 33.56 (c, CH<sub>2</sub>S), 16.03 (c, CH<sub>3</sub>S). ИК (КВг таблетка, см<sup>-1</sup>):2996, 2976, 2917, 2930, 2883, 2856, 2871, 1474, 1462, 1420, 1401, 1359, 1347, 1323, 1316, 1307, 1297, 1290, 1240, 1213, 1204, 1181, 1114, 1084, 1077, 1045, 1035, 1024, 1063, 1115, 992, 1024, 1010, 969, 958, 866, 847, 856, 782, 776, 770, 726, 721, 675, 656.

Дибромо(6-окса-3,9-дитиаундекан-кS,кO,кS) никель(II) (IIb). К раствору лиганда IIa (0.21 мл, 0.227 г, 1.17 ммоль) в 2 мл МеОН добавили навеску NiBr<sub>2</sub> (0.256 г, 1.17 ммоль) и прилили еще 8 мл МеОН. Полученную смесь перемешивали в течение 12 ч при комнатной температуре, после чего упаривали растворитель в вакууме. Полученный порошок желто-коричневого цвета сушили в вакууме (0.4 мм рт. ст.) в течение 7 ч при температуре 50°С с получением соединения **Пb** (0.327 г. 68%). Рассчитано для C<sub>8</sub>H<sub>18</sub>Br<sub>2</sub>NiOS<sub>2</sub>: C, 23.27; Н, 4.39; S, 15.53. Найдено: С, 23.28; Н, 4.39; S, 15.70. ЭСИ-МС (MeCN): *m/z* 332.93 [M+-Br]. УФ (MeCN):  $\lambda = 280$  нм,  $\epsilon = 5140$  л моль<sup>-1</sup> см<sup>-1</sup>. <sup>1</sup>Н ЯМР (60 МГц, ДМСО- $d_6$ , 40°С):  $\delta$  3.54 (т, J == 6.2 Гц, 4H, СН<sub>2</sub>O), 2.90–2.20 (м, перекрывается с ДМСО, 8H, CH<sub>2</sub>SCH<sub>2</sub>), 1.15 (т, J = 7.2 Гц, 6H, CH<sub>3</sub>). <sup>13</sup>C{<sup>1</sup>H} ЯМР (15 МГц, ДМСО-d<sub>6</sub>, 40°C): δ 70.45 (c, CH<sub>2</sub>O), 30.77 (c, CH<sub>2</sub>S), 25.81 (c, CH<sub>2</sub>S), 15.23 (c, CH<sub>3</sub>). ИК (КВг таблетка, см<sup>-1</sup>): 2982, 2969, 1915, 2926, 2878, 1468, 1455, 1425, 1406, 1380, 1351, 1294, 1268, 1240, 1213, 1205, 1190, 1089, 1045, 975, 1002, 1017, 989, 952, 865, 784, 753, 690, 645.

Дибромо(7-окса-4,10-дитиатридекан- $\kappa S$ , $\kappa O$ , $\kappa S$ ) никель(II) (IIIb). К раствору лиганда IIIb (0.25 мл, 0.254 г, 1.14 ммоль) в 2 мл МеОН добавили навеску NiBr<sub>2</sub> (0.249 г, 1.14 ммоль) и прилили еще 8 мл МеОН. Полученную смесь перемешивали в течение 12 ч при комнатной температуре, после чего упаривали растворитель в вакууме. Полученный порошок желто-коричневого цвета сушили в вакууме (0.4 мм рт. ст.) в течение 7 ч при температуре 50°C с получением соединения **IIIb** (0.414 г, 82%). Рассчитано для C<sub>10</sub>H<sub>22</sub>Br<sub>2</sub>NiOS<sub>2</sub>: C, 27.24; H, 5.03; S, 14.54. Найдено: С, 27.58; H, 5.09; S, 14.91. ЭСИ-МС (MeCN): *m/z* 360.96 [M+-Br]. УФ (MeCN):  $\lambda = 280$  нм,  $\epsilon = 5980$  л моль<sup>-1</sup> см<sup>-1</sup>. ¹Н ЯМР (60 МГц, ДМСО-d<sub>6</sub>, 40°С): δ 3.52 (т,  $J = 6.1 \, \Gamma$ ц, 4H, CH<sub>2</sub>O), 2.80–2.10 (м, перекрывается с ДМСО, 8H, CH<sub>2</sub>SCH<sub>2</sub>), 1.44 (секстет,  $J = 6.8 \text{ }\Gamma\text{L}, 4\text{H}, \text{ }C\text{H}_2), 0.90 \text{ }(\text{T}, J = 6.8 \text{ }\Gamma\text{L}, 6\text{H},$ CH<sub>3</sub>). <sup>13</sup>C{<sup>1</sup>H} ЯМР (15 МГц, ДМСО-d<sub>6</sub>, 40°C):  $\delta$  70.92 (c, CH<sub>2</sub>O), 34.42 (c, CH<sub>2</sub>S), 31.73 (c, CH<sub>2</sub>S), 23.44 (c, CH<sub>2</sub>), 13.90 (c, CH<sub>3</sub>). ИК (КВг таблетка,  $cm^{-1}$ ): 2961, 2928, 2914, 2907, 2874, 1468, 1460, 1415, 1403, 1375, 1351, 1343, 1292, 1304, 1241, 1212, 1203, 1189, 1091, 1055, 1039, 1024, 1005, 991, 952896, 889, 868, 848, 839, 795, 779, 748, 735, 689, 671, 650, 634.

Дибромо(2,10-диметил-6-окса-3,9-дитиаундекан-кS,кO,кS)никель(II) (IVb). К раствору лиганда IVa (0.25 мл, 1.00 ммоль) в 2 мл МеОН добавили навеску NiBr<sub>2</sub> (0.219 г, 1.00 ммоль) и прилили еще 8 мл МеОН. Полученную смесь перемешивали в течение 12 ч при комнатной температуре, после чего упаривали растворитель в вакууме. Полученный порошок желто-коричневого цвета сушили в вакууме (0.4 мм рт. ст.) в течение 7 ч при температуре 50°C с получением соединения **IVb**  $(0.354 \,\mathrm{r}, 80\%)$ . Рассчитано для  $\mathrm{C}_{10}\mathrm{H}_{22}\mathrm{Br}_2\mathrm{NiOS}_2$ : C, 27.24; H, 5.03; S, 14.54. Найдено: C, 27.34; H, 5.12; S, 14.75. ЭСИ-МС (MeCN): *m/z* 360.96 [M+–Br]. УФ (MeCN):  $\lambda = 274$  нм,  $\epsilon = 4040$  л моль<sup>-1</sup> см<sup>-1</sup>. ¹Н ЯМР (60 МГц, ДМСО-d<sub>6</sub>, 40°С): δ 3.54 (т,  $J = 6.6 \, \Gamma$ ц, 4H, CH<sub>2</sub>O), 2.85 (септет,  $J = 6.6 \, \Gamma$ ц, 2H, CHS, перекрывается с ДМСО и  $CH_2S_7$ ), 2.64  $(T, J = 6.5 \Gamma \mu, 4H, CH<sub>2</sub>S), 1.17 (д, J = 6.5 \Gamma \mu, 12H,$  $CH_3$ ). <sup>13</sup> $C{^1H}$  ЯМР (15 МГц, ДМСО-d<sub>6</sub>, 40°С):  $\delta$  70.60 (c, CH<sub>2</sub>O), 34.76 (c, CHS), 29.74 (c, CH<sub>2</sub>S), 23.77 (с, CH<sub>3</sub>). ИК (КВг таблетка, см<sup>-1</sup>): 2978, 2965, 2956, 2835, 2919, 2881, 2865, 2873, 1469, 1460, 1443, 1405, 1385, 1368, 1350, 1291, 1257, 1244, 1213, 1294, 1189, 1155, 1092, 1067, 1061, 1053, 1025, 1004, 991, 975, 953, 933, 884, 862, 777, 682, 673, 648, 629.

Дибромо (8-окса-5, 11-дитиапентадекан- $\kappa S, \kappa O, \kappa S'$ )никель(II) (Vb). К раствору лиганда Va (0.35 мл, 0.286 г, 1.14 ммоль) в 2 мл МеОН добавили навеску NiBr<sub>2</sub> (0.249 г, 1.14 ммоль) и прилили еще 8 мл МеОН. Полученную смесь перемешивали в течение 12 ч при комнатной температуре, после чего упаривали растворитель в вакууме. Полученный порошок желто-коричневого цвета сушили в вакууме (0.4 мм рт. ст.) в течение 7 ч при температуре 50°C с получением соединения **Vb**  $(0.365 \,\mathrm{r}, 68\%)$ . Рассчитано для  $\mathrm{C}_{12}\mathrm{H}_{26}\mathrm{Br}_2\mathrm{NiOS}_2$ : C, 30.73; H, 5.59; S, 13.67. Найдено: C, 30.52; H, 5.50; S, 13.38. ЭСИ-МС (MeCN): *m/z* 388.99 [M<sup>+</sup>—Br]. УФ (MeCN):  $\lambda = 280$  нм,  $\epsilon = 4980$  л моль<sup>-1</sup> см<sup>-1</sup>. ¹Н ЯМР (60 МГц, ДМСО-d<sub>6</sub>, 40°С): δ 3.56 (т,  $J = 6.5 \, \Gamma$ ц, 4H, CH<sub>2</sub>O), 2.80–2.10 (м, перекрывается с ДМСО, 8H, CH<sub>2</sub>SCH<sub>2</sub>), 1.41 (м, уш., 8H, CH<sub>2</sub>), 0.88 (м, уш., 6H, CH<sub>3</sub>). <sup>13</sup>С{<sup>1</sup>H} ЯМР (15 МГц, ДМСО- $d_6$ , 40°С):  $\delta$  70.49 (c, CH<sub>2</sub>O), 31.78 (c, CH<sub>2</sub>S), 31.66 (c, CH<sub>2</sub>S), 31.21 (c, CH<sub>2</sub>), 21.65 (c, CH<sub>2</sub>), 13.84 (c, CH<sub>3</sub>). ИК (КВг таблетка, см<sup>-1</sup>): 2958, 2928, 2906, 2873, 2860, 1461, 1447, 1420, 1402, 1385, 1380, 1351, 1308, 1292, 1272, 1239, 1230, 1213, 1184, 1175, 1106, 1079, 1054, 1027, 1005, 989, 972, 953, 928, 915, 878, 858, 780, 770, 746, 730, 686, 664, 634.

Дибромо (2,12-диметил-7-окса-4,10-дитиатридекан- $\kappa S$ , $\kappa O$ , $\kappa S$ )никель(II) (VIb). К раствору лиганда VIa (0.30 мл, 0.293 г, 1.20 ммоль) в 2 мл МеОН добавили навеску NiBr<sub>2</sub> (0.256 г, 1.20 ммоль)

и прилили еще 8 мл МеОН. Полученную смесь перемешивали в течение 12 ч при комнатной температуре, после чего упаривали растворитель в вакууме. Полученный порошок желто-коричневого цвета сушили в вакууме (0.4 мм рт. ст.) в течение 7 ч при температуре 50°C с получением соединения **VIb** (0.375 г, 68%). Рассчитано для C<sub>12</sub>H<sub>26</sub>Br<sub>2</sub>NiOS<sub>2</sub>: C, 30.73; H, 5.59; S, 13.67. Найдено: C, 30.26; H, 5.55; S, 13.48. ЭСИ-МС (MeCN): m/z 388.99 [M<sup>+</sup>-Br].  $V\Phi$  (MeCN):  $\lambda = 276$  нм,  $\epsilon = 4390$  л моль<sup>-1</sup> см<sup>-1</sup>. <sup>1</sup>Н ЯМР (60 МГц, ДМСО-d<sub>6</sub>, 40°С):  $\delta$  3.56 (т, J = 6.6 Гц, 4H, СН<sub>2</sub>O), 2.63 (уш., перекрывается с ДМСО и CH<sub>2</sub>S, 4H, CH<sub>2</sub>S), 2.45 (д, J = 7.0 Гц, 4H, SCH<sub>2</sub>), 1.74 (секстет, J = 6.7 Гц, 2H, CH), 0.95 (д, J == 6.1  $\Gamma_{\text{LL}}$ , 12H, CH<sub>3</sub>). <sup>13</sup>C{<sup>1</sup>H} 9MP (15 M $\Gamma_{\text{LL}}$ , ДМСО- $d_6$ , 40°С):  $\delta$  70.57 (c, CH<sub>2</sub>O), 41.33 (c, CH<sub>2</sub>S), 31.90 (c, CH<sub>2</sub>S), 28.64 (c, CH), 22.17 (c, CH<sub>3</sub>). ИК (KBr таблетка, см<sup>-1</sup>): 2974, 2964, 2950, 2931, 2923, 2898, 2868, 1462, 1444, 1417, 1410, 1402, 1380, 1362, 1354, 1326, 1295, 1258, 1240, 1203, 1189, 1165, 1117, 1079, 1093, 1056, 1030, 1020, 1006, 994, 951, 948, 922, 870, 864, 858, 812, 786, 742, 675, 660, 632, 621.

Дибромо(5-окса-1,9-дифенил-2,8-дитианонан- $\kappa S, \kappa O, \kappa S'$ )никель(II) (VIIb). К раствору лиганда **VIIa** (0.27 мл, 0.310 г, 1.00 ммоль) в 2 мл MeOH добавили навеску NiBr<sub>2</sub> (0.213 г, 1.00 ммоль) и прилили еще 8 мл МеОН. Полученную смесь перемешивали в течение 12 ч при комнатной температуре, после чего упаривали растворитель в вакууме. Полученный порошок желто-коричневого цвета сушили в вакууме  $(0.4 \, \text{мм} \, \text{рт. ст.})$  в течение 7 ч при температуре  $50^{\circ}$ С с получением соединения **VIIb** (0.329 г, 63%). ЭСИ-МС (MeCN): m/z 456.96 [M+-Br]. УФ (MeCN):  $\lambda = 270$  нм,  $\epsilon = 4680$  л моль<sup>-1</sup> см<sup>-1</sup>. <sup>1</sup>H ЯМР (60 МГц, ДМСО-d<sub>6</sub>, 40°С):  $\delta$  7.31 (c, 10H, Ph), 3.79 (c, 4H, CH<sub>2</sub>-Ph), 3.50 (T,  $J = 6.5 \text{ }\Gamma\text{L}\text{L}$ , 4H, CH<sub>2</sub>O), 2.56 (т, J = 6.4 Гц, перекрывается с ДМСО, 4H, CH<sub>2</sub>S). <sup>13</sup>C{<sup>1</sup>H} ЯМР (15 МГц, ДМСО- $d_6$ , 40°С):  $\delta$  129,16 (c, Ph), 128,63 (c, Ph), 127,09 (c, Ph), 70.03 (c, CH<sub>2</sub>O), 35.80 (c, PhCH<sub>2</sub>S), 30.62 (с, CH<sub>2</sub>S). ИК (КВг таблетка, см<sup>-1</sup>): 3100, 3080, 3057, 3024, 2998, 2987, 2965, 2934, 2881, 2789, 2731, 1600, 1581, 1493, 1465, 1451, 1398, 1410, 1350, 1325, 1290, 1242, 1207, 1193, 1175, 1157, 1083, 1053, 1028, 1004, 968, 950, 930, 916, 892, 960, 842, 803, 780, 769, 706, 654, 618, 592, 563.

(Ацетилацетонато- $\kappa^2 O$ , O)(5-окса-2,8-дитианонан- $\kappa S$ ,  $\kappa O$ ,  $\kappa S$ ) никель(II) трифлат (Ic). К раствору лиганда Ia (0.30 мл, 0.321 г, 1.93 ммоль) в 2 мл  $CH_2Cl_2$  добавили навеску  $Ni(acac)_2$  (0.496 г, 1.93 ммоль) и прилили еще 8 мл  $CH_2Cl_2$ .

Полученную смесь перемешивали в течение 30 мин, а затем по каплям добавляли 6.9 мл раствора (0.28 M, 2.5 об. %) HCF<sub>3</sub>SO<sub>3</sub> (1.93 ммоль) в CH<sub>2</sub>Cl<sub>2</sub>. Реакционную смесь перемешивали 2.5 ч при комнатной температуре, после чего упаривали в вакууме до V = 2 - 3 мл. Катионный комплекс высадили из раствора 20 мл смеси  $Et_2O$  и *н*-пентана (1 : 1 об.). Осадок отфильтровали, промыли  $Et_2O(2 \times 10 \text{ мл})$  и сушили в вакууме в течение 7 ч (0.6 мм рт. ст.) с получением комплекса Іс в виде зеленого порошка (0.781 г, 85%). Рассчитано для  $C_{12}H_{21}F_3NiO_6S_3$ : C, 30.46; H, 4.47; S, 20.33. Найдено: C, 30.01; H, 4.39; S, 20.21. Іс при хранении на воздухе образует кристаллогидрат Іс-2Н<sub>2</sub>О (по данным элементного анализа). ЭСИ-МС (MeCN): m/z 323.03 [M+]. УФ  $(C_2H_4Cl_2)$ :  $\lambda_1 = 245$  нм,  $\varepsilon_1 = 4850$  л моль<sup>-1</sup> см<sup>-1</sup>,  $\lambda_2 = 278 \text{ нм}, \, \epsilon_2 = 9620 \text{ л моль}^{-1} \text{ см}^{-1}, \, \lambda_3 = 309 \text{ нм},$  $\varepsilon_3 = 10900 \text{ л моль}^{-1} \text{ см}^{-1}. \text{ }^{1}\text{H } \text{ ЯМР } (60 \text{ МГц,})$ ДМСО-d<sub>6</sub>, 40°С):  $\delta$  5.4 (уш.,  $\Delta v_{1/2}$  =38 Гц, СН<sub>3</sub> (acac)), 3.50 ( $\tau$ ,  $J = 6.1 \Gamma \mu$ , 4H,  $CH_2O$ ), 2.61 ( $\tau$ , перекрывается с ДМСО,  $J = 6.1 \, \Gamma \text{ц}, 4 \text{H}, \text{CH}_2 \text{S}),$ 2.12 (c, 6H, CH<sub>3</sub>S), -12.1 (yIII.,  $\Delta v_{1/2} = 33$   $\Gamma$ II, CH (acac)). <sup>13</sup>C{<sup>1</sup>H} ЯМР (15 МГц, ДМСО-d<sub>6</sub>, 40°C): δ 70.86 (c, CH<sub>2</sub>O), 33.34 (c, CH<sub>2</sub>S), 15.76 (c, CH<sub>3</sub>S). ИК (КВг таблетка, см<sup>-1</sup>): 3081, 3001, 2951, 2934, 2894, 28672, 1596, 1511, 1452, 1399, 1282, 1260, 1224, 1167, 1157, 1080, 1033, 964, 951, 932, 877, 860, 783, 758, 675, 656, 635, 583.

(Ацетилацетонато- $\kappa^2 O, O'$ )(6-окса-3,9-дитиаундекан-кS,кO,кS)никель(II) трифлат (IIc). К раствору лиганда **IIa** (0.22 мл, 0.601 г, 1.20 ммоль) в 1.5 мл CH<sub>2</sub>Cl<sub>2</sub> добавили 3.4 мл раствора Ni(acac)<sub>2</sub> (1.20 ммоль) в СН<sub>2</sub>Сl<sub>2</sub>. Затем к полученной смеси по каплям добавляли 4.3 мл раствора (0.28 М, 2.5 об. %) HCF<sub>3</sub>SO<sub>3</sub> (1.20 ммоль) в CH<sub>2</sub>Cl<sub>2</sub>. Peakционную смесь перемешивали 2.5 ч при комнатной температуре, после чего упаривали в вакууме до V = 2-3 мл. Катионный комплекс высадили из раствора 15 мл пентана. Осадок отфильтровали, промыли пентаном ( $2 \times 10$  мл) и сушили в вакууме в течение 7 ч (0.6 мм рт. ст.) с получением комплекса Ис в виде зеленого порошка (0.503 г, 84%). Рассчитано для  $C_{14}H_{25}F_3NiO_6S_3$ : C, 33.55; H, 5.03; S, 19.19. Найдено: С, 33.82; H, 5.26; S, 19.10. ЭСИ-МС (MeCN): m/z 351.06 [M+].  $У\Phi (C_2H_4Cl_2): \lambda_1 = 245 \text{ нм}, \varepsilon_1 = 5490 \text{ л моль}^{-1} \text{ см}^{-1},$  $\lambda_2 = 280$  нм,  $\epsilon_2 = 12000$  л моль $^{-1}$  см $^{-1}$ ,  $\lambda_3 = 309$  нм,  $\epsilon_3 = 12800$  л моль<sup>-1</sup> см<sup>-1</sup>. 1 Н ЯМР (60 МГц, ДМСО-d<sub>6</sub>, 40°С): δ 5.3 (уш.,  $\Delta v_{1/2} = 45$  Гц,  $CH_3(acac)$ ), 3.39 (т,  $J = 6.2 \text{ }\Gamma\text{H}, \text{ } 4\text{H}, \text{ } \text{CH}_2\text{OCH}_2), \text{ } 2.52 \text{ } (\text{T}, \text{ } J = 6.2 \text{ }\Gamma\text{H}, \text{ }$ перекрывается с ДМСО, 4H, CH<sub>2</sub>S), 2.41 (т,  $J = 6.8 \text{ }\Gamma\text{L}, 4\text{H}, \text{ CH}_2\text{S}), 1.01 \text{ }(\text{T}, J = 6.8 \text{ }\Gamma\text{L}, 6\text{H},$ 

СН<sub>3</sub>), -12.1 (уш.,  $\Delta v_{1/2} = 54$  Гц, СН(acac)).  $^{13}$ С{ $^{1}$ Н} ЯМР (15 МГц, ДМСО-d<sub>6</sub>, 40°С):  $\delta$  70.94 (с, СН<sub>2</sub>О), 30.99 (с, СН<sub>2</sub>S), 26.04 (с, СН<sub>2</sub>S), 15.74 (с, СН<sub>3</sub>). ИК (КВг таблетка, см<sup>-1</sup>): 3083, 2994, 2979, 2968, 2938, 2931, 2890, 2867, 1590, 1520, 1462, 1441, 1394, 1379, 1306, 1279, 1271, 1254, 1237, 1214, 1172, 1167, 1084, 1075, 1063, 1041, 1024, 1008, 978, 952, 928, 783, 761, 692, 673, 637, 583.

(Ацетилацетонато- $\kappa^2 O, O$ )(7-окса-4,10-дитиатридекан- $\kappa S, \kappa O, \kappa S$ )никель(II) трифлат **(IIIc):** К раствору лиганда **IIIa** (0.26 мл, 0.259 г, 1.16 ммоль) в 2.5 мл CH<sub>2</sub>Cl<sub>2</sub> добавили 3.3 мл раствора Ni(acac)<sub>2</sub> (1.16 ммоль) в CH<sub>2</sub>Cl<sub>2</sub>. Затем к полученной смеси по каплям добавляли 4.2 мл раствора (0.28 M, 2.5 об. %) HCF<sub>3</sub>SO<sub>3</sub> (1.16 ммоль) в СН<sub>2</sub>СІ<sub>2</sub>. Реакционную смесь перемешивали 2.5 ч при комнатной температуре, после чего упарили в вакууме до V = 2-3 мл. Катионный комплекс высадили из раствора 20 мл пентана. Осадок отфильтровали, промыли пентаном ( $2 \times 10$  мл) и сушили в вакууме 7 ч (0.6 мм рт. ст.) с получением комплекса ІІІс в виде зеленого порошка (0.522 г. 85%). Рассчитано для  $C_{16}H_{29}F_3NiO_6S_3$ : C, 36.31; H, 5.52; S, 18.17. Найдено: C, 36.21; H, 5.46; S, 18.10. ЭСИ-МС (MeCN): m/z 379.09 [M+]. УФ ( $C_2H_4Cl_2$ ):  $\lambda_1 = 245$  нм,  $\epsilon_1 = 4060$  л моль $^{-1}$  см $^{-1}$ ,  $\lambda_2 = 281$  нм,  $\epsilon_2 = 8870$  л моль<sup>-1</sup> см<sup>-1</sup>,  $\lambda_3 = 309$  нм,  $\varepsilon_3 = 9600 \text{ л моль}^{-1} \text{ см}^{-1}$ . <sup>1</sup>H ЯМР (60 МГц, ДМСО- $d_6$ , 40°С):  $\delta$  5.31 (уш.,  $\Delta v_{1/2} = 45$  Гц, CH<sub>3</sub>(acac)), 3.42 (уш., 4H, CH<sub>2</sub>O), 2.57 (уш., перекрывается с ДМСО, 4H, CH<sub>2</sub>S), 2.45, (с, уш., 4H, СН<sub>2</sub>), 1.41 (с, уш., 4H, СН<sub>2</sub>), 0.84 (с, уш., 6H, СН<sub>3</sub>), -12.0 (уш.,  $\Delta v_{1/2} = 54$  Гц, CH(acac)). <sup>13</sup>C{<sup>1</sup>H} ЯМР  $(15 M\Gamma_{\rm H}, \text{ДMCO-d}_6, 40^{\circ}\text{C}): \delta 70.91 (c, \text{CH}_2\text{O}), 34.29$ (c, CH<sub>2</sub>S), 31.39 (c, CH<sub>2</sub>S), 23.38 (c, CH<sub>2</sub>), 13.88 (c, CH<sub>3</sub>). <sup>19</sup>F ЯМР (56 МГц, ДМСО-d<sub>6</sub>, 40°С):  $\delta$  -77.66 (c, 3F). ИК (КВг таблетка, см<sup>-1</sup>): 3081, 2962, 2931, 2915, 2875, 1584, 1521, 1461, 1448, 1403, 1279, 1256, 1231, 1170, 1111, 1091, 1041, 952, 934, 867, 841, 793, 777, 764, 691, 675, 639, 583.

(Ацетилацетонато- $\kappa^2 O$ , O)(2,10-диметил-6-ок-са-3,9-дитиаундекан- $\kappa S$ ,  $\kappa O$ ,  $\kappa S$ ) никель(II) трифлат (IVc). К раствору лиганда IVa (0.45 мл, 1.97 ммоль) в 2 мл  $CH_2Cl_2$  добавили навеску Ni(acac) $_2$  (0.507 г, 1.97 ммоль) и прилили еще 8 мл  $CH_2Cl_2$ . Полученную смесь перемешивали в течение 30 мин, а затем по каплям добавляли 7.0 мл раствора (0.28 M, 2.5 об. %)  $HCF_3SO_3$  (1.97 ммоль) в  $CH_2Cl_2$ . Реакционную смесь перемешивали 2 ч при комнатной температуре, после чего упарили в вакууме до V=2-3 мл. Катионный комплекс высадили из раствора 30 мл  $Et_2O$ . Оса-

док отфильтровали, промыли  $Et_2O$  (2 × 15 мл) и сушили в вакууме 7 ч (0.6 мм рт. ст.) с получением комплекса IVc в виде зеленого порошка (0.856 г, 82%). Рассчитано для  $C_{16}H_{29}F_3NiO_6S_3$ : С, 36.31; H, 5.52; S, 18.17. Найдено: С, 36.32; H, 5.46; S, 18.15. ЭСИ-МС (MeCN): *m/z* 379.09 [M<sup>+</sup>].  $\Psi\Phi$  (C<sub>2</sub>H<sub>4</sub>Cl<sub>2</sub>):  $\lambda_1 = 246$  нм,  $\epsilon_1 = 3950$  л моль<sup>-1</sup> см<sup>-1</sup>,  $\lambda_2 = 280 \text{ нм}, \, \epsilon_2 = 9270 \text{ л моль}^{-1} \text{ см}^{-1}, \, \lambda_3 = 310 \text{ нм},$  $\varepsilon_3 = 9190 \text{ л моль}^{-1} \text{ см}^{-1}$ . <sup>1</sup>H ЯМР (60 МГц, ДМСО- $d_6$ , 40°С):  $\delta$  5.3 (уш.,  $\Delta v_{1/2} = 45$  Гц, СН<sub>3</sub>(асас)), 3.39 (уш., 4H, СН<sub>2</sub>О), 2.74 (уш., 2H, CHS), 2.53 (уш., 4H, перекрывается с ДМСО,  $CH_2S$ ), 1.06 (уш., 12H,  $CH_3$ ), -12.2 (уш.,  $\Delta v_{1/2} = 55 \text{ Гц, CH(acac)}.$  <sup>13</sup>C{<sup>1</sup>H} ЯМР (15 МГц, ДМСО-d<sub>6</sub>, 40°С): δ 71.26 (c, CH<sub>2</sub>O), 35.37 (c, CHS), 30.36 (c, CH<sub>2</sub>S), 24.45 (c, CH<sub>3</sub>). <sup>19</sup>F ЯМР (56 МГц, ДМСО- $d_6$ , 40°С):  $\delta$  -77.67 (c, 3F). ИК (КВг таблетка, см<sup>-1</sup>): 3080, 3002, 2987, 2967, 2948, 2930, 2889, 2867, 1595, 1529, 1464, 1449, 1396, 1384, 1368, 13122, 1279, 1267, 1253, 1237, 1212, 1209, 1177, 1161, 1076, 1041, 1022, 1009, 995, 956, 927, 873, 855, 790, 77, 762, 686, 671, 637, 581.

(Ацетилацетонато- $\kappa^2 O$ , O)(8-окса-5,11-дитиапентадекан- $\kappa S, \kappa O, \kappa S$ )никель(II) трифлат (Vc). К раствору лиганда  $\mathbf{Vc}$  (0.24 мл. 0.97 ммоль) в 2 мл CH<sub>2</sub>Cl<sub>2</sub> добавили 2.9 мл раствора Ni(acac)<sub>2</sub> (0.97 ммоль) в  $CH_2Cl_2$ . Затем к полученной смеси по каплям добавляли 3.5 мл раствора (0.28 М, 2.5 об. %) HCF<sub>3</sub>SO<sub>3</sub> (0.97 ммоль) в CH<sub>2</sub>Cl<sub>2</sub>. Peакционную смесь перемешивали 2.5 ч при комнатной температуре, после чего упарили до V = 2-3 мл. Катионный комплекс высадили из раствора 12 мл пентана. Осадок отфильтровали, промыли пентаном (2 × 10 мл) и сушили в вакууме 7 ч (0.6 мм рт. ст.) с получением комплекса **Vc** в виде зеленого порошка (0.433 г, 80%). Рассчитано для  $C_{18}H_{33}F_3NiO_6S_3$ : C, 38.79; H, 5.97; S, 17.26. Найдено: С, 38.99; H, 6.00; S, 17.34. ЭСИ-МС (MeCN): m/z 407.12 [M+]. УФ ( $C_2H_4Cl_2$ ):  $\lambda_1 = 245$  нм,  $\varepsilon_1 = 5710$  л моль<sup>-1</sup> см<sup>-1</sup>,  $\lambda_2 = 279$  нм,  $\epsilon_2 = 13140$  л моль<sup>-1</sup> см<sup>-1</sup>,  $\lambda_3 = 310$  нм,  $\varepsilon_3 = 13730 \text{ л моль}^{-1} \text{ см}^{-1}$ . <sup>1</sup>H ЯМР (60 МГц, ДМСО-d<sub>6</sub>, 40°С):  $\delta$  5.2 (уш.,  $\Delta v_{1/2} = 45$  Гц,  $CH_3(acac)$ ), 3.34 (T, 6.0  $\Gamma$ II, 4H,  $CH_2O$ ), 2.43 (M, уш., 4H, CH<sub>2</sub>S), 2.36 (м, уш., 4H, CH<sub>2</sub>S), 1.22 (уш., 8H, CH<sub>2</sub>), 0.68 (уш., 6H, CH<sub>3</sub>), -12.2 (уш.,  $\Delta v_{1/2} = 55 \text{ Гц, CH(acac)}.$  <sup>13</sup>C{<sup>1</sup>H} 9MP (15 MГц, ДМСО- $d_6$ , 40°С):  $\delta$  191 (уш.,  $\Delta v_{1/2} \approx 50$  Гц,  $CH_3(acac)$ ), 139 (уш.,  $\Delta v_{1/2} \approx 60 \Gamma \mu$ , C $\dot{H}(acac)$ )70.47 (c, CH<sub>2</sub>O), 31.75 (c, CH<sub>2</sub>S), 31.34 (c, CH<sub>2</sub>S), 30.88 (c, CH<sub>2</sub>), 21.48 (c, CH<sub>2</sub>), 13.65 (c, CH<sub>3</sub>). <sup>19</sup>F ЯМР (56 МГц, ДМСО- $d_6$ , 40°С):  $\delta$  -77.77 (c, 3F). ИК (КВг таблетка, см<sup>-1</sup>): 3084, 2961, 2934, 2875, 2864, 1592, 15222, 1464, 1521, 1387, 1309, 1277,

1268, 1249, 1234, 1225, 1170, 1098, 1080, 1037, 1008, 953, 970, 931, 873, 864, 797, 769, 760, 695, 673, 666, 653, 637, 582.

(Ацетилацетонато- $\kappa^2 O$ , O)(2,12-диметил-7-окca-4,10-дитиатридекан-кS, кO, кS )никель(II) трифлат (VIc). К раствору лиганда VIa (0.24 мл, 1.10 ммоль) в 2 мл  $CH_2Cl_2$  добавили 4.7 мл раствора  $Ni(acac)_2$  (1.10 ммоль) в  $CH_2Cl_2$ . Затем к полученной смеси по каплям добавляли 3.9 мл раствора (0.28 M, 2.5 об. %) HCF<sub>3</sub>SO<sub>3</sub> (1.10 ммоль) в CH<sub>2</sub>Cl<sub>2</sub>. Реакционную смесь перемешивали 2.5 ч при комнатной температуре, после чего упарили до V = 2-3 мл. Катионный комплекс высадили из раствора 15 мл пентана. Осадок отфильтровали, промыли пентаном (2 × 10 мл) и сушили в вакууме 7 ч (0.6 мм рт. ст.) с получением комплекса VIc в виде зеленого порошка (0.453 г, 74%). Рассчитано для  $C_{18}H_{33}F_3NiO_6S_3$ : С, 38.79; H, 5.97; S, 17.26. Найдено: С, 38.56; H, 6.04; S, 17.10. ЭСИ-МС (MeCN): m/z 407.12 [M+]. УФ ( $C_2H_4Cl_2$ ):  $\lambda_1 = 246$  нм,  $\epsilon_1 = 6060$  л моль<sup>-1</sup> см<sup>-1</sup>,  $\lambda_2 = 282 \text{ HM}, \, \epsilon_2 = 14270 \text{ л моль}^{-1} \text{ см}^{-1}, \, \lambda_3 = 308 \text{ HM},$  $\varepsilon_3 = 16270 \text{ л моль}^{-1} \text{ см}^{-1}$ . <sup>1</sup>H ЯМР (60 МГц, ДМСО- $d_6$ , 40°С):  $\delta$  5.2 (уш.,  $\Delta v_{1/2} = 45$  Гц, СН<sub>3</sub>(acac)), 3.34 (т, 6.0 Гц, 4H, СН<sub>2</sub>O), 2.44 (т, 6.0 Гц, 4H, CH<sub>2</sub>S), 2.27 (д, 6.4 Гц, 4H, CH<sub>2</sub>S), 1.52 (септет, 6.4 Гц, 2H, СН), 0.9-0.5 (м, 12H,  $CH_3$ ), -12.1 (уш.,  $\Delta v_{1/2} = 60$  Гц, CH(acac)). <sup>13</sup>C{<sup>1</sup>H} ЯМР (15 МГц, ДМСО-d<sub>6</sub>, 40°С): δ 70.91 (c, CH<sub>2</sub>O), 41.43 (c, CH<sub>2</sub>S), 32.00 (c, CH<sub>2</sub>S), 28.94 (c, CH), 22.39 (c, CH<sub>3</sub>). ИК (КВг таблетка, см<sup>-1</sup>): 3082, 2954, 2926, 2869, 2595, 1522, 1460, 1449, 1404, 1370, 1279, 1255, 1230, 1170, 11116, 1108, 1094, 1041, 1024, 1007, 991, 935, 869, 857, 813, 792, 763, 695, 673, 640, 583.

(Ацетилацетонато- $\kappa^2 O, O'$ )(5-окса-1,9-дифенил-2,8-дитианонан- $\kappa S, \kappa O, \kappa S$ )никель(II) трифлат (VIIc). К раствору лиганда VIIa (0.46 мл, 1.61 ммоль) в 2 мл  $CH_2Cl_2$  добавили навеску Ni(acac)<sub>2</sub> (0.413 г, 1.61 ммоль) и прилили еще 5 мл CH<sub>2</sub>Cl<sub>2</sub>. Затем к полученной смеси по каплям добавляли 5.7 мл раствора (0.28 М, 2.5 об. %) HCF<sub>3</sub>SO<sub>3</sub> (1.61 ммоль) в CH<sub>2</sub>Cl<sub>2</sub>. Peакционную смесь перемешивали 2.5 ч при комнатной температуре, после чего упарили до V = 2-3 мл. Катионный комплекс высадили из раствора 15 мл пентана. Осадок отфильтровали, промыли пентаном (2 × 10 мл) и сушили в вакууме 7 ч (0.6 мм рт. ст.) с получением комплекса VIIc в виде зеленого порошка (0.899 г, 89%). ЭСИ-МС (MeCN): m/z 475.09 [M+]. УФ ( $C_2H_4Cl_2$ ):  $\lambda_1 = 245$  нм,  $\varepsilon_1 = 4771$  л моль<sup>-1</sup> см<sup>-1</sup>,  $\lambda_2 = 280$  нм,  $\epsilon_2 = 8797$  л моль<sup>-1</sup> см<sup>-1</sup>,  $\lambda_3 = 304$  нм,

 $\varepsilon_3 = 8541$  л моль<sup>-1</sup> см<sup>-1</sup>. <sup>1</sup>H ЯМР (60 МГц, ДМСО-d<sub>6</sub>, 40°С):  $\delta$  7.07 (c, 10H, Ph), 5.2 (уш.,  $\Delta v_{1/2} = 40$  Гц, СН<sub>3</sub>(acac)), 3.55 (c, 4H, СН<sub>2</sub>—Ph), 3.26 (т, 6.0 Гц, 4H, СН<sub>2</sub>О), 2.33 (т, 6.0 Гц, 4H, СН<sub>2</sub>S), -12.3 (уш.,  $\Delta v_{1/2} = 45$  Гц, СН(acac)). <sup>13</sup>С{<sup>1</sup>H} ЯМР (15 МГц, ДМСО-d<sub>6</sub>, 40°С):  $\delta$  129.25 (c, Ph), 128.74 (c, Ph), 127.21 (c, Ph), 70.20 (c, СН<sub>2</sub>O), 35.93 (c, СН<sub>2</sub>S), 30.73 (c, СН<sub>2</sub>S). ИК (КВгтаблетка, см<sup>-1</sup>): 3083, 3059, 3027, 3000, 2952, 2915, 2856, 2788, 1597, 1575, 1520, 1494, 1452, 1406, 1279, 1253, 1230, 1170, 1107, 1072, 1040, 934, 792, 763, 702, 639, 582.

(Ацетилацетонато- $\kappa^2 O, O$ )(10-окса-7,13-дитианонадекан- $\kappa S$ ,  $\kappa O$ ,  $\kappa S$  )никель(II) трифлат (VIIIc). К раствору лиганда VIIIa (0.24 мл, 0.75 ммоль) в 2 мл CH<sub>2</sub>Cl<sub>2</sub> добавили 2.3 мл раствора Ni(acac)<sub>2</sub> (0.75 ммоль) в  $CH_2Cl_2$ . Затем к полученной смеси по каплям добавляли 2.7 мл раствора (0.28 М, 2.5 об. %) HCF<sub>3</sub>SO<sub>3</sub> (0.75 ммоль) в CH<sub>2</sub>Cl<sub>2</sub>. Peакционную смесь перемешивали 2.5 ч при комнатной температуре, после чего упарили до V = 2 - 3 мл. К реакционной смеси добавили 15 мл Et<sub>2</sub>O и полученную смесь убрали на 12 ч в морозильную камеру  $(-18^{\circ}\text{C})$ , выделенный осадок сушили в вакууме 7 ч (0.6 мм рт. ст.) с получением комплекса VIIIc в виде зеленого порошка  $(0.440 \,\mathrm{r}, 95\%)$ . Рассчитано для  $\mathrm{C}_{22}\mathrm{H}_{41}\mathrm{F}_3\mathrm{NiO}_6\mathrm{S}_3$ : C, 43.08; H, 6.74; S, 15.68. Найдено: C, 43.32; H, 6.81; S, 15.64. ЭСИ-МС (MeCN): m/z 463.19 [M+].  $\Psi\Phi$  (C<sub>2</sub>H<sub>4</sub>Cl<sub>2</sub>):  $\lambda_1 = 245$  нм,  $\varepsilon_1 = 4040$  л моль<sup>-1</sup> см<sup>-1</sup>,  $\lambda_2 = 279$  нм,  $\epsilon_2 = 9340$  л моль<sup>-1</sup> см<sup>-1</sup>,  $\lambda_3 = 310$  нм,  $\varepsilon_3 = 8770 \text{ л моль}^{-1} \text{ см}^{-1}.$  <sup>1</sup>H ЯМР (60 МГц, ДМСО- $d_6$ , 40°С):  $\delta$  5.3 (уш.,  $\Delta v_{1/2} = 40$  Гц,  $CH_3(acac)$ ), 3.42 (т, 6.5 Гц, 4H,  $CH_2O$ ), 2.80–2.10 (M, 8H, CH<sub>2</sub>SCH<sub>2</sub>), 1.75–0.90 (M, 16H, CH<sub>2</sub>), 0.73 (т, 4.7 Гц,  $\tilde{6}$ H,  $\tilde{C}$ H<sub>3</sub>), -12.2 (уш.,  $\Delta v_{1/2} = 50$  Гц, CH(acac)). <sup>13</sup>C{<sup>1</sup>H} ЯМР (15 МГц, ДМСО-d<sub>6</sub>, 40°C): δ 70.99 (c, CH<sub>2</sub>O), 32.33 (c, CH<sub>2</sub>S), 31.56 (c, CH<sub>2</sub>S), 30.08 (c, CH<sub>2</sub>), 28.58 (c, CH<sub>2</sub>), 22.73 (c, CH<sub>2</sub>), 14.59 (с, CH<sub>3</sub>). ИК (КВг таблетка, см<sup>-1</sup>): 3087, 2969, 2927, 2871, 2857, 1495, 1578, 1520, 1468, 1450, 1406, 1279, 1262, 1230, 1170, 1094, 1041, 1025, 934, 874, 864, 802, 764, 686, 673, 659, 641, 588, 582.

#### Каталитические эксперименты

В предварительно прогретый в течение 2 ч при 150°С и охлажденный в атмосфере аргона реакционный термостатируемый сосуд загружали последовательно навеску комплекса никеля, растворитель. Затем насыщали смесь пропиленом и добавляли шприцом раствор диизобутилалюминий хлорида в гексане, при необходимости

вводили воду в качестве промотора микрошприцом. Сосуд закрывали пробкой и при интенсивном встряхивании на автоматическом встряхивателе (или при интенсивном перемешивании шестилепестковым магнитным якорем (типа звезда) на магнитной мешалке) пропускали пропилен поддерживая давление 1 бар. Скорость поглощения пропилена реакционной смесью измеряли с помощью цифрового датчика скорости потока Omron MMC серии D6F (LPG) ("Omron", Япония). Датчик предварительно калибровали с использованием лабораторной волюмометрической установки, полученные данные соответствовали номограмме в паспорте прибора. По окончании опыта реакционную смесь взвешивали, катализатор разлагали водой, отделяли органический слой, который затем сушили над хлористым кальцием, продукты олигомеризации анализировали с помощью ГЖХ и ГЖХ-МС. Расчет процентного содержания димеров проводили по методу внутреннего стандарта, используя факторы отклика для гексена-1, соотношения изогексенов определяли по методу внутренней нормализации, детектор – ДИП. Время удерживания компонентов определяли по стандартам (гексен-1, 4-метилпентен-2 (смесь иис- и транс-изомеров), а также по известным [50] индексам Ковача для полидиметилсилоксановых капиллярных колонок. Для дополнительного подтверждения состава димеров было выполнено выделение продуктов димеризации методом фракционной перегонки, фракция с температурой кипения 50-75°C, содержащая преимущественно смесь изогексенов, была проанализирована методом 13С{1Н} ЯМР. По результатам анализа спектральных данных путем сравнения со спектрами индивидуальных соединения, сообщенных в спектральной базе данных органических соединений (SDBS) Национального института передовых промышленных наук и технологий (Япония) был определен детальный состав продуктов димеризации (мас. %): 3.7% гексен-3(иис + транс), 10.9% гексен-2(транс), 2.8% гексен-2(цис), 36.5% 4-метилпентен-2(mpanc), 5.4% 4-метилпентен-2(uuc), 1.9% 4-метилпентен-1, 28.4% 2-метилпентен-2, 3.5% 2-метилпентен-1, 1.9% 2,3-диметилбутен-2, 4.9% 2,3-диметилбутен-1. Для сравнения оценка по данным ГЖХ: 3.2% гексен- $3(\mu uc + mpahc)$ , 13.9% гексен-2(транс), 2.7% гексен-2(цис), 36.3% **4**-метилпентен-2(*mpaнc*), 5.5% **4**-метилпентен-2(цис), 1.6% 4-метилпентен-1, 27.1% 2-метилпентен-2, 2.7% 2-метилпентен-1, 1.8% 2,3-диметилбутен-2, 5.0% 2,3-диметилбутен-1.

#### Методы анализа

Газо-жидкостную хроматографию (ГЖХ) реакционных смесей проводили на приборе Кристалл 5000 ("Хроматэк", Россия, колонка ВРХ-5, длина колонки 30 м). Хромато-масс-спектрометрию (ГЖХ-МС) образцов осуществляли на приборе QP2010 Ultra ("Shimadzu", Япония, капиллярная колонка GSBP-5MS, длина колонки -30 м). Спектры  ${}^{1}$ H,  ${}^{13}$ C ${}^{1}$ H},  ${}^{31}$ P ${}^{1}$ H},  ${}^{19}$ F ЯМР регистрировали на спектрометре X-Pulse ("Oxford Instruments", Великобритания) при 40°С Для спектров ЯМР <sup>1</sup>Н частота регистрации составляла 59.9 МГц. Химические сдвиги сигналов в спектрах ЯМР относили, используя бензол в качестве внутреннего стандарта. ИК-спектры записывали на спектрометре ФТ-801 ("Инфралюм", Россия).

Дифракционные данные для монокристаллов соединений  ${\bf IIb}\cdot {\sf MeCN}$  и  $[{\sf Ni(MeCN)}_2({\sf H}_2{\sf O})_4]{\sf Br}_2$  ( ${\bf IX}$ ) получены на монокристальном дифракто-

метре D8 VENTURE ("BRUKER", Германия) с детектором PHOTON 100 CMOS с применением монохроматичного  $MoK_{\alpha}$ -излучения,  $\lambda = 0.71073 \, \text{Å}$ . Интенсивности отражений измерены методом φ- и ω-сканирования узких фреймов. Полученные массивы данных обрабатывали в графической оболочке Olex2 [51], кристаллические структуры расшифрованы прямым методом с использованием программы ShelXS [52] и уточнены полноматричным МНК по программе XL [52]. Все неводородные атомы уточнены в анизотропном приближении с помощью программы SHELX [53]. Поправка на поглощение была учтена с применением метода multi-scan по программе SADABS [54]. Кристаллографические данные и детали дифракционных экспериментов приведены в табл. 1. Полные таблицы межатомных расстояний и валентных углов, координаты атомов и параметры атомных смещений депонированы в Кембриджском банке структурных

Таблица 1. Кристаллографические данные и результаты уточнения структуры IIb·MeCN и IX

Соединение	IIb·MeCN	IX
Номер ССDС	2277439	2277438
Брутто-формула	$C_{10}H_{21}NOS_2NiBr_2$	C <sub>4</sub> H <sub>14</sub> N <sub>2</sub> O <sub>5</sub> Ni, 2Br
$M_{ m r}$ , г/моль	453.93	372.70
Сингония, пр. гр.	моноклинная, $P2_1/n$	моноклинная, $P2_1/c$
a, b, c, Å	7.6291(4), 11.1237(7), 20.2361(12)	6.8917(5), 12.4132(10), 7.9148(6)
β, град	99.506(2)	111.252(3)
$\frac{V, \text{Å}^3}{Z}$	1693.73(17)	631.05(8)
Z	4	2
ρ(выч.), г/см <sup>3</sup>	1.780	1.961
μ, мм <sup>-1</sup>	6.096	7.858
Излучение λ, Å	$MoK_{\alpha}$ (0.71073)	$MoK_{\alpha}(0.71073)$
Температура, К	273(2)	100(2)
F(000)	904	364
Размер кристалла, мм	$0.60 \times 0.19 \times 0.17$	$0.60 \times 0.55 \times 0.50$
Область сканирования по 20, град	2.73-30.18	3.17-30.07
Диапазон индексов <i>hkl</i>	$-10 \le h \le 10$ $-15 \le k \le 15$ $-24 \le l \le 28$	$-9 \le h \le 9$ $-17 \le k \le 17$ $-10 \le l \le 11$
$N_{hkl}$ измеренных/независимых	$[R_{\text{int}} = 0.1124, R_{\text{sigma}} = 0.0833]$	$[R_{\text{int}} = 0.0760, R_{\text{sigma}} = 0.0547]$
Число уточняемых параметров	157	64
Добротность по $F^2$	1.009	1.078
$R_1/wR_2 [I \ge 2\sigma(I)]$	0.0523/0.1018	0.0678/0.1948
$R_1/wR_2$ (по всем отражениям)	0.0895/0.1193	0.0732/0.2033
Полнота сборки, %	99.9	99.5
Остаточная электронная плотность $(max/min)$ , $e/Å^3$	0.95/-1.08	1.76/-2.25

данных (CCDC №2 277439, № 2277438; https://www.ccdc.cam.ac.uk/structures/).

Структуры исследованных соединений оптимизировали в рамках программного пакета ORCA [55, 56] (версия 5.0.3) в приближении DFT-BP86 [57, 58] с помощью алгоритма RI (resolution of the identity approximation) [59] и учетом дисперсионных поправок по методу Гримме (D3BJ) [60, 61], а также (в зависимости от задачи) с учетом растворителя диметилсульфоксида (ДМСО) или окружения полярного кристалла ( $\varepsilon = \infty$ ) в рамках модели СРСМ. Для расчетов оптимальной геометрии использовали базисные наборы Карлсруэ [62, 63] def2-SVP (C, H, O, F), def2-TZVP (S, Br, Ni). Применимость функционала ВР86 для предсказания структур соединений переходных металлов хорошо известна [64-70].

#### РЕЗУЛЬТАТЫ И ИХ ОБСУЖДЕНИЕ

Синтез дибромидных комплексов никеля(II)

При взаимодействии в метаноле безводного дибромида никеля(II) с эквивалентным количеством оксадитиоэфирного лиганда (Ia—VIIa) были синтезированы комплексы никеля Ib—VIIb (схема 1) в виде порошков желтого цвета. Новые металлокомплексы охарактеризованы методами ЯМР-, ИК-спектроскопии, ЭСИ-МС и элементного анализа. При использовании SOS-лиганда с *н*-гексильным заместителем у атома серы (VIIIa) выделить Ni(VIIIa)Вг<sub>2</sub> в чистом виде не удалось.

Для **IIb** в форме моносольвата (MeCN) был получен пригодный для анализа монокристалл и определена кристаллическая и молекулярная структура по данным PCA. Обсуждаемое соединение кристаллизуется в пространственной

группе  $P2_1/n$  моноклинной сингонии. В комплексе **IIb**·MeCN (рис. 1) атом Ni(II) координирован лежащими в вершинах искаженного октаэдра двумя аксиально расположенными атомами брома, одним атомом кислорода и двумя атомами серы оксадитиоэфирного лиганда в меридиональной конфигурации, а также атомом азота ацетонитрила. Выходы атомов серы (S1 и S2) из усредненной по методу наименьших квадратов плоскости N1-Ni1-S1-O1-S2 не превышают 0.116 Å, а угол между обсуждаемой плоскостью и плоскостью Br1-Ni1-Br2 близок к прямому (89.59°). Аналогичный тип меридиональной конформации оксадитиоэфирного лиганда по данным рентгеноструктурного анализа (РСА) сообщали для хлоридного комплекса хрома(III) Cr(IIa)Cl<sub>3</sub> [40], в тоже время для хлоридных комплексов палладия(II) наблюдалось [47] образование биядерных комплексов состава  $[Pd(\mu-\kappa^2S,S-IVa)Cl_2]_2$ .

Для структуры **IIb**·MeCN можно отметить, что два *транс*-расположенных атома Br образуют с никелем валентный угол близкий к 180°  $(178.34(2)^{\circ})$ , а  $\angle S2-Ni1-S1$  сжат до  $162.89(4)^{\circ}$ . Это коррелирует с отклонением от идеального значения (90°) углов захвата двух хелатных колец O-Ni-S в среднем до 82.66°. При этом валентные углы S-Ni-N нехелатных фрагментов превышают 90° и составляют в среднем 97.41°. Обращают на себя внимание длины связей Ni1-S1 и Ni1-S2, равные 2.4462(10), 2.4456(10) Å соответственно. Они оказываются несколько длиннее расстояния, рассчитанного из ковалентых радиусов Ni и S (2.29 Å) [71]. Как видно из сравнения с литературными данными, для комплексов никеля(ІІ) с макроциклическими лигандами (табл. 2), содержащими аналогичные оксадитиоэфирные структурные фрагменты, расстояние Ni-S в IIb·MeCN действительно

R S O S R + NiBr<sub>2</sub>

Ia-VIIa

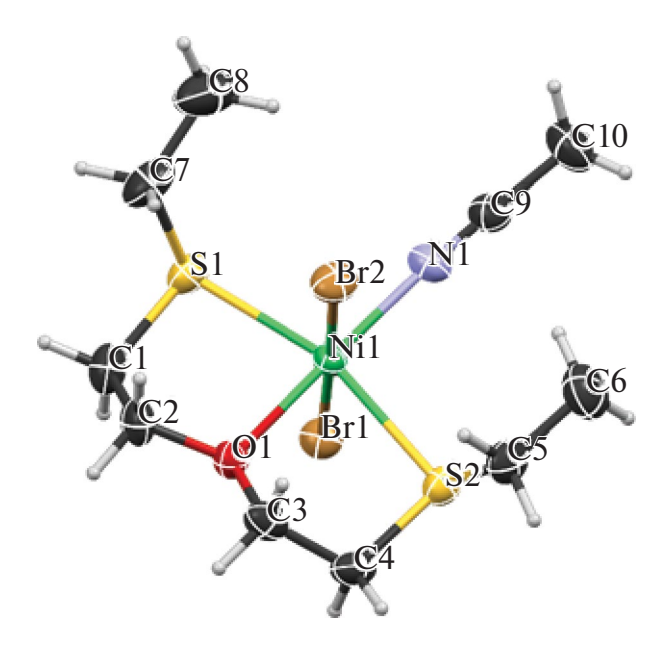
R = Me (Ia), Et (IIa), 
$$n$$
-Pr (IIIa),  $i$ -Pr (IVa),  $n$ -Bu (VIa)

Bn (VIIa)

R = Me (Ib), Et (IIb),  $n$ -Pr (IIIb),  $i$ -Pr (IVb),  $n$ -Bu (Vb),  $i$ -Bu (Vb),  $i$ -Bu (VIb)

Bn (VIIb)

Схема 1. Схема синтеза, нумерация лигандов и соответствующих бромидных комплексов никеля(II).



**Рис. 1.** Молекулярная структура комплекса **IIb**·MeCN по данным PCA, тепловые эллипсоиды 50%-ной вероятности.

удлинено по сравнению с типичными значениями. Однако, например, в кристаллических структурах  $\mathit{buc}(1,5\text{-дитиациклооктан})$ никель(II) хлорида ( $\mathit{l}(\text{Ni-S})_{\text{сp}} = 2.488 \text{ Å})$  [72] и в [Ni(L¹)Cl] [BF<sub>4</sub>] ( $\mathit{l}(\text{Ni-S})_{\text{сp}} = 2.451 \text{ Å}, L¹ = 5\text{-okca-}2,8\text{-дитиа}[9](2,9)-1,10\text{-фенантролинофан}) [46] длины связей <math>\mathit{l}(\text{Ni-S})_{\text{сp}}$  близки к таковым в IIb·MeCN. Значение длины связи  $\mathit{l}(\text{Ni1-O1}) = 2.106(2) \text{ Å}$  в IIb·MeCN типично (табл. 2).

Квантово-химические расчеты равновесной геометрии для модели молекулы **IIb**·MeCN (BP86-D3/def2-TZVP/CPCM) с использованием стартовой геометрии металлокомплекса из данных PCA показали хорошую сходимость полученных геометрических параметров координационного полиэдра для высокоспиновой кон-

фигурации молекулы (S=1):  $l(\text{Ni-S})_{\text{cp}}=2.410~\text{Å}$   $(\delta_l=1.2\%)$ , l(Ni-O)=2.122~Å  $(\delta_l=0.8\%)$ . Расчет геометрии для синглетного состояния (S=0) обсуждаемой молекулы продемонстрировал сжатие длин связей Ni–S в среднем до 2.245 Å (l(Ni-O)=2.255~Å), а также диссоциацию ацетонитрильного лиганда l(Ni-N)=3.713~Å с образованием пятикоординационного центрального иона, не наблюдаемого в результатах PCA. В энергетическом смысле состояние молекулы IIb·МеCN со спином S=1 по DFT-расчетам выгоднее на  $\Delta G^\circ_{298}=12.1~\text{ккал/моль}$ .

Данные, полученные методами  ${}^{1}$ Н и  ${}^{13}$ С{ ${}^{1}$ Н} ЯМР спектроскопии (см. Экспериментальную часть, а также файл с дополнительной информацией к статье) для соединений **Ib-VIIb** в ДМСО-d<sub>6</sub>, не противоречат структуре, представленной на схеме 1. Отнесение сигналов в ряде случаев дополнительно подтверждено <sup>1</sup>H-<sup>1</sup>H COSY и <sup>13</sup>C DEPT-135 экспериментами. Во всех спектрах <sup>1</sup>Н ЯМР **Ib-VIIb** наблюдается триплет с J = 6.1-6.6 Гц в области 3.5-3.6 м. д., который характеризует четыре атома водорода мостиковой эфирной группы –СН<sub>2</sub>ОСН<sub>2</sub>–. Сигналы от атомов водорода структурного фрагмента – SCH<sub>2</sub>— проявляются группой мультиплетов в диапазоне 2.1-2.9 м. д. Резонансы в спектрах ЯМР уширены вследствие парамагнетизма иона Ni(II), а также возможного наличия изомерных форм, отличных от структуры на рис. 1. Как видно из рис. 2 (показано на примере IIb), в растворе ДМСО для каждого из соединений **Ib-VIIb** можно представить 32 изомера, которые различаются ориентацией группы -S-R (инвертомеры), атомов Вг в октаэдрической структуре центрального атома (в цис- или транс-положении), меридиональным или фасциальным расположением SOS-атомов оксадитиоэфирного лиганда,

**Таблица 2.** Длины связей Ni-S и Ni-O в некоторых комплексах никеля

Комплекс*	l(Ni-S), Å	l(Ni-O), Å	Ссылка
[Ni(9S <sub>2</sub> O) <sub>2</sub> ][BF <sub>4</sub> ] <sub>2</sub>	2.370(2), 2.396(4)	2.396(4)	[45]
[Ni(18S <sub>4</sub> O <sub>2</sub> )][BF <sub>4</sub> ] <sub>2</sub>	2.360(3), 2.403(3), 2.384(3), 2.386(3)	2.067 (7), 2.072(7)	[45]
[Ni(10S <sub>2</sub> O)][ClO <sub>4</sub> ] <sub>2</sub>	2.353(2), 2.390(2)	2.115(5)	[44]
[Ni(L1)C1][BF <sub>4</sub> ]	2.4371(13), 2.4633(13)	2.159(3)	[46]
[(C <sub>5</sub> Me <sub>5</sub> )Fe( <i>t</i> -CO)(L <sup>2</sup> )- Ni(dppe)][PF <sub>6</sub> ]	2.2508(16, 2.2371(15), 2.3884(16), 2.2465(16)	2.345(4), 2.345(4)	[98]

 $<sup>^*9</sup>S_2O-1$ -окса-4,7-дитиациклононан;  $18S_4O_2-1$ ,10-диокса-4,7,13,16-тетратиацикло-октадекан;  $10S_2O-1$ -окса-4,8-дитиациклодекан;  $L^1-5$ -окса-2,8-дитиа[9](2,9)-1,10-фенантролинофан);  $L^2-\mu^1\varkappa^2SS:2\varkappa^3SSO-\{O(CH_2CH_2S)_2\};$   $C_5Me_5-1$ ,2,3,4,5-пентаметилциклопентадиенил.

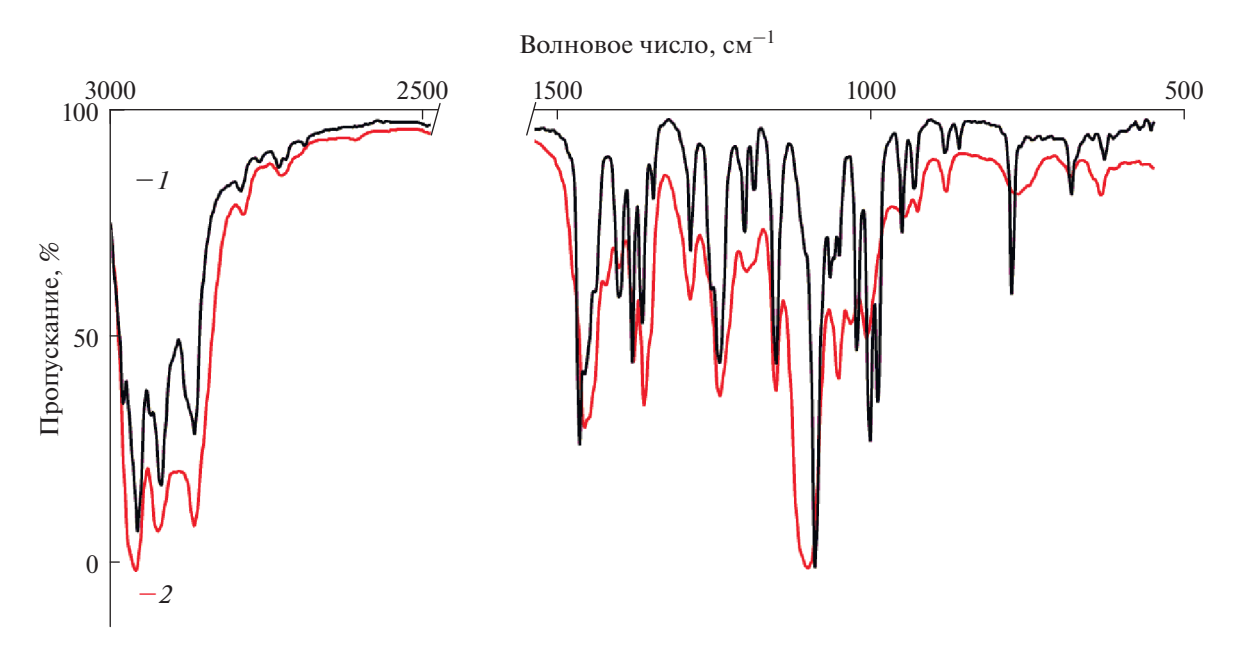
а также триплетным или синглетным электронным состоянием иона Ni(II). Среди них по данным DFT-расчетов для  $\mathbf{IIb}$  энергетически более устойчивыми являются изомеры со спином S=1 в меридиональной конфигурации (рис. 2a).

Анализ комплексов методом ЭСИ-МС показал наличие интенсивных молекулярных пиков с массово-зарядовыми отношениями, которые могут быть отнесены к моноядерным комплексным катионам типа  $[M-Br]^+$  в растворе, соот-

**Рис. 2.** Возможные изомеры для **IIb** в растворе ДМСО с "меридиональным" (а) или "фасциальным" (б) расположением SOS-атомов оксадитиоэфирного лиганда; L — молекула ДМСО; для молекул **IIb** с S = 0 наблюдается диссоциация ДМСО из координационной сферы переходного металла;  $\Delta G^{\circ}_{298}$  оценено по данным DFT с использованием дискретно-континуальной модели для растворителя (BP86-D3/def2-TZVP, CPCM).

ношение интенсивностей пиков соответствует природному соотношению изотопов Ni [73], дополнительное расщепление спектральных линий обусловлено изотопами Br (см. файл с дополнительной информацией к статье). Однако, например, в масс-спектре комплекса **IVb** также присутствуют минорные пики, которые могут быть отнесены к координационным димерам (для  $[(\mathbf{IVb})_2 - \mathbf{Br}]^+ m/z = 800.85$ ) и более тяжелым олигомерам.

Весьма информативными являются данные ИК-спектроскопии для обсуждаемых металлокомплексов. Особенности ИК-спектров для **Ib**—**VIIb** рассмотрим на примере комплекса **IVb** с изопропильным заместителем в боковой цепи лиганда в сравнении с ИК-спектром исходного лиганда **IVa** (рис. 3). В области 3000-2800 см<sup>-1</sup> наблюдаются полосы валентных колебаний С-Н-связей СН<sub>3</sub>-, СН<sub>2</sub>- и СН-групп. В спектре **IVa** валентные антисимметричные С-H-колебания СН<sub>3</sub>- и ОСН<sub>2</sub>-групп проявляются полосой 2960 см $^{-1}$ , а SCH $_2$ -групп — уширенной полосой 2924 см<sup>-1</sup>. Повышенные значения частоты колебаний метильных групп обусловлены влиянием атома серы, которое существенно ослабевает по мере увеличения длины цепи (табл. 3). К колебаниям С-Н-связей в СН-фрагменте изопропилового заместителя можно отнести плечо 2897 см-1. Симметричным С-Н-колебаниям в этих группах соответствует полоса 2866 см-1. При координации лиганда атомом никеля затрудняется свободное вращение лиганда, поэтому наблюдается смещение полосы  $v_{as}(C-H \text{ от } CH_3)$  в область больших частот и ее расшепление на две полосы  $2978 \text{ и } 2965 \text{ см}^{-1}$ , при этом наблюдаемая полоса на 2956 см $^{-1}$  относится к  $v_{as}(C-H)$  от  $OCH_2$ ). Этот эффект пропадает с увеличением длины цепи заместителя (табл. 3). Антисимметричные колебания SCH<sub>2</sub>-групп в таком случае соответствуют двум полосам двумя полосами 2935 и 2919 см<sup>-1</sup>. Симметричные же колебания  $v_s(C-H)$  в этих группах также реагируют на координацию к металлу, однако не столь сильно, поэтому в спектре это проявляется появлением плеч при 2880 см-1 и при 2874 см<sup>-1</sup> на полосе 2866 см<sup>-1</sup>. В ИК-спектре **IVa** присутствует плечо при 1477 см<sup>-1</sup> и широкая полоса 1460 см<sup>-1</sup>, соответствующие деформационным ножничным колебаниям ОСН2-групп. При координации к атому металла происходит существенное увеличение интенсивности первой, и в спектре регистрируются две полосы 1469 и 1460 см-1 (рис. 3). Ножничные деформационные колебания  $SCH_2$ -групп находятся ниже по частоте благодаря соседству с тяжелым атомом серы и проявляются в спектре свободного лиганда полосами 1427 и 1405 см-1. При образовании комплекса никеля с І Ра интенсивность этих полос колебаний существенно возрастает, а частота снижается, что приводит к их вырождению в одну уширенную полосу  $1405 \text{ см}^{-1}$ . Также в спектре оксадитиоэфира IVa наблюдается самая интенсивная полоса от валентных антисимметричных колебаний С-О-С-связей с частотой 1103 см-1. Смещение этой полосы в спектре комплекса до 1092 см-1



**Рис. 3.** ИК-спектры: 1 — комплекса **IVb** (таблетка, KBr), 2 — свободного лиганда **IVa** (тонкая пленка, KBr).

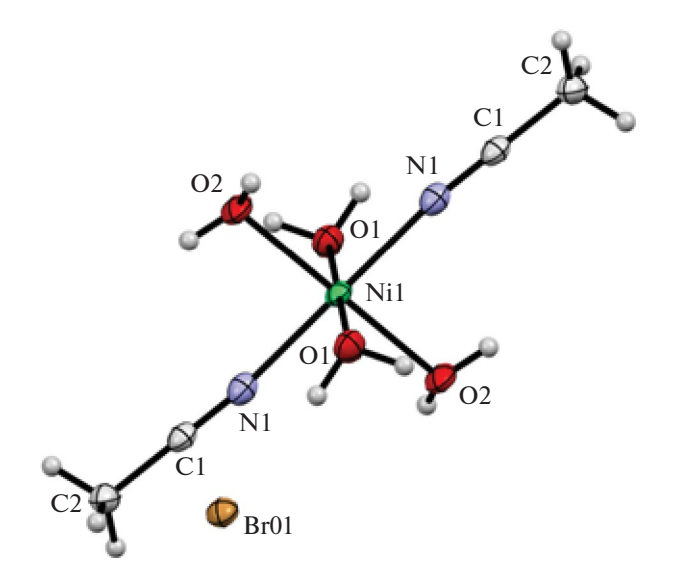
Лиганд	$v_L$ , cm <sup>-1</sup>	Комплекс	$v_c$ , cm <sup>-1</sup>	$\Delta v_{\rm cp}, { m cm}^{-1}$
Ia	2973	Ib	2996, 2976	12
IIa	2963	IIb	2982, 2969	13
IIIa	2960	IIIb	2961	1
IVa	2959	IVb	2979, 2964	12
Va	2956	Vb	2957	1
VIa	2956	VIh	2974, 2961	10

**Таблица 3.** Характерное смещение полос  $\nu_{as}(C-H \text{ от } CH_3$ -групп) при координации оксадитиоэфиров к атому никеля

однозначно подтверждает координацию лиганда к металлу через атом кислорода. Интересно отметить, что в спектре комплекса **IVb** проявляется плечо при  $1109 \text{ cm}^{-1}$ , которое было скрыто за интенсивной полосой  $v_{as}(C-O-C)$  свободного дитиоэфира. Детальный анализ, в том числе на основании DFT-моделей, позволяет отнести его к крутильным колебаниям  $SCH_2$ -групп. Кроме того, наблюдаемые полосы симметричных валентные колебания C-O-C-связей также чувствительны к координации лиганда металлом: относительно слабая полоса  $1035 \text{ cm}^{-1}$  возрастает по интенсивности и смещается в спектре комплекса **IVb** в область низких частот (на  $10 \text{ cm}^{-1}$ ).

Полоса  $1055 \text{ см}^{-1} \text{ в спектре Iva}$ , относящаяся к деформационным колебаниям метильных групп  $\delta$ (HCH от CH<sub>3</sub> в i-Pr), сопряженных со скелетные колебания  $\nu(C-C-C \text{ в } i\text{-Pr})$ , в спектре комплекса расшепляется на 1067, 1061 и 1053 см $^{-1}$ . Кроме того, в данной области спектра регистрируются полосы валентных колебаний С-С-связей с различным участием в них сопряженных валентных колебаний С-Ои C-S-связей. Если для свободного лиганда эти колебания проявляются полосой  $1010 \text{ см}^{-1}$ , то при координации к металлу вырождение снимается и наблюдаются две полосы  $\nu(C-C)$ :  $1004 \text{ см}^{-1} \text{ с вкладом } \nu(\text{C-O})$  и  $991 \text{ см}^{-1} \text{ с вкладом}$ ν(C-S). Скелетные колебания всей основной цепи  $S(CH_2)_2O(CH_2)_2S$  проявляются в спектре оксадитиоэфира полосой 949 см $^{-1}$ . В спектре **IVb** помимо полосы 953 см-1 этих колебаний следует отметить появление еще одной полосы 862 см<sup>-1</sup>, обусловленной образованием циклических структур при координации к металлу. Скелетным колебаниям боковой цепи, т.е. изопропильного фрагмента, соответствует полоса около 883 см-1. Полосы  $928 \text{ см}^{-1}$  (спектр лиганда) и  $933 \text{ см}^{-1}$ (спектр комплекса) относятся к деформационным маятниковым колебаниям метильных групп. Интересно отметить, что широкая полоса на

768 см-1 маятниковых колебаний метиленовых групп свободного лиганда в спектре комплекса регистрируется узкой интенсивной полосой 777 см<sup>-1</sup>, что объясняется образованием жесткой структуры.-Важными для анализа в спектре **IVa** являются полосы валентных антисимметричных  $(696_{\text{плечо}}$  и  $683~\text{см}^{-1})$  и симметричных  $(644_{\text{плечо}})$ и  $635 \text{ см}^{-1}$ ) колебаний связей C-S-C. При координации лиганда к переходному металлу эти полосы проявляются  $v_{as}(C-S-C)$  на 682 и 673<sub>плечо</sub> см<sup>-1</sup>, а  $v_s(C-S-C)$  — на 648 и 629 см $^{-1}$ . Такое смещение  $\Delta v$  для данной области спектра считается сильным и подтверждает координацию дитиоэфиров к металлическому ядру через атомы серы. Отмеченные выше изменения в ИК-спектре **IVb** характерны для всего ряда обсуждаемых соединений. Основные различия при сравнении между собой спектров полученных комплексов обусловлены колебаниями структурных фрагментов в заместителе при атоме серы. Таким образом, анализ данных ИКС для **Ib-VIIb** под-



**Рис. 4.** Молекулярная структура комплекса **IX** по данным PCA, тепловые эллипсоиды 50%-ной вероятности.

тверждает образование хелатных структур с тридентатнокоординированными оксадитиоэфирными лигандами.

Комплексы **Ib–VIIb** являются гигроскопичными. При хранении в виалах на воздухе растворов комплексов в ацетонитриле происходит замещение оксадитиоэфирного лиганда молекулами воды с образованием по данным PCA *mpaнc*-[Ni(MeCN)<sub>2</sub>(H<sub>2</sub>O)<sub>4</sub>]Br<sub>2</sub> (**IX**) (рис. 4). Структурные параметры **IX** идентичны с аналогичным комплексом, полученным авторами работы [74] из NiBr<sub>2</sub>.

## Синтез катионных ацетилацетонатных комплексов никеля(II)

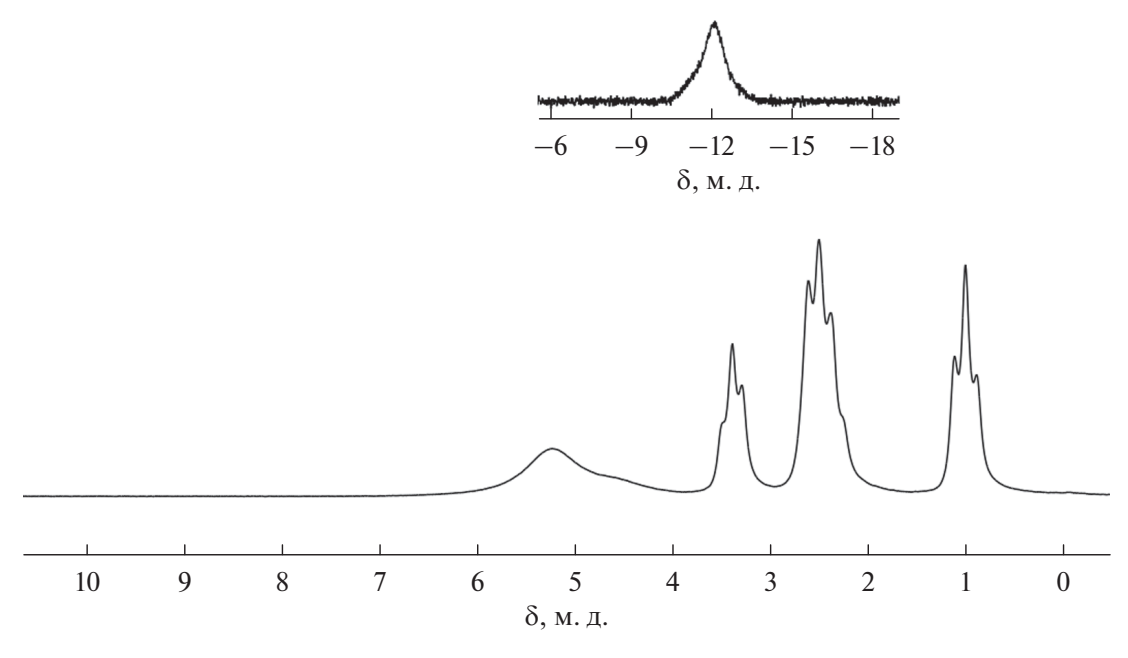
Комплексы **Ic–VIIIc** были получены в виде зеленых порошков взаимодействием в хлористом метилене безводного бис (ацетилацетонато) никеля (II) с эквивалентными количествами оксадитиоэфирного лиганда (**Ia–VIIIa**) с последующим протолизом асас-лиганда трифторметансульфокислотой (схема 2). Новые вещества были охарактеризованы методами ЯМР-, ИК-спектроскопии, ЭСИ-МС и элементного анализа. В отличие от аналогичных бромидных комплексов, соединения **Ic–VIIIc** при хранении на воздухе образуют устойчивые кристаллогидраты, из которых вода может быть удалена сушкой при пониженном давлении.

Данные, полученные методами <sup>1</sup>H, <sup>19</sup>F и <sup>13</sup>C{<sup>1</sup>H} ЯМР спектроскопии для **Ic**–VIIIc в ДМСО-d<sub>6</sub>, соответствуют структуре, представленной на схеме 2. Аналогично ситуации с бромидными комплексами, сигналы в спектрах ЯМР уширены и смещены вследствие парамагнитизма, обусловленного наличием иона Ni(II). Стоит отметить, что по данным DFT-расчетов в растворе ДМСО 24 возможных изомеров

для ІІс энергетически более устойчивыми (как и лля **IIb**) являются изомеры со спином S=1в меридиональной конфигурации. Для примера на рис. 5 представлен протонный ЯМР 1Н спектр комплекса Ис. Триплет с химическим сдвигом 3.39 м. д. соответствует группе СН<sub>2</sub>О, сигналы, расположенные на 2.52, 2.41 и 1.01, характерны для СН<sub>2</sub>S (который частично перекрывается с ДМСО) и СН<sub>3</sub>-групп соответственно. Существенно уширенные резонансы на 5.3  $(\Delta v_{1/2} = 45 \ \Gamma \text{ц})$  и -12.1 м. д  $(\Delta v_{1/2} = 54 \ \Gamma \text{ц})$  характеризуют протоны СН<sub>3</sub>- и СН-групп ацетилацетонатного лиганда (в 13С спектрах не наблюдались). Такое положение сигналов для ацетилацетонатного лиганда в высокоспиновых комплексах никеля(II) является характерным. В работе [75] представлены экспериментальные значения  $\delta(CH_3) = 5$  и  $\delta(CH) = -12$  м. д. для асас-фрагмента в mpanc-[Ni(acac)<sub>2</sub>(NH<sub>3</sub>)<sub>2</sub>], которые авторами [75] были надежно отнесены с использованием расчетов на уровне NEVPT2/ /DFT(PBE0). Сигналы в спектрах <sup>1</sup>H и <sup>13</sup>C ЯМР для других впервые синтезированных комплексов никеля приведены в табл. 4. Анализ комплексов методом ЭСИ-МС в режиме регистрашии положительных ионов показал наличие в растворе интенсивных молекулярных пиков с массово-зарядовыми отношениями, характерными для моноядерных комплексных катионов типа [М]+.

Анализируя данные ИК-спектроскопии катионных комплексов никеля, можно отметить смещение полос валентных колебаний v(C-O-C) и v(C-S-C) в область низких частот по сравнению с их положением в свободном оксадитиоэфире. Это указывает на координацию лиганда никелем через атомы кислорода и серы. Кроме того, наблюдаются две полосы v(C=O и C=C) около 1590 и 1515 см $^{-1}$  от ацетилацетонатного

Схема 2. Схема синтеза, нумерация лигандов и соответствующих ацетилацетонатных комплексов никеля(II).



**Рис. 5.**  $^{1}$ Н ЯМР спектр комплекса **Ис** (растворитель — ДМСО- $d_{6}$ ).

**Таблица 4.** Наблюдаемые химические сдвиги в спектрах  ${}^{1}$ Н и  ${}^{13}$ С ${}^{1}$ Н ${}^{13}$ Р для соединений **Ic–VIIIc** 

Фрагмент	Ic	IIc	IIIc	IVc	Vc	VIc	VIIc	VIIIc
				δ <sub>Н</sub> , м. д.				
$-C_6H_5$	-	_	_	_	_	_	7.07	
-CH <sub>3</sub> (acac)	5.4*	5.3*	5.3*	5.3*	5.2*	5.2*	5.2*	5.3*
-CH <sub>2</sub> O-	3.50	3.39	3.42	3.39	3.34	3.34	3.26	3.42
-CH <sub>2</sub> S-	2.61	2.52	2.57	2.53	2.43	2.44	2.33	2.80-2.10
-СН-	_	_	_	2.74	_	1.52	_	_
-СH <sub>2</sub> -	_	2.41	2.45, 1.41	_	2.36, 1.22	2.27	3.55	1.75-0.90
-CH <sub>3</sub>	2.12	1.01	0.84	1.06	0.68	0.9-0.5	_	0.73
-CH- (acac)	-12.1*	-12.1*	-12.0*	-12.2*	-12.2*	-12.1*	-12.3*	-12.2*
				$\delta_{\mathrm{C}}$ , м. д.				
-C <sub>6</sub> H <sub>5</sub>	_	_	_	_	_	_	129.25, 128.74, 127.21	_
-CH <sub>2</sub> O-	70.86	70.94	70.91	71.26	70.47	70.91	70.20	70.99
-CH <sub>2</sub> S-	33.34	30.99, 26.04	34.29, 31.39	30.36	31.75, 31.34	41.43, 32.00	35.93, 30.73	32.33, 31.56
-СН-	_	_	_	35.37	_	28.94	_	_
-CH <sub>2</sub> -	_	_	23.38	_	30.88, 21.48	_	_	30.08, 28.58, 22.73
-CH <sub>3</sub>	15.76	15.74	13.88	24.45	13.65	22.39	_	14.59

<sup>\*</sup>Сигналы уширены ( $\Delta v_{1/2}(CH) = 34-60~\Gamma$ ц,  $\Delta v_{1/2}(CH_3) = 37-45~\Gamma$ ц), в большинстве случаев сигналы соответствующих фрагментов в спектрах  $^{13}$ С $\{^{1}$ H $\}$  ЯМР не наблюдались.

лиганда в хелатной форме. В качестве косвенного подтверждения наличия положительного заряда на атоме никеля может выступать более сильное смещение полосы  $\nu_{as}(C{-}O{-}C)$  в область более низких частот. Так, например, эта полоса в спектре **IVb** находится на  $1092 \text{ см}^{-1}$ , а в спектре комплекса **IVc** регистрируется на 1076 см<sup>-1</sup>. Также в спектрах регистрируются полосы аниона, отнесение которых выполнено в соответствии с литературными данными [76]; полосы (см-1) 1267  $\nu_{as}(SO_3)$ , 1243 (плечо)  $\nu_{s}(CF_3)$ , 1177  $\nu_{as}(CF_3)$ ; 1040  $\nu_s(SO_3)$ , 761  $\delta_s(CF_3)$ , 637  $\delta_s(SO_3)$  и  $581 \, \delta_{as}(CF_3)$  практически не изменяют своего положения и формы, что подтверждает отсутствие координации аниона к металлу. Таким образом, комплексы никеля Ic-VIIIc в кристаллической форме наиболее вероятно имеют пятикоординационную структуру.

#### Олигомеризация пропилена

Комплексы никеля **Ib—VIIb** и **Ic—VIIIc** были протестированы в качестве предшественников катализаторов олигомеризации пропилена при использовании избытка диизобутилалюминийхлорида в качестве сокатализатора. В серии предварительных экспериментов было установлено отсутствие каталитической активно-

сти в олигомеризации пропилена в отдельности каждого комплекса и  $Al(i-Bu)_2Cl$ . Катализаторы на основе соединений Ni(II) и алюминийорганических соединений являются активными в олигомеризации пропилена, а также в геометрической и позиционной изомеризации первичных продуктов олигомеризации. Если рассматривать процесс олигомеризации в рамках гипотезы гидридного механизма [4, 13, 30], то димеры пропилена можно разделить на первичные продукты и их изомерные формы (схема 3). При температуре синтеза 25°C, независимо от природы оксадитиоэфирного лиганда при никеле в **Ib-VIb**, состав продуктов олигомеризации представлен от 73 до 81% димерами пропилена, преимущественно метилпентенами (60-72%) и линейными гексенами (22-33%) (табл. 5). Следовательно, природа лиганда при Ni не оказывает существенного влияния на механизм димеризации пропилена, а основные структурные элементы каталитически активных комплексов, формируемых при взаимодействии компонентов, близки. При этом довольно высока степень изомеризации с образованием главным образом 2-метилпентена-2 и гексена-3. Так, соотношение нормальных гескенов близко к термодинамически равновесному [77] (типичный состав

Схема 3. Маршруты синтеза димеров пропилена в присутствии катионных никелевых катализаторов гидридного типа, анион опущен.

фракции димеров см. в экспериментальной части). В сравнимых условиях синтеза доля димеров в реакционной смеси падает с ростом числа оборотов катализатора (табл. 5, строки 1—6), что обусловлено ростом концентрации изогексенов в смеси и увеличением доли вторичных процессов содимеризации.

Наилучшие результаты по производительности (*TON* до 365900) и максимальной частоте оборотов катализатора были получены для **Vb** (табл. 5, строки 5, 8—18). Комплекс **VIIb** не активен в олигомеризации пропилена, предположительно из-за плохой растворимости в 1,2-дихлорэтане. Комплексы с нормальными алкильными заместителями при атоме серы демонстрируют близкую среднюю каталитическую активность (табл. 5, строки 1, 2, 4, 6), но отличаются по производительности. Необходимо указать,

что в данной серии экспериментов время олигомеризации было ограничено  $TOF < 400 \text{ мин}^{-1}$ (объемная скорость поглощения пропилена средой — менее 40 мл/мин), после чего подача пропилена в реактор прекращалась. Также было исследовано влияние температуры и количества сокатализатора. При отношении Al/Ni < 70 каталитическая система малоактивна, увеличение отношения до 300 способствует резкому возрастанию каталитической активности; дальнейшее повышение концентрации диизобутилалюминийхлорида не приводит к росту производительности. Катализаторы эффективны вплоть до температуры 25°C, затем их производительность драматически падает, что можно объяснить влиянием двух факторов — существенным ухудшением растворимости пропилена в органическом растворителе [30], а также возможным восстановлением никеля до элементарного [78].

**Таблица 5.** Результаты низкомолекулярной олигомеризации пропилена в присутствии каталитических систем состава  $Ib-VIIb/mAl(i-Bu)_2Cl^*$ 

			(3.12)	<i>T</i>			TOE	$A_{cn} \times$	п	Соста	в димеј	ров, %
№	Cat	[Al] <sub>0</sub> : [Ni] <sub>0</sub>	$n(\mathrm{Ni}),$ мкмоль	<i>T</i> , °C	<i>t</i> , мин	TON	$TOF_{\max}$ , мин $^{-1}$	$A_{\rm cp} \times 10^{-3} $ $_{\rm Y} = 1$	Д, мас. %	Γ	МΠ	ДМБ
1	Ib	300	4	25	50	106300	2680	92	77.3	24.2	66.6	9.2
2	IIb	300	4	25	30	56500	3030	81	79.9	31.7	58.9	9.4
3	IIIb	300	4	25	40	102400	2860	110	77.3	26.8	64.9	8.3
4	IVb	300	4	25	60	51800	1350	37	83.1	27.7	65.7	6.6
5	Vb	300	4	25	80	192300	2700	103	74.8	27.2	65.1	7.7
6	VIb	300	4	25	50	63200	2240	54	80.6	27.0	66.4	6.6
7	VIIb	300	4	25	20	0	_	_	_	_	_	_
8	Vb	300	4	15	60	165500	4180	119	82.3	27.8	67.0	5.2
9	Vb	300	4	35	40	26200	950	28	80.1	25.9	69.3	4.8
10	Vb	300	4	40	20	0	_	_	_	_	_	_
11	Vb	70	4	25	20	21400	1220	46	80.6	26.3	68.3	5.4
12	Vb	150	4	25	25	59500	3710	102	75.8	22.3	72.0	5.9
13	Vb	500	4	25	40	120800	4690	130	72.6	25.2	64.9	9.9
14	Vb	750	4	25	60	100000	2700	72	79.7	26.3	66.7	7.0
15	Vb	400	3	25	100	365900	4840	157	78.2	32.7	60.5	6.8
16	Vb	600	2	25	90	275600	4900	132	78.2	27.1	63.1	9.8
17	Vb	600	2	15	110	341700	5100	134	82.9	24.0	67.5	8.5
18	Vb	1200	1	25	60	261900	5480	188	73.3	15.5	81.7	2.8

<sup>\*</sup>Условия реакции: растворитель — 1,2-дихлорэтан,  $V_0 = 10$  мл,  $P(C_3H_6) = 1.2$  бар, на 2 минуте синтеза введен промотор —  $H_2O(0.8 \text{ мкл}, [H_2O]_0/[\text{Ni}]_0 \approx 10)$ .

Примечание. Сат — предшественник катализатора, TON — число оборотов катализатора (моль  $C_3H_6$ /моль Ni) (определено гравиметрически по увеличению массы реакционной смеси после синтеза),  $TOF_{max}$  — частота оборотов, определенная по максимуму дифференциальной кинетической кривой ((моль  $C_3H_6$  (моль Ni) $^{-1}$  (мин) $^{-1}$ ),  $A_{cp}$  — средняя активность каталитических систем, рассчитанная как отношение массы образовавшегося олигомера ко времени реакции и количеству загруженного соединения переходного металла (( $\Gamma$  олигомеров) ( $\Gamma$  Ni) $^{-1}$  ( $\Gamma$ ),  $\Gamma$ 0 — содержание димеров пропилена в смеси продуктов реакции,  $\Gamma$ 1 — гексены,  $\Gamma$ 3 — метилпентены,  $\Gamma$ 4 — диметилбутены (состав изогексенов оценен по данным  $\Gamma$ 4 в предположении идентичности факторов отклика для изомеров).

**Таблица 6.** Результаты низкомолекулярной олигомеризации пропилена в присутствии каталитических систем состава **Ic–VIIIc**/mAl(*i*-Bu)<sub>2</sub>Cl\*

No	Cat	[A1] · [N];]	n(Ni),	Τ,	t,	TON	$TOF_{\max}$	$A_{\rm cp} \times 10^{-3}$ ,	Д,	Соста	ав диме	еров, %
7,40	Cat	$[Al]_0:[Ni]_0$	МКМОЛЬ	°C	мин	ION	мин-1	y −1	мас. %	Γ	МΠ	ДМБ
1	Ic	300	4	25	8	5700	1540	31	92.4	24.8	67.7	7.5
2	IIc	300	4	25	8	5200	1740	28	91.9	34.7	58.6	6.7
3	IIIc	300	4	25	60	141200	4060	101	73.3	22.8	70.5	6.7
4	IVc	300	4	25	50	90600	2900	78	84.8	40.0	51.7	8.3
5	IVc	300	4	25	8	4400	2710	24	93.2	32.2	59.3	8.5
6**	Vc	300	4	25	60	87500	3280	63	78.4	34.8	53.8	11.4
7	VIc	300	4	25	10	4200	2890	23	93.0	34.1	59.0	6.8
8**	VIc	300	4	25	60	137300	4830	99	76.3	26.1	66.4	7.5
9	VIIc	300	4	25	50	42000	2430	36	83.3	30.7	60.4	8.9
10	VIIIc	300	4	25	100	96400	1400	41	76.4	23.1	66.2	10.7
11	IVc	300	4	15	20	5400	340	12	92.8	34.2	56.4	9.4
12	IVc	300	4	20	120	114800	1400	41	80.4	36.1	56.6	7.3
13	IVc	300	4	35	40	40800	1400	44	84.1	37.0	54.7	8.3
14	VIIIc	300	4	35	50	73500	2410	63	66.7	19.2	69.0	11.8
15	IVc	300	4	40	20	0	_	_	_	_	_	_
16	IVc	70	4	25	30	10700	1540	15	86.3	33.3	58.9	7.8
17	IVc	150	4	25	50	56100	2120	48	82.9	32.4	59.8	7.8
18	IVc	600	4	25	40	69700	2220	75	79.0	33.5	56.5	10.0
19	IVc	1200	4	25	30	10900	970	15	87.1	35.5	53.9	10.6
20	IVc	1000	2	25	120	192900	2030	69	80.6	32.1	58.6	9.3
21	IVc	2500	1	25	50	165500	5790	142	85.1	31.5	59.6	8.9
de W. T.					T.7	10 70	TT \ 1.5					

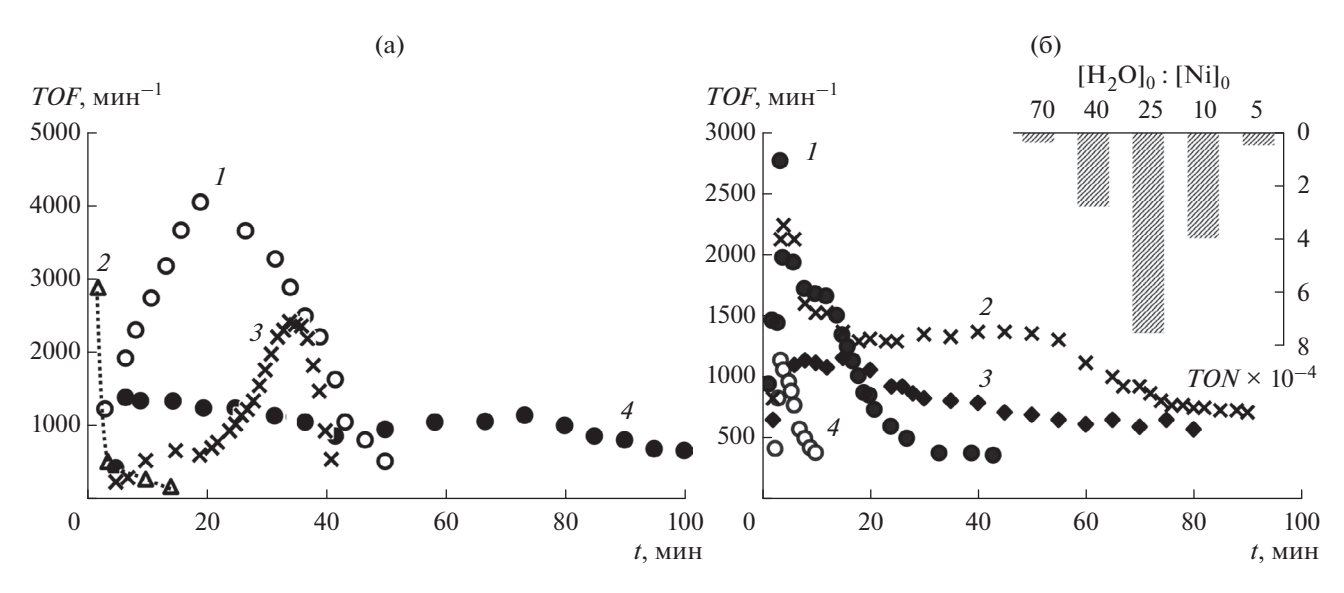
<sup>\*</sup>Условия реакции: растворитель — 1,2-дихлорэтан,  $V_0 = 10$  мл,  $P(C_3H_6) = 1$  бар.

Каталитические системы  $Ib-VIb/mAl(i-Bu)_2Cl$ относятся к редкому типу катализаторов, активных при комнатной температуре, в большинстве случаев никелевые катализаторы олигомеризации пропилена сохраняют эффективность в диапазоне температур -15...5°C [4, 5, 13, 30, 31, 34, 79, 80]. Следует отметить, что для получения высокой производительности каталитические системы **Ib**-**VIb**/*m*Al(*i*-Bu)<sub>2</sub>Cl требуют добавки воды в качестве промотора (без таких добавок TON ≤ 5000). В серии экспериментов было установлено, что наиболее удачным является добавка  $[H_2O]_0$ :  $[Ni]_0 = 10$ . Для случая димеризации пропилена ранее такой эффект отмечали в работе [81], детально роль воды в катализе реакций дии олигомеризации этилена для систем на основе  $Ni(acac)_2/50AlEt_2Cl$  была изучена в работе [82].

В отличие от бромидных аналогов, группа катионных ацетилацетонатных комплексов никеля из ряда Ic-VIIIc при активации  $Al(i-Bu)_2Cl$  проявляет высокую каталитическую активность (TOF до 5790 мин $^{-1}$ , TON до 192900) без добавле-

ния протонодонорного активатора (табл. 6, строки 3, 4, 9, 10). В этом случае дифференциальные кинетические кривые превращения пропилена характеризуются вулканообразной зависимостью с заметными максимумом и временем разработки катализатора (от 8 до 35 мин) (рис. 6а, кривые 1, 3, 4); состав продуктов по окончании соответствующих реакций представлен в табл. 6. Среди протестированных комплексов выделяется VIIIc. В его присутствии селективность образования димеров пропилена снижается, а более 30% продуктов представлено тримерами пропилена, обладающими самостоятельной практической ценностью для производства смазочных масел, синтетических восков, поверхностно-активных веществ [83-86]. Малопроизводительные катализаторы из ряда Ic-VIIIc могут быть также активированы добавкой воды в качестве промотора (табл. 6, строки 6 и 8, а также рис. 6б). Приемлемым в этом случае является отношение  $[H_2O]_0$ :  $[Ni]_0 = 25$ . Природа стабилизации обсуждаемых каталитических систем имеет сложный характер. Для ее характеристики необходимо

<sup>\*\*</sup>На 2-й минуте синтеза введен промотор —  $H_2O$  (2 мкл).



**Рис. 6.** Зависимость *TOF* от времени реакции: а — для каталитических систем состава:  $\mathbf{HIc}/300\mathrm{Al}(i\mathrm{-Bu})_2\mathrm{Cl}\ (I)$ ,  $\mathbf{Vc}/300\mathrm{Al}(i\mathrm{-Bu})_2\mathrm{Cl}\ (2)$ ,  $\mathbf{VIIc}/300\mathrm{Al}(i\mathrm{-Bu})_2\mathrm{Cl}\ (4)$ ,  $\mathbf{VIIIc}/300\mathrm{Al}(i\mathrm{-Bu})_2\mathrm{Cl}\ (4)$ ; б — для каталитической системы  $\mathbf{Vc}/300\mathrm{Al}(i\mathrm{-Bu})_2\mathrm{Cl}/n\mathrm{H}_2\mathrm{O}$ , промотор ( $\mathbf{H}_2\mathrm{O}$ ) вводили через 2 мин после введения  $\mathbf{Al}(i\mathrm{-Bu})_2\mathrm{Cl}$ , соотношение [ $\mathbf{H}_2\mathrm{O}$ ]<sub>0</sub>: [ $\mathbf{Ni}$ ]<sub>0</sub> составляет 10 (I), 25 (I), 40 (I), 70 (I) (на вкладке приведена диаграмма, иллюстрирующая зависимость I0 от количества добавленного промотора к реакционной смеси). Условия реакции: I1 мкмоль, I2 = 25°I2, растворитель — 1,2-дихлорэтан (I2 = 10 мл). I3 мл). I4 рассчитано на основе данных по поглощению пропилена, измеренных автоматическим расходомером.

учесть следующие факты. В 1,2-дихлорэтане, который абсолютировали по стандартной методике и хранили над цеолитами марки 3A, количество воды, определенное по методу Фишера, находилось в диапазоне  $(3\div 4) \times 10^{-3}$  М (по литературным данным [87] при хранении 1,2-дихлорэтана над цеолитами 3A содержание воды  $\leq 0.005$  мас. %).

Это количество воды в 8-10 раз выше концентрации **Ib**—**VIb** и **Ic**—**VIIIc** в опытах по димеризации пропилена. Известно, что при взаимодействии  $Al(i-Bu)_2Cl$  с водой образуются олигомерные алюмоксаны (OAO) [88, 89], в частности, состава  $Al_3(i-Bu)_3Cl_2O_2$ , обладающие более высокой льюисовской кислотностью. С другой стороны,

**Схема 4.** Предполагаемые маршруты взаимодействия комплексов **Ib**—**VIb** и **Ic**—**VIIIc** с алюминийорганическими соединениями, приводящие к каталитически активным комплексам (L — оксадитиоэфирный лиганд, OAO — олигоалюмоксан).

		-				` ,			
№	Каталитическая система*	[Al] <sub>0</sub> : [Ni] <sub>0</sub>	T, °C	<i>P</i> (С <sub>3</sub> H <sub>6</sub> ), бар	TON	<i>TOF</i> <sub>max</sub> , мин <sup>−1</sup>	$A_{\rm cp} \times 10^{-3},$	Д, мас. %	Ссылка
1	NiBr(η <sup>3</sup> -C <sub>3</sub> H <sub>5</sub> )(PCy <sub>3</sub> )/AlEtCl <sub>2</sub>	944	-55	С <sub>3</sub> H <sub>6</sub> (ж)	400000	_	580	_	[28]
2	Ni(sacsac)(PBu <sub>3</sub> )Cl/AlEt <sub>2</sub> Cl	25	0	1	390000	2700	25	_	[31]
3	Ni(η³-C <sub>9</sub> H <sub>7</sub> ) <sub>2</sub> /4PBu <sub>3</sub> / Al <sub>2</sub> Et <sub>2</sub> Cl <sub>3</sub>	300	5	4	274000	_	196	82.7	[29]
4	Ni(sal) <sub>2</sub> /4PBu <sub>3</sub> /Al <sub>2</sub> Et <sub>2</sub> Cl <sub>3</sub>	300	25	4	280000	_	200	82.9	[21]
5	Ni(sacsac)(PCy <sub>3</sub> )Cl/AlEt <sub>2</sub> Cl	100	-15	3	122000	2710	87	35.0	[34]
6	NiC1 <sub>2</sub> (P( <i>i</i> -Pr) <sub>3</sub> )/150BMIC/ 180AlCl <sub>3</sub> /15AlEtCl <sub>2</sub>	195	-15	1	138000	_	12.5	84.0	[13]
7	Ni(acac) <sub>2</sub> /13000EMIC/ 15600AlCl <sub>3</sub> /1300AlEtCl <sub>2</sub>	16900	30	С <sub>3</sub> Н <sub>6</sub> (ж)	47900	8800	206	97.0	[78]

**Таблица 7.** Сравнительные литературные данные о каталитических свойствах наиболее активных систем низкомолекулярной олигомеризации пропилена на основе комплексов никеля(II)

Примечание: sacsac — дитиоацетилацетонат, sal — 5,6-фениленсалицилальдегид, BMIC — 1-бутил-3-метилимидазолия хлорид, EMIC — 1-этил-3-метилимидазолия хлорид.

в некоординирующих органических растворителях при низких концентрациях вода с AIRCl<sub>2</sub> формирует относительно устойчивые комплексы AlRCl<sub>2</sub> · H<sub>2</sub>O [90, 91], способные выступать в роли кислот Бренстеда. По аналогии с данными о взаимодействии фосфиновых и дииминовых дихлоридных комплексов Ni(II) с алюминиалкилгалогенидами [92, 93], образование  $AlRX_2$  (X = Br, Cl) возможно представить по реакции  $Al(i-Bu)_2Cl$  с комплексами типа **Ib**—**VIb** (схема 4А). Образующиеся по реакции переметаллирования алкилгалогенидные комплексы никеля могут быть активированы алюмоксанами с получением активных в олигомеризации катионных комплексов Ni(II). Способность алкилалюмоксанов элиминировать в форме аниона галогенидные и алкильные лигандны из координационной сферы переходных металлов хорошо известна [7, 94]. Комплексы LNi(i-Bu)X, в свою очередь, в ходе дальнейших превращений образуют гидридные комплексы Ni(II) и Ni(0). В соответствии с гипотезой из работы [95], AIRCl<sub>2</sub> · H<sub>2</sub>O может взаимодействовать с комплексом Ni(0) с появлением активных в катализе катионных гидридов никеля, которые в нашем случае далее участвуют в олигомеризации пропилена. Очевидно, что при использовании большей части протестированных оксадитиоэфирных комплексов Ni(II) содержание примесной воды в растворителе и на стенках реакционного сосуда недостаточно для реализации таких вариантов формирования активных комплексов. В случае Ic-VIIIc формально возможна реализация и прямого маршрута переметаллирования (схема 4Б). Однако, учитывая, что нейтральные

ацетилацетонатные комплексы никеля при взаимодействии с  $AlR_2Cl$  образуют галогенидные комплексы с переносом ацетилацетоната на алюминий [96, 97], нельзя исключать маршрут появления активных комплексов через хлоридные интермедиаты.

В табл. 7 приведены литературные данные о каталитических свойствах наиболее активных в низкомолекулярной олигомеризации пропилена гомогенных и бифазных (типа Difasol, п. 6 и 7 в табл. 7) никелевых катализаторов. Можно отметить, что представленные в настоящей работе новые каталитические системы обладают сопоставимой с лучшими аналогами производительностью, при этом могут эксплуатироваться при комнатной температуре и атмосферном давлении пропилена.

#### ЗАКЛЮЧЕНИЕ

Таким образом, синтезирована серия комплексов Ni(II) с оксадитиоэфирными лигандами. Полученные металлокомплексы были охарактеризованы методами ЯМР-, ИК-спектроскопии, ЭСИ-МС, элементного анализа, РСА. На основе новых комплексов предложены каталитические системы для низкомолекулярной олигомеризации пропилена. Представленные в работе данные об активности и производительности каталитических систем позволяют отнести их к группе высокоактивных катализаторов. Выдвинута гипотеза формирования катализатора при взаимодействии соединений Ni(II) с диизобутилалюминийхлоридом в присутствии добавок воды.

#### ФИНАНСИРОВАНИЕ

Исследование выполнено в рамках государственного задания в сфере научной деятельности Минобрнауки России (код темы: FZZE-2023-0006).

#### БЛАГОДАРНОСТИ

Исследование выполнено с использованием оборудования Центра коллективного пользования аналитическим оборудованием ИГУ (http://ckp-rf.ru/ckp/3264/), Байкальского аналитического центра коллективного пользования СО РАН (http://ckp-rf.ru/ckp/3050/), Приборного центра коллективного пользования физико-химического ультрамикроанализа ЛИН СО РАН. Авторы благодарят канд. хим. наук. Кузьмина А.В. за измерения ЭСИ-МС, Ершукову К.Н. и Ковешникову Е.А. за помощь при выполнении ряда каталитических экспериментов, Безбородова В.А., канд. хим. наук Бабенко И.А. и канд. хим. наук. Вильмса А.И. за предоставленные образцы оксадитиоэфирных лигандов.

#### КОНФЛИКТ ИНТЕРЕСОВ

Авторы заявляют об отсутствии конфликта интересов, требующего раскрытия в данной статье.

#### ДОПОЛНИТЕЛЬНАЯ ИНФОРМАЦИЯ

Дополнительная информация (ЯМР, ИК-, УФ-, ЭСИ-МС-спектры, координаты молекул) размещена в электронном виде по DOI статьи 10.31857/S0453881124060075

#### СПИСОК ЛИТЕРАТУРЫ

- Keim W. // Angew. Chem. Int. Ed. 2013. V. 52. № 48. P. 12492.
- 2. *Belov G.P.* // Russ. J. Appl. Chem. 2008. V. 81. № 9. P. 1655.
- 3. Forestière A., Olivier-Bourbigou H., Saussine L. // Oil Gas Sci. Technol. Rev. IFP. 2009. V. 64. № 6. P. 649.
- 4. Olivier-Bourbigou H., Breuil P.A.R., Magna L., Michel T., Espada Pastor M.F., Delcroix D. // Chem. Rev. 2020. V. 120. № 15. P. 7919.
- 5. *Breuil P.-A.R.*, *Magna L.*, *Olivier-Bourbigou H.* // Catal. Lett. 2015. V. 145. № 1. P. 173.
- 6. Bekmukhamedov G.E., Sukhov A.V., Kuchkaev A.M., Yakhvarov D.G. // Catalysts. 2020. V. 10. № 5. P. 498.
- 7. *Parfenova L.V., Bikmeeva A.Kh., Kovyazin P.V., Khalilov L.M.* // Molecules. 2024. V. 29. № 2. P. 502.
- 8. Fischer K., Jonas K., Misbach P., Stabba R., Wilke G. // Angew. Chem. Int. Ed. Engl. 1973. V. 12. № 12. P. 943.

- 9. *Ziegler K., Holzkamp E., Breil H., Martin H.* // Angew. Chem. Int. Ed. Engl. 1955. V. 67. № 19–20. P. 541.
- 10. *Kent A.G.*, *Lawrenson M.J.*, *MacAlpine D.K*. Патент США №4835328A, 1989.
- 11. *Itagaki M., Suzukamo G., Yamamoto M.* Патент США №6388160B1, 2002.
- 12. Захаркин Л.И., Жигарева Г.Г. // Нефтехимия. 1995. Т. 35. № 5. С. 435.
- 13. *Chauvin Y., Einloft S., Olivier H.* // Ind. Eng. Chem. Res. 1995. V. 34. № 4. P. 1149.
- 14. Rekhletskaya E.S., Ershov M.A., Savelenko V.D., Makhmudova A.E., Kapustin V.M., Abdellatief T.M.M., Potanin D.A., Smirnov V.A., Geng T., Abdelkareem M.A., Olabi A.G. // Energy Fuels. 2022. V. 36. № 19. P. 11829.
- 15. Ershov M.A., Abdellatief T.M.M., Potanin D.A., Klimov N.A., Chernysheva E.A., Kapustin V.M. // Energy Fuels. 2020. V. 34. № 7. P. 8139.
- 16. URL: https://www.axens.net/solutions/catalysts-adsorbents-grading-supply/oligomerization-catalysts (accessed: 31.07.2024).
- 17. URL: https://www.stobec.com/en/product/8450-lc-1252-nickel-catalyst/ (accessed: 31.07.2024).
- 18. *Pillai S.M., Ravindranathan M., Sivaram S. //* Chem. Rev. 1986. V. 86. P. 353.
- 19. Skupinska J. // Chem. Rev. 1991. V. 91. P. 613.
- 20. *Wu S.*, *Lu S.* // J. Mol. Catal. Chem. 2003. V. 197. № 1–2. P. 51.
- 21. *Wu S.*, *Lu S.* // J. Mol. Catal. Chem. 2003. V. 198. № 1–2. P. 29.
- 22. *Carlini C., Marchionna M., Galletti A.M.R., Sbra-na G.* // Appl. Catal. A: Gen. 2001. V. 210. № 1–2. P. 173.
- 23. Benvenuti F., Carlini C., Marchetti F., Marchionna M., Galletti A.M.R., Sbrana G., Maria A., Galletti R. // J. Organomet. Chem. 2001. V. 622. № 1–2. P. 286.
- 24. *Ewers J.* // Angew. Chem. Int. Ed. Engl. 1966. V. 5. № 6. P. 584.
- 25. *Ткач В.С., Шмидт Ф.К., Сергеева Т.Н., Малахова Н.Д.* // Нефтехимия. 1975. Т. 15. № 5. С. 703.
- 26. *Wu S.*, *Lu S.* // Appl. Catal. A: Gen. 2003. V. 246. № 2. P. 295.
- 27. Borba K.M.N., de Souza M.O., de Souza R.F., Bernar-do-Gusmão K. // Appl. Catal. A: Gen. 2017. V. 538. P. 51.
- 28. *Bogdanovic B., Spliethoff B., Wilke G.* // Angew. Chem. Int. Ed. Engl. 1980. V. 19. № 8. P. 622.
- 29. Wu S., Lu S. // Chin. J. Chem. 2003. V. 21. № 4. P. 372.
- 30. *Svejda S.A.*, *Brookhart M.* // Organometallics. 1999. V. 18. № 1. P. 65.
- 31. *Abeywickrema R.R., Bennett M.A., Cavell K.J., Kony M.M., Masters A.F., Webb A.G.* // J. Chem. Soc. Dalton Trans. 1993. № 1. P. 59.
- 32. *Cavell K.J.*, *Masters A.F.* // Aust. J. Chem. 1986. V. 39. P. 1129.

- 33. *Шмидт Ф.К.*, *Ткач В.С.*, *Калабина А.В.* // Нефтехимия. 1972. Т. 12. № 1. С. 76.
- 34. Benvenuti F., Carlini C., Marchionna M., Patrini R., Galletti A.M.R., Sbrana G. // Appl. Catal. A: Gen. 2000. V. 199. № 1. P. 123.
- Bariashir C., Huang C., Solan G.A., Sun W.H. // Coord. Chem. Rev. 2019. V. 385. P. 208.
- 36. *Agapie T.* // Coord. Chem. Rev. 2011. V. 255. № 7–8. P. 861.
- 37. *Alferov K.A.*, *Belov G.P.*, *Meng Y.* // Appl. Catal. A: Gen. 2017. V. 542. P. 71.
- 38. McGuinness D.S., Wasserscheid P., Keim W., Morgan D., Dixon J.T., Bollmann A., Maumela H., Hess F., Englert U. // J. Am. Chem. Soc. 2003. V. 125. № 18. P. 5272.
- 39. *Bahri-laleh N., Nekoomanesh-haghighi M., Sadjadi S. //* Polyolefins J. 2016. V. 3. № 1. P. 11.
- 40. Bezborodov V., Babenko I., Rozentsveig I., Korchevin N., Levanova E., Smirnov V., Borodina T., Saraev V., Vilms A. // Polyhedron. 2018. V. 151. P. 287.
- 41. *Murray S.G.*, *Hartley F.R.* // Chem. Rev. 1981. V. 81. № 4. P. 365.
- 42. *Lucas C.R.*, *Liu S.*, *Bridson J.N.* // Can. J. Chem. 1995. V. 73. № 7. P. 1023.
- 43. Lucas C.R., Byrne J.M.D., Collins J.L., Dawe L.N., Miller D.O. // Can. J. Chem. 2011. V. 89. № 10. P. 1174.
- 44. *Liang W., Liu S., Lucas C.R., Miller D.O.* // Polyhedron. 1998. V. 17. № 8. P. 1323.
- 45. Grant G.J., Jones M.W., Loveday K.D., Van Derveer D.G., Pennington W.T., Eagle C.T., Mehne L.F. // Inorg. Chim. Acta. 2000. V. 300–302. P. 250.
- 46. Arca M., Blake A.J., Casabò J., Demartin F., Devillanova F.A., Garau A., Isaia F., Lippolis V., Kivekas R., Muns V., Schröder M., Verani G. // J. Chem. Soc. Dalton Trans. 2001. № 8. P. 1180.
- 47. Suslov D.S., Abramov Z.D., Babenko I.A., Bezborodov V.A., Borodina T.N., Bykov M.V., Pakhomova M.V., Smirnov V.I., Suchkova A.V., Ratovskii G.V., Ushakov I.A., Vilms A.I. // Appl. Organomet. Chem. 2021. V. 35. № 11. Art. e6381.
- 48. *Bullen G.J.*, *Mason R.*, *Pauling P.* // Inorg. Chem. 1965. V. 4. № 4. P. 456.
- 49. Lennartson A., Christensen L.U., McKenzie C.J., Nielsen U.G. // Inorg. Chem. 2014. V. 53. № 1. P. 399.
- 50. *Ren Y., Liu H., Yao X., Liu M.* // J. Chromatogr. A. 2007. V. 1155. № 1. P. 105.
- 51. Dolomanov O.V., Bourhis L.J., Gildea R.J., Howard J.A.K., Puschmann H. // J. Appl. Crystallogr. 2009. V. 42. № 2. P. 339.
- 52. *Sheldrick G.M.* // Acta Crystallogr. A. 2008. V. 64. № 1. P. 112.
- 53. *Sheldrick G.M.* // Acta Crystallogr. C. 2015. V. 71. № 1. P. 3.
- 54. Bruker (2001). SADABS. Bruker AXS Inc., Madison, Wisconsin, USA.

- 55. *Neese F., Wennmohs F., Becker U., Riplinger C.* // J. Chem. Phys. 2020. V. 152. № 22. Art. 224108.
- 56. *Neese F.* // Wiley Interdiscip. Rev. Comput. Mol. Sci. 2012. V. 2. № 1. P. 73.
- 57. Perdew J.P. // Phys. Rev. B. 1986. V. 33. № 12. P. 8822.
- 58. Becke A.D. // Phys. Rev. A. 1988. V. 38. № 6. P. 3098.
- 59. *Eichkorn K., Treutler O., Öhm H., Häser M., Ahl-richs R.* // Chem. Phys. Lett. 1995. V. 240. № 4. P. 283.
- 60. *Grimme S.*, *Antony J.*, *Ehrlich S.*, *Krieg H.* // J. Chem. Phys. 2010. V. 132. № 15. Art. 154104.
- 61. *Grimme S., Ehrlich S., Goerigk L.* // J. Comput. Chem. 2011. V. 32. № 7. P. 1456.
- 62. Weigend F. // Phys. Chem. Chem. Phys. 2006. V. 8. № 9. P. 1057.
- 63. *Weigend F., Ahlrichs R.* // Phys. Chem. Chem. Phys. 2005. V. 7. № 18. P. 3297.
- 64. *Bursch M.*, *Mewes J.*, *Hansen A.*, *Grimme S.* // Angew. Chem. Int. Ed. 2022. V. 61. № 42. Art. e202205735.
- 65. *Bühl M., Kabrede H.* // J. Chem. Theory Comput. 2006. V. 2. P. 1282.
- 66. Bühl M., Reimann C., Pantazis D.A., Bredow T., Neese F. // J. Chem. Theory Comput. 2008. V. 4. № 9. P. 1449.
- 67. Cramer C.J., Truhlar D.G. // Phys. Chem. Chem. Phys. 2009. V. 11. № 46. P. 10757.
- 68. Waller M., Braun H., Hojdis N., Bühl M. // J. Chem. Theory Comput. 2007. V. 3. P. 2234.
- 69. *Szabo M.J.*, *Jordan R.F.*, *Michalak A.*, *Piers W.E.*, *Weiss T.*, *Yang S.-Y.*, *Ziegler T.* // Organometallics. 2004. V. 23. № 23. P. 5565.
- 70. *Tobisch S.*, *Ziegler T.* // J. Am. Chem. Soc. 2004. V. 126. № 29. P. 9059.
- 71. Cordero B., Gómez V., Platero-Prats A.E., Revés M., Echeverría J., Cremades E., Barragán F., Alvarez S. // Dalton Trans. 2008. № 21. P. 2832.
- 72. *Hill N.L.*, *Hope H.* // Inorg. Chem. 1974. V. 13. № 9. P. 2079.
- 73. Saunders N.J., Barling J., Harvey J., Halliday A.N. // Geochim. Cosmochim. Acta. 2020. V. 285. P. 129.
- 74. Assoumatine T., Stoeckli-Evans H. // Acta Crystallogr. Sect. E. Struct. Rep. Online. 2001. V. 57. № 5. P. m179.
- 75. Rouf S.A., Jakobsen V.B., Mareš J., Jensen N.D., McKenzie C.J., Vaara J., Nielsen U.G. // Solid State Nucl. Magn. Reson. 2017. V. 87. P. 29.
- 76. *Johnston D.H.*, *Shriver D.F.* // Inorg. Chem. 1993. V. 32. № 6. P. 1045.
- 77. *Winston M.S.*, *Oblad P.F.*, *Labinger J.A.*, *Bercaw J.E.* // Angew. Chem. Int. Ed. Engl. 2012. V. 51. № 39. P. 9822.
- 78. Eichmann M., Keim W., Haumann M., Melcher B.U., Wasserscheid P. // J. Mol. Catal. Chem. 2009. V. 314. № 1–2. P. 42.
- 79. *Mitkova M., Tomov A., Kurtev K.* // J. Mol. Catal. Chem. 1996. V. 110. № 1. P. 25.

- 80. Nomura K., Itagaki M., Ishino M., Yamamoto M., Suzukamo G. // Catal. Lett. 1997. V. 47. № 1. P. 47.
- 81. *Sato H.*, *Tojima H.* // Bull. Chem. Soc. Jpn. 1993. V. 66. № 10. P. 3079.
- 82. *Титова Ю.Ю., Шмидт Ф.К.* // Кинетика и катализ. 2017. Т. 58. № 6. С. 735. (*Titova Y.Y., Shmidt F.K.* // Kinet. Catal. 2017. V. 58. № 6. Р. 749.)
- 83. URL: https://www.equilex.com/ru/products/propylene-trimer-nonene-2 (accessed: 02.08.2024).
- 84. *Martens J.A., Verrelst W.H., Mathys G.M., Brown S.H., Jacobs P.A.* // Angew. Chem. Int. Ed. 2005. V. 44. № 35. P. 5687.
- 85. *Попов В.Г., Юдина А.В.* Патент РФ № 2200725C1, 2003.
- 86. Бусыгин В.М., Гильманов Х.Х., Мальцев Л.В., Гильмутдинов Н.Р., Зиятдинов А.Ш., Хисаев Р.Ш., Софронова О.В., Назмиева И.Ф., Галимов Р.Х., Шакиров Ш.К., Габделахатов Ф.Р., Амирова Н.Т. Патент РФ № 2255081С1, 2005.
- 87. URL: https://www.fishersci.com/shop/products/1-2-dichloroethane-99-8-extra-dry-acroseal-thermoscientific/AC326840010 (accessed: 29.07.2024).
- 88. Siergiejczyk L., Bclesławski M. // Polim. Tworzywa Wielkocząsteczkowe. 1986. V. 10. P. 395.
- 89. *Pasynkiewicz S.* // Polyhedron. 1990. V. 9. № 2–3. P. 429.

- 90. Петрова В.Д., Ржевская Н.Н., Щербакова Н.В., Сангалов Ю.А., Минскер К.С. // Докл. АН СССР. 1977. T. 233. № 4. C. 602.
- 91. Петрова В.Д., Ржевская Н.Н., Щербакова Н.В., Сангалов Ю.А., Минскер К.С. // Изв. АН СССР. Серия химическая. 1978. № 6. С. 1373. (Petrova V.D., Rzhevskaya N.N., Shcherbakova N.V., Sangalov Yu.A., Minsker K.S. // Russ. Chem. Bull. 1978. V. 27. № 6. Р. 1194.)
- 92. Soshnikov I.E., Semikolenova N.V., Bryliakov K.P., Antonov A.A., Sun W.-H., Talsi E.P. // J. Organomet. Chem. 2020. V. 907. Art. 121063.
- 93. Шмидт Ф.К., Титова Ю.Ю., Белых Л.Б. // Кинетика и катализ. 2016. Т. 57. № 1. С. 63—73. (Shmidt F.K., Titova Yu.Yu., Belykh L.B. // Kinet. Catal. 2016. V. 57. № 1. Р. 61.)
- 94. *Bryliakov K.P., Talsi E.P.* // Coord. Chem. Rev. 2012. V. 256. № 23–24. P. 2994.
- 95. *Титова Ю.Ю., Шмидт Ф.К.* // Кинетика и катализ. 2017. Т. 58. № 6. С. 735—742. (для англ. версии: *Titova Y.Y., Shmidt F.K.* // Kinet. Catal. 2017. V. 58. № 6. P. 749.)
- 96. Nesmeyanov A.N., Isaeva L.S., Morozova L.N., Petrovskii P.V., Tumanskii B.L., Lokshin B.V., Klemenkova Z.S. // Inorg. Chim. Acta. 1980. V. 43. P. 1.
- 97. *Nesmeyanov A.N., Isaeva L.S., Lorens L.N.* // J. Organomet. Chem. 1977. V. 129. № 3. P. 421.
- 98. Sun P., Yang D., Li Y., Zhang Y., Su L., Wang B., Qu J. // Organometallics. 2016. V. 35. № 5. P. 751.

# Synthesis of Nickel(II) Complexes Containing Oxadithioether Ligands and Their Catalytic Properties in Propylene Oligomerization

D. S. Suslov<sup>1, 2, \*</sup>, A. V. Suchkova<sup>2</sup>, M. V. Bykov<sup>1, 2</sup>, Z. D. Abramov<sup>2</sup>, M. V. Pakhomova<sup>1, 2</sup>, T. S. Orlov<sup>2</sup>, T. N. Borodina<sup>3</sup>, and V. I. Smirnov<sup>3</sup>

<sup>1</sup>Irkutsk State University, Department of Chemistry, K. Marksa st., 1, Irkutsk, 664003 Russia

<sup>2</sup>Irkutsk State University, Research Institute of Oil and Coal Chemical Synthesis, K. Marksa st., 1, Irkutsk, 664003 Russia

> <sup>3</sup>A.E. Favorsky Irkutsk Institute of Chemistry SB RAS, Favorsky st., 1, Irkutsk, 664033 Russia

> > \*e-mail: suslov@chem.isu.ru

**Abstract.** Nickel complexes with oxadithioether ligands  $[Ni(L)Br_2]$  and  $[Ni(acac)(L)]CF_3SO_3$  ( $L = R(S(CH_2)_2O(CH_2)_2S)R$ , R = Me, Et, n-Pr, i-Pr, n-Bu, i-Bu, benzyl, n-hexyl) were synthesized. The structural features of these complexes were analyzed by NMR and FTIR, elemental analysis as well as electrospray ionization mass spectrometry and density functional theory calculations. It was found that the signals in the  ${}^1H$  NMR spectra are broadened and shifted due to paramagnetic properties caused by the presence of the Ni(II) ion. The crystal structure of  $[Ni(Et(S(CH_2)_2O(CH_2)_2S)Et)(MeCN)Br_2]$  (I) was determined by X-ray diffraction. In I, the coordination sphere of nickel is characterized by a slight distortion of the octahedral geometry of the central atom, and the oxadithioether ligand is coordinated tridentately in a meridional configuration. It was found that the catalytic systems  $\{[Ni(L)Br_2]$  or  $[Ni(acac)(L)]CF_3SO_3\}/Al(i-Bu)_2Cl$  in the presence of  $H_2O$  additives as a promoter are characterized by high catalytic activity in propylene oligomerization. Using the  $[Ni(L)Br_2]/Al(i-Bu)_2Cl$  ( $L = R(S(CH_2)_2O(CH_2)_2S)R$ , R = n-Bu) catalyst system TON = 365900 mol  $C_3H_6/$  mol Ni (T = 25°C, solvent -1,2-dichloroethane) with TOF = 4840 min $^{-1}$  and dimers selectivity of 78% was

obtained. Hypotheses of the routes of interaction of the  $[Ni(L)Br_2]$  and  $[Ni(acac)(L)]CF_3SO_3$  complexes with organoaluminum compounds in the presence of water additives, leading to catalytically active species, are discussed.

Keywords: nickel, thioethers, oligomerization, propene, organoaluminium compounds

#### **FUNDING**

This work was supported by the Government Assignment for Scientific Research from the Ministry of Science and Higher Education of the Russian Federation (FZZE-2023-0006).

## КИНЕТИКА И КАТАЛИЗ. АВТОРСКИЙ УКАЗАТЕЛЬ ТОМА 65, 2024 г.

Абрамов З. Д. см. Суслов Д. С.

Абрамов П. А. см. Суслов Д. С.

Акинчиц М. В. см. Степачева А. А.

Альперин Б. Л. см. Бухтияров В. И.

Антонов А. Ю. см. Пшеницын М. Б.

Артюх И. А. см. Скворцова Л. Н.

Асалиева Е. Ю. см. Синева Л. В.

Афинеевский А. В. см. Романенко Ю. Е.

Ахмадуллина Н. С. см. Шишилов О. Н.

Багдатов Р. А. см. Николаев С. А.

Багрий Е. И. см. Баранов Н. И.

Баранов Н. И., Багрий Е. И., Сафир Р. Е., Чередниченко А. Г., Боженко К. В., Максимов А. Л. Квантово-химическое исследование получения алкил- и алкениладамантанов методом ионного алкилирования олефинами, № 2, 116.

Бахвалова Е. С. см. Никошвили Л. Ж.

**Безбожная Т. В., Любимова А. К., Лобачев В. Л.** Окисление диэтилсульфида активированными формами пероксида водорода. № 5, 566.

Бекмухамедов Г. Э. см. Софьичева О. С.

Белых Л. Б., Корнаухова Т. А., Скрипов Н. И., Миленькая Е. А., Мальцев А. А., Шмидт Ф. К. Эффективные катализаторы получения пероксида водорода антрахиноновым методом на основе палладий-фосфорных частиц. № 6, 659.

Белых Л. Б., Скрипов Н. И., Миленькая Е. А., Корнаухова Т. А., Стеренчук Т. П., Степанова Ю. К., Шмидт Ф. К. Свойства палладий-фосфорных катализаторов, нанесенных на цеолит HZSM-5, в прямом синтезе пероксида водорода.  $\mathbb{N}_2$  2, 173.

Белых Л. Б., Стеренчук Т. П., Скрипов Н. И., Миленькая Е. А., Корнаухова Т. А., Скорникова С. А., Колесников С. С., Шмидт Ф. К. Влияние фосфорного модификатора и природы носителя на свойства палладиевых катализаторов в хемоселективном гидрировании ацетиленовых соединений. № 1, 22.

Беляев В. Д. см. Шилов В. А.

Боева О. А. см. Пшеницын М. Б.

Боженко К. В. см. Баранов Н. И.

Болгару К. А. см. Скворцова Л. Н.

Болтков Е. Д. см. Каплин И. Ю.

Бородина Т. Н. см. Суслов Д. С.

**Брук Л. Г., Калия О. Л., Флид В. Р., Шестаков Г. К.** Памяти профессора Олега Наумовича Темкина. № 3, 236.

Брук Л. Г. см. Ложкин А. Д.

Брук Л. Г. см. Пастухова Ж. Ю.

Брук Л. Г. см. Путин А. Ю.

Бурматова М. А. см. Шилов В. А.

**Бухтияров В. И., Зибарева И. В., Альперин Б. Л.** "*Кинетика и катализ*": 65 томов, 388 выпусков, 12700 публикаций — подведение итогов 1960—2024 гг. № 5, 584.

Бухтияров В. И. см. Нартова А. В.

Бухтияров В. И. см. Смирнов М. Ю.

Быков А. В. см. Маркова М. Е.

Быков М. В. см. Суслов Д. С.

Валеева А. А. см. Журенок А. В.

Васютин П. Р. см. Синев М. Ю.

Водянкина О. В. см. Тимофеев К. Л.

Волнина Э. А. см. Кипнис М. А.

Воронов М. С. см. Козловский Р. А.

Галкин Р. С. см. Кипнис М. А.

Гимадиева А. Р. см. Якупова Л. Р.

**Глазов Н. А., Загоруйко А. Н.** Общий подход к оценке точности методов молекулярной реконструкции сложных смесей. № 5, 539.

Голубина Е. В. см. Каплин И. Ю.

Голубина Е. В. см. Локтева Е. С.

Гончарова Д. А. см. Тимофеев К. Л.

Гордиенко Ю. А. см. Синев М. Ю.

Гордина Н. Е. см. Романенко Ю. Е.

Грабовский С. А. см. Якупова Л. Р.

Григорьев М. В. см. Харитонцев В. Б.

Григорьева Т. А. см. Шмидт А. Ф.

Гуревич С. А. см. Шмидт А. Ф.

Дмитрачков А. М. см. Нартова А. В.

Долуда В. Ю. см. Маркова М. Е.

Дракон А. В., Еремин А. В., Золотаренко В. Н., Коршунова М. Р., Михеева Е. Ю. Склонность к сажеобразованию различных углеводородов при пиролизе за ударными волнами. № 6, 609.

Дубровский В. С. см. Козловский Р. А.

Ельшев А. В. см. Харитонцев В. Б.

Емельянова С. Д. см. Степачева А. А.

Еремин А. В. см. Дракон А. В.

Ершова Е. А. см. Степачева А. А.

Есева Е. А. см. Тарханова И. Г.

Ефименко Л. А. см. Каплин И. Ю.

Ефимкин Д. Ю. см. Козловский Р. А.

Жаворонкова К. Н. см. Пшеницын М. Б.

Жиляева Н. А. см. Кипнис М. А.

Журенок А. В., Сушникова А. А., Валеева А. А., Куренкова А. Ю., Мищенко Д. Д., Козлова Е. А., Ремпель А. А. Композитные фотокатализаторы  $g-C_3N_4/TiO_2$  для получения водорода и разложения красителей. № 2, 137.

Загоруйко А. Н. см. Глазов Н. А.

Зибарева И. В. см. Бухтияров В. И.

Золотаренко В. Н. см. Дракон А. В.

Зубенко П. А. см. Харитонцев В. Б.

Исайкина О. Я. см. Каплин И. Ю.

Калинкин А. В. см. Смирнов М. Ю.

Калия О. Л. см. Брук Л. Г.

Камаев А. О. см. Каплин И. Ю.

Каплин И. Ю., Болтков Е. Д., Ефименко Л. А., Локтева Е. С., Исайкина О. Я., Маслаков К. И., Камаев А. О., Голубина Е. В. Влияние добавок марганца или меди на каталитические свойства CeO2—SiO2 в реакции предпочтительного окисления СО в избытке водорода (PROX-CO). № 3, 302.

Каплин И. Ю. см. Локтева Е. С.

**Каримов О. Х., Марцинкевич Е. М., Флид В. Р.** Эффект синергизма в реакции циклотримеризации пропаналя на кислотном лигносульфонатном катализаторе. № 5, 523.

**Кацман Е. А.** Механизм образования триметилпентанов из сложных эфиров в жидкофазном алкилировании изобутана бутенами. № 4, 485.

Кацман Е. А. см. Ложкин А. Д.

Кацман Е. А. см. Пастухова Ж. Ю.

Квон Р. И. см. Нартова А. В.

Кипнис М. А., Самохин П. В., Галкин Р. С., Волнина Э. А., Жиляева Н. А. Особенности гидрирования  $CO_2$  на  $MoO_3/Al_2O_3$  и γ- $Al_2O_3$ . № 1, 67.

Князев Д. С. см. Козловский Р. А.

Ковтунова Л. М. см. Нартова А. В.

Коган В. М. см. Пермяков Е. А.

Козлова Е. А. см. Журенок А. В.

Козловский И. А. см. Козловский Р. А.

Козловский Р. А., Воронов М. С., Сапунов В. Н., Сучков Ю. П., Дубровский В. С., Князев Д. С., Козловский И. А., Ефимкин Д. Ю. Кинетика реакции газофазного гидрогенолиза бутиллактата с получением 1,2-пропиленгликоля на катализаторе  $Cu/SiO_2$ . № 4,398.

Колесников С. С. см. Белых Л. Б.

Конопацкий А. С. см. Пшеницын М. Б.

Корнаухова Т. А. см. Белых Л. Б.

Коршунова М. Р. см. Дракон А. В.

**Краснякова Т. В., Никитенко Д. В., Митченко С. А.** Каталитическое кросс-электрофильное  $C(sp^2)$ – $C(sp^3)$ -сочетание в системе PtII–NaI– $C_2H_3I$ – $CH_3I$ –ацетон. № 1, 37.

Кротова И. Н. см. Шмидт А. Ф.

Куренкова А. Ю. см. Журенок А. В.

**Курохтина А. А., Ларина Е. В., Лагода Н. А., Шмидт А. Ф.** Кинетические свидетельства механизма гомогенного катализа в окислительной реакции Мицороки—Хека. № 6, 637.

**Курохтина А. А., Ларина Е. В., Лагода Н. А., Шмидт А. Ф.** Способ визуализации динамики изменений катализатора на основании результатов конкурентных экспериментов. № 2, 188.

Курохтина А. А. см. Шмидт А. Ф.

Кустов Л. М. см. Михайлов М. Н.

Лагода Н. А. см. Курохтина А. А.

Лагода Н. А. см. Шмидт А. Ф.

Ларина Е. В. см. Курохтина А. А.

Ларина Е. В. см. Шмидт А. Ф.

Ларичев Ю. В. см. Маркова М. Е.

Лобачев В. Л. см. Безбожная Т. В.

**Ложкин А. Д., Кацман Е. А., Брук Л. Г.** Структурная кинетическая модель и механизм дегидрирования метилциклогексана на катализаторе  $Pt, Sn/\gamma-Al_2O_3$ . № 4, 493.

Локтева Е. С., Песоцкий М. Д., Голубина Е. В., Маслаков К. И., Харланов А. Н., Шишова В. В., Каплин И. Ю., Максимов С. В. Влияние содержания железа в палладиевых катализаторах на оксиде алюминия и условий их восстановления на гидродехлорирование диклофенака в водной среде. № 2, 148.

Локтева Е. С. см. Каплин И. Ю.

Лукашов М. О. см. Тарханова И. Г.

Лукиянчук И. В. см. Тарханова И. Г.

Любимова А. К. см. Безбожная Т. В.

Максимов А. Л. см. Баранов Н. И.

Максимов С. В. см. Локтева Е. С.

Малыев А. А. см. Белых Л. Б.

Маркова М. Е., Степачева А. А., Быков А. В., Ларичев Ю. В., Долуда В. Ю., Ткаченко О. П., Сульман М. Г. Структура и активность каталитических систем, синтезированных методом осаждения в субкритической воде, в жидкофазном синтезе Фишера—Тропша. № 5, 551.

Марцинкевич Е. М. см. Каримов О. Х.

Маслаков К. И. см. Каплин И. Ю.

Маслаков К. И. см. Локтева Е. С.

Маслаков К. И. см. Шмилт А. Ф.

Матвеева В. Г. см. Степачева А. А.

Матросова Ю. А. см. Прохоров С. А.

Мигранов А. Р. см. Якупова Л. Р.

Миленькая Е. А. см. Белых Л. Б.

Митченко С. А. см. Краснякова Т. В.

Михайлов М. Н., Кустов Л. М. Моделирование координационно ненасыщенных структур в смешанных оксидах Mg-Al как активных центров реакций дегидрирования и дегидратации этанола. № 4, 414.

Михеева Е. Ю. см. Дракон А. В.

Мищенко Д. Д. см. Журенок А. В.

Мордкович В. З. см. Синева Л. В.

Морилов Д. П. см. Тимофеев К. Л.

Нартова А. В., Квон Р. И., Ковтунова Л. М., Дмитрачков А. М., Сковпин И. В., Бухтияров В. И. Исследование методом РФЭС различий в стабильности комплексов  $[M(COD)Cl]_2$  (М = Ir, Rh), закрепленных на модифицированном силикагеле в реакциях спин-селективного гидрирования непредельных углеводородов параводородом. № 2, 214.

Насибуллина Р. А. см. Якупова Л. Р.

Никитенко Д. В. см. Краснякова Т. В.

Николаев С. А., Багдатов Р. А., Чистяков А. В., Цодиков М. В. Влияние модификатора М (M = Ca, Sr, Ba) на селективность катализаторов  $Pd-Cu/Mo/Al_2O_3$  в конверсии этанола в бутанол-1. № 6, 646

Николаев С. А. см. Шмилт А. Ф.

**Никошвили Л. Ж., Бахвалова Е. С., Сульман М. Г.** Кинетические особенности протекания реакции Сузуки в условиях конкурирующих субстратов в присутствии палладиевых катализаторов, нанесенных на сульфированный пористый ароматический полимер. № 4, 427.

Новак Д. Н. см. Путин А. Ю.

Орлов Т. С. см. Суслов Д. С.

Ошанина И. В. см. Прохоров С. А.

Пастухова Ж. Ю., Кацман Е. А., Брук Л. Г. Кинетические модели и механизм эпоксидирования аллилхлорида пероксидом водорода на катализаторе ТS-1. № 5, 507.

Пахомова М. В. см. Суслов Д. С.

Пермяков Е. А., Коган В. М. Моделирование основных этапов конверсии синтез-газа в спирты на модифицированных молибден-сульфидных катализаторах методом DFT в базисе плоских волн. № 4, 442.

**Песков Н. В., Слинько М. М.** Математическое моделирование автоколебательной каталитической реакции в проточном реакторе. № 2, 224.

Песоцкий М. Д. см. Локтева Е. С.

Полякова В. А. см. Шишилов О. Н.

Потемкин Д. И. см. Шилов В. А.

Прозоров Д. А. см. Романенко Ю. Е.

Прохоров С. А., Матросова Ю. А., Ошанина И. В. Z/E-изомеризация продуктов окислительного карбметоксилирования ацетилена и предполагаемый механизм процесса. № 4, 451.

**Путин А. Ю., Новак Д. Н., Брук Л. Г.** Организация сопряженных процессов гидрокар-боксилирования алкенов различной природы.  $\mathbb{N}_2$  5, 530.

Пшеницын М. Б., Боева О. А., Конопацкий А. С., Антонов А. Ю., Жаворонкова К. Н. Катализ на моно- и биметаллических наночастицах системы серебро—медь  $Cu_nAg_m$ . № 2, 199.

Ремпель А. А. см. Журенок А. В.

Романенко Ю. Е., Афинеевский А. В., Прозоров Д. А., Гордина Н. Е. Кинетическое описание

дезактивации нанесенного никелевого катализатора сульфидом натрия. № 3, 327.

Ростовщикова Т. Н. см. Шмидт А. Ф.

Самохин П. В. см. Кипнис М. А.

Сапунов В. Н. см. Козловский Р. А.

Сафир Р. Е. см. Баранов Н. И.

Сафиуллин Р. Л. см. Якупова Л. Р.

Светличный В. А. см. Тимофеев К. Л.

Сидоров Н. А. см. Шмидт А. Ф.

Синев М. Ю., Гордиенко Ю. А., Васютин П. Р. Развитие представлений о механизме действия нанесенных оксидных МWMn-содержащих (М — щелочной металл) катализаторов парциального окисления легких алканов. № 3, 243.

Синева Л. В., Асалиева Е. Ю., Мордкович В. З. Оксид алюминия в формировании активных центров кобальтовых катализаторов синтеза Фишера—Тропша. № 6, 595.

Скворцова Л. Н., Артюх И. А., Татаринова Т. В., Болгару К. А. Установление кинетических закономерностей фотокаталитического генерирования водорода из муравьиной кислоты на металлокерамических композитах при облучении видимым светом. № 2, 125.

Сковпин И. В. см. Нартова А. В.

Скорникова С. А. см. Белых Л. Б.

Скрипов Н. И. см. Белых Л. Б.

Слинько М. М. см. Песков Н. В.

Смирнов В. И. см. Суслов Д. С.

Смирнов М. Ю., Калинкин А. В., Бухтияров В. И. Участие поверхностного кислорода в стабилизации системы  $Rh/BO\Pi\Gamma$  по отношению к  $NO_2$ . № 1, 87.

Снытников П. В. см. Шилов В. А.

Софьичева О. С., Бекмухамедов Г. Э., Яхваров Д. Г. Каталитическое образование бутена-1 и гексена-1 в реакциях гомогенной олигомеризации этилена с участием комплексов никеля на основе N-гетероарилзамещенных  $\alpha$ -дифенилфосфиноглицинов. № 1, 12.

Степанова Ю. К. см. Белых Л. Б.

Степачева А. А., Терешина Е. Д., Тарасова А. А., Акинчиц М. В., Ершова Е. А., Емельянова С. Д., Матвеева В. Г., Сульман М. Г. Превращение продуктов деполимеризации лигнина в среде пропанола-2. № 4, 463.

Степачева А. А. см. Маркова М. Е.

Стеренчук Т. П. см. Белых Л. Б.

Сульман М. Г. см. Маркова М. Е.

Сульман М. Г. см. Никошвили Л. Ж.

Сульман М. Г. см. Степачева А. А.

Суслов Д. С., Пахомова М. В., Быков М. В., Орлов Т. С., Абрамов З. Д., Сучкова А. В., Абрамов П. А. Новые каталитические системы для полимеризации норборнена и его производных на основе катионных циклопентадиенильных комплексов палладия. № 1, 48.

Суслов Д. С., Сучкова А. В., Быков М. В., Абрамов З. Д., Пахомова М. В., Орлов Т. С., Бородина Т. Н., Смирнов В. И. Синтез комплексов никеля(II) с оксадитиоэфирными лигандами и их каталитические свойства в олигомеризации пропилена. № 6, 676.

Сучков Ю. П. см. Козловский Р. А.

Сучкова А. В. см. Суслов Д. С.

Сушникова А. А. см. Журенок А. В.

Тарасова А. А. см. Степачева А. А.

Тарханова И. Г., Есева Е. А., Лукашов М. О., Яровая Т. П., Лукиянчук И. В. Каталитические свойства оксида церия, сформированного на титане методом плазменно-электролитического оксидирования. № 3, 335.

Татаринова Т. В. см. Скворцова Л. Н.

Терешина Е. Д. см. Степачева А. А.

Тимофеев К. Л., Морилов Д. П., Гончарова Д. А., Светличный В. А., Водянкина О. В., Харламова Т. С. Биметаллические сплавные PdCu/C и PdCu/C-N катализаторы гидрирования 5-гидроксиметилфурфурола. № 4, 474.

Тиссен Е. А. см. Харитонцев В. Б.

Ткаченко О. П. см. Маркова М. Е.

Третьяков Н. Ю. см. Харитонцев В. Б.

**Федосеев В. Б., Федосеева Е. Н.** Кинетика химических реакций в спрее. № 2, 107.

Федосеева Е. Н. см. Федосеев В. Б.

Флид В. Р. см. Брук Л. Г.

Флид В. Р. см. Каримов О. Х.

Флид В. Р. см. Шамсиев Р. С.

Флид В. Р. см. Шишилов О. Н.

**Флид М. Р.** Каталитические процессы в хлорорганическом синтезе. № 3, 273.

Хазимуллина Ю. З. см. Якупова Л. Р.

**Харитонцев В. Б., Григорьев М. В., Тиссен Е. А., Зубенко П. А., Третьяков Н. Ю., Ельшев А. В.** Пиролитическое разложение полиэтилена в присут-

ствии алюмосиликатных материалов, содержащих оксид никеля. № 1, 3.

Харламова Т. С. см. Тимофеев К. Л.

Харланов А. Н. см. Локтева Е. С.

**Подиков М. В. см. Николаев С. А.** 

Чередниченко А. Г. см. Баранов Н. И.

Чистяков А. В. см. Николаев С. А.

**Шамсиев Р. С., Флид В. Р.** Квантово-химическое исследование стереохимии миграции двойной связи в 2-винилнорборнане на поверхности палладия. № 3, 317.

Шамсиев Р. С. см. Шишилов О. Н.

Шестаков Г. К. см. Брук Л. Г.

Шилов В. А., Бурматова М. А., Беляев В. Д., Потемкин Д. И., Снытников П. В. Влияние добавок Рt на активность и стабильность Rh-содержащего катализатора конверсии дизельного топлива в синтез-газ. № 1, 78.

Шишилов О. Н., Полякова В. А., Ахмадуллина Н. С., Шамсиев Р. С., Флид В. Р. Особенности кинетики и механизма аэробного окисления спиртов в присутствии карбоксилатных комплексов палладия. Обзор. № 4, 379.

Шишова В. В. см. Локтева Е. С.

Шмидт А. Ф., Курохтина А. А., Ларина Е. В., Лагода Н. А., Григорьева Т. А., Кротова И. Н., Маслаков К. И., Николаев С. А., Гуревич С. А., Явсин Д. А., Ростовщикова Т. Н. Высокодисперсные частицы палладия, нанесенные на Сибунит лазерным электродиспергированием, в катализе реакции Сузуки—Мияуры. № 3, 356.

Шмидт А. Ф., Сидоров Н. А., Курохтина А. А., Ларина Е. В., Лагода Н. А. Определение дескрипторов каталитических систем в машинном обучении моделей с использованием кинетических экспериментальных данных. № 3, 343.

Шмидт А. Ф. см. Курохтина А. А.

Шмилт Ф. К. см. Белых Л. Б.

Явсин Д. А. см. Шмидт А. Ф.

Якупова Л. Р., Насибуллина Р. А., Грабовский С. А., Сафиуллин Р. Л. Антиоксидантная активность 6-амино-5-гидрокси-2,3-диметилпиримидин-4(3H)-она в модельных системах радикально-цепного окисления тетрагидрофурана и метилолеата. № 6, 629.

Якупова Л. Р., Насибуллина Р. А., Мигранов А. Р., Гимадиева А. Р., Хазимуллина Ю. З., Сафиуллин Р. Л. Влияние 5-гидрокси-6-метилурацила и аскорбиновой кислоты на радикально-цепное окисление тетрагидрофурана. № 5, 576.

Яровая Т. П. см. Тарханова И. Г.

Яхваров Д. Г. см. Софьичева О. С.

## КИНЕТИКА И КАТАЛИЗ ПРЕДМЕТНЫЙ УКАЗАТЕЛЬ ТОМА 65, 2024 г.

 $H_2O_2$ , прямой синтез, разложение, гидрирование, палладий, фосфор, РФА, ПЭМ. № 2, 173.

PROX-CO, оксидные катализаторы, оксиды меди, оксиды марганца, оксид церия, диоксид кремния. № 3, 302.

 $TiO_2$ , g- $C_3N_4$ , фотокатализ на полупроводниках, водород. № 2, 137.

**6-Амино-5-гидрокси-2,3-диметилпирими**-дин-4(3*H*)-он, окисление радикально-цепное тетрагидрофурана и метилолеата, пероксильные радикалы, константа скорости реакции, индукционный период, стехиометрический коэффициент ингибирования. № 6, 629.

Адамантаны низшие, реакционная способность, ионное алкилирование олефинами, кислотный катализ, термодинамические параметры. № 2, 116.

Алканы низшие, окисление парциальное, смешанные оксиды, механизм реакции, окислительно-восстановительные переходы. № 3, 243.

Алкилирование адамантанов олефинами ионное, алкил- и алкениладамантаны, кислотный катализ, термодинамические параметры. N 2, 116.

Алкилирование изобутана жидкофазное, механизм реакции, бутены, бутилтрифталаты, трифликовая кислота, изомеры триметилпентана, первичные продукты. № 4, 485.

Аллилхлорид, эпоксидирование, пероксид водорода, титансиликалит TS-1, алкены, эпихлоргидрин. № 5, 507.

Алюмосиликатные материалы, пиролиз, полиэтилен высокой плотности, никеля оксид, N 1, 3.

Анализ библиометрический, журнал "Кинетика и катализ", сеть Интернет, базы данных.  $\mathbb{N}_2$  5, 584. Ацетиленовые соединения, гидрирование хемоселективное, катализатор, палладий, фосфор, цеолит. № 1, 22.

Аэрозоль, эффекты размерные кинетические, компьютерное моделирование, поликонденсация, молочная кислота. № 2, 107.

**Библиометрический** анализ журнала "*Кине- тика и катализ*", сеть *Интернет*, базы данных, N o 5, 584.

Бутиллактат, гидрогенолиз, получение 1,2-пропиленгликоля, гетерогенный катализатор. № 4, 398.

**Водород**, адсорбция, катализ, наночастицы, медь, серебро. № 2, 199.

Водород, фотокатализ на полупроводниках,  ${\rm TiO_2, g\text{-}C_3N_4. \ N\!\!\!\!\! 0}\ 2,\,137.$ 

Водород, фотокаталитическое генерирование, муравьиная кислота, композиты металлокерамические, оксинитрид тантала. № 2, 125.

Водородная энергетика, жидкие органические носители водорода, толуол, дегидрирование метилциклогексана, платина, олово, оксид алюминия, кинетическая модель, механизм реакции. № 4, 493.

ВОПГ, родий, рентгеновская фотоэлектронная спектроскопия, NO<sub>2</sub>. № 1, 87.

**Гидрирование** 2-этил-9,10-антрахинона, пероксид водорода, палладий, фосфор, РФА, ПЭМ. № 6,659.

Гидрирование 5-гидроксиметилфурфурола, катализаторы биметаллические сплавные PdCu/C И PdCu/C-N, импульсная лазерная абляция, углеродные носители. № 4, 474.

Гидрирование селективное, металлоорганические комплексы иридия и родия, рентгеновская фотоэлектронная спектроскопия, одноцентровый катализатор. № 2, 214.

Гидрирование  $CO_2$ , реакция водяного газа, молибдена оксид, рамановская спектроскопия. N 1, 67.

Гидрирование хемоселективное, ацетиленовые соединения, катализатор, палладий, фосфор, цеолит. № 1, 22.

Гидрогенолиз бутиллактата, получение 1,2-пропиленгликоля, гетерогенный катализатор. № 4, 398.

Гидродехлорирование, диклофенак, катализатор палладиевый, железа оксид, алюминия оксид. № 2, 148.

Гидрокарбоксилирование алкенов, окисление СО в  $CO_2$ , сопряженные процессы, бромидные комплексы палладия(II), бромидные комплексы меди, карбоновые кислоты. № 5, 530.

5-Гидроксиметилфурфурол, гидрирование, катализаторы биметаллические сплавные PdCu/C И PdCu/C-N импульсная лазерная абляция, углеродные носители. № 4, 474.

Дегидрирование метилциклогексана, водородная энергетика, жидкие органические носители водорода, толуол, платина, олово, оксид алюминия, кинетическая модель, механизм реакции. № 4, 493.

Дезактивация, катализатор никелевый нанесенный, каталитический яд, активные центры.  $N \ge 3$ , 327.

Деполимеризация лигнина, гидрогенолиз, монофенолы, пропанол-2. № 4, 463.

Десульфуризация, оксидирование плазменно-электролитическое, церия оксид, окисление пероксидное, окисление аэробное. № 3, 335.

Дизельное топливо, паровая конверсия, автотермический риформинг, синтез-газ, катализатор родиевый структурированный, платина.  $N \ge 1,78$ .

Диклофенак, гидродехлорирование, катализатор палладиевый, оксид железа, оксид алюминия. № 2, 148.

Диметилфумарат, диметилмалеат, окислительное карбметоксилирование ацетилена, Z/E-изомеризация, бромидные комплексы палладия, фталоцианин кобальта, монооксид углерода. № 4, 451.

 $\alpha$ -Дифенилфосфиноглицины, никеля комплексы, этилен, олигомеризация, димеризация. № 1, 12.

Дифференциальная селективность, реакция Сузуки—Мияуры, палладий, гетерогенные катализаторы, лазерное электродиспергирование, кинетика, механизм. № 3, 356.

Диэтилсульфид, окисление, пероксид водорода, бикарбонат натрия, борная кислота, пероксоборат натрия, ацетонитрил. № 5, 566.

**Железо**, рутений, синтез Фишера—Тропша, сверхшитый полистирол, осаждение в субкритической воле. № 5. 551.

Журнал "Кинетика и катализ", сеть Интернет, базы данных, библиометрический анализ.  $N \ge 5,584$ .

**Изобутан,** алкилирование жидкофазное, механизм реакции, бутены, бутилтрифталаты, трифликовая кислота, изомеры триметилпентана, первичные продукты. № 4, 485.

Изомеризация, 2-винилнорборнан, миграция двойной связи, палладий, метод функционала плотности. № 3, 317.

Иридия металлоорганический комплекс, родия металлоорганический комплекс, рентгеновская фотоэлектронная спектроскопия, одноцентровый катализатор, селективное гидрирование.  $\mathbb{N}_2$  2, 214.

**Катализ**, механизм, палладий, конкурирующие реакции. № 2, 188.

Катализ гомогенный, гетерогенный, синтез хлорорганический, хлорирование, оксихлорирование, гидрохлорирование, кинетика, катализаторы. № 3, 273.

Катализ гомогенный, окислительная реакция Мицороки—Хека, механизм, палладий, конкурирующие реакции. № 6, 637.

Катализ кислотный, ионное алкилирование адамантанов олефинами, алкил- и алкениладамантаны, термодинамические параметры. № 2, 116.

Катализатор, палладий, фосфор, цеолит, гидрирование хемоселективное, ацетиленовые соединения. № 1, 22.

Катализатор лигносульфонатный кислотный, циклотримеризация пропаналья, 2,4,6-три-этил-1,3,5-триоксан. № 5,523.

Катализатор никелевый нанесенный, каталитический яд, активные центры, дезактивация.  $N \ge 3$ , 327.

Катализатор родиевый структурированный, дизельное топливо, синтез-газ, паровая конверсия, автотермический риформинг, платина. N 1, 78.

Катализаторы биметаллические сплавные PdCu/C И PdCu/C-N гидрирования 5-гидроксиметилфурфурола, импульсная лазерная абляция, углеродные носители. № 4, 474.

Катализаторы кобальтовые синтеза Фишера— Тропша, оксид алюминия, гетерогенный катализ, активные центры. № 6, 595.

Катализаторы молибден-сульфидные, метод функционала плотности, моделирование конверсии синтез-газа в спирты. № 4, 442.

Катализаторы оксидные, PROX-CO, оксиды меди, оксиды марганца, оксид церия, диоксид кремния.  $\mathbb{N}_{2}$  3, 302.

Кинетика, синтез хлорорганический, хлорирование, оксихлорирование, гидрохлорирование, катализаторы, прикладной гомогенный и гетерогенный катализ. № 3, 273.

Конверсия этанола в бутанол-1, модификатор, оксиды щелочно-земельных металлов, Pd, Cu, наночастицы, селективность. № 6, 646.

Конкурирующие реакции, катализ гомогенный, окислительная реакция Мицороки—Хека, механизм, палладий, конкурирующие реакции.  $N \ge 6$ , 637.

Конкурирующие реакции, катализ, механизм, палладий. № 2, 188.

Конкурирующие субстраты, реакция Сузуки, палладий, сшитые ароматические полимеры, безлигандные катализаторы. № 4, 427.

Кросс-электрофильное сочетание, катализ, платины(II) иодиды, механизм реакции. № 1, 37.

**Лигнин,** деполимеризация, гидрогенолиз, монофенолы, пропанол-2.  $\mathbb{N}_2$  4, 463.

**Машинное обучение**, катализ, реакция Сузуки—Мияуры, палладий, кинетика. № 3, 343.

Медь, серебро, наночастицы, водород, адсорбция, катализ. № 2, 199.

Метилолеат, тетрагидрофуран, окисление радикально-цепное, пероксильные радика-

лы, 6-амино-5-гидрокси-2,3-диметилпиримидин-4(3H)-он, константа скорости реакции, индукционный период, стехиометрический коэффициент ингибирования. № 6, 629.

Метод функционала плотности, квантово-химическое моделирование механизма, миграция двойной связи, изомеризация, 2-винилнорборнан, 2-этилиденнорборнан, палладий. № 3, 317.

Механизм реакции, кросс-электрофильное сочетание, катализ, платины(II) иодиды. № 1, 37.

Механизм реакции, окисление парциальное, легкие алканы, смешанные оксиды, окислительно-восстановительные перехолы. № 3. 243.

Миграция двойной связи, изомеризация, 2-винилнорборнан, 2-этилиденнорборнан, палладий, метод функционала плотности, квантово-химическое моделирование механизма. № 3, 317.

Моделирование кинетическое, пиролиз за ударными волнами, сажеобразование, углеродные наночастицы, лазерная экстинкция. № 6, 609.

Моделирование компьютерное, эффекты размерные кинетические, аэрозоль, поликонденсация, молочная кислота. № 2, 107.

Моделирование конверсии синтез-газа в спирты, катализаторы молибден-сульфидные, метод функционала плотности. № 4, 442.

Моделирование координационно ненасыщенных структур, этанол, реакция Гербе, смешанные оксиды, льюисовские кислотные центры, дегидрирование, дегидратация, теория функционала плотности. № 4, 417.

Моделирование математическое, автоколебательная каталитическая реакция, каталитическое окисление, нелинейная динамика, пространственно-временные структуры, уравнения реакция—диффузия—конвекция. № 2, 224.

Моделирование математическое, молекулярная реконструкция, максимум энтропии, стохастическая реконструкция, погрешность. № 5, 539.

Молекулярная реконструкция, математическое моделирование, максимум энтропии, стохастическая реконструкция, погрешность. № 5, 539.

Молибдена оксид, гидрирование  $CO_2$ , реакция водяного газа, рамановская спектроскопия.  $N ext{0.1}, 67$ .

Муравьиная кислота, получение водорода, фотокатализ, композиты металлокерамические, оксинитрид тантала. № 2, 125.

**Наночастицы**, медь, серебро, водород, адсорбция, катализ. № 2, 199.

Никель, олигомеризация пропилена, тиоэфиры, алюминийорганические соединения. № 6,676.

Никеля комплексы, олигомеризация, димеризация, этилен, бутен-1, гексен-1, α-дифенилфосфиноглицины. № 1, 12.

Норборнен, полимеризация аддитивная, циклопентадиенил, палладия комплексы, эфират трифторида бора. № 1, 48.

**Окисление** диэтилсульфида, пероксид водорода, бикарбонат натрия, борная кислота, пероксоборат натрия, ацетонитрил. № 5, 566.

Окисление каталитическое, автоколебательная каталитическая реакция, нелинейная динамика, пространственно-временные структуры, математическое моделирование, уравнения реакция—диффузия—конвекция. № 2, 224.

Окисление парциальное, легкие алканы, механизм реакции, смешанные оксиды, окислительно-восстановительные переходы. № 3, 243.

Окисление радикально-цепное, тетрагидрофуран, 2,2'-азо-бис-изобутиронитрил, 5-гидрокси-6-метилурацил, аскорбиновая кислота, эффективная константа скорости реакции, индукционный период. № 5, 576.

Окисление радикально-цепное тетрагидрофурана и метилолеата, пероксильные радикалы, 6-амино-5-гидрокси-2,3-диметилпиримидин-4(3H)-он, константа скорости реакции, индукционный период, стехиометрический коэффициент ингибирования. № 6, 629.

Окисление спиртов, палладий, карбоксилат, катализ. № 4, 379.

Окисление СО в СО<sub>2</sub>, гидрокарбоксилирование алкенов, сопряженные процессы, бромидные комплексы палладия(II), бромидные комплексы меди, карбоновые кислоты. № 5, 530.

Окислительное карбметоксилирование ацетилена, Z/E-изомеризация, получение диметилфумарата и диметилмалеата, бромидные комплексы палладия, фталоцианин кобальта, монооксид углерода. № 4, 451.

Оксид алюминия, катализаторы кобальтовые синтеза Фишера—Тропша, гетерогенный катализ, активные центры. № 6, 595.

Олигомеризация пропилена, никель, тиоэфиры, алюминийорганические соединения. № 6,676.

**Палладий**, бромидные комплексы, окислительное карбметоксилирование ацетилена, Z/E-изомеризация, получение диметилфумарата и диметилмалеата, фталоцианин кобальта, монооксид углерода. № 4, 451.

Палладий, гидродехлорирование, диклофенак, оксид железа, оксид алюминия. № 2, 148.

Палладий, карбоксилат, катализ, окисление спиртов. № 4, 379.

Палладий, катализ, механизм, конкурирующие реакции. № 2, 188.

Палладий, медь, конверсия этанола в бутанол-1, модификатор, оксиды щелочно-земельных металлов, селективность. № 6, 646.

Палладий, окислительная реакция Мицороки—Хека, конкурирующие реакции, катализ гомогенный, механизм. № 6, 637.

Палладий, реакция Сузуки—Мияуры, гетерогенные катализаторы, лазерное электродиспергирование, кинетика, дифференциальная селективность, механизм, ПЭМ, РФЭС. № 3, 356.

Палладий, реакция Сузуки–Мияуры, катализ, машинное обучение, кинетика. № 3, 343.

Палладий, сшитые ароматические полимеры, безлигандные катализаторы, реакция Сузуки, конкурирующие субстраты. № 4, 427.

Палладий, фосфор, гидрирование 2-этил-9,10-антрахинона, пероксид водорода, РФА, ПЭМ. № 6,659.

Палладий, фосфор, прямой синтез  $H_2O_2$ , разложение, гидрирование, РФА, ПЭМ. № 2, 173.

Палладия комплексы, циклопентадиенил, полимеризация аддитивная, норборнен, эфират трифторида бора. № 1, 48.

Палладия(II) бромидные комплексы, меди бромидные комплексы, гидрокарбоксилирование алкенов, окисление CO в  $CO_2$ , сопряженные процессы, карбоновые кислоты. № 5, 530.

Пероксид водорода, гидрирование 2-этил-9,10-антрахинона, палладий, фосфор, РФА, ПЭМ. № 6, 659.

Пероксид водорода, окисление диэтилсульфида, бикарбонат натрия, борная кислота, пероксоборат натрия, ацетонитрил. № 5, 566.

Пероксид водорода, эпоксидирование аллилхлорида, титансиликалит TS-1, алкены, эпихлоргидрин. № 5, 507.

Пиролиз за ударными волнами, сажеобразование, углеродные наночастицы, лазерная экстинкция, кинетическое моделирование. № 6, 609.

Пиролиз, полиэтилен высокой плотности, алюмосиликатные материалы, никеля оксид, N 1, 3.

Платина, олово, оксид алюминия, дегидрирование метилциклогексана, водородная энергетика, жидкие органические носители водорода, толуол, кинетическая модель, механизм реакции. № 4, 493.

Платины(II) иодиды, кросс-электрофильное сочетание, катализ, механизм реакции. № 1, 37.

Поликонденсация, молочная кислота, эффекты размерные кинетические, компьютерное моделирование, аэрозоль. № 2, 107.

Полимеризация аддитивная, норборнен, палладия комплексы, циклопентадиенил, эфират трифторида бора. № 1, 48.

Полистирол сверхшитый, синтез Фишера— Тропша, железо, рутений, осаждение в субкритической воде. № 5, 551.

Полиэтилен высокой плотности, пиролиз, алюмосиликатные материалы, никеля оксид, N 1, 3.

Пропаналь, циклотримеризация, 2,4,6-триэтил-1,3,5-триоксан, катализатор лигносульфонатный кислотный. № 5, 523.

Пропилен, олигомеризация, никель, тиоэфиры, алюминийорганические соединения. № 6, 676.

Реакция автоколебательная каталитическая, каталитическое окисление, нелинейная динамика, пространственно-временные структуры, математическое моделирование, уравнения реакция—диффузия—конвекция. № 2, 224.

Реакция Гербе, этанол, дегидрирование, дегидратация, моделирование координационно ненасыщенных структур, смешанные оксиды, льюисовские кислотные центры, теория функционала плотности. № 4, 417.

Реакция Мицороки—Хека, катализ гомогенный, механизм, палладий, конкурирующие реакции. № 6, 637.

Реакция Сузуки, конкурирующие субстраты, палладий, сшитые ароматические полимеры, безлигандные катализаторы. № 4, 427.

Реакция Сузуки-Мияуры, катализ, машинное обучение, палладий, кинетика. № 3, 343.

Реакция Сузуки—Мияуры, палладий, гетерогенные катализаторы, лазерное электродиспергирование, кинетика, дифференциальная селективность, механизм. № 3, 356.

Рентгеновская фотоэлектронная спектроскопия, ВОПГ, родий, NO<sub>2</sub>. № 1, 87.

Рентгеновская фотоэлектронная спектроскопия, металлоорганический комплекс иридия, металлоорганический комплекс родия, одноцентровый катализатор, селективное гидрирование. № 2, 214.

Родий, ВОПГ,  $NO_2$ , рентгеновская фотоэлектронная спектроскопия. № 1, 87.

Родия металлоорганический комплекс, иридия металлоорганический комплекс, рентгеновская фотоэлектронная спектроскопия, одноцентровый катализатор, селективное гидрирование. N 2, 214.

**Сажеобразование**, пиролиз за ударными волнами, углеродные наночастицы, лазерная экстинкция, кинетическое моделирование. № 6, 609.

Серебро, медь, наночастицы, водород, адсорбция, катализ. № 2, 199.

Синтез Фишера—Тропша, кобальтовые катализаторы, оксид алюминия, гетерогенный катализ, активные центры. № 6, 595.

Синтез Фишера—Тропша, сверхшитый полистирол, железо, рутений, осаждение в субкритической воде. № 5, 551.

Синтез хлорорганический, хлорирование, оксихлорирование, гидрохлорирование, кинетика, катализаторы, прикладной гомогенный и гетерогенный катализ. № 3, 273.

Синтез-газ, конверсия в спирты, катализаторы молибден-сульфидные, моделирование, метод функционала плотности. № 4, 442.

Синтез-газ, паровая конверсия, автотермический риформинг, дизельное топливо, катализатор родиевый структурированный, платина. N 1, 78.

**Тетрагидрофуран,** метилолеат, окисление радикально-цепное, пероксильные радикалы, 6-амино-5-гидрокси-2,3-диметилпиримидин-4(3H)-он, константа скорости реакции,

индукционный период, стехиометрический коэффициент ингибирования. № 6, 629.

Тетрагидрофуран, окисление радикально-цепное, 2,2'-азо-бис-изобутиронитрил, 5-гидрокси-6-метилурацил, аскорбиновая кислота, эффективная константа скорости реакции, индукционный период. № 5,576.

Триметилпентаны, алкилирование изобутана жидкофазное, механизм реакции, бутены, бутилтрифталаты, трифликовая кислота, первичные продукты. № 4, 485.

**Фосфор,** палладий, прямой синтез  $H_2O_2$ , разложение, гидрирование, РФА, ПЭМ. № 2, 173.

Фотокатализ на полупроводниках, водород,  $TiO_2$ , g- $C_3N_4$ . № 2, 137.

Фотокатализ, композиты металлокерамические, оксинитрид тантала, получение водорода, муравьиная кислота. № 2, 125.

**Церия** оксид, оксидирование плазменноэлектролитическое, окисление пероксидное, окисление аэробное, десульфуризация. № 3, 335.

Циклотримеризация пропаналя, 2,4,6-триэтил-1,3,5-триоксан, катализатор лигносульфонатный кислотный. № 5, 523. Электродиспергирование лазерное, реакция Сузуки—Мияуры, палладий, гетерогенные катализаторы, кинетика, дифференциальная селективность, механизм. № 3, 356.

Эпоксидирование аллилхлорида, пероксид водорода, титансиликалит TS-1, алкены, эпихлоргидрин. № 5, 507.

Этанол, дегидрирование, дегидратация, реакция Гербе, моделирование координационно ненасыщенных структур, смешанные оксиды, льюисовские кислотные центры, теория функционала плотности. № 4, 417.

Этанол, конверсия в бутанол-1, модификатор, оксиды щелочно-земельных металлов, Pd, Cu, наночастицы, селективность. № 6, 646.

2-Этил-9,10-антрахинон, гидрирование, пероксид водорода, палладий, фосфор, РФА, ПЭМ. № 6, 659.

Этилен, олигомеризация, димеризация, никеля комплексы, бутен-1, гексен-1,  $\alpha$ -дифенилфосфиноглицины. № 1, 12.

Эффекты размерные кинетические, аэрозоль, компьютерное моделирование, поликонденсация, молочная кислота. № 2, 107.